酸化チタンに関する研究

1979

科学技術庁 無機材質研究所研究報告書第19号

目 次

1.	研	究概要及び構成
1.	1	緒言
1.	2	研究概要
1.	3	研究構成員
1.	4	チタニヤ研究会 2
1.	5	執筆の分担
2.	ア	ナターゼ及びルチルの単結晶合成と安定化機構に関する研究 4
2.	1	水熱条件下におけるルチルとアナターゼの晶出・・・・・・・・・・・・・・・・・・・・・・・・・・・・・・・・・・・・
2.	2	酸素分圧制御下におけるアナターゼの水熱合成と相転移12
2.	3	化学輸送法による酸化チタン(IV) の合成18
2.	4	ルチル単結晶の晶相変化と不純物効果・・・・・・23
3.	ブ	ルーカイトの合成と安定化機構に関する研究31
3.	1	ブルーカイトの水熱合成と安定化機構31
3.	2	高純度ブルーカイトの合成37
3.	3	ブルーカイト関連相のキャラクタリゼーション47
4.	チ	タン (IV) の水溶液反応に関する研究56
4.	1	チタン(IV) の加水分解反応 `······56
4.	2	チタン(IV) の溶媒抽出反応60
5.	Ti	O₂ 多形相の安定性と相転移に関する研究······67
5.	1	多形相の熱力学的安定性・・・・・・・67
5.	2	アナターゼの相転移と不純物効果79
6.	Ti	O₂ 物性に関する研究······85
6.	1	アナターゼの分光学的性質・・・・・・85
6.	2	ルチルの高温熱容量の解析・・・・・・96
7.	関	連物質に関する応用研究 101
7.	1	チタン酸カリウム繊維の製造法 101
7.	2	FeTiO ₃ 及び MnTiO ₃ 単結晶のフラックス育成 ····································
		ニオブ(V) とタンタル(V) の水熱化学
7.	4	化学輸送法による ZrS ₂ 及び NbS ₂ 単結晶の育成・・・・・・・・・・・・・・・・・・・・・・・・・・・・・・・・・・・・
8.	将	来の展望
9.		究成果
9.	1	
	2	試料提供
		

1. 研究概要及び構成

1.1 緒言

本報告は無機材質研究所第7研究グループが酸化チタン (TiO_2) を研究題目として取り上げ、昭和49年4月から昭和54年3月まで5年間にわたって行った研究をまとめたものである。研究の主要内容は TiO_2 多形相間の安定関係、特に準安定相出現の謎を解き明かそうと努力したものである。

報告の内容は既に学会誌に発表しているものに 未発表資料を加えてまとめたものであるが,前者 の場合は概略にとどめてあるのでより詳しい情報 はそれぞれの発表論文を参照されたい.

この報告が今後この分野を研究される方々の参 考資料になれば幸甚である.

本研究グループの発展に対し、御指導、御協力 を項いた田賀井秀夫前所長、山口成人所長、岩田 稔総合研究官を初め、客員研究官の鈴木淑夫先生 (筑波大)、高橋洋一先生(東京大)、永長久彦先 生(筑波大)、その他、「チタニヤ研究会」に御参 加下さった諸先生に厚く御礼申し上げる.

1.2 研究概要

二酸化チタンは同質多像を示す代表的鉱物の一 つとして知られており、ルチル(金紅石,正方晶 系)、アナターゼ(鋭錐石、正方晶系)、ブルーカ ィト(板チタン石, 斜方晶系)及び TiO₂-Ⅱ(斜 方晶系)がある。前3者は常圧下で存在し単結晶 として天然に産出するが、後1者は20 katm 以上 で存在する高圧相である. 同じ正方晶系や斜方晶 系であっても原子の配列の対称性が違 うのであ る. 基本的な構造はいずれも TiO2 で Ti 原子は 八面体の隅に位置する6個の酸素原子に取囲まれ ており, この八面体の三次元的連なりの中で, ル チルは2稜, ブルーカイトは3稜, アナターゼは 4 稜、TiO₂-Ⅱ は 2 稜を共有する特徴がある. ー 般に稜の共有が増大するほど八面体の構造が歪む ので、それにより化学的、物理的諸性質に変化を 生じている. 従来, アナターゼとブルーカイトは はルチルの低温安定相として知られており,これ ら多形相間の熱力学的安定関係及び相転移機構等 が不明瞭であった.

一方,工業的側面からみるとルチルは光の屈折率が高く、単結晶は宝石として利用されているが、粉体は白色顔料として比類のない特性を示して広い用途をもっている。この白色顔料製造工程の中で硫酸法によれば、硫酸チタニルの加水分解により最初に出現する固相はアナターゼである。そのために、最も特性の優れたルチルへ相転移させる必要があり、それにより複雑な工程が強いられ、合理化を阻害している。したがって、いかなる条件のときにルチルよりもアナターゼが生成しやすいのかその原因究明の必要があった。

以上のような背景に注目し、本研究グループは 多形相間の安定関係を明確にすることを主要研究 目標にした.

アナターゼとブルーカイトは水熱及び気相法による合成を通じて結晶化に及ぼす共存化学種の役割,生成条件の再現性に及ぼす諸要因を検討して安定化機構を明らかにすることに努め,その結果,核生成段階で結晶核表面への共存化学種の配位状態が最も重要であることを明らかにした.更に,多形相の結晶化に関連して水溶液中のチタン(IV)の加水分解反応,溶媒抽出反応の解析から溶存状態との相関性を追求し,水和物ゲルの選択的多形相生成を支配する要因が,水和チタン(IV)イオンの第一配位圏の構造にあることを指摘した

一方,熱力学的観点からギブスの自由エネルギー差に基づく各相の安定関係を確立することに尽力した.本研究を遂行するに当り、特に高純度ブルーカイトの合成をはじめ、装置に関して高温熱容量測定の高精度化、更に溶解熱の精密測定など大きな難題があったが、鋭意努力の結果、予定の成果を挙げることができた.その熱力学的な安定順序は、ルチル>ブルーカイト> TiO₂-II>アナターゼとなりブルーカイトとアナターゼは準安定

相であることを確立した.

物性面ではアナターゼ単結晶の分光学的性質を ラマン散乱の測定により調べて、振動モードを解 析すると共に温度依存性、圧力依存性 を 測 定 し て、その特性を明らかにし、高圧相への転移過程 を追求した。

関連物質の応用研究としては断熱材,プラスチック補強材,摩擦材等に利用が期待されるチタン酸カリウム繊維の合成に注目し,フラックス成長反応の基礎研究の成果として長繊維製造技術を確立し,更に新しい用途への材料開発へ努力して成果を納めた.

1.3 研究構成員

酸化チタン (TiO_2) 研究グループの構成員並びに客員研究官の官職、氏名、任期は次のとおりである.

第7研究グループ

昭和49年4月発足

総合研究官 田賀井秀夫(併)

(49年4月~49年5月)

岩田 稔 (併)

(49年5月~50年4月)

藤木良規 (49年4月~54年3月)

(50年4月 総合研究官)

主任研究官 永長久彦 (49年4月~52年3月)

(52年4月 筑波大学出向)

大坂俊明 (50年4月~54年3月)

三橋武文 (49年4月~54年3月)

(53年1月 主任研究官)

研究員 渡辺 遵 (49年7月~54年3月)

小松 優 (51年2月~54年3月)

泉 富士夫(49年5月~54年3月)

技術員 矢島祥行 (49年4月~54年3月)

客員研究官 鈴木淑夫 (49年6月~54年3月)

高橋洋一 (49年8月~54年3月) 永長久彦 (52年6月~54年3月)

1.4 チタニヤ研究会

П	年月日	議題	出 席 者
1	49. 12. 19	チタニヤ研究の現状につい	 瓜生禮二郎(石原産業㈱) 中住 譲秀(中住クリスタル㈱) 中 重治(名古屋大学) 森本 哲雄(岡山大学) 鈴木 淑夫(筑波大学) 高橋 洋一(東京大学)
2	50. 9. 9	水熱合成と天然石英の生成	環境 岩井 津一(東京工業大学) 円城寺 守(東京教育大学) 武内寿久禰(東京大学) 南部 正光(東北大学) 森川日出貴(東京工業大学)
3	50. 10. 31	無機材料の高温熱化学	Prof. O. J. Kleppa (シカゴ大学,ジェームスフランク研究所長)
4	50. 12. 25	鉱物の水熱合成条件につい	円城寺 守(東京教育大学)武内寿久禰(東京大学)南部 正光(東北大学)
5	51. 3.26	単分散コロイドによる物質 ル	モデ 遊 精(東京教育大学)
6	51. 7.15	部分安定化 ZrO₂ の機械的 の向上	角度 Dr. R. C. Garvie (オーストラリア,連邦科学産業省主席調査官)

酸化チタンに関する研究

7	51. 12. 22	チタン酸塩のイオン交換性につ いて	阿部 光雄(東京工業大学) 高橋 洋一(東京大学)	
8	52. 5.10	スピネル化合物(CuAl ₂ O ₄ ,Fe Cr ₂ O ₄ ,FeV ₂ O ₄ ,ZnAl ₂ O ₄ ,ZnCr ₂ O ₄ など)の熱力学	Prof. C.B.Alcock (トロント大学教授)	
9	52. 12. 12	ブルーカイト安定化の構造的解 析	森本 信男(大阪大学) 鈴木 淑夫(筑波大学)	
し, 砂 構成員	所究内容はい	プの全員が分担執筆した. ただうまでもなく執筆者以外の研究 んでいる. 各章の担当区分は,	2.4 藤木 6.1 大坂 3.1 渡辺 6.2 三橋 3.2 三橋 7.1 藤木 3.3 渡辺 7.2 藤木 4.1 永長 7.3 泉 4.2 小松 7.4 藤木 5.1 三橋 8. 藤木	
2. 1		2.3 泉	5.2 藤木 9. 藤木	

2. アナターゼ及びルチルの単結晶 合成と安定化機構に関する研究

2.1 水熱条件下におけるルチルとアナタ ーゼの晶出¹⁻³⁾

2.1.1 水熱法による酸化チタン (IV) の合成

 TiO_2 は 3 種の鉱物、ルチル(正方)、ブルーカ イト(斜方)及びアナターゼ(正方)として天然 に産出する. これらの鉱物はいずれも Ti⁴+ を中 心におき、その周囲に O2- が配位した八面体が構 造の基本単位となっており、それらの結びつき方 だけが異なる. 各八面体が隣接八面体と共有する 稜の数は、ルチルが2稜、ブルーカイトが3稜、 アナターゼが4稜であることから, ルチルくブル ーカイト<アナターゼの順に自由エネルギーが高 くなると Pauling は予想した4). 実際, アナター ゼはあらゆる温度、圧力のもとでルチルより高い 自由エネルギーをもつことが、1967年に熱化学的 測定によって確立された5). ブルーカイトとアナ ターゼは広い温度範囲にわたって, 発熱的かつ非 可逆的にルチルへと転移する. アナターゼ→ルチ ル転移の速度と活性化エネルギーは、酸素欠陥や 格子間イオンの濃度に強く影響されるといわれて いる6).

ルチルとアナターゼは多種多様な方法で合成できった。重要な白色顔料として工業的に大量生産されている。他方、ブルーカイトは極めて特殊な条件下でないと生成しない 8,9)。常圧下で \mathbf{Ti}^{4+} 溶液から生じる沈殿は、無定形かまたは非常に結晶性の悪いチタン酸($\mathbf{TiO_2} \cdot x\mathbf{H_2O}$)である。後者は通常ルチル形あるいはアナターゼ形として析出するが、いずれの結晶構造をとるかは主に共存陰イオンによって決定される 70 .

水熱条件下におけるルチル及びアナターゼの結晶化と反応性に関する論文は、かなりの数にのぼっている. Osborn¹⁰⁾ は、純水中に置かれたアナターゼが約600℃ 以上でルチルへ転化することを見いだした。この温度は空気中でアナターゼがルチルへ転移する温度に比べはるかに低く、水相が反応に関与していることは確実である。チタン酸

を純水で水熱処理すると、結晶性の良いルチルあるいはアナターゼが生成する. 反応温度が低く、圧力が低いほど、準安定相であるアナターゼが結晶化しやすいが、圧力の効果は反応温度の効果ほど大きくない^{8,9,11,12)}. ルチルの単結晶は硫酸¹³⁾及び種々のフッ化物溶液^{14,15)}を用いて合成できる. 一方、アナターゼ単結晶の水熱合成については、信頼するに足る報告はまだ発表されていないようである.

本研究の目的は次の二つに大別される.

- (1) Ti^{4+} 溶液中の無機陰イオンの種類及び濃度の変化が、 TiO_2 の多形生成にどのような影響を与えるかを明らかにし、その機構を追究する.
- (2) (1)から得られた情報を活用して、物性測定に供せる程度の大きさのアナターゼの単結晶を合成する.

常圧下,100°C 以下の温度における結晶性の低いチタン酸の生成を除けば,酸性あるいは中性溶液からの TiO_2 の多形生成に関する論文は,これまでほとんど発表されていない。また水熱溶液に対して, TiO_2 は比較的低温でかなり高い溶解度を示すので,水熱法は(2)の目的に最適であると予想される。

2.1.2 水熱合成の実験法

(1) 試薬

チタン (IV) エトキシドは 市販品をそのまま使用した. ルチル形 TiO_2 の単結晶(中住クリスタル)は、公称純度99.99%の TiO_2 を原料に用い、ベルヌーイ法で製造されたものである. 同じく公称純度 99.99% のルチル粉末は高純度化学研究所から購入した. 他の試薬はすべて特級品を使用した.

(2) 無定形チタン酸の合成

チタン (IV) エトキシドを 大過剰の純水中に注いだ、析出した白色沈殿をデカンテーションによって数回純水洗浄し、 吸引ろ過後、 P_2O_5 上で減圧乾燥した、このサンプルの含水量を熱重量測定で求めたところ、約23%であった。

(3) 酸溶液によるチタン酸の水熱処理

チタン酸 (30 mg)と鉱化剤溶液 (0.1 cm³)を直径4 mm,有効長30 mm の金カプセル中に封入した. 内容積27 cm³,内径12.7 mm のコールドシール型圧力容器(日機装,NK-H25-Ⅲ)に、4 本のカプセルを一緒に入れた.容器内外の温度差とカプセル両端の温度差とを大幅に減らすために、カプセル上部の空間にハステロイ製の丸棒を装てんした160. 圧力容器は、垂直に設置した管状炉中で加熱した. 反応温度は圧力容器の外壁の穴に先端を差込んだクロメルーアルメル熱電対で測定した. 圧力容器を加熱する際、カプセル内部の流体の圧力も当然上昇するが、圧力容器中に導入した水から伝達される圧力とのきっ抗によって、カプセルの破裂を防いだ.

(4) 二重カプセル方式によるフッ化物溶液中での TiO₂ の再結晶

 $0.1\sim4~\rm mm$ の小片に砕いたルチル単結晶(Ru-I)あるいはルチル粉未(Ru-II)を出発物質として用いた。Ru-I($0.15~\rm g$)または Ru-II($0.1~\rm g$)は、わずかなすき間をあけてある金カプセル(直径 $4~\rm mm$,長さ $10~\rm mm$)に充てんした。この小カプセルは,直径 $5~\rm mm$,有効長 $60~\rm mm$ の金カプセルの一端に固定された。鉱化剤溶液 $0.5~\rm cm^3$ をマイクロピペットで加えた後,大カプセルの他端を溶接した。水熱反応は,水平に設置したコールドシール型圧力容器(日機装 NK-H~25-I,内容積 $5.5~\rm cm^3$,内径 $6.4~\rm mm$)を用いて行った。カプセル両端の温度差は $40\sim90~\rm C$ であった。 出発物質の TiO_2 は小カプセル中で溶解された後,大カプセルの他端へと拡散していき,ここで過飽和となって再結晶する。

(5) 生成物の同定と分析

生成相は粉未X線回折($CuK\alpha$)によって同定した。生成物中のルチルとアナターゼのモル分率は、両相の最強X線反射のピークの高さから計算した 17 . TiO_2 中のフッ素含量は、アルフッソンによる分光測光法によって定量した 18 . この分析法については、引用文献 2 に詳述してある.

2.1.3 無機酸中での TiO₂ の結晶化

350℃, 49 MPa において, 5 種類の無機酸で無定形チタン酸を水熱処理した結果を図1に示す. このように酸の種類, 濃度により, 晶出相はルチ

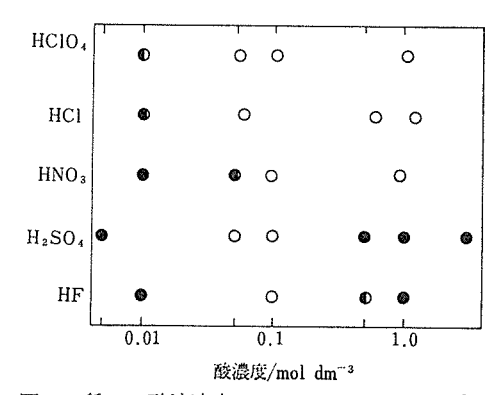
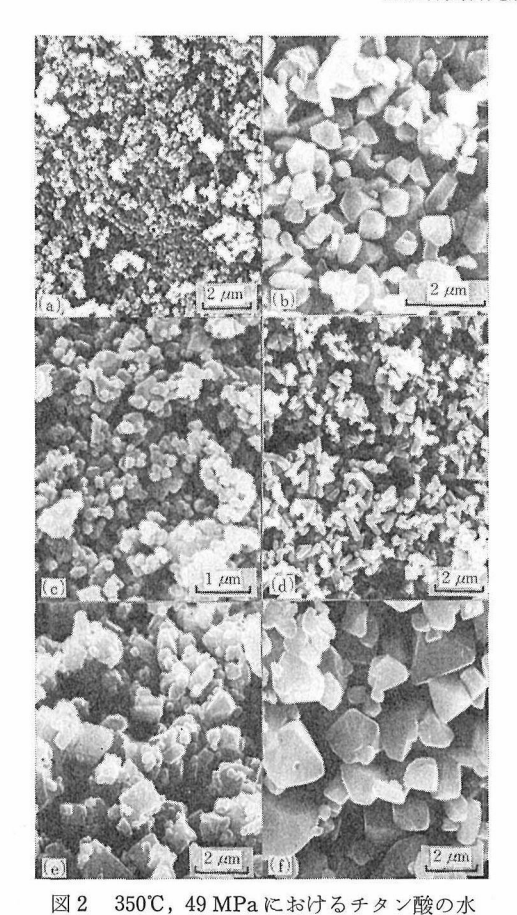


図 1 種々の酸溶液中でのルチル, アナターゼの 結晶化. 反応時間:70h, ○:ルチル, ●:アナターゼ.

ルとアナターゼに分かれる。なお純水中ではアナターゼのみ結晶化した。 $0.1\sim1.0\,\mathrm{mol}\,\mathrm{dm}^{-3}$ のフッ化水素酸中で得られた生成物は青みがかった灰色だったが,その他の生成物はことごとく白色ないし黄色がかった白色粉未であった。前者の例外的な着色の原因については,後で詳しく述べることにする。

まず目につくことは、酸濃度が 0.05 から 0.01 mol dm⁻³ へと減少するにつれて、生成物はいずれの場合もルチルから準安定相であるアナターゼへ移行していくことである。チタン酸はこのような希薄な酸には、ほとんど溶解しないであろう。チタン酸は、その構造に含まれるイオン(Ti^{4+} , OH^- , O^{2-})や水の化学結合の切断と再配列によって、溶液を経由せずに、水を放出しながら結晶化したに違いない。それではアナターゼ形として結晶するのはなぜだろうか。アナターゼの構造と多くの共通性をもつ、狭い範囲の規則的な原子配列(short-range order)が、すでにチタン酸には存在しているという解釈も成立つ。しかし、たったこれだけのデータから、軽々しく断定を下すわけにはいくまい。

図 2 に水熱合成で得られた代表的な試料の走査型電子顕微鏡写真を示す.凝縮系での結晶化を通じて純水中で合成されたアナターゼ(a)は,特有の晶癖をもたない,同程度のサイズの微粒子が集合したものである.これに対し, $50 \, \mathrm{mol} \, \mathrm{m}^{-3} \, \mathrm{以上の濃度の酸} \, [(b) \sim (f)] \, \mathrm{中では, } \, \mathrm{ルチルとアナターゼは自形を呈した, かなり大きな粒子へと成長していることがわかる.すなわち, <math>50 \, \mathrm{mol} \, \mathrm{m}^{-3} \, \mathrm{以}$



熱処理によって合成された TiO₂ の走 査型電子顕微鏡写真。 (a)アナターゼ(純水)。 (b)ルチル (0.058 mol dm⁻³ 塩酸)。 (c)ルチル (0.92 mol dm⁻³ 硝酸)。 (d)ルチル (0.049 mol dm⁻³ 硫酸)。 (e)アナターゼ (1.0 mol dm⁻³ 硫酸)。 (f)ルチル, (0.10 mol dm⁻³ フッ化水 素酸)。

上の濃度の酸には、チタン酸はかなりよく溶けるのである.結晶質の TiO_2 よりはるかに不安定なチタン酸で飽和している酸溶液は、結晶質の TiO_2 にとっては当然過飽和となる.その結果、まずルチルあるいはアナターゼがチタン酸の表面で不均一核生成し、活性なチタン酸の溶解を通じて成長していくのであろう(溶解・析出機構).

図1をながめなおしてほしい. 過塩素酸,硝酸,塩酸からはルチルのみ沈殿する. 一方硫酸,フッ化水素酸からの析出相は,酸濃度の増加と共

にルチルからアナターゼへと移行していく. 塩酸中での TiO_2 の結晶化挙動は、 $Matthews^{12}$)の報告したものとよく一致している. 純水、塩酸、炭酸ナトリウム溶液を鉱化剤溶液に用いた実験に基づき、中性、塩基性及び弱酸性の溶液はアナターゼの生成を有利にし、より酸性条件下ではルチルが出現すると Matthews は主張した. しかし硫酸とフッ化水素酸を用いた実験の結果(図1)から判断すると、彼の導き出した結論は全く誤っているといわざるを得ない. TiO_2 の結晶化過程で Ti^{4+} がたどる運命は、明らかに pH ばかりでなく酸の種類によって支配されるのである.

比較的低い温度において, TiO_2 が他の酸と比べフッ化水素酸にはるかに溶けやすいことを利用して,温度差法によってルチルとアナターゼの単結晶を合成しようと試みた. $1.7\sim9.5\,\mathrm{mol\ dm^{-3}}$ フッ化水素酸中,温度 $320\sim600^\circ\mathrm{C}$,圧力 $49\,\mathrm{MPa}$ の条件下において, TiO_2 は低温部から高温部へ輸送された(逆溶解現象).したがってフッ化水素酸に対する TiO_2 の溶解は,少なくとも上記の条件で発熱反応であるとみなされる.特に言及しない限り,以下に記述する反応温度は析出部の温度を指すものと約束する.Kuznetsov と $Panteleev^{19}$ の報告と異なり,フッ素を主成分とするチタン (IV) 化合物は, $9.5\,\mathrm{mol\ dm^{-3}}$ もの高濃度のフッ化水素酸中でさえ,全く生成しなかった.

360~560℃ の温度範囲で生成した TiO₂ 中のアナターゼのモル分率とフッ化水素酸の濃度との関係を図3に示す. フッ化水素酸の濃度が高く,反応温度が低いほどアナターゼが生成しやすい傾向が認められた. 温度効果のほうが濃度効果より顕著であって,560℃以上ではルチルのみ出現した. X線的に純粋なアナターゼは5.4~9.5 mol dm⁻³のフッ化水素酸中,360℃での反応で単離できた.

ルチルとアナターゼはほとんど不透明な、青色ないし帯青黒色の粒状結晶($<1\,\mathrm{mm}$)あるいはその集合体として、フッ化水素酸から析出した(図4)、アナターゼとルチルとは、X線の助けを借りなければ、全く識別できなかった。アナターゼは非常に高い過飽和度のもとで成長したので、ほとんどの結晶は自形を呈さず、荒れた表面をもっていた。時には半自形、板状のアナターゼが析出することもあった(図4(b))。ラウエ法及び振動結

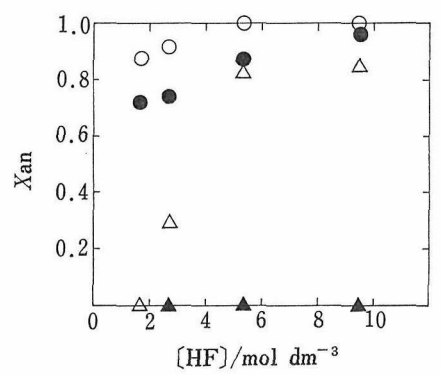


図 3 生成物中のアナターゼのモル分率 とフッ化水素酸の濃度との関係。 出発物質: Ru-I, P=49 MPa, t=5-11 d. ○: 360℃, ●: 400℃, △: 480℃, ▲: 560℃.

晶法によって,これらの単結晶は $\{001\}$ とほぼ平行に発達していることがわかった。 $9.5 \, \mathrm{mol} \, \mathrm{dm}^{-3}$ のフッ化水素酸中, $400 \, \mathrm{C}$ で合成されたアナターゼの転移挙動を高温 X 線回折で追跡した。 $6.5 \, \mathrm{C}$ min^{-1} の 速度 で加熱したところ,アナターゼ は $970 \, \mathrm{C}$ でルチルへ転移し始め, $1210 \, \mathrm{C}$ までに完全に消滅した。

すでに述べたように、フッ化水素酸中で合成さ れた TiO₂ は例外なく淡青色ないし帯青黒色を呈 する. そのフッ素含量を分析したところ、3200~ 7700 ppm の F- が共沈していることが判明した (図5). TiO2 の化学輸送時における Al3+ と同様 (2章 参照), F- は結晶表面にたやすく吸着する ばかりでなく、格子中の O2- 席にその一部が組み 込まれてしまうのである. 生成物は TiO2 と Ti FO^{20,21)} を端成分とする固溶体 TiF_xO_{2-x} (x< 0.032) にほかならない. 結晶全体にわたる 電気 的中性を維持するためには、 取り込まれた F- と 同数の Ti^{3+} の存在が要求される. つまり、 F^{-} を 含む溶液から析出したTiO2のきわだった着色は、 Ti の混合原子価に起因する現象である. 水 熱 溶 液は一般に還元雰囲気にあることを考慮に入れれ ば、強力な還元剤が存在しないのに、Ti⁴⁺が Ti³⁺ にたやすく還元されることが理解できよう.

2.1.4 フッ化物溶液中でのアナターゼ単結晶 の合成

前節では酸性溶液中での TiO₂ 多形の結晶化拳

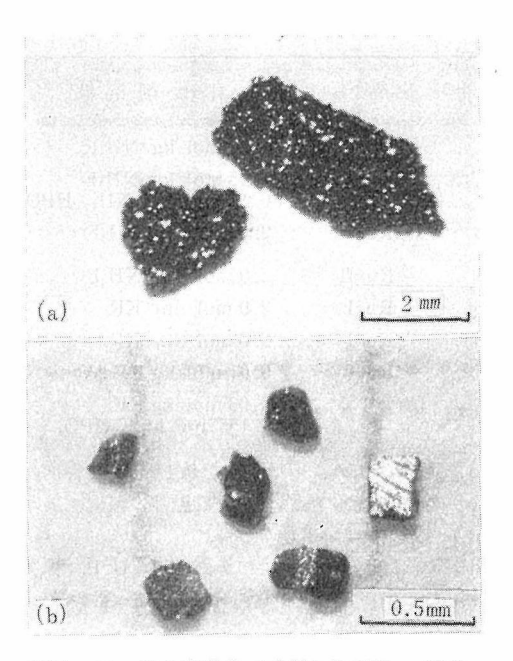


図4 フッ化水素酸中で成長した TiO_2 の結晶。
(a)ルチル結晶の集合体。 $[HF]=1.7 \, mol \, dm^{-3}$, $\theta=480\,^{\circ}$ C, $t=258 \, h$.
(b)アナターゼの板状結晶。 $[HF]=9.5 \, mol \, dm^{-3}$, $\theta=400\,^{\circ}$ C, $t=139 \, h$.

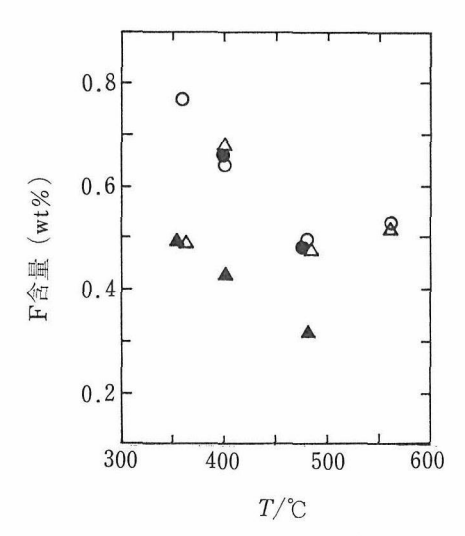


図 5 TiO₂ のフッ素含量 と 反応温度との関係。出発物質:Ru-I, P=49 MPa, t=5-11 d. ○:9.5 mol dm⁻³, ●:5.4 mol dm⁻³, △:2.7 mol dm⁻³, ▲:1.7 mol dm⁻³.

表 1	F^{-}	を含む種	々の溶液からの	TiO2	の結晶化
-----	---------	------	---------	------	------

番号	出発物質a)	鉱 化 剤 溶 液	$\frac{\theta_1^{\text{b}}}{\text{C}}$ $\frac{\theta_2^{\text{b}}}{\text{C}}$	P MPa	t	$\frac{w^{c)}}{mg}$	生成物d)	F含量 (wt%)
1	Ru-II	1.42 mol/kg NH ₄ F	$\theta_1 \rightarrow 480$	49	95		Ru	
2	Ru-II	{ 1.45 mol/kg NH ₄ F 0.16 mol/kg (NH ₄) ₂ HPO ₄	θ_1 \rightarrow 480	49	89		An>U. P.	
3	Ru-I	2. 0 mol/dm ³ NH ₄ F	430→480	49	162	136	Ru (52%) An (48%)	1.4
4	Ru-II	2.0 mol/dm³ NH₄F	400→480	49	190	89	Ru	
5	Ru-I	2.0 mol/dm³ KF	454←500	49	184	9	Ru	
6	Ru-I	2. 0 mol/dm³ KF	530←600	78	163	59	Ru	0.21
7	Ru-I	0. 91 mol/kg KF	529←600	98	353	61	Ru	0.14
8	Ru-I	{ 0. 93 mol/kg KF 0. 155 mol/kg K₂HPO₄	546←600	98	329	52	Ane)	0.032

- a) Ru-I:ルチルの単結晶を 0.1~4 mm 程度の小片に砕いたもの, Ru-II:ルチル粉末.
- b) θ_1 : 低温部の温度, θ_2 : 高温部の温度. 矢印は TiO_2 の輸送方向を示す.
- c) 輸送された TiO₂ の重量.
- d) Ru:ルチル, An:アナターゼ, U.P.: 未知のリン酸塩.
- e) この生成物のリン含量は 12 ppm であった.

動について述べたが、単結晶の合成には、圧力容器やカプセルの腐食を防止するために、中性またはアルカリ性の鉱化剤溶液の方が望ましい。そこでルチル単結晶の合成に有効な鉱化剤として知られている KF 及び NH₄F^{14,15)} を含む溶液を使って、アナターゼ単結晶の合成を試みた。温度差法による水熱合成の実験条件と生成物は表1にまとめてある。

KF 溶液中では TiO_2 は高温部から低温部へと輸送された(吸熱反応). 454%, 49 MPa における 2.0 mol dm^{-3} KF 溶液からの析出相はルチルであった. Kuznetzov^{14,22)} もまた $470\sim585\%$ の Na F 及び KF 溶液からはルチルのみ晶出すると報告している. 500%以下の温度領域における TiO_2 の輸送は著しく遅くなるので,更に反応温度を下げても,温度差法でアナターゼの単結晶を合成できる見込みはないように思われる.

 TiO_2 の多形生成に対し共存陰イオンが支配的な影響を与えることは、すでに前節で強調した.そこで予備実験として、5 wt%の KF 溶液に K_2 $B_4O_7 \cdot 5H_2O$ 、 Na_2SO_4 、 K_2WO_4 、 $Na_2HAsO_4 \cdot 7H_2$ O、 K_2HPO_4 を $5 \sim 7$ wt%添加して同様の実験を行ったところ、 K_2HPO_4 だけがアナターゼの選択的な結晶化に有効だった.硫酸イオンの添加がアナターゼの生成に結びつかなかったのは意外だったが、この結果については次節で言及するつもり

である.

600℃以下の温度領域で $0.1\sim10$ wt%の K_2 HPO₄を添加すれば,アナターゼを結晶化させることができる. しかし0.1 wt% の K_2 HPO₄を添加した場合は, TiO_2 の輸送速度が急激に減少した.600℃弱以上では次第にルチルが生成するようになるが,この温度は水熱条件下におけるアナターゼールチル転化の温度とよく一致している100.

 K_2HPO_4 の添加量が5 wt% を越すと、ごく少量の針状晶の生成が観察された。粉末 X 線回折及び振動結晶法によって、この析出相はb 軸方向に伸長した $K_2Ti_6O_{13}$ と同定された。鉱化剤溶液のpH と K^+ 濃度が高いほど、この複酸化物の結晶化はより顕著になった。例えば5 wt% の K_3 $PO_4 \cdot xH_2O(x=2\sim4)$ を添加した場合の析出相は、 $K_2Ti_6O_{13}$ のみであった。水熱反応前のこの溶液のpH は 12.8 であるが、反応後は6.6 に減少した。これらの実験結果は次の反応式でうまく説明できる。

$6\text{TiO}_2 + 2\text{K}^+ + \text{OH}^- \longrightarrow \text{K}_2\text{Ti}_6\text{O}_{13} + \text{H}^+$

リン酸塩を含む KF 溶液中で成長したアナターゼは、淡青色、透明な単結晶あるいはその不規則集合体である(図 6)。空気中 1000 で加熱すると、これらの結晶は不透明なかっ色に変化した。個々の結晶($<1\,\mathrm{mm}$)はほとんどの場合半自形を呈するに過ぎなかったが、低い過飽和度のもと

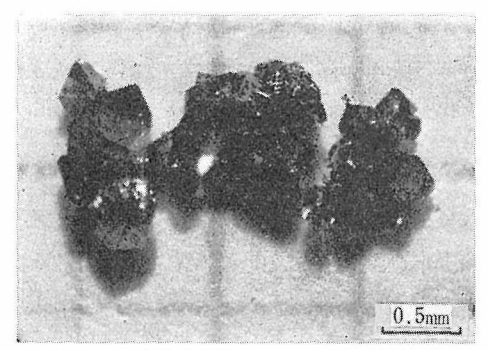


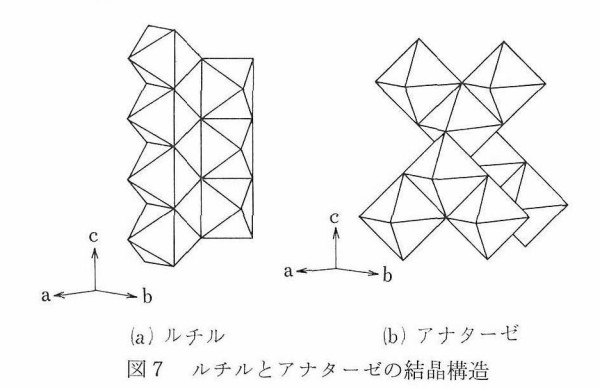
図 6 リン酸塩を添加した KF 溶液を用いて 合成したアナターゼ単結晶の集合体.

で成長した結晶は $\{101\}$ と $\{103\}$ 面が発達し、先端のすぼんだ正方両錐の晶相を示す。 Hartman の PBC 理論 23)によれば、アナターゼの(101)面は F面であって、他の $(h\,0\,I)$ 面はすべて S面である。 [010] を晶帯軸とする晶帯に属する S面のうちでは、(103) 面が最も大きいd_{kkl} 値をもつ。水熱条件下で成長したアナターゼにおける $\{101\}$ 及び $\{103\}$ 面の出現は、これらの構造的特徴を忠実に反映していると考えられる。なお、 $\{101\}$ は天然産のアナターゼ単結晶の場合もしばしば観察される結晶面である 24)。

合成アナターゼ中の不純物は、XMA では検出されなかった.粉未X線回折によって測定した格子定数は、 $a=378.3\pm0.1\,\mathrm{pm}$ 、 $c=950.8\pm0.2\,\mathrm{pm}$ であった.

Kuznetzov^{14,22)} の指摘どおり、 TiO_2 は NH_4F 溶液中で逆溶解現象を示した。 480° C における 2 mol dm^{-3} の NH_4F 溶液からの析出相は出発物質のサイズに依存するという奇妙な事実 が 判 明 した。 すなわち, Ru-I を使用するとルチルとアナターゼの混合物が(実験No. 3),Ru-II を使用するとルチルのみが(実験 No. 4)結晶化するのである。 このような現象は HF と KF の場合決して観察されなかったことだが,その原因は明らかにすることができなかった。

 NH_4F 溶液に少量の $(NH_4)_2HPO_4$ を添加すると、 TiO_2 としてはルチルのみが得られるが、その際未知の化合物も析出した(実験 No.2). XMAによって分析したところ、この副生物の主成分は Ti と P であった。しかし、このリン酸チタンについてはこれ以上調べなかった。こうして得られたアナターゼは、平均 $0.3\,\mathrm{mm}$ の、不透明な黒色



粒状結晶であった.以上の実験事実は、リン酸イオンの存在がNH4F溶液からもアナターゼを選択的に結晶化させ得ることを明示している.

2.1.5 TiO₂ の結晶(核)と陰イオンとの相互作用

水熱条件下におけるルチルとアナターゼの結晶 化を支配する因子は、これらの多形の結晶構造と 水溶液中の Ti4+ 化学種の化学的性質を念頭に置 いて論じるべきであろう。図7はルチルとアナタ ーゼの構造を、〔TiO6〕配位八面体の積み重なり として図示したものである. ルチルの場合, 配位 八面体は相対する2稜を共有してc軸方向に直線 状に連なり, この直鎖同士は頂点共有によって結 合している.アナターゼは、各八面体の上側の二 つの共有稜と下側の二つの共有稜とが互いに直交 するような連結方法をとっている. TiO2 につい て過飽和の溶液中では,溶存 Ti4+ 化学種の加水 分解を通じて、オール架橋やオキソ架橋によって 重合した多核錯体--- TiO2 の結晶核---が生じ る25). 上述の結晶構造上の特徴を考慮に入れる と, ルチルの結晶核は配位八面体が直鎖状に連な っている多核錯体、アナターゼの結晶核は非直鎖 状の連結方法をとる多核錯体と推定される.

ここでF-を含む溶液中での TiO_2 の核生成過程について想像をたくましくしてみよう. 4 価のIV A族金属は典型的なハード塩基であって $^{26)}$, フッ化物 $^{27,28)}$, 硫酸 $(HSO_4$ -, SO_4 ^{2-) $^{29)}$} 及びリン酸 $(H_2PO_4$ -, HPO_4 ²⁻, PO_4 ³⁻) イオンに対し強い親和力をもっている. ルチルを出発物質に用いた実験でアナターゼが生成していることから, ルチル

における Ti-O-Ti 及び Ti O Ti 結合は、F-を含む溶液に溶解する際、完全に切断されてしま

うとみなして良い。その結果生成するのは, F^- , O^{2-} , OH^- 及び H_2O のようなハード塩基を八面 体状に配位した Ti^{4+} の単核錯体にほかならない。温度差法による TiO_2 の輸送の方向から判断すると, TiO_2 の溶解部分モルエンタルピーはフッ化 水素酸と NH_4F 溶液の場合負,KF 溶液の場合正である。この事実は,これら 2 組のフッ化物溶液中の溶存化学種の組成と構造が,互いにかなり異なることを暗示している。

Ti⁴⁺の単核フルオロ錯体は過飽和状態での"ゆらぎ"を通じて重合し、構造的にルチルあるいはアナターゼに関連づけられる多核錯体(はい種)を形成する。更に重合が進行すると、多核錯体はルチルまたはアナターゼの結晶核にまで肥大する。こうして生成した結晶核の骨組みにしたがって、三次元の結晶格子が秩序正しく組み立てられていくのである。

母液中のリン酸イオンはアナターゼの生成を促進する(あるいはルチルの生成を妨げる)作用をもつ。フッ化物の溶液に対し十分な量のリン酸イオンを添加すれば、溶存 Ti^{4+} は必然的にフッ化物イオンとの混合配位子錯体を形成するであろう。この場合、 Ti^{4+} に配位しているリン酸イオンがアナターゼの選択的な結晶化において、決定的な役割を演じるのである。 $NH_4F-(NH_4)_2HPO_4$ 溶液からは、アナターゼと共に結晶質のリン酸チタンが析出した。この結果は Ti^{4+} とリン酸イオンとの強い錯形成を物語っている。これと関連して、最近 Duncan と $Richards^{30)}$ は、 Ti^{4+} の配位圏内に存在する硫酸イオンが Ti^{4+} の加水分解速度を抑制する作用をもつことを指摘した。

空気あるいは水蒸気と接触している金属酸化物は、普通水酸基の単分子層で覆われている^{31,32)}. TiO₂ 表面上の水酸基は両性を示す. そのうち塩基性水酸基は酸性あるいは中性溶液中で、フッ化物、硫酸及びリン酸イオンのような異種陰イオンによって容易に置換される^{31,32)}. 水熱条件下においても、上記の異種陰イオンはルチルとアナターゼの結晶(核)表面に化学吸着していると断定してよかろう.

 F^- と O^{2-} のイオン半径及び電気陰性度は非常に似通っている。 したがって, F^- は結晶成長過程において, TiO_2 表面のかなりの部分に付着す

るばかりでなく、その結晶格子にたやすく取り込まれる。表 1 と図 5 から明らかなように、3 種のフッ化物溶液(約 2 mol dm^{-3})中で結晶化した TiO_2 のフッ素含量は次の順序に減少した。

NH₄F>HF>KF

KF- K_2 HPO $_4$ 溶液中で成長したアナターゼは KF 溶液中で得られたルチルと比較し、非常にわずかの F^- しか含んでいない。またアナターゼ中に取り込まれたリン酸イオンは、定量困難なほど微量だった。成長途上のアナターゼの固・液界面において、リン酸イオンの吸着と脱着が容易に起こることを、上述の事実は間接的に証拠立てている。

Ti⁴⁺ に対する親和力の強い陰イオンの濃度が増加するにつれて、結晶(核)表面に対する陰イオンの吸着量も増加するに違いない。過飽和溶液中での単核 Ti⁴⁺ 錯体の加水分解によって TiO₂ の結晶核が生成する際、Ti⁴⁺ と結合していた異種陰イオンの一部は結晶核の表面に残留し、残りは水相へ放出される。これらの配位子の結合様式と錯形成の度合はルチルとアナターゼの相対核生成速度を大きく変動させ、結果として結晶核及びマクロな結晶の構造を決定することになる。

他方、 Ti^{4+} に対する錯形成能の低い ClO_4 -、 NO_8 - 及び Cl^- は TiO_2 の表面にほとんど吸着しない. したがって過塩素酸、硝酸、塩酸中では、陰イオンとして O^{2-} と OH^- しか含まない、ルチル類似の構造をもつ多核錯体が生成する は ず で ある.

水相における自由分子(イオン)と結晶核との間の自由エネルギー差 ΔG は、結晶核生成に伴う過剰表面エネルギー ΔG s と過剰体積エネルギー ΔG v の和で表わせる 33).

$\Delta G = \Delta G_S + \Delta G_V$

フッ化物、硫酸、リン酸イオンの化学吸着の結果として、アナターゼ核の ΔG_S がルチル核の ΔG_S と比べかなり小さくなると仮定すると、アナターゼの臨界核がルチルの臨界核よりも熱力学的に安定となる可能性が出てくる。言い換えれば、結晶核のような極端に比表面積の大きい微細粒子における両相の相対安定度は、マクロな結晶の場合と逆転してしまうということである。 $0.5 \, \mathrm{mol} \, \mathrm{dm}^{-3}$ 以上の濃度の硫酸とフッ化水素酸、リン酸イオンを添加したフッ化物溶液中でのアナターゼの準安

定な結晶化は、硫酸、フッ化物あるいはリン酸イオンによるアナターゼ核の顕著な安定化を忠実に反映していることは疑う余地がない。KF 溶液に Na_2SO_4 を添加してもルチルしか生成しなかった。これは硫酸イオンの錯形成能はフッ化物イオンの錯形成能よりだいぶ低いので、硫酸イオンがフッ化物イオンに打勝って Ti^{4+} に配位するのは困難なためであろう。

異種陰イオンによるアナターゼ核安定化の傍証を固める上で、硫酸、フッ化物及びリン酸イオンを吸着しているアナターゼは、純粋なアナターゼよりはるかにルチルへ転移しにくいことも見逃せない事実である^{34,35)}. この相転移の際、ルチルはアナターゼ粒子の表面で核生成した後、その内部へ向かって広がっていくとされている³⁶⁾. したがって、表面の Ti⁴⁺ と異種陰イオンとの錯形成が、アナターゼの表面をルチルへの転移に対して安定化していると解釈して差し支えない.

以上提案したモデルでは、ルチルとアナターゼの生成比は両者の核生成の相対速度によっておおむね決定されると、暗黙のうちに仮定している。 実際、9 mol dm⁻³ もの濃厚な硫酸¹³⁾ やフッ化水素酸²⁾ 中でさえ、ルチルの結晶成長は非常にスムーズに進行するのである。

2.1.6 結論及び今後に残された問題

- (1) 結論
- (イ) 無定形チタン酸を350℃, 49 MPa において種々の濃度の無機酸で処理するときの TiO₂ の結晶化挙動は酸の種類に依存し, 二つの相異なるグループに分かれる. すなわち, 酸濃度が増加するにつれて, TiO₂ の析出相は, 過塩素酸,硝酸,塩酸中ではアナターゼからルチルへと変化するのに対し,硫酸,フッ化水素酸中ではアナターゼールチル→アナターゼの順序で移り変わっていく.
- (D) 非常に希薄な酸濃度領域において得られたアナターゼは凝縮系での結晶化を通じて生成したものであるが, 50 mol m^{-3} 以上の濃度の無機酸中では TiO_2 は溶解・析出機構によって結晶化する.
- (ハ) $1.7\sim9.5 \text{ mol dm}^{-3}$ のフッ化水素酸を鉱化 剤溶液に用いれば、ルチル及びアナターゼの結晶 を $360\sim560$ で において温度差法によって合成できる。この際、反応温度が低く、酸濃度が高いほ

- ど,アナターゼ形が析出しやすくなる.
- (二) KF 及び NH_4F 溶液からはルチルしか析出しないが、同じ溶液に K_2HPO_4 や $(NH_4)_2HPO_4$ のようなリン酸塩を添加すると、アナターゼが容易に結晶化する.
- は) F^- を含む鉱化剤溶液中で晶出した TiO_2 は 多かれ少なかれ F^- を共沈しており、電気的中性 を維持するために Ti^{4+} の一部は Ti^{3+} に還元されている。フッ素含量が多いほど、結晶の呈する色(青ないし黒)は濃くなる.
- (个) 多量のフッ化物、硫酸及びリン酸イオンの存在下におけるアナターゼの生成は、これらの陰イオンが TiO_2 の結晶核表面に対し配位する結果、アナターゼの結晶核がルチルの結晶核と比較して相対的に安定となることに起因する.

(2) 今後に残された問題

後述する TiO2 の気相成長(2.3) と水熱合成 (2.1) の研究を通じて、これまで明確に気付かれ ていなかった重要な事実を明らかにすることがで きた. すなわち, アナターゼ→ルチル転移を妨害 する金属イオン(Al3+)及び陰イオン(フッ化物, 硫酸、リン酸イオン)は、例外なくアナターゼ を選択的に結晶化させる能力をもつということで ある. アナターゼの結晶化におけるこれらの異種 イオンの働きが単にアナターゼ(核)の転移を防 止することだとは到底思えない. しかし, 2.1 と 2.3 で提出したシナリオ――異種共存イオンの取 り込みあるいは付着に伴うアナターゼ核の相対的 な安定化――は、まだ推測の域を脱しているとは 言い難い. 高温の気相中あるいは高温・高圧の水 溶液中の核生成という, か酷な条件のもとでの複 雑な現象を解析し、筆者の考えを実証する方法 (手段) は 今のところ 見当らないことを最後に申 し添えておく.

参考文献

- F. Izumi and Y. Fujiki: Bull. Chem. Soc. Jpn., 49 709 (1979).
- F. Izumi: Bull. Chem. Soc. Jpn., 51 1771 (19
 78).
- 3) 泉 富士夫: 現代化学, No. 93 22(1978).
- 4) L. Pauling: J. Am. Chem. Soc., **51** 1010 (19 29).
- 5) A. Navrotsky and O. J. Kleppa: J. Am. Ce-

- ram. Soc., 50 626 (1967).
- R. D. Shannon and J. A. Pask: J. Am. Ceram.
 Soc., 48 391 (1965).
- Gmelins Handbuch der Anorganischen Chemie, Titan (Verlag Chemie, 1951) pp. 226–231.
- 8) I. Keesmann: Z. Anorg. Allg. Chem., **346** 30 (1966).
- 9) E. Schwarzmann and K.-H. Ognibeni: Z. Naturforsch., Teil B, 29 435 (1974).
- E. F. Osborn: J. Am. Ceram. Soc., 36 147 (1953).
- F. Dachille, P. Y. Simons and R. Roy: Am. Mineral., 53 1929 (1968).
- 12) A. Matthews: Am. Mineral., 61 419 (1976).
- 13) M. L. Harvill and R. Roy: Crystal Growth, Ed. H. S. Peiser (Pergamon Press, 1967) p. 563.
- 14) V. A. Kuznetzov: J. Cryst. Growth, 3, 4 405 (1968).
- 15) M. Passaret, Y. Toudic, A. Regreny, R. Aumont and J. F. Bayon, J. Cryst. Growth, 13.14 524 (1972).
- 16) A. L. Boettcher and D. M. Kerrick: Research Techniques for High Pressure and High Temperature, Ed. G. C. Ulmer (Springer-Verlag, 1971) p. 179.
- 17) R. A. Spurr and H. Myers: Anal. Chem., 29 760 (1957).
- 18) 橋谷 博,吉田秀世,武藤 博:分析化学, **16** 44 (1967).
- 19) V. A. Kuznetsov and V. V. Panteleev: Kristallografiya, 10 445 (1965).
- B. L. Chamberland and A. W. Sleight: Solid State Commun., 5 765 (1967).
- 21) B. L. Chamberland, A. W. Sleight and W. H. Cloud: J. Solid State Chem., 2 49 (1970).
- 22) V. A. Kuznetzov: Crystallization Process under Hydrothermal Conditions, Ed. A. N. Lobachev (Consultants Bureau, 1973) p. 43.
- 23) P. Hartman: Crystal Growth: An Introduction, Ed. P. Hartman (North-Holland Publishing Co., 1973) p. 398.
- 24) C. Palache, H. Berman and C. Frondel: Dana's System of Mineralogy, 7th ed., Vol. 1 (John Wiley, 1963) p. 583.
- 25) W. スタム, J.J. モーガン: 一般水質化学, 安部喜也,半谷高久訳(共立,1974) p. 229.

- 26) R. G. Pearson: J. Chem. Educ., 45 581 and 643 (1968).
- 27) V. Caglioti, L. Ciavatta and A. Liberti: J. Inorg. Nucl. Chem., 15 115 (1960).
- 28) Yu A. Buslaev, D. S. Dyer and R. O. Ragsdale: Inorg. Chem., **6** 2208 (1967).
- J. Beukenkamp and K. D. Herrington: J.
 Am. Chem. Soc., 82 3025 (1960).
- J. F. Duncan and R. G. Richards: N. Z. J.
 Sci., 19 171, 179 and 185 (1976).
- 31) H. P. Boehm: Angew. Chem., 78 617 (1966).
- 32) H. P. Boehm: Discuss. Faraday Soc., 52 264 (1971).
- 33) 桐山良一: 化学総説, No. 9, 日本化学会編(東京大学出版, 1975) p. 61.
- 34) H. Knoll and U. Kühnhold: Naturwissenschaften, 44 394 (1957).
- C. N. R. Rao, A. Turner and J. M. Honig:
 J. Phys. Chem. Solids, 11 173 (1959).
- R. D. Shannon and J. A. Pask: Am. Mineral.,
 49 1707 (1964).

2.2 酸素分圧制御下におけるアナターゼ の水熱合成と相転移¹⁾

2.2.1 緒言

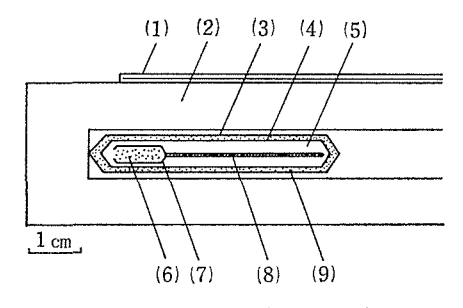
TiO₂ 多形相の中でアナターゼ及びブルーカイ トはルチルに対して準安定相であることを5.1章 で確立しているが、これら準安定相の合成、特に 単結晶の育成には安定化剤が重要な役割を果して いる. 本報では水熱条件下でアナターゼ単結晶を 溶解一析出反応で育成する場合に安定化剤の他に 酸素分圧を制御するといかなる影響が出現するか を検討しようとした. 例えば Osborn (1953)¹⁾ は 水熱条件下でアナターゼの生成領域が圧力依存性 を示すこと、また大気圧下ではアナターゼ→ルチ ルへの転移温度及び転移速度が酸素分圧(または 還元雰囲気) に著しく影響を受ける2,3) ことが知 られている. このような現象から合成の中で酸素 分圧を一つの要因として取り上げると共に, 水熱 条件下で固体酸素緩衝剤の有効性を検討すること を目的とした.

2.2.2 実験方法

出発原料 TiO_2 はチタン (IV) テトライソプロポキシド $Ti[OCH(CH_2)_2]_4$ を加水分解して得た

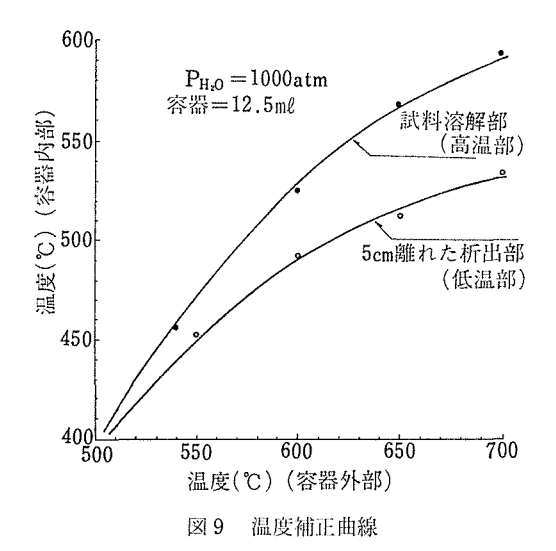
表 2 固体緩衝剤及び水の解離反応と平衡酸素分圧

解	離	反	応		50℃ -530℃ でのPO ₂
(NNO) 2NiO	<u></u> 2№	$i+O_2$		10^{-25} – 10^{-22} (atm)
(HM)	6Fe ₂ O ₃	 4F	e ₃ O ₄ +C)2	$10^{-20} - 10^{-16}$ (atm)
(H_2O)	2H ₂ O≂	⇒ 2H ₂	$+O_2$		$10^{-8} - 10^{-7}$ (atm)



(1)熟電対 (2)圧力容器 (3)Au 大カプセル
 (4)Ptカプセル (5)10%KF+2.5%K₂HPO₄水溶液
 (6)TiO₂非品質体 (7)Au小カプセル (8)支持棒
 (9)酸素緩衝剤

図8 圧力容器内部の三重カプセル の組合せ状態



非晶質 TiO_2 水和物を使用し、単結晶育成溶媒は 10% KF と 2.5% K₂HPO₄ の混合水溶液を用いた、前者のKFは溶媒 4,5,6)、後者の K₂HPO₄ はリン酸イオンを安定化剤 6)に利用している。酸素分 圧(Po_2)制御法は固体酸素緩衝剤を用いた Eugster(1957) 8 方式を採用して検討した、実験に使用した緩衝剤とその解離反応を表 2 に示す。

高圧容器は内容積 12.5 ml のコーンシール型で図8に示すような組合せからなり、金の大小カプセルの他に H⁺ イオン拡散材として白金カプセルを用いた三重カプセル方式を使用した. 温度はあらかじめ熱電対を内部に挿入し、外部と同時に測定した補正曲線を用いて、実際の外部測温から補正した(図9). 図4の単結晶育成反応では温度差を用いた溶解一析出反応のため析出部の温度を記載し、その他の実験では温度差がないため高温部の温度を用いている.

2.2.3 酸素緩衝剤の有効性9)

酸素緩衝剤の有効性を検討した実験結果を表3 に示す、この実験は単結晶育成の場合と異なり白 金と金の二重カプセルで長さも短い. 反応結果は 図10の酸素緩衝剤の解離平衡曲線が示すPo-T状 態図から有効性を判断することができる. H₂O解 離平衡が成り立っていれば Fe₃O₄ はすべて Fe₂O₃ に酸化 されなければならないが, 590℃, 312 時 間でもFe₈O₄が残っおり平衡からのずれが大き渦 ぎて問題が残る. Fe₂O₃-Fe₃O₄ 系では比較的よく 成り立つ、 H2O 以外の溶媒では 反応に長時間が 必要である. Ni-NiO 系では溶媒にH₂O を用いれ ば問題はないが、それ以外では溶媒の影響が認め られる、FeaOa-Fe 系では表2の結果から判断す ると反応がまだ平衡に達していないので問題が残 るが、多分、もっと長時間反応させれば平衡が成 り立つと思われる.

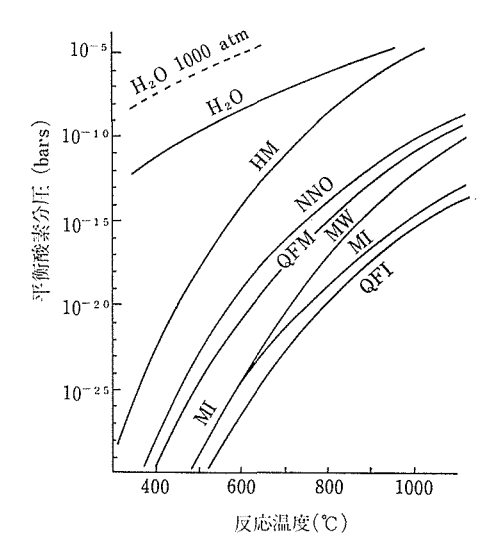


図10 固体酸素緩衝剤の解離平衡曲線

表 3 固体酸素緩衝剤の有効性

暖 衝 剤	反 応 容 器	溶媒	圧 力 (atm)	温 度 (℃)	反 応*	期 間 (時間)
H₂O 系	Pt	H ₂ O	1000	530	Не→Не	312
	"	"	"	"	Mg→Mg>He	312 ∠
	"	"	"	590	Mg→Mg>He	312 ∠
	70%Ag∙Pd	//	"	630	$Mg \rightarrow Mg$	240 ∠
НМ 系	Au-Pt	H₂O	1000	530	He→He⋙ Mg	288
	"	{ 10%KF 2.5%K₂HPO₄	"	″	Не→Не	288 ∠
	<i>"</i>	"	"	"	He→Mg≫He	672
	Au-70% Ag•Pd	<i>!!</i>	"	"	He→He⋙ Mg	432
A ONN	Au-pt	$_{ m H_2O}$	1000	530	Ni→NiO) Ni	288
	"	<i>"</i>	"	″	He→Mg	384
	"	{ 10%KF {2.5%K₂HPO₄	"	″	He→Mg	336
	"	"	"	″	NiO→NiO	288 ∠
	″	″	"	"	NiO→NiO	672 ∠
	Au-70%Ag•Pd	"	"	"	NiO→NiO⋙ Ni	432
M I 系	Au-Pt	H₂O	1000	530	NiO→Ni≫ NiO	384 ∠
	"	H_2O	"	"	Mg→Mg	336 ∠

^{*} He:Fe₂O₃, Mg:Fe₃O₄, △:緩衝系の平衡酸素分圧を満足していない。

相対的には明らかに緩衡剤の効果が 現 れ て お り,HM 系及び NNO 系では比較的よく成り立な ことが判明した.Pt の代りに70%Ag $\cdot 30\%$ Pd の 合金を使用して比較したが,Pt と特に大きな相違 は認められなかった.

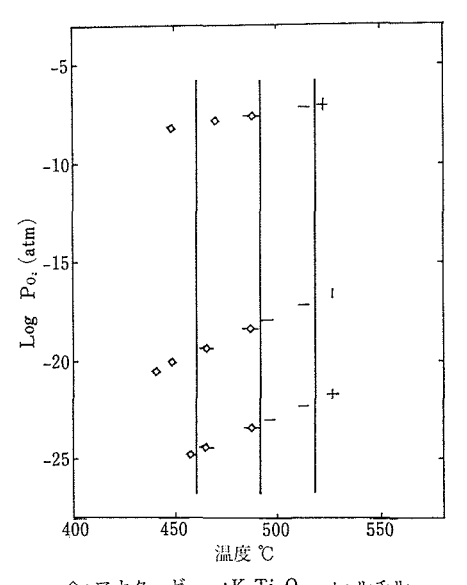
2.2.4 アナターゼ単結晶の育成9)

 $TiO_2 \cdot nH_2O - KF - K_2HPO_4 - H_2O$ 系 水 熱反応の結果を図11に示す。合成相としてはアナターゼ、チタン酸カリウム $(K_2Ti_6O_{13})$ 、ルチルであり、それらの生成領域は低温から高温側に向ってアナターゼ単独相、アナターゼと $K_2Ti_6O_{13}$ の共生相、 $K_2Ti_6O_{13}$ 単独相、 $K_2Ti_6O_{13}$ とルチルの共生相に大別される。非常に重要なことは各生成相領域の境界が Po_2 軸に平行して傾斜しないことである。これは温度依存性を強く示すが Po_2 依存性のほとんどないことを意味する。アナターゼは460°C 以下で単独相単結晶を育成することができる。

次にこれら生成相の温度依存性を構造的にみると低温から高温側に向って図12に示すように, c 軸に沿う TiO₆ 八面体の連結様式がより真直な方向へ変化する傾向を示す.

アナターゼ単結晶は基本的には {101} と {103}

面からなる両錐形である(図 13(a)). 天然で良く知られている $\{111\}$ 錐面は出現することがない. 色は単独相領域の結晶で無色から淡 黄色. K_2T_{16}



◇:アナターゼ、一: K₂Ti₆O₁₃, |:ルチル

図11 TiO₂-KF-K₂HPO₄系の温度-P^{O₂} に対する相関係図

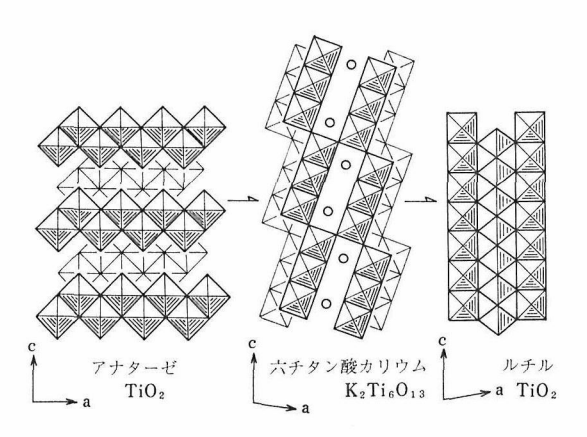


図12 図11の中の生成相の低温から高 温側へ向かう結晶構造の変化

表4 種々酸素緩衝剤を用いて育成した アナターゼの格子定数変化

<u> </u>	a(Å)	c(Å)	$V(\mathring{A}^3)$	$\rho(g/cm^3)$
H ₂ 0600	3.7864(5)	9.509(2)	136. 335	3. 892
$H_{2}0550$	3.7863(4)	9.514(1)	136. 396	3.890
HM600	3.7865(7)	9.511(3)	136. 374	3.891
H N 540	3.781(3)	9.527(8)	136. 231	3.895
N N 0600	3.785(1)	9.507(4)	136. 212	3.895
N N 0560	3.785(2)	9.521(5)	136.421	3.889

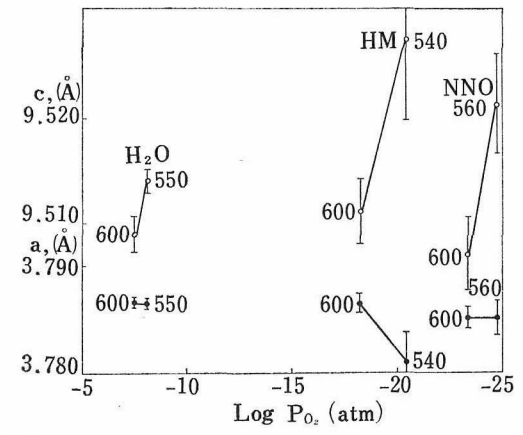
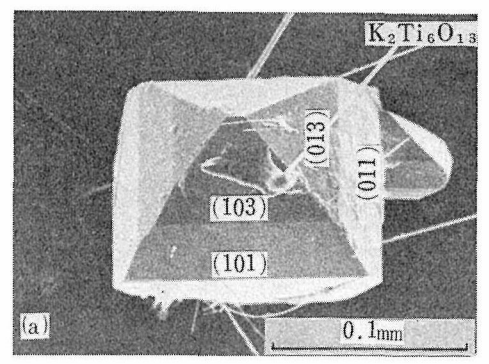
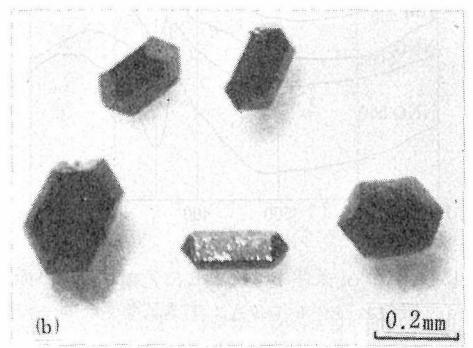


図14 アナターゼの PO2 合成条件と格子定数の変化

O₁₈ と共生する領域では帯淡青色である. 見掛けの色も Po₂ より温度依存性を示す.

 $K_2Ti_6O_{13}$ は単斜晶系に属し、無色の針状結晶で b 軸方向に伸長している。ルチル単結晶は Po_2 が 小さいほど帯黄色板状を呈し、 Po_2 が高いほど帯 淡青色から黒色の短桂状となり Po_2 の影響が最も





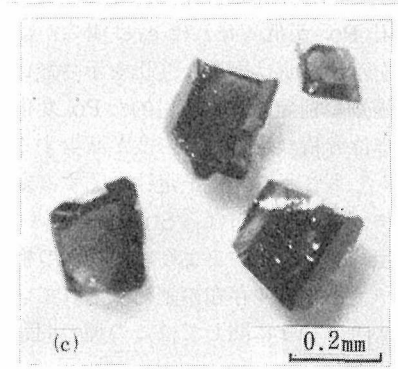


図13 種々 PO₂ 条件下で育成したアナターゼ及 びルチル単結晶: (a)NNO系, 470℃, 14 日間で合成したアナターゼ単結晶(淡青 色), (b)HM系, 600℃, 12日間で合成した ルチル単結晶(黒色), (c)NNO系, 600 で, 12日間で合成したルチル単結晶(淡 青色).

顕著である. ルチルの晶相は $\{100\}$, $\{110\}$, $\{111\}$ 面からなる (図13(b)).

種々 Po_2 条件下で育成したアナターゼ単結晶の格子定数を表4に示す。図14は表3の中で緩衝剤の解離平衝が成り立っているとして示した Po_2 と格子を数の変化である。これから個々の緩衝剤の温度に対する Po_2 の相対的な変化からみると,少

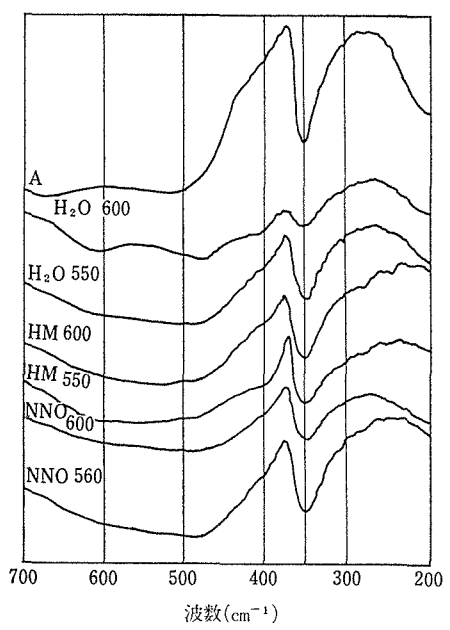


図15 種々P_{O2}条件下で合成したアナターゼの赤外 吸収スペクトル(A:工業試薬アナターゼ)

なくとも Po_2 が低くなれば c_0 は明らかに増大する傾向を示す。 a_0 は顕著な変化を示さない。全体的に緩衝剤の種類による相対的な Po_2 変化からみると,単位容積は増大し,密度が減少する傾向にある。もしもこれらの格子定数に関する変化の傾向がルチルであるならばら Straumanis ら (1961) や shannon が指摘するように,酸素の格子欠損と間隙チタン(III)の存在の証拠とされている。しかし,アナターゼに関してはこの種の問題は不明

である.

次に、合成したアナターゼの IR スペクトルを $200 \, \mathrm{cm^{-1}} \sim 700 \, \mathrm{cm^{-1}}$ の範囲内で 測定した. その 結果を図15に示す. $350 \, \mathrm{cm^{-1}}$ の $\mathrm{Ti-O}$ 変角振動に 帰属される吸収帯は Po_{o} 変化に対して全く変動しないが、 $490 \, \mathrm{cm^{-1}}$ 付近の伸縮振動に帰属される吸収帯はそれほど顕著ではないが、少くとも市販のアナターゼと比較して、水熱条件下で育成したものは低波数側へ大きく移行する.

2.2.5 水熱条件下でアナターゼの相転移

酸素緩衝剤の有効性の検討結果、まだ、今後詳 細に検討すべき問題が残されているが、Fe₂O₃-Fe₃O₄ 系及び Ni-NiO 系緩衝剤では比較的解離平 衡が良く成り立ち有効であることを述べた. その 結果に基づいて上記2種類の緩衝系を中心にし て、H₂O 緩衝系の場合と比較しながらアナター ゼのルチルへの相転移現象に対する Po。制御の影 響を調べた.本実験の出発物質には非晶質 TiO₂・ nH₂O を用いたが、これは脱水反応だけで簡単に アナターゼに結晶化し水熱条件下では 300℃, 3 時間以上でアナターゼに結晶化している. 溶媒に はすべて Po。 制御に 問題の少ない H2O を用いて これに 2.5% K₂HPO₄ の安定化剤を添加したもの と、無添加の2種類の出発物質について転移速度 と Po。制御の相関性を調べた. その結果を 図 16 に示す. 表2で示したように300時間以上では有 効に Pog が 作用しているとして 1000 時間までの 測定結果から次のことが結論できる. 安定化した

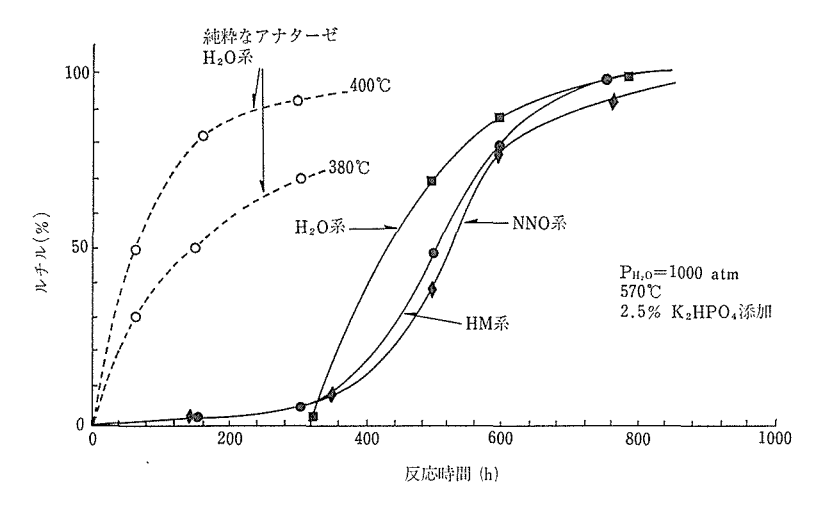


図16 PO₂ 制御水熱条件下のアナターゼ→ルチル相転移曲線

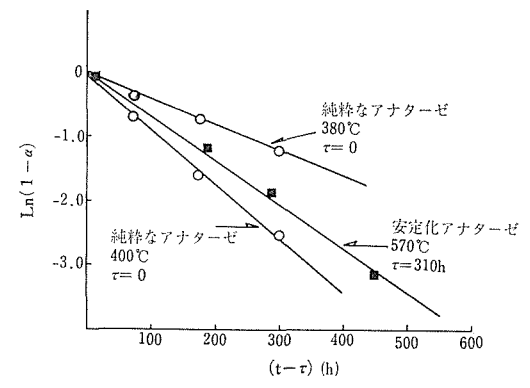


図17 図16の中の純粋なアナターゼ及び K₂HPO₄ 安定化アナターゼ相転移に対する Ln(1ーα) 対 t の相関性

アナターゼの転移は H_2O の緩衝系の場合に反応 誘導時間を必要とするが、HM 系及び NNO 系で は誘導時間を必要としない。前者の場合、570 $\mathbb C$ 、 1000 atm で約 310 時間の誘導時間が必要 であっ た、もちろん、安定化しない純粋なアナターゼは 図 9 で示すように誘導時間は必要でない。

次に安定化しない純粋なアナターゼと安定化アナターゼの転移の速度式を検討した。その結果次の Avrami モデル式 11 に良く適応することが判明した。Avrami 式については 5 章と重複するのでここでは簡単にとどめる。

$$Ln(1-\alpha) = -bt^{n} \cdots (2)$$

$$Ln\{-Ln(1-\alpha)\} = Lnb + nLn t \cdots (3)$$

ここで α は時間 t に対する転移率,b とn は定数 である。n=1 の場合が一次式となり,この場合 にb は速度定数に相等する。

まず、 H_2O 緩衝系の場合で純粋なアナターゼの転移については図17で示すように(2) 式の $Ln(1-\alpha)$ 対 t で直線性を示すことからn=1 の一次式に適応することがわかる。 380 \mathbb{C} と400 \mathbb{C} の測定結果からアレニウスプロットで求めた大体の活性化エネルギーは50.7 100 10

$$\alpha = 1 - e^{-b(t-\tau)n}$$
(4)
ここで τ は誘導時間である.

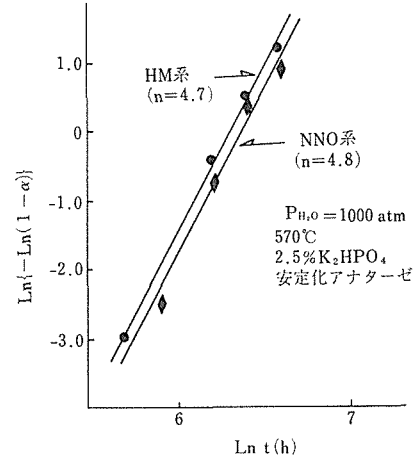


図18 図16の中の純粋なアナターゼ及び K_2 HPO4 で安定化したアナターゼの相転移に対する PO_2 の相違と $Ln\{-Ln(1-\alpha)\}$ 対 Lnt の 相関性

一方、HM 及び NNO 緩衝系で Po_n を制御した安定化アナターゼの転移速度は $n \neq 1$ の場合に適応する. この場合は(3) 式で示すように $Ln\{-Ln(1-\alpha)\}$ 対 Lnt の相関性が直線となる. それを図 18に示す. もちろん n=1 でもこの相関性は満足されて直線となる. この直線の勾配より求めた n の値は n>4 となる. Avrami 式の n と n と n の値は n>4 となる. Avrami 式の n と n の解釈は複雑で無拡散転移(実際には拡散も伴うが)を仮定すれば n=1 の場合は出発時の核形成と粒子境界における連続的な核形成が律速的な役割を示し、新相の成長は速いことが考察される. n>4 では核形成速度は一定でなく増加する傾向を示す. このことは図 n>4 の n>4 では核形成速度は一定でなく増加する傾向を示す.

反応速度式だけから律速段階を決定することはできないが、この章では Po₂ 制御の有効性がアナターゼ相転移の速度式の内容の相違として観測されたことは有意義である。安定化アナターゼに対し Po₂ の低下に伴い誘導期間を必要としなくなることは酸素の格子欠損等が関与し反応を促進するためであろう。

次に、水熱条件下では固相反応転移か溶解—析 出反応転移かの問題がある。 Matthews $(1976)^{120}$ は水熱条件下で非晶質 $TiO_2 \rightarrow 7$ ナターゼ \rightarrow ルチ ル転移を研究し、アナターゼの結晶化は固相反応 であるが、アナターゼ→ルチル転移は溶解—析出 反応であると結論した。本実験で安定化剤を用いたで系は転移温度が高く、反応温度 570° C は図11 の温度領域と比較すると溶解—析出によるルチルの生成領域である。しかし、この場合にも溶媒が能力の低い H_2O であるため溶解—析出反応の確かな寄与は不明である。Matthews の結果によれば H_2O 溶媒の場合に非晶質 TiO_2 は 500° C、216 時間では溶解せず、 600° C、264時間で10%溶解—析出している。

一方,転移の速度式から検討すると,最も一般的な固相転移の速度式に従い,活性化エネルギーも固相転移のそれとほとんど同じであることは固相転移としても説明が可能である.しかし,速度式の内容はn値が異ることから両反応で確かに違っているが,これは環境条件の大きな相違があるためで溶解一析出反応を一義的に決定することはできない.

2.2.6 結論及び今後に残された問題

- (1) 結論
- (イ) Fe₂O₃-Fe₃O₄ 系及び Ni-NiO 系固体酸素緩衝剤は解離平衡が成立しやすい. 水以外の溶媒は長時間を要する.
- (ロ) 非晶質 $TiO_2 \cdot nH_2O$ と $KF-K_2HPO_4$ 系溶媒 との水熱反応は温度だけに依存し、 Po_2 変化に無関係であった。低温から高温側に向ってアナターゼ $\to K_2Ti_6O_{13} \to$ ルチルの 各相の生成領域を形成する.
- (Y) アナターゼ単結晶の色及び形態は酸素分圧 の影響をほとんど受けないが、ルチルは敏感に受 ける.
- (+) アナターゼの格子定数は酸素分圧の低下に伴い co は増大するが ao はほとんど変化しない.
- (対) 水熱条件下のアナターゼ→ルチル相転移は H₂O の解離平衡酸素圧下 と 固体酸素緩衝剤の作 用下では速度式の内容が異なる.
- (A) 水熱条件下 1000 atm での純粋なアナターゼールチル相転移 の 活性化エネルギーは大略 51 kcal/mol であった.
 - (2) 今後に残された問題
- (d) 固体酸素緩衝剤による Po₂ 制御の有効性の 問題は H₂O 以外の溶媒では平衡酸素圧に達する までの挙動が種々溶媒について種々要因により異

なるので詳細な検討が必要である.

(ロ) 水熱条件下でアナターゼからルチルへの相転移に関して Po。制御の影響が速度式の上で差が認められたがアナターゼの合成に関してはほとんど影響が認められなかった、現時点ではルチルに比較して Ti の価数変動及び組成変動が Po。変化に対して安定なためと推定されるが、今後の詳細な検討よりアナターゼの特性として明らかにされるであろう。

参考文献

- 1) E. F. Osborn: J. Am. Ceram. Soc., **36**–5 147 (1953).
- 2) R. D. Shannon: J. Apples Phys., **35**-11 3414 (1964).
- 3) E.F. Heald and C.W. Weiss: Am. Miner., **57** 10 (1972).
- 4) V. A. Kuznetsov and V. V. Panteleev: Soviet Phys.-Crystallogr., 10 3 369 (1965).
- 5) V. A. Kuznetsov: J. Cryst. Growth, 3 & 4 405 (1968).
- F. Izumi and Y. Fujiki: Bull. Chem. Soc. Japan, 49 3 709 (1976).
- C. N. R. RaO, A. Turner and J. M. Honing:
 J. Phys. Chem. Solids, 11 173 (1959).
- 8) H. P. Eugster: J. Chem. Phys., 26 1760(1957)
- 9) 大塚芳郎・藤木良規: 鉱物学会年会予稿集,42 (1976),大塚芳郎・藤木良規・鈴木淑夫: 鉱 物学 会年会予稿集,134 (1978).
- M. E. Straumanis, T. Ejima and W. J. James: Acta Cryst., 14 493 (1961).
- 11) M. Avrami: J. Chem. Phys., 7 1103 (1939); ibid., 8 212 (1940).
- 12) A. Matthews: Am. Miner., 61 419 (1976).

2.3 化学輸送法による酸化チタン(IV)の 合成¹⁾

2.3.1 気相からの TiO₂ 多形相の生成と不純物 効果

気相中の Ti^{4+} 化学種を酸化すると、2種の TiO_2 の多形(変態) ——安定相であるルチルと準安定相であるアナターゼ —— が通常生成する. 陶山ら 2,3)は、 $TiCl_4$ の気相酸化において、反応系の雰囲気が還元性へ向かうにつれて、ルチル形生成率は次第に増加すると報告した。異種物質共存下

での TiO_2 の気相成長に関する文献もいくつか発表されている。 Davtyan⁴⁾ は、 $TeCl_4$ を輸送剤に用いて TiO_2 を化学輸送する際、出発物質に Al_2 O_3 を少量添加するとアナターゼの単結晶が合成できることを見いだした。しかし彼の発見はいくつかの特許の記述 2)と矛盾している。 すなわち、いわゆる塩素法で製造される TiO_2 粉未中のルチル形含量は、 $AlCl_3$ や $ZrCl_4$ のような異種物質を加えることによって増加すると、後者には述べられているのである。

 TiO_2 の多形生成に及ぼす共存 IIIB 族金属 (AI, Ga, In) の効果を明らかにするのが、本研究の目的である.実験法としては、閉管中での HBr と HCl による TiO_2 の化学輸送を採用した.ハロゲン化水素を輸送剤として用いると、系の雰囲気が還元性になる傾向があるので 5 、アナターゼを安定化する添加剤が存在しない限り、上記の反応系はルチルの生成に有利なはずである.したがってこれらの輸送剤は、IIIB 族金属の影響でアナターゼが優先的に生成するか否かを調べるには、最適であると思われる.

2.3.2 酸化チタン(IV)の 化学輸送 とキャラクタリゼーション

出発物質としては、レアメタリック社の公称 99.99% のルチル粉末を用いた。 NH_4Br ENH_4Cl は特級試薬をそのまま使用した。

150~350 mg のルチルとハロゲン化アンモニウムを内径約 10 mm,長さ 9.5~12 cm の 石 英 ガラス製アンプルの一端に導入した。カプセル容積 1 cm^3 当りのアンモニウム塩の重量は, NH_4 Br の場合 6.8~9.8 mg cm⁻³, NH_4 Cl の場合 4.1~4.4 mg cm⁻³ であった。脱気封管した後, 2 個の独立なヒーターをもつ水平管状電気炉中でアンプルを加熱した。HBr 及び HCl ははそれぞれ NH_4 Br と NH_4 Cl の熱分解によって,アンプル中で発生する。 TiO_2 は常に高温部(温度 T_2)から低温部(温度 T_1)へと輸送された ($\Delta T = T_2 - T_1 \approx 100 \text{ K}$).

輸送反応を開始する前に、析出部に付着した TiO_2 の微粉未を完全に取り除く必要がある。そこで、逆方向、すなわち析出部(T_2)から充てん部(T_1)へと、少なくとも15時間付着粒子の化学輸送を行った。

析出部で自発的に結晶化した生成物は、X線回 折($CuK\alpha$)によって同定した。アナターゼの格子 定数は、高純度 Si を内部標準として精密測定した d 値から、最小自乗法を用いて計算した。2 、3 の結晶は、日立 HU-11D 電子顕微鏡及び日本電子 JXA-5A 電子プローブX 線マイクロアライザー (XMA) で調べた。アナターゼ中の A1 含量は、8-キノリノールによる抽出一分光測光法 67 により定量した。

実 No.	添加物 (mol%)	輸送剤	$\frac{wV^{-1a)}}{\text{mg cm}^{-3}}$	$\frac{T_1}{K}$	$\frac{T_2}{\mathrm{K}}$	$\frac{w t^{-1b}}{\mu g h^{-1}}$	生成物 ^{c)}
1		NH₄Br	8. 2	1029	1128	810	Ru
2		NH4Cl	4.1	1023	1127	200	Ru
3	Al_2O_3 (1.0)	NH₄Br	7.7	1023	1132	310	An≫Mu
4	Al_2O_3 (3.7)	NH₄Br	8. 6	1021	1125	190	An≫Mu
5	Al_2O_3 (9.8)	NH₄Br	9.8	1017	1126	220	An≫Mu
6	Al_2O_3 (1.0)	NH₄Br	6.8	1073	1175	180	An≫Mu
7	Al_2O_3 (1.0)	NH₄Cl	4.4	1028	1133	40	An≫Mu
8	$Ga_{2}O_{3}(1.0)$	NH₄Br	7.9	1025	1133	2.8	An
9	Ga_2O_3 (1.9)	NH₄Br	8.8	1011	1121	11	An
10	Ga_2O_3 (2.1)	NH₄Cl	4. 1	1017	1129	4.4	Rn
11	In_2O_3 (1.0)	NH₄Br	8. 7	1023	1131	15	An
12	In_2O_3 (1.0)	NH ₄ Cl	4.1	1020	1125	14	An

表 5 HBr と HCl による TiO₂ の化学輸送

a) カプセル1cm3 当りのアンモニウム塩の重量.

b) TiO₂ の輸送速度.

c) Ru:ルチル, An:アナターゼ, Mu:チタンを含むムライト.

2.3.3 III B 族金属共存下でのルチルとアナター ぜの結晶化挙動

化学輸送反応の実験条件と生 成 物 を 表 5 に示す。アナターゼからルチルへの相転移を防ぐために、これらの実験は比較的低温(T_1 = $1011\sim1073$ K, T_2 = $1121\sim1175$ K) で行った。

高純度のルチルを出発物質として用いると、輸送剤と無関係に、暗青色ないし暗緑色のルチルが結晶化した.一方、 $1\sim9.8\,\mathrm{mol}\%$ の $\mathrm{Al_2O_3}$ を同じ出発物質に添加した場合には、かっ色を帯びた不透明なアナターゼの結晶が析出した(図 19).こうして得られたアナターゼは半自形ないし自形をもたない、最大 $6\,\mathrm{mm}$ の粒状結晶である. $\mathrm{Al_2O_3}$ 共存の結果として、 $\mathrm{TiO_2}$ の輸送速度はかなり減少した. $1270\,\mathrm{K}$ で空気加熱することによって、 $1\,\mathrm{mol}\%$ の $\mathrm{Al_2O_3}$ を添加して合成したアナターゼは極めてゆっくりとルチルへ転移した(転化率: $35\,\mathrm{h}$ 後、38%; $61\,\mathrm{h}$ 後、61%).

 Al^{3+} は結晶成長過程において,アナターゼの表面にたやすく吸着した後,結晶格子中にその一部が取り込まれた。 $AlK\alpha$ の固有 X 線像(図20)から, Al^{3+} はアナターゼ中でかなり不均一に分布していることがわかる.実験 No. 3 の生成物は 0.19%,No. 5 の生成物は 0.30% の Al_2O_3 を含有している.実験 No. 4 で得られたアナターゼの格子定数は,a=378.5 pm,c=950.8 pm であった.これらの値は,1 mol% の Al_2O_3 の存在下で合成されたアナターゼの格子定数と非常によく一致している.なおc の値 は 純粋なアナターゼ の 値⁷⁰(951.4 pm)より少し小さいが,a の値は両者ともほとんど同じだった.

Al₂O₃ を加えずに合成したルチルを粉砕する

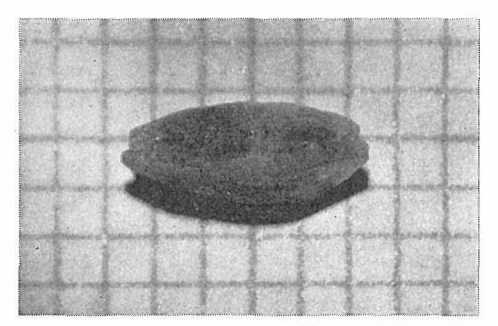


図19 1 mol%の Al₂O₃ を添加して合成した アナターゼ単結晶. 1 目盛=1 mm

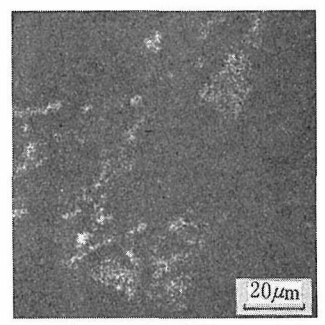


図20 $1 \mod 80$ Al_2O_3 を添加して合成したアナターゼ結晶の断面における Al_2O_3 の分布.

と,わずかに緑青色を帯びている.これは,金属 過剰の方向へ化学組成が逸脱する際, Ti^{4+} が一部 Ti^{3+} に還元されるためである $^{8,9)}$. 他方,Al を含むアナターゼを粉砕した試料は,純白であった.これらの観察から,アナーゼ格子中に取り込まれた Al^{3+} は 6 配位の Ti^{4+} を置換しており,同時に陰イオンの空孔が発生して電気的中性が保たれると推定される $^{9,10)}$. 同じ位置が Ti^{3+} によって占められた場合に,結晶は青ないし黒に着色するのである.

アナターゼに伴って、放射状に集合した針状晶が常にごく少量生成した。これらの結晶はアンプルの内壁ばかりでなく、アナターゼ上にも析出していた(図21)。この副生物はムライト($Al_6Si_2O_{13}$)と同形であり、電子顕微鏡観察によれば、斜方晶系のc軸と平行な方向へ伸長している(図22)。XMAで測定した典型的な化学組成は、 Al_2O_3 、75.2%; SiO_2 、21.6%; TiO_2 、2.3% であった。 Ti^{4+} がその高い陽電荷のために、ムライト

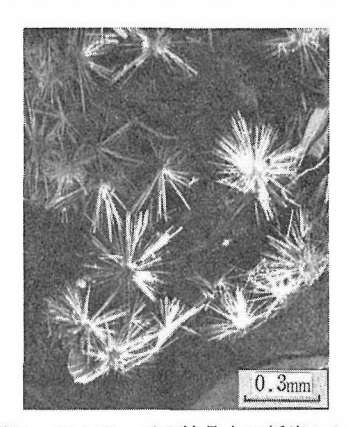
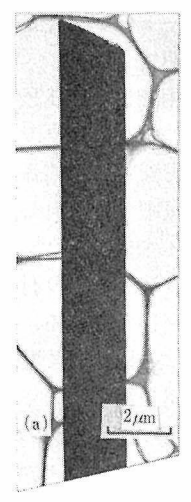


図21 アナターゼの結晶上に析出したム ライトの走査型電子顕微鏡写真.



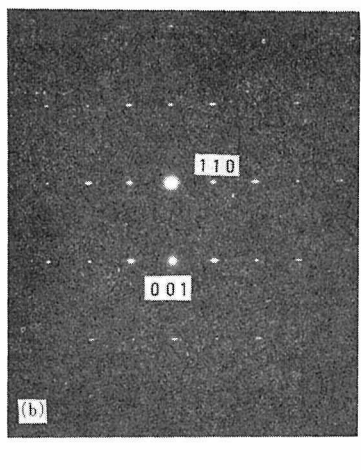


図22 ムライトの針状結晶(a)と その制限視野回折像(b).

によって捕獲されているのは明らかである。6 配位をとる傾向の強い Ti^{4+} は,最近傍に6個の O^{2-} をもつ AI^{8+} と一部置換し,その結果 AI^{3+} は電気的中性を保つために4配位のサイトを過剰に占有すると考えられる 11)。 Si^{4+} 格子イオンが,腐食性のハロゲン化物蒸気と石英ガラスとの反応を通じて供給されたのはいうまでもない 12)。

 Ga_2O_3 と In_2O_3 もまたアナターゼの結晶化に有効な添加剤だったが、実験 No. 10 において例外的にルチルが生成した. TiO_2 以外の生成物はこれらの実験では観察されなかった. Ga^{3+} と In^{3+} の助けを借りて結晶化したアナターゼの形状と透明度は、 Al を含むアナターゼの場合と全く異なっている. 前者は $\{001\}$ 面の発達した、ほとんど透明な板状結晶であり、しばしば双晶を形成していた(図23).

 Al^{3+} と異なり Ga^{3+} 及び In^{3+} は, XMA で検出できる程度には,成長過程でアナターゼ中に取り込まれなかった。 Al^{3+} が Ga^{3+} と In^{3+} に比べ,より容易に,かつより大きな自由エネルギーの減少を伴ってアナターゼの結晶格子に入り込めることを,この結果は物語っている。 Ga_2O_3 と In_2O_3 の添加によって得られたアナターゼは, TiO_2 の着色の原因となる Ti^{3+} が事実上存在しないために,青くも黒くもなかった。このことから見て,微量の Ga^{3+} と In^{3+} がアナターゼ格子に侵入し, Ti^{4+}

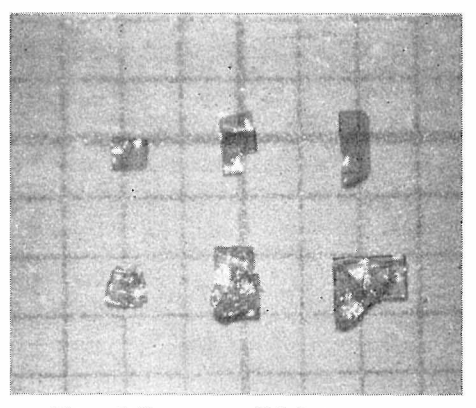


図23 実験 No. 11 で得られたアナター ゼの板状結晶. 1 目盛=1 mm.

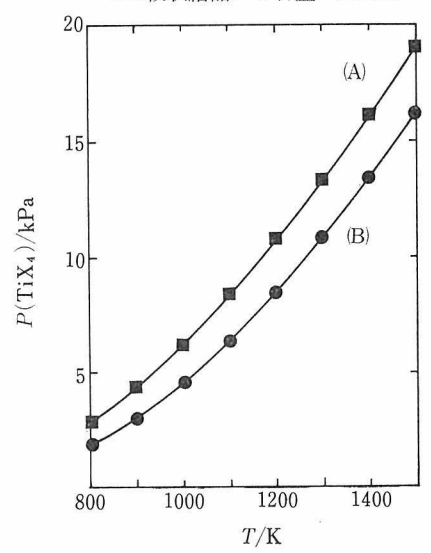


図24 $TiBr_4$ (A) と $TiCl_4$ (B) の分圧と温度との 関係、 n^0 (HX)/V=0.1 $mmol/cm^3$

を置換していることは疑う余地がない.

表 5 に示したように、 Ga_2O_3 と In_2O_3 の添加に伴い、 TiO_2 の輸送速度は1 けたないし2 けた減少してしまう。 Ga^{3+} 及び In^{3+} は、 キンクのような活性な成長サイトに化学吸着されることによって、結晶表面上に単分子ステップが広がるのを妨害すると解釈できる.

2.3.4 ルチルとアナターゼの晶出機構

 ${
m TiO_2}$ は次の可逆的な吸熱反応に従って, 高温部から低温部へと $(T_2
ightharpoonup T_1)$ 輸送されると考えられる $^{8,13)}$.

$$T_{i}O_{2}(c)+4HX(g) \stackrel{T_{2}}{\underset{T_{1}}{\rightleftharpoons}} T_{i}X_{4}(g)+2H_{2}O(g)$$

$$(X : Br, C1) \cdots (1)$$

反応(1)に伴う自由エネルギー変化は、生成物と反 応物の標準自由エネルギーの差で与えられる.

$$\Delta G_{\mathtt{T}}^{\circ} = \Delta G_{\mathtt{T}}^{\circ}(\mathrm{TiX_{4}}) + 2\Delta G_{\mathtt{T}}^{\circ}(\mathrm{H_{2}O})$$
 $-\Delta G_{\mathtt{T}}^{\circ}(\mathrm{rutile}) - 4\Delta G_{\mathtt{T}}^{\circ}(\mathrm{HX})$ ………(2)
三反応系が温度 T において平衡状態にあると

いま反応系が温度Tにおいて平衡状態にあるとすれば、

$$\Delta G_{\text{T}}^{\circ} = -RT \ln Kp = -RT \ln \frac{P(\text{TiX}_{4})P(\text{H}_{2}\text{O})^{2}}{P(\text{HX})^{4}}$$
.....(3)

ただし Kp は 3 種の気体の分圧で表現した,反応 (1)の平衡定数を表わす.反応式(1)から, TiX_4 と H_2O の化学量論比は明らかに 1:2 であることが わかる.

$$2P(TiX_4)=P(H_2O)$$
 (4) ハロゲンを含む化学種の物質収支は次式で表わされる.

n⁰(HX)=n(HX)+4n(TiX₄) ここで n⁰(HX) は反応開始時の HX のモル数, n(HX) は未反応の HX のモル数, n(TiX₄) は TiX₄ のモル数を示す. 理想気体の方程式を用い て上式を変形すると,

式(2), (3), (4), (5) より

$$3 \log P(\text{TiX}_4) - 4 \log$$

 n^0 (HX) 及び T が与えられれば,P(TiX4) の値は,二等分法を用いる電算機プログラムによって式(6)から計算できる.なおこの計算には,参考文献 14) 中の熱化学的データを採用した. n^0 (H X)/V が 0.1 m mol cm⁻³ の場合の P(TiX4) とT との関係を 図24 に示す.

HBr による TiO_2 の化学輸送については、これまで全く研究されていないが、HBr が HCl よりも輸送剤として有効であることを図24は示唆している。表5 中の輸送速度のデータは、この予想を裏付けるものである。

Ⅲ B 族金属の作用によるアナターゼの準安定な結晶化は、次の二つのモデルで説明できよう.

- (1) ハロゲン化チタン(IV)の気相酸化の第1段階では、常にアナターゼ構造をもつ結晶核(クラスター)が生成する。アナターゼを安定化する添加剤が存在しない限り、還元雰囲気中ではこれらの結晶核はルチル核へ容易に転移してしまう^{2,3)}. III B族の金属はアナターゼ核に取り込まれたり付着したりすることによって、この転移を妨げる.
- (2) TiO₂ の析出は、アナターゼの核生成で開始されるとは限らない. Ⅲ B 族金属の添加によってアナターゼが選択的に核生成するのは、これらの金属の取り込み(付着)の結果として、アナターゼ核がルチル核に比べ熱力学的に一層安定となるためである.

ⅢB族金属の取り込み(付着)によってアナタ ーゼ構造が安定化することが、 両者のモデルに共 通の前提条件となっている. Rao ら15) は, アナ ターゼ→ルチル転移を妨げる効果を Al³+ がもつ と報告している. 事実, すでに述べたように, Al を含むアナターゼは、1270 K もの高温において極 めて徐々にルチルへ転移するに過ぎない.この相 転移に及ぼす Ga と In の効果に関する文献は存 在しないようであるが、これらの金属もアナター ぜを安定化し得ると断定して間違いあるまい。ア ナターゼ中の Ga 及び In 含量が非常に小さい ことは、アナターゼの結晶核が Al3+ と比較して Ga³⁺ と In³⁺ を非常にわずかしか含み得ないこと を暗示している. In³+ は Ti⁴+ よりだいぶ大きい ので(イオン半径: Ti^{4+} , 69 pm; In^{3+} , 88 pm), ほとんどすべての In3+ はアナターゼ核の表面に 単に付着しているに過ぎないと想像される.

2.3.5 結論及び今後に残された問題

- (1) 結論
- (4) 出発物質として高純度の TiO₂ を, 輸送剤 として HBr 及び HCl を用いると, 常にルチル形 TiO₂ が析出する.
- (ロ) 同じ出発物質に少量の Al_2O_3 , Ga_2O_3 及び In_2O_3 を添加すれば、アナターゼ形 TiO_2 が選択的に結晶化する.
- (バ) Ga^{3+} , In^{3+} に比べ, Al^{3+} はアナターゼの結晶格子にはるかに取り込まれやすい. その結果, Al^{3+} を含むアナターゼと Ga^{3+} , In^{3+} を含む

アナターゼとは透明度及び形態を異にする.

(二) In₂O₃ 及び Ga₂O₃ の添加に伴い、TiO₂ の 結晶成長速度は著しく減少する。

(2) 今後に残された問題

本研究によって、核生成及び結晶成長過程においてIII B 族金属がアナターゼの構造を何らかの作用によって安定化していることが確立された。前節で述べたアナターゼの準安定な析出に関する二つの仮説のいずれが妥当であるかを実験的に決定するのは、適当な実験方法(手段)が見当らない以上、極度に困難なことである。またIII B 族の金属がアナターゼの安定化においてどのような役割を果たすかについて、現時点ではほとんど解明されていない。これらの異種金属をドープしたアナターゼの相転移挙動と格子欠陥を詳しく研究することが、今後の課題として残されている。

参考文献

- 1) F. Izumi, H. Kodama and A. Ono: J. Cryst. Growth, 47 139 (1979).
- Y. Suyama, K. Ito and A. Kato: J. Inorg. Nucl. Chem., 37 1883 (1975).
- 3) 陶山容子, 大村勝郎, 加藤昭夫: 日化, **1976** 584.
- 4) G. D. Davtyan: Kristallografiya, **21** 869 (19
- 5) P. Peshev, I. Z. Babievskaya and V. A. Krenev: Mater. Res. Bull., 12 1035 (1977).
- 6) 橋谷 博,本島健次:分析化学,7 478 (1958).
- 7) Powder Diffraction File, File No. 21-1272.
- 8) E. Wäsch: Krist. Tech., 7 187 (1972).
- 9) M. D. Beals: High Temperature Oxides, Vol. 5-II, Ed. A. M. Alper (Academic Press, 1970) p. 99.
- K. J. D. MacKenzie: Trans. J. Br. Ceram. Soc., 74 29 (1975).
- R. W. G. Wyckoff: Crystal Structures, 2 nd. ed., Vol. 4 (Interscience Publishers, 1968) p. 187.
- H. Schäfer: Z. Anorg. Allg. Chem., 445 129 (1978).
- 13) T. Niemyski and W. Piekarczyk: J. Cryst. Growth, 1 177 (1967).
- 14) I. Barin and O. Knacke: Thermochemical Properties of Inorganic Substances (Springer-Verlag and Verlag Stahleisen, 1973).
- 15) C. N. R. Rao, A. Turner and J. M. Honig: J.

Phys. Chem. Solids, 11 173 (1959).

2.4 ルチル単結晶の晶相変化と不純効果

2.4.1 緒言

結晶が生成環境に支配されて特異な形態変化を示すことは古くから知られているが、その原因には多くの要因があるため現在でも現象論的研究が主流で結晶成長学の一つの重要な領域をなしている。結晶の成長形を支配する要因には不純物、温度、過飽和度、冷却速度などが知られており、現実にはこれらの要因が相互に影響を及ぼし合うため複雑になってくる。

本報では不純物の影響に重点を置き,フラック ス法によるルチルの育成を通じて結晶構造と不純 物化学種の相関性に統一性が存在し得るか否かを 検討しようとした.

ルチル単結晶は一般に火炎溶融法で簡単に育成できるため、フラックス法による育成例は少ないが、Berkes ら (1965)、Anikin ら (1965) 及びSugai ら (1967, 1969) の貴重な報告がある.

2.4.2 Li₂WO₄-WO₃ 系フラックスからの育成⁵⁾

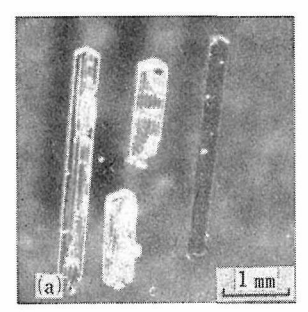
(1) 単結晶育成

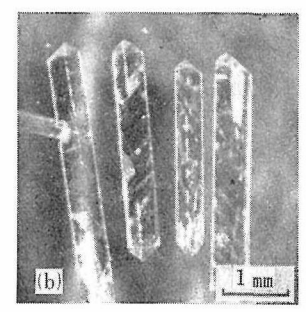
Li₂WO₄-WO₃ 系フラックス を用いて育成した 合成条件と出現した晶相の結果を表6に示す. こ の実験は,50 ml 白金るつぼを使用し, 125℃ で 4 時間保持後950℃ まで 4℃/h の速度で徐冷した. 晶相は WO₃ の添加量の関数として変化し、 3 種 類の型に分類される. Li2WO4 端成分フラックス では{110} > {101}面からなる晶相を示し〔001〕晶 帯へ伸長した針状結晶である. これは Hartman の PBC 理論^{6,7)} に従うとF面だけであり平衡形 に相当する. これを α 型晶相と呼ぶ. 次に WO_3 を5~15 mol%添加すると {110} > {111} 面からな る晶相へ移行する. これを β 型晶相と呼ぶ. これ も[001] 晶帯へ伸長した針状結晶である. WO3 を 20~30 mol% 添加すると {111} < {110} ≈ {253} 面 からなる特異な晶相に変化する. これを γ型晶相 と呼ぶ、これは[101] 晶帯へ伸長した短柱状結晶 である. 合成ルチルでこの種の晶相は知られてい なかった. WO₃ が 35 mol% 以上になると平滑面 を示さず樹枝状結晶となる. 育成した結晶を図 25, その晶相を図26に示す.

育成したルチル単結晶の色は帯かつ 黄色から

表 6	Li ₂ WO ₄ -WO ₃	系フラッ	クスを用いて育成したルチル単結	晶の合成条件と晶相
-----	--	------	-----------------	-----------

出	発組成(mol%)	結晶の大きさ	外	形	é	5	開	相
${ m TiO_2}$	Li_2WO_4	WO_3	(mm)	21	712		_	пц	714
15	85	0	0.2×5	針	状	带衫	易黄	{110}>{101	L}
15	80	5	0.2×10	1.	,	1.	,	{110}>{111	[}
15	75	10	<i>"</i>	1	,	7.	,	"	
15	70	15	"	1.	,	1.	,	"	
15	65	20	0.3×4	短札	主状	科	易	{111}>{110)}≈{253}
15	60	25	0.5×4	1	,	1.	,	"	
15	55	30	//	1	,	濃	褐	"	
15	50	35	1×2	樹杉	支 状	暗	褐		
15	45	40	<i>"</i>	,	,	具	Ę	-	





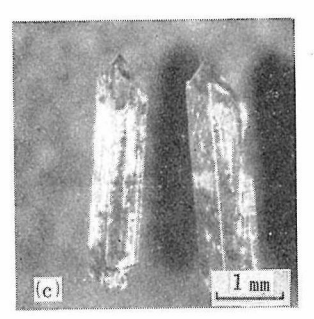


図25 $\text{Li}_2\text{WD}_4\text{-WO}_3$ 系フラックスから育成した代表的ルチル単結晶の形態. (a) Li₂WO₄ 单独, (b) 10 mol% WO₃ 添加, (c) 20 mol% WO₃ 添加

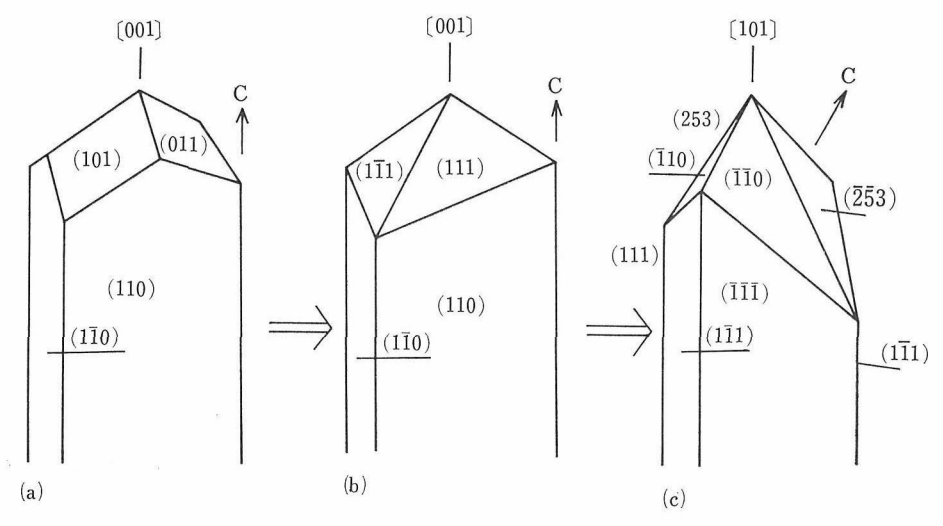
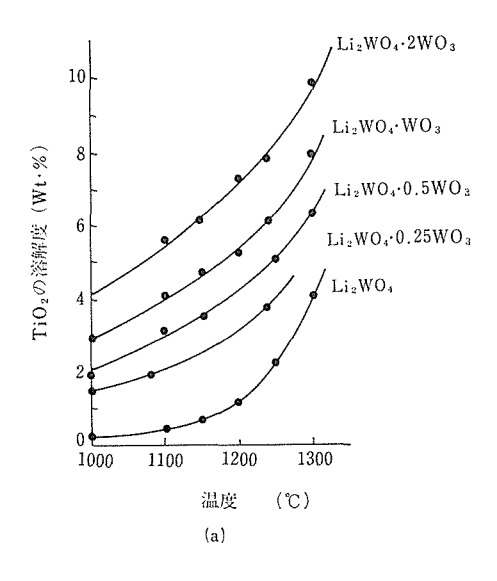
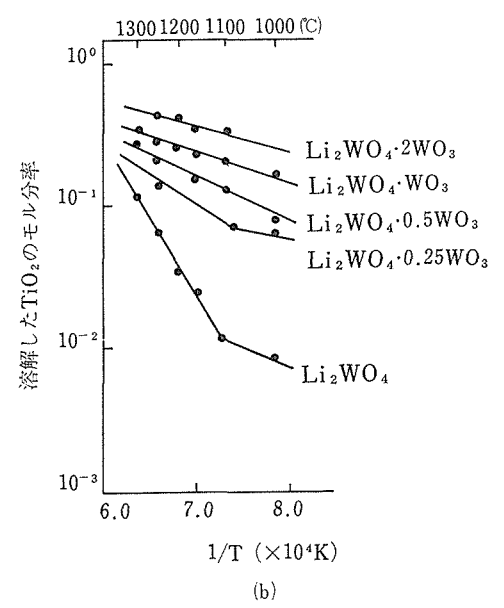


図26 図25の晶相の記載

WO₃ の添加量の増加と共にかっ色、濃かっ色、 なるためと思われる. EPMA で結晶中の W を分

析すると 5 mol% WO₃ を添加した場合約 0.1 wt 黒色へと変化する.その原因は Ti^{4+} が W^{6+} に置 %の含有が $40\,\mathrm{mol}\%$ で約 $1.5\,\mathrm{wt}\%$ まで直線的に 換されるために電荷調整上 Ti⁴⁺ の一部が Ti³⁺ に 増加する. W の分布状態は homogenety index が2以下あることから比較的均一であるが、表面





層の数 μ は異常に高濃度を示す.格子定数もW含量に比例して増加するが,その変化はcよりも aの方が顕著である.したがって格子定数から算出した密度は逆にW含量の増加に伴って減少する 10 .

(2) ルチルの Li₂WO₄-WO₃ 系フラックスへの 溶解性

ルチルの晶相変化剤として WO₃ が有効である ことが判明したので、結晶と WO₃ との反応性を 調べるために溶解度を測定した、溶解度は火炎溶

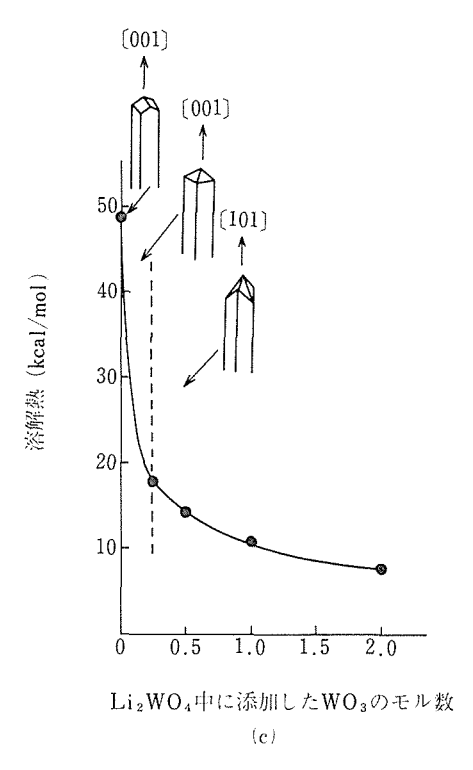


図27 Li₂WO₄-WO₃系の中で種々異なるフラッ クス組成に対するルチルの溶解度: (a)溶 解度, (b)van't Hoff 相関性, (c)溶解熱

融法育成のルチル単結晶を用いて重量法で測定し た. その結果を図27(a)に示す,溶解度は一定組成 では温度に対して、温度一定では WO3 添加量に 対していずれも非直線的な増加を示す. 種々組成 に対して温度と溶解度の van't Hoff 相相関性を 示すと図27(b)となる. これで重要なことは直線の 勾配が Li2WO4 だけの場合とそれに WO3 を添加 したときでは異なることである. これは溶解の反 応機構が WO₃ 添加により変化することを意味す る. 図27(b)の結果から van't Hoff の式を用いて溶 解熱を計算すると 図27(c) のようになる. Li₂WO₄ フラックスへのルチルの 溶解熱 は 約 48.9 kcal/ mol であるが、これにわずか0.25モル数の WO3 を添加すると約 18 kcal/mol まで減少する. これ は WO₃ 化学種が結晶の TiO₂ と非常に大きな反 応性を示すことを意味している.

Kunnman ら 8 は Na₂W₂O₇ のフラックス反応はルイスの酸一塩基理論で説明できるとした. 金属酸化物は強ルイス酸 WO₃ と錯形成して溶解し,

表7 Na₂B₄O₇-WO₃ 系フラックスを用いて育成したルチル単結晶の育成条件と晶相変化

出	発 組	成	結晶の大きさ	外	形	色 調	晶相
TiO_2 (mol %)	$Na_2B_4O_7$ (mol %)	WO_3 (mol %)	(mm)				舶 相
40	60		0.5×5	釒	状	黄 金 色	{110}>{111}
40	57. 5	2.5	1×3	短卡	主状	淡 緑 灰 色	<i>"</i>
40	55	5	1×3	/.	,	"	<i>"</i>
40	50	10	1×5	/.	,	淡かっ黒色	{111}>{110}≈{253}
40	45	15	1×5	/.	•	//	<i>"</i>
40	40	20	1×3	1.	,	"	<i>"</i>

表8 Na₂B₄O₇ フラックスに種々不純物を添加して育成したルチル単結晶の晶相

TiO ₂ mol %	Na ₂ B ₄ O ₇ mol %	7	下純物 mol%	配位数	$Z/(r_c + r_a)^{2*}$	着 色	結晶の大きさ及び晶相 mm
40	45	15,	K ₂ HPO ₄	4	2. 16	帯緑黄色	0.5×5, {110}>{111}
40	35	25,	Na_2HPO_4	4	" "	黄金色	0.5×4, "
40	40	20,	B_2O_3	4	1.39	"	0.5×5, "
40	35	25,	SiO_2	4	1.54	淡緑灰色	0.5×4, "
40	50	10,	WO ₃	6	1.61	淡かつ黒色	1×3, {111}>{110}≈{253}
40	55	5,	$\mathrm{Nb}_2\mathrm{O}_5$	"	1. 26	淡青黒色	1×1, "
40	55	5,	Ta_2O_5	"	//	<i>"</i>	1×1, "
40	30	30,	MoO_3	"	1.58	带灰黑色	$ \begin{cases} 1 \times 4, & \{110\} > \{111\} \\ 1 \times 1, & \{111\} > \{110\} \approx \{253\} \end{cases} $
40	20	40,	V_2O_5	"	1.40	灰 色	$0.2 \times 8, \{110\} > \{111\}$
40	45	15,	SnO_2	"	0.95	黄金色	0.5×5, "
40	45	15,	$\mathrm{Al_2O_3}$	//	0.82	黄 色	0.1×6, "
40	45	15,	$\mathrm{Fe_2O_3}$	″	0.81	帯赤かつ色	0.1×5, "
40	35	25,	Cr_2O_3	"	0.75	暗赤色	0.1×6, "
40	45	15,	ZrO_2	8	0. 81	带緑黄色	0.2×4, {110}>{111}
40	45	15,	CeO_2	″	0.72	黄金色	0.2×4, "
			${ m TiO_2}$	6	1.04		-

^{*} Zは陽イオンの電荷, rcは陽イオンのイオン半径, raは陰イオンのイオン半径

過飽和状態に至れば強ルイス塩基 Na_2WO_4 と反応して金属酸化物を遊離し、結晶化させる.この仮説が TiO_2 と $LiWO_4$ $-WO_3$ 系フラックス反応に適用できるとすれば、上述の溶解現象を都合よく説明することができる.すなわち、 Li_2WO_4 単独とそれに WO_3 を添加した場合は晶相変化はもちろんのこと溶解の機構も異なる.この原因は酸化タングステンの化学種の相違にある. Li_2WO_4 のW は遊離した WO_4 の四面体配位 99 であるが、 WO_3 では WO_6 の八面体配位を示し、項点共有の三次元網目構造である. WO_3 と WO_6 両化学種を比較すると WO_6 の方が TiO_2 と反応しやすいために溶解度が高いと考えられる. 晶相変化に対

しても結晶表面で TiO_6 と WO_6 の錯形成反応が 生じ、それが面の成長を阻害していることが考察 される.

2.4.3 Na₂B₄O₇-不純物系フラックスからの育成本実験の育成方法は,50 m*l* 白金るつぼを使用し,1200℃で4時間保持後950℃まで4℃/hの速度で徐冷した.

 $Na_2B_4O_7$ - WO_3 系フラックスから育成した組成条件と結果を表 7 に示す.この 結果, $Na_2B_4O_7$ 単独フラックスを使用すると 初 生 晶 相は β 型の $\{110\} > \{111\}$ であり,決して Li_2WO_4 のように F 面だけからなる平衡形は出現しない. WO_3 を 10 モル%以上添加すると WO_3 不純物の影響が現れ

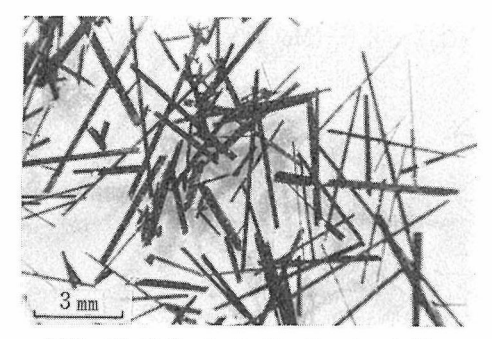


図28 Na₂B₄O₇-Cr₂O₃系フラックスを用 いて 1200℃より 950℃まで徐冷し て育成したルチルの針状結晶

て 7型の{111}>{110}≈{253}へ移行する.

 $Na_2B_4O_7$ フラックスに種々酸化物系不純物を添加した場合の組成条件と結果を表8に示す.不純物の中で陽イオンが4及び8配位系に属するものは相当量添加しても晶相変化を示さなかった.これと対照的に陽イオンが6配位を示す不純物は少なくとも晶相変化か晶癖変化に関与する形態変化剤としての有効性を示すことが判明した.特に Nb_2O_5 と Ta_2O_5 は WO_3 にも勝る晶相変化剤である.それは Nb_2O_5 の0.4 モル%, Ta_2O_5 0.1 モル%を添加しただけで γ 型の晶相に変化する.要するに, WO_3 , Nb_2O_5 , Ta_2O_5 が最も効果的な晶相変化剤であるが,これらに共通の性質として陽イオンのイオン場の強さ(Z/r^2)が TiO_2 中の Ti^{4+} のそれよりも大きいことと, MO_6 八面体の連結は ReO_3 型構造の項点共有だけからなる三次元網状

構造をもつ特徴を示す.一方, MoO_3 , V_2O_5 も八面体化学種であるが,これらは効果的な晶相変化剤ではない. MoO_3 の場合,30 モル%以上で微量の結晶は γ 型へ移行したが, V_2O_5 では観測できなかった.また, Al_2O_3 や Cr_2O_3 で代表する陽イオンのイオン場の強さが Ti^{4+} よりも小さい不純物は晶癖変化だけを示して柱状から針状へ移行する傾向を示した(図28).

2.4.4 Li₂MoO₄-不純物系フラックスからの育成 本実験の育成方法は 50 ml 白金るつぼを 使 用 し, 1250℃で 4 時間保持後約 950℃ まで 4℃/h の 速度で徐冷した.

Li₂MoO₄ フラックスに種々酸化物系不純物を 添加して育成した単結晶の晶相を表9に示す. Li₂MoO₄単独フラックスから育成するとF面だけ からなる α型の平衡形を呈する. この Li₂MoO₄ フラックスに多量の B₂O₃ 及び Na₂HPO₄ を添加 するとβ型{110}>{111}へ移行するが、決してγ 型は出現しない. ただし, B_2O_3 の $15\sim20$ モル百 分率, Na₂HPO₄ の 20~40 モル百分率の範囲の添 加量ではホロー及び半自形を呈して面の観測、特 に錐面の観測ができなかった。 両不純物は BO4 及び PO4 の四面体化学種であることと、陽イオ ンのイオン場の強さが TiO2 中の Ti4+ よりも大き い特徴を示す. 弱力であるけれど B_2O_3 が $\alpha \rightarrow \beta$ 晶相変化剤であることから前述の Na₂B₄O₇ フラ ックスの初生晶相がβ型であることの説明ができ る.

フラックス不純物晶相	(α)	(β)	(_γ)
,	{110}>{101} —	→ {110}>{111}	$\longrightarrow \{111\} > \{110\} \approx \}235\}$
Li ₂ MoO ₄ -B ₂ O ₃ *	≤10(mol %)	≥30(mol %)	— (mol %)
$-\mathrm{Na_2HPO_4}^*$	≤15	≥45	**************************************
$-\mathrm{MoO}_3$	≤5 or≥30	10-25	
$-WO_3$	≤ 5	10-20	$\begin{array}{c} 25-30 \ (\beta+\gamma) \\ \geqslant 35 \end{array}$
$-\mathrm{Nb}_2\mathrm{O}_5$	≤0.3	≥0.5	≥1
$-\mathrm{Ta}_2\mathrm{O}_5$	≤0.3	≥ 0.5	≥1
Na ₂ B ₄ O ₇ -WO ₃		≤ 5	≥10
$-\mathrm{Nb}_2\mathrm{O}_5$		≤ 0. 2	≥0.4
$-\mathrm{Ta}_2\mathrm{O}_5$	parameter .	≤ 0.05	≥0.1

表 9 ルチルの晶相変化に対する種々有効不純物の最低添加量の比較

^{* 10&}lt;B₂O₃<30 or 15<Na₂HPO₄<45 のモル%範囲内ではホロー結晶が優勢に成長する ——不出現

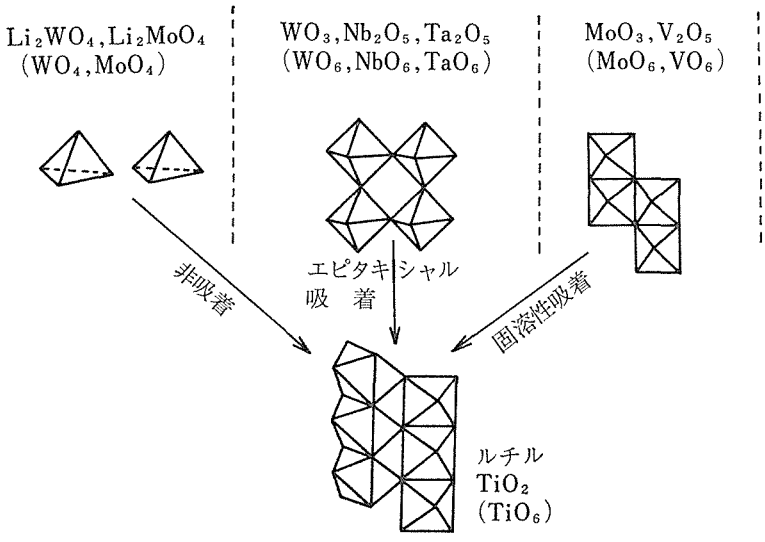


図29 晶相変化機構に基づいて模式的に示した種々不純物 化学種とルチル構造の幾何学的相関性

本フラックスの中での WO_3 の晶相変化に対する効果は Li_2WO_4 フラックスの中とほとんど同じである。しかしながら MoO_3 の効果は非常に特異的である。すなわち MoO_3 の添加量が多くなると α 型から β 型へ変化するが,更に多くしていくと γ 型へ移行せず再び α 型へ帰納することである。この原因については今後の検討が必要である。次に Nb_2O_5 , Ta_2O_5 の添加効果は WO_3 と比較して非常に微量でも β 型を経由して γ 型晶相まで変化するので最も有効な晶相変化剤である。

2.4.5 晶相変化機構

酸化物不純物の中で八面体型構造を示す化学種 が晶相、晶癖を含む形態変化剤として作用する が, 特に WO₃, Nb₂O₅, Ta₂O₅ が晶相変化剤と して有効であった. これは陽イオンのイオン場の 強さが TiO2 中の Ti4+ よりも大きいために成長結 晶の表面にエピタキシャルに吸着され、TiO2と ある種の錯体層を形成する. この表面錯形成に化 学種の幾何学的な配位状態が重要な意味をもつ. ルチルの TiO₆ 八面体の稜共有を特徴とする結晶 表面に MO6 の項点共有性の強い化学種が吸着さ れ、TiO₆とある種の錯体を形成し表面の成長を阻 害することが推定される. この阻害要因の最も大 きな一つは結晶表面と錯体層界面の格子不整であ ろう. 錯化合物の詳細は明らかでないが、Roth and Coughanour (1955) & Wadsley (1961) 1t TiNb2O7 及び Ti2Nb10O29, Waring and Roth は

TiTa₂O₇などについてルチルの育成と同じ温度条 件で安定であること、これらの構造は TiO6 及び NbO₆ からなる八面積の頂点共有により特徴づけ られることを報告している. 以上の晶相変化機構 の概念に基づき代表的不純物とルチルの化学種間 の幾何学的相関性を図29に模式的に示す.この図 で示すように MoO3 と V2O5 は陽イオンのイオン 場の強さも Ti⁴+ より大きい八面体化学種である が、晶相変化能力が無いのは八面体の連結様式が 稜共有でルチルと類似することから吸着されても 固溶しやすく格子不整効果が小さいため であろ う. 実際に結晶中にはW含有量と比較して著しく 高含量 であることが 知られている⁴⁾. 一方, Li₂ WO4 及び Li₂MoO₄ フラックス中の W と Mo は WO₄ 及び MoO₄ の遊離した四面体化学種⁹⁾ であ り、 TiO2 の溶解度もこの種の溶媒では小さいこ とから結局, エピタキシャルな表面錯形成が比較 的困難なために晶相変化剤とならない. 四面体化 学種でも BO₄ 及び PO₄ が有効なのは TiO₂ との 表面錯形成能が大きいことと陽イオン化学種の幾 何学的配位状態の相違があり, 三次元網状構造を つくりやすいことが関与しているもの と思われ る.

 WO_3 , Nb_2O_5 , Ta_2O_5 晶相変化剤が同じ晶相変化を示すのに Li_2MoO_4 よりも $Na_2B_4O_7$ フラックス中の方が非常に少量で作用していることが表 4の中で明白である。この理由はこれらの晶相変化

剤とフラックス中の B_2O_3 との表面錯形成に対する協同効果である.

以上でルチルの晶相変化に対する不純物効果の 機構の概略が明らかになったので次に有効な晶相 変化剤の特徴を総括する.

- (イ) 結晶との反応性が大きく溶解度 を 増大する.
- (四) 結晶析出条件では結晶表面に化学吸着し、 固溶性が比較的小さく、二次元的規則配列状態か ら表面錯体を形成する.
- () 結晶との反応性及び表面吸着の尺度として \mathbb{Z}/r^2 で示す陽イオンのイオン場の強さが $\mathrm{TiO_2}$ 中の Ti^{4+} よりも大きい.
- (注) ルチル中の Ti 配位状態と同じ八面体配位を示し、その八面体の幾何学的連結様式がルチルと異なる.
 - (対) 表面錯形成の協同効果がある.

最後にルチルの γ 型 晶相, $\{111\}$ > $\{110\}$ \approx $\{253\}$, は天然のイルメノルチルの形態と酷似する. イルメノルチルの日本産については伊藤と桜井¹³⁾, 安藤一桐山と仁田¹⁴⁾, 外国産については Cerny ら¹⁵⁾ の研究が報告されている. 本鉱物はルチルとモシット (Fe(Nb, Ta)₂O₆) の混晶であることが知られており,福島県手代木産では FeO 13.2%, (Nb, Ta)₂O₅34.6% を含有している. この特異な外形が Nb₂O₅, Ta₂O₅ の晶相変化剤の影響であるとすれば実験結果と良く一致する. Na₂ B₄O₇ フラックスに 1 モル百分率の Nb₂O₅ を添加して育成した γ 型晶相のルチルを図30に示す.

2.4.6 結論及び今後に残された問題

- (1) 結論
- (イ) ルチル単結晶が $\text{Li}_2\text{WO}_4\text{-WO}_3$ 系フラックスから育成され、その晶相は WO_3 の濃度の関数として α 型($\{110\}$ > $\{101\}$) $\rightarrow \beta$ 型($\{110\}$ < $\{111\}$) $\rightarrow \gamma$ 型($\{111\}$ > $\{110\}$ \approx $\{2,3\}$) へ変化する.
- (ロ) ルチルの $\text{Li}_2\text{WO}_4\text{-WO}_3$ 系フラックスへの 溶解度を測定し、 Li_2WO_4 単独 では $48.9\,\text{kcal/mol}$ の溶解熱が、わずか $0.25\,\text{モル数の}$ WO $_3\,\text{を添加するだけで}\,18\,\text{kcal/mol}$ まで減少することから $\text{TiO}_2\,\text{と}\,\text{WO}_3\,$ の著しい反応性をルイスの酸一塩基 理論を基に錯形成反応で説明した.
- (ハ) ルチル単結晶を $Na_2B_4O_7$ 単 独フラックス から育成すると β 型の晶相を示す。これに Nb_2O_5 ,

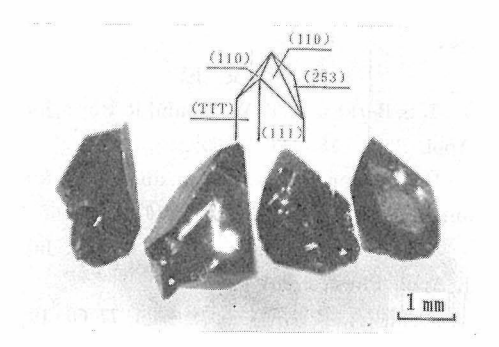


図30 $Na_2B_4O_7$ - Nb_2O_5 系フラックスを用いて 1200°C より 950°C まで徐冷して育成した γ 型晶相のルチル単結晶

 Ta_2O_5 , WO_3 のような限定された不純物を添加すると γ 型晶相へ変化する.

- () ルチル単結晶を Li_2MoO_4 単独フラックスから育成すると α 型晶相を示す。これに B_2O_8 及び Na_2HPO_4 を多量に添加すると β 型晶相へ変化する。
- (対) 晶相変化剤として WO₃, Nb₂O₅, Ta₂O₅ の 有効性及び MoO₃, V₂O₅, WO₄ の無効性等から晶相変化機構を考察し, 晶相変化剤としての重要な因子は①化学種が母晶と同じ6配位八面体型構造を示す. ②その八面体の幾何学的連結様式は母晶と異なる. ③結晶表面に化学吸着して錯体層を形成する.
- () 天然イルメノルチルの晶相と γ 型晶相は本質的に同じであり、 Nb_2O_5 、 Ta_2O_5 の影響で説明できる.

(2) 今後に残された問題

晶相変化剤は単なるイオン半径,電気陰性度, 共有結合半径,原子価の相違などから統一的な説 明は不可能であり,不純物化学種の構造と結晶表 面での錯形成機構,換言すれば吸着機構の相関性 を明らかにすることが最も重要な問題である.四 面体型有効不純物のホウ酸及びリン酸イオン等の 吸着と八面体型有効不純物の Nb₂O₅, Ta₂O₅, WO₃ 等との吸着機構の異同も詳細に検討する必要があ

結晶各表面の成長速度の差が重要であるから, 各表面での錯体層の生成の難易の問題,結晶と錯体層界面での格子不整の量的な差異,固溶性の差異など多くの要因を検討して面の成長速度への影響を調べることが必要であるが方法論的にも問題 がある.

参考文献

- 1) T.S. Berkes, W.B. White and R. Roy: Journ. Appl. Phys., **36** 3276 (1965).
- 2) I. N. Anikin, I. I. Naumova and G. V. Rumyantseva: Soviet Phys. Cryst., 10 172 (1965).
- T. Sugai, S. Hasegawa and G. Ohara: Japan.
 J. Appl. Phys., 6 901 (1967).
- 4) 菅井徳行, 長谷川修三: 窯協誌, 77 66 (1969).
- 5) Y. Fujiki, F. Izumi and Y. Ohtsuka: Miner. Journ., 9 64 (1978).
- 6) P. Hartman and W. G. Perdok: Acta Cryst.,8 49 521 525 (1955).
- 7) P. Hartman: Zeits. Krystal., 118 65 (1963).
- 8) W. Kunnman, A. Ferretti, R. T. Arnott and

- D.B. Rogers: J. Phys. Chem. Solids, **26** 311 (1965).
- 9) R.G. Gossink and J.M. Sevels: Journ. Noncryst. Solid, 5 217 (1971).
- R. S. Roth and L. W. Coughanour: J. Res.
 Nat. Bur. Stan., 55 217 (1971).
- 11) A. D. Wdsley: Acta Cryst., 14 660 664 (1961)
- J. L. Waring and R. S. Rotn: J. Res. Nat.
 Bur. Stan. -A phys. and Chem., 72A 175(1968)
- 13) 伊藤貞市,桜井欽一:日本鉱物誌,上(3版)210 中文館(1974).
- 14) 安藤一桐山良一, 仁田 勇: 日化誌, 62 978 (1941).
- P. Cerny, F. Cech and P. Povondra: Neues Jahrb. Miner. Abh., 101 142 (1967).

3. ブルーカイトの合成と安定化機構に関する研究

3.1 ブルーカイトの水熱合成と安定化機構

 TiO_2 多形の中でブルーカイトは準安定相といわれてきた。この合成は必ずしも容易ではなく、今日までの報告も少ない。天然界では熱水の作用を受けた条件下で生成する。今日までの合成も、多くの場合水熱反応が利用されている。摩砕によってできたという報告 2,3 もあるがめずらしい。ブルーカイトの生成が確認された反応系には次のようなものがある。(イ) $TiO_2 \cdot nHO^{4,5}$ (中) $TiO_2 \cdot nHO^{4,5}$ (中) $TiO_2 \cdot nH_2O + NaFaq^{7,8}$ (中) $TiO_1 \cdot nH_2O + NaFaq^{9}$ (オ) $TiCI_3 + ZnCI_2 + HCI + (NaOH あるいは <math>CH_3COONa)^{10}$ (ト) $TiO_2 \cdot nH_2O + Ca(OH)_2^{11}$

本研究では(口)の反応系を利用した.他種イオンの影響を無視できる点では(イ)が適当であるが、追試では良い結果が得られていない¹²⁾. (ハ)~(めの系は、ハロゲンイオンが酸素イオンを置換しやすい欠点がある. (ハ)な筆者らが報告したものである. (口)の系は Keesmann⁶⁾によって扱われ、ブルーカイトの合成に関して今日までに最も詳しく研究された系である.

筆者が水熱合成で最初に直面した 問題は、温 度, 圧力, 組成及び反応時間を定めた実験にもか かわらず同一の反応結果が得られないことであっ た. 一般の化学反応と同様水熱反応を規定する基 本的パラメーターは温度, 圧力, 組成である. こ れらの因子が反応系内で均一であれば、反応結果 は時間のみに依存すると考えられる. したがっ て、 反応結果の再現性に影響をもつみかけの因子 を明らかにし、それが反応(すなわち、その基本 的パラメーター) に対していかなる効果をもつか を解決しなければ、安定化の機構を議論すること はおろか、その生成条件を規定する基本パラメー ターにすら本質的価値がなくなる. しか しなが ら、現段階では任意の系の水熱反応を解析できる だけの基礎的データはいたって少なく, この種の 問題が理論的に予測あるいは解析するのは困難で

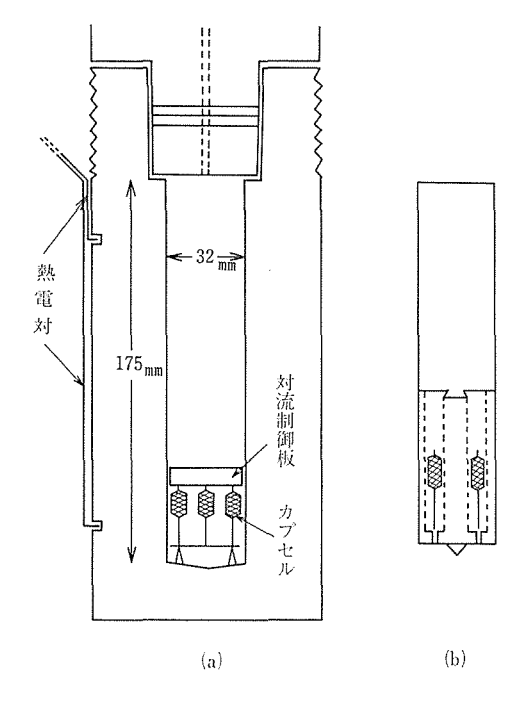


図1 変形モーレー型オートクレーブとスペーサー

ある.本節では、このような状況から、ある意味で水熱反応の再現性を規定するといえるみかけの因子を検討することから始める.

3.1.1 実験

装置は従来のものと基本的に変わりはないが、特に注意を払った点を含め簡単に記述する. 水熱 反応用の高圧容器には図1(a)に概略を示した変形 Morey 型を使用した. 内容積は約140mlである. この型は通常結晶育成用に用いられるが、多数の試料を一度に処理するには便利である. ただし、容器の急冷が難しいため降温時に生成物が溶液と再反応する可能性が考えられる. この欠点を除くために、所定の反応時間後に瞬間的に圧力をリークし系内の溶液を除去し、それ以上の化学反応が進行しないようにした. 図1(b)は、その際に使用するスペーサーである. このスペーサーは圧力媒体(水)の必要量を極度に減ずると同時に、高圧容器内の温度勾配を小さくする役割をもってい

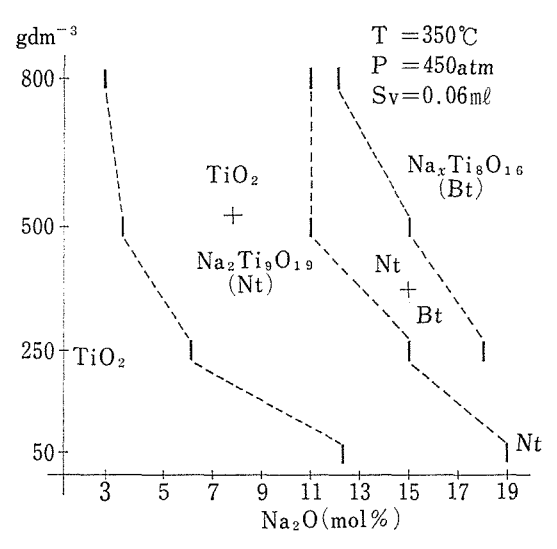
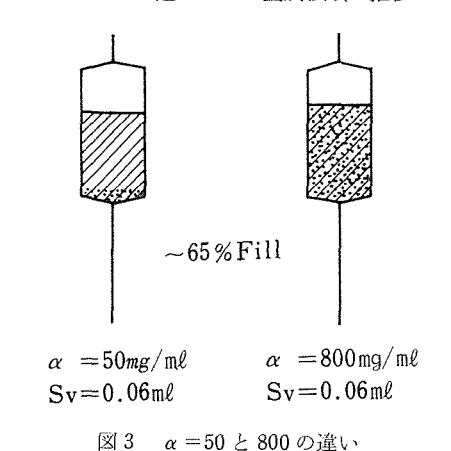


図2 αの違いによる生成領域の推移



る. 圧力をリークしないときは図1(a)のような対流制御板を使用することもある. 温度は2点で測温,制御する. 容器内の圧力は外部のポンプで調整する. 出発物質を詰める容器は直径5 mm(肉厚0.15mm)の白金あるいは金管である.

結晶成長が目的ではないので、出発物質にはTi の溶液中の濃度を高められるようにX線的に非晶質なゲルを用いた。このゲルは、他種イオンの影響を無視できるように、 $(C_8H_7O)_4Ti$ を水で加水分解して50°C以下で脱水、乾燥して作った。平均含水量が $15\sim25$ 重量%の範囲にあるものを常用した。溶解性からいえば含水量の多い方が有効であるが、秤量時の誤差と非晶質性の保存度を考慮してこの範囲を選んだ。

必要量のゲル(5~100 mg)と溶媒(0.050~

0.400 ml)をカプセルの一端に一緒に詰め、できるだけ余分な空間をつぶした後に封じ、図のように高圧容器中に入れる.これは除ききれない温度勾配のために、昇温過程で溶媒とゲルとが分断されないようにするためである.

3.1.2 反応のみかけの因子13)

反応結果の再現性の確保のためには、温度、圧力、組成以外に次の二種類の因子に注意を払う必要があった。(1)溶媒とゲルの量比、これを α (mg/ml)で表わす。(2)反応系の容積、近似的に溶媒の量Sv(ml)で示すか、あるいは、太さ一定のカプセルを利用するので長さを代用することもできる。実験に際しては、ゲルの含水量は溶媒の一部とみなし常に補正している。

以下で、実験事実を用いて(1)と(2)の効果を説明する.

(1) 図 2 は T=350°C, P=450 atm, Sv=0.06 ml, 反応時間 10 日で種々の α に関して得られた結果である. α が減少すると同じ物質を得るためには、カプセル内の Na_2O の割合が高まることを必要としている. $Na_2Ti_9O_{19}^{140}$ すなわち $Na_2O \cdot 9$ TiO_2 は 10 モル%の Na_2O を含有する. $\alpha=800$ 程度ではもっともらしい位置で生成するが、 $\alpha=50$ ではかなり高濃度側へずれている.

これは次のように理解できる。 α の違いを極端な場合で示すと図3のようになる。この(a)と(b)では容積及び Na_2O/TiO_2 のモル比は同じである。したがって、Naの濃度には大きな開きがあり、ゲルの溶解度が十分に大きくないと、 局 部 的 なNa/Tiの 比率は(a)の方が はるかに(b)の場合より

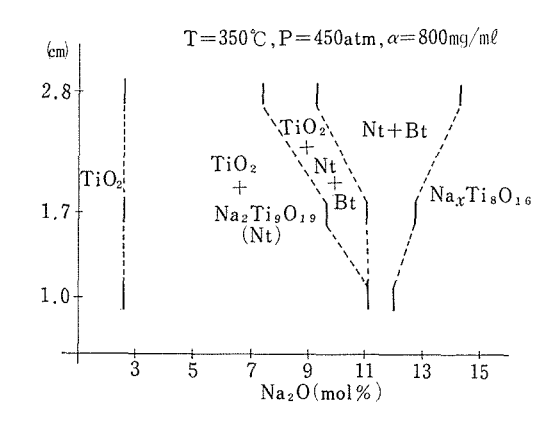


図4 系の大きさと生成領域の推移

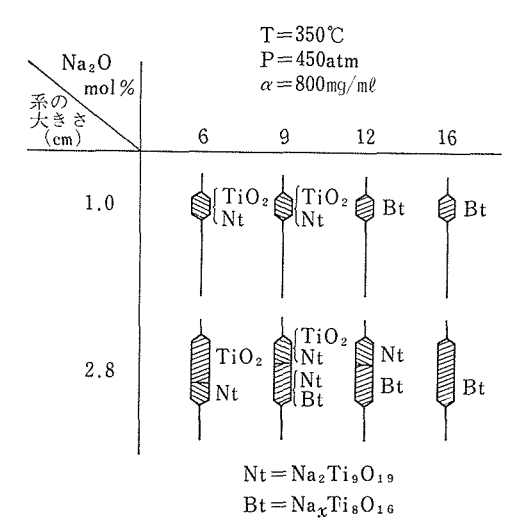


図 5 カプセル内でのゾーニング

小さくなる、すなわち Na が Ti の近傍で希薄になっていると考えられる。そのため、 α が小さくなると、同じ物質は高濃度側に生成領域を移していくとみられる。

(2) $\boxtimes 4 \text{ /t}$, $T=350^{\circ}\text{C}$, P=450 atm, $\alpha=800$ mg/ml, 反応時間 10 日の場合の組成と反応系の 大きさを変えた場合の結果である. 相の共存領域 は系の大きさの違いでかなり変っている. 図5は $Sv = 0.06 \text{ m}l \text{ (\mathbb{m} + 1.0cm)} \geq 0.166 \text{ m}l \text{ (2.8cm)}$ のときの反応後のカプセル内の状況を圧力リーク をしなかった場合の実例で図解している. 両者を 比較して気付くことは2.8の場合にゾーニングを 起こしていることである. 恐らくこの原因は温度 分布の不均一性に基づく濃度勾配で起きていると 考えられる. NaOH 水溶液の臨界点は濃度の増加 と共に高くなる¹⁵⁾. 液相と気相が存在すれば Na OH は密度の高い液相に濃縮しやすい. また, よ り高密度の液相は気相より下方になり、系が大き くなれば温度勾配が生じやすく、ますますこの傾 向は増長されると考えられる. このことは図5の 下段のカプセル内の生成物をみると、カプセル内 の上端より下端の方に Na₂O の高い濃度の方で得 られる物質が生成していることで裏付けられる.

(1), (2)の検討に基づき、少なくとも本反応系では、本質的反応条件(温度、圧力、組成)をより均一に設定するには、 $\alpha = 800 \text{ mg/ml}$, Sv = 0.06 ml の 近傍に見掛けのパラメーターを規定するこ

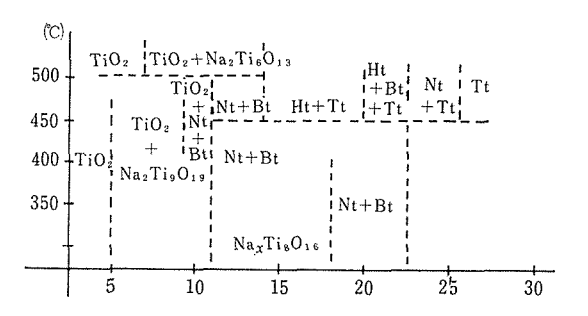


図 6 $TiO_2 \cdot nH_2O$ -NaOHaq. 水熱反応系の生成物Nt=Na $_2$ Ti $_0$ O $_{19}$, Bt=Na $_x$ Ti $_8$ O $_{16}$, Ht=Na $_2$ Ti $_0$ O $_{19}$, Tt=Na $_2$ Ti $_3$ O $_7$

とが必要であると考えられる.

3.1.3 TiO₂-NaOHaq. の反応図¹³⁾

 α =800, Sv=0.06, 反応時間 10 日間後に得られた結果を図 6 に示す. 実験域は 250~530℃, 0~30% モルである. この範囲でほぼ 50℃及び 2.5 モル%刻みで反応実験を行っている. 以下に反応図では示しにくい点を記述する.

温度の誤差は ± 2.5 \mathbb{C} , 横軸は, ゲル, 溶媒などの秤量の誤差などを考慮して ± 1 モル%程度である.

(イ) $5 \sim 11$ モル%かつ約 500 で以下では TiO_2 と $Na_2Ti_9O_{19}^{14)}$ が生成する. ただし10 モル%近傍で 400 で以上になると $Na_xTi_8O_{16}^{15)}$ が共存しはじめる. $Na_2Ti_9O_{19}$ は $350\sim 450$ では 14 モル%程度まで $Na_xTi_8O_{16}$ と共存し、いったん消失した後 $18\sim 22$ モル%の範囲で再び $Na_xTi_8O_{16}$ と共に生成する. しかし、この領域での両相は結晶性が非常に悪い、 $250\sim 350$ の範囲では、 $Na_2Ti_9O_{19}$ と TiO_2 は $11\sim 12$ モル% 近傍で $Na_xTi_8O_{16}$ のみに変わるが、 $Na_2Ti_9O_{19}$ は 18 モル% 近くで微量で悪い結晶性で、 $Na_xTi_8O_{16}$ と共に生成する.

450~500℃の範囲では、Na₂Ti₉O₁₉ は約13モル %程度まで広がり、微量の TiO₂、Na₂Ti₆O₁₃¹⁷⁾及 び多量の Na_xTi₈O₁₆ と共存する.

(a) $450\sim500$ °C で約14モル%を越すと Na_2Ti_6 O_{13} が増加しはじめ 20モル% 近傍まで $Na_xTi_8O_{16}$ とのみ共存する。 20モル% を越すと $Na_2Ti_3O_7^{18}$ が生成しはじめ,22モル%近傍まで $Na_2Ti_6O_{13}$ と $Na_xTi_8O_{16}$ に伴われ,ここで $Na_xTi_8O_{16}$ は消失する。 $Na_2Ti_6O_{13}$ は 25モル%程度まで $Na_2Ti_3O_7$ に伴う。 25を過ると,30モル%近くで結晶性の悪い

不明の相を伴うまでNa₂Ti₃O₇が単独で生成する.

- (^) 500℃以上では約530℃, 17モル%以下の実験しか行っていない. 7~8 モル%以下では TiO_2 が生成し、それ以上約14モル%以下では TiO_2 と $Na_2Ti_6O_{13}$ が共存する. 12 モル% 程度以上 では $Na_xTi_8O_{16}$ が共存してくる.
- (2) $Na_xTi_8O_{16}$ は約 400 $^{\circ}$ 以下では、 $15\sim17$ $^{\circ}$ ν $^{\circ}$ の範囲では単独で生成する、350 $^{\circ}$ 以下では、この領域はやや Na_2O の低濃度側へ広がる傾向がある。

この反応図中では、TiO2の三つの多形を別々 に表現しなかった.この点については後で示す. TiO₂の三つの多形に関する問題は別として、本反 応図と Keesmann⁶⁾ との差を検討する. 基本的と 思える大きな違は次の2点である. (1)Keesmann の結果にはNa₂Ti₉O₁₉の生成領域がまるでなく, すべて NaxTi₈O₁₆ の領域になっている. (2)TiO₂の 生成領域が 250~400℃ でかなり Na₂O の高濃度 側(22~14モル%)まで張り出している. 現段階 で、この違を十分に説明することはできない. な ぜなら、彼の実験条件(例えば、使用したカプセ ルの形状など)を十分に掌握できないからであ る. しかしながら、定性的ではあるが、次の解釈 が成り立つように思える. Keesmann の実験条件 を α , Sv で整理してみると近似的に, α ~200, Sv~0.55(ゲルの含水量が25重量%を考慮して) とみなせる.この条件は図6を得た条件に比べる と, αで約1/4, すなわちゲルの量を同じとすれ ば溶媒量が 4 倍ほど Keesmann の方が多い. ま た,系の容積も約8倍ほど大きいことになる.そ こで、図2及び4を調べてみると傾向としては、 350℃ において Keesmann の 結果に近づくと期 待できる. すなわち, 図2でα~200ならTiO2の 生成は15 モル%以上の領域まで広がっている. 他方図4は系が大きくなるほどNaxTisO16の生成 領域が Na₂O の低濃度域へ広がってくることを示 す. しかしながら Na₂Ti₉O₁₉ が生成しないことの 説明は全くできない.

3.1.4 TiO₂-Na₂O 系の相関係¹³⁾

 ${
m TiO_2-Na_2O}$ 二元系の相関係については数 例 の報告がある。しかし今日まで, ${
m Na_2Ti_3O_7(Na_2O \cdot nTiO_2, n=3)}$ より ${
m TiO_2}$ の多い側において, ${
m Na_2Ti_2O_9(n=4)^{23}}$, ${
m Na_2Ti_5O_{11}(n=5)^{22}}$, ${
m Na_2Ti_7O_{15}}$

 $(n=7)^{21}$, $Na_2Ti_8O_{17}(n=8)^{21}$ のような相の存在が種々の面から議論されていながら、相図には示されてこなかった。この大きな理由は、 $n \ge 3$ の領域では n=3, n=6 の 2 相が高温で非常に容易に合成され室温へ安定に戻されてしまうことにあったと考えられる。水熱反応は低温でも TiO_2 と Na の混合を容易にできるため $Na_2Ti_3O_7$, $Na_2Ti_8O_1$ よりも低温で生成する相を研究するためには適している(水に弱いものを除いて)。ここでは数種のチタン酸塩の化学的性質の検討をもとに前項の反応図から低温域における TiO_2 - Na_2O 系の相図を考察する 13)。

 $a{
m TiO_2} + b{
m NaOH} \rightleftharpoons a{
m TiO_2} + \frac{b}{2}{
m Na_2O} + \frac{b}{2}{
m H_2O}$ と考えられる。すなわち ${
m TiO_2}$ と ${
m Na_2O}$ の水中での反応である。図 7 が推定された相図である。根拠を以下に示す。 $(d){
m Na_xTi_8O_{16}} \equiv \frac{x}{2}{
m Na_2O} \cdot \frac{x}{2}{
m Ti_2}$ ${
m O_3} \cdot (8-x){
m TiO_2}$ と表わせ,3 元系の物質である。したがって, ${
m TiO_2} - {
m Na_2O}$ 2 元系の考察からは除外する。生成した理由は水熱条件下での酸化還元雰囲気の変化によって二元系のチタン酸塩および ${
m TiO_2}$ が還元されたものと考える。 $({
m Pl})$ 図 6 において約 3 モル%以下で ${
m Na_2Ti_9O_{19}}$ が生成 しないこと,及び約11 モル%まで ${
m TiO_2}$ が ${
m Na_2Ti_9O_{19}}$ がま条件下では部分的に ${
m Na}$ が抽出され近似的に ${
m ph}$ 13.0 の ${
m NaOH}$ と平衡になることで説明できる。 $({
m Pl}{
m Na_2O}$ の 25 モル%を含有する。 ${
m Na_2O}$ が25 モル%

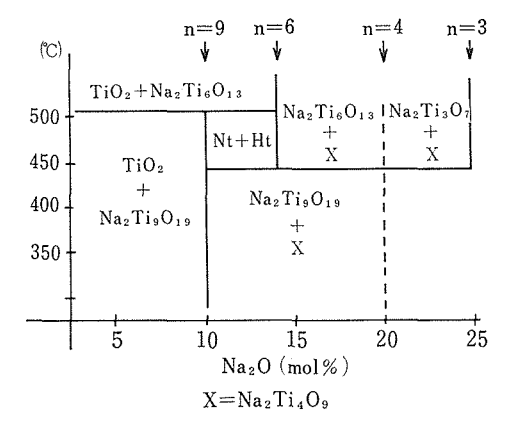


図 7 TiO_2 - Na_2O の相図 n=9 は $Na_2Ti_0O_{19}$ の組成位置を示す. 以下同様に n=6 は $Na_2Ti_0O_{18}$, n=4 は $Na_2Ti_4O_9$, n=3 は $Na_2Ti_3O_7$ の組成位置を示す。例えば $X=Na_2Ti_4O_9$

の位置で Na₂Ti₃O₇ は Na₂Ti₆O₁₃ と共存する. これは Na₂Ti₃O₇ Na₂Ti₆O₁₃+NaOHaq (~pH 13.6) の平衡が水熱条件で達成される ことで 理 解できる. (=)450℃ 以上15~25 モル%の範囲で Na₂Ti₆O₁₃ は 25 モル%の程度まで伸び ていて, Na₂Ti₃O₇が約20モル%まで下がっているが,こ の15~25モル%の範囲が Na₂Ti₆O₁₃ と Na₂Ti₃O₇ の共存域であるとは考えられない. なぜなら, 450℃以下で18~22モル% 領域で結晶性こそ悪い が Na₂Ti₉O₁₉ が生成し、450℃以下10モル%以上 は Na₂Ti₉O₁₉ と未知の相との共存域であると考え られるため、もし、450℃以上で15~25モル%の 範囲が Na₂Ti₃O₇ と Na₂Ti₆O₁₃ の 2 相共存である とすると、450℃15~25モル%に沿った線上は4 相共存の状態になる. これは相律に反する. した がって、15~25モル%の範囲には、水によって分 解されやすいチタン酸塩があって、実際には観測 できていないと考えなければ、この矛盾は説明で きない. 最も現実的な解釈は Na₂O の 20 モル% の位置に Na₂Ti₄O₉²³⁾ があると仮定することで ある. 図7はその場合の相の共存関係を示す. M₂Ti₄O₉(M=Li, Na, K, Rb, Cs) ではアルカリ金 属の移動が容易であることがが暗示され²³⁾, 更に $K_2Ti_4O_9^{25)}$ は水処理によって簡単にKが抽出され ることがわかっている. 図6から図7の関係を得 るにあたって、Na₂Ti₇O₁₅ (Na₂O=12.5 モル%) の存在を仮定する必要はなかった. それゆえ, Wadsley ら²⁴⁾が合成した Na₂Ti₇O₁₅ は、彼らも 指摘しているように、AI の混入によって 安定化 されている可能性が強い.

3.1.5 ブルーカイトの生成条件13)

図8は図6の反応図中の TiO_2 生成領域内での,三つの多形の内訳を示す.多形間の生成量の関係は一義的ではなく反応時間と共に変化する.アナターゼ,ブルーカイトは時間の増加と共にルチルへ転移する. 400° 以上ではこの傾向は顕著であるが, 300° 程度以下ではこの転移は無視できるようである.例えば 350° のところでは Na_2O のゼロモル%近傍を除けば,反応時間 1 日ではルチルは全く確認できないが,4 日後では11 モル%までの全域で生成する.一方, 450° 近くでは反応時間を1 日程度に短縮してもブルーカイトの生成は確認できなかった.ブルーカイトが準安定相

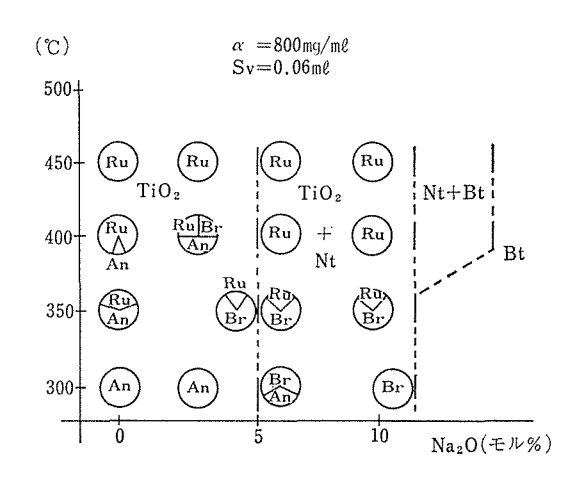


図8 TiO₂の3つの多形の共存関係 Ru, Br, An は各々ルチル, ブルーカイト, アナターゼを示す. Nt, Bt は Na₂ Ti₉O₁₉ と Na_xTi₈O₁₆ を示す.

であるとすれば、理論的には極めて長い時間にはルチルへ転移するはずである。したがって、反応系の基本条件がいかに均一に制御されたとしても、我々はブルーカイトの生成条件を一義的には定められないことになる。すなわち、反応時間と共に変化してしまうために。しかし、ブルーカイトの核が発生し、成長してルチルへ転移するまでの時間が観測できる程度に有限の大きさをもつ領域と考えるならば、 $TiO_2 \cdot nH_2O$ -NaOHaqの系では約400° 以下で Na_2O が4~11 モル%の範囲、すなわち近似的には $Na_2Ti_9O_{19}$ との共生領域であるといえる。図7の TiO_2 - Na_2O 2元系の相図でいえば、 $Na_2Ti_9O_{19}$ と TiO_2 の2相共存域の $Na_2Ti_9O_{19}$ の組成に近いところである。

Keesmann の結果との大きな違いは、(1)ブルーカイトは $Na_xTi_8O_{16}$ ではなく $Na_2Ti_9O_{19}$ と共存する、(2)ブルーカイトの生成域の Na_2O の高濃度側の境界が高すぎる、第(2)項については 3.1.2 に示したように溶媒量が多いことに基づく局部的な Na/Ti 比のずれによると考えられる。したがって、Keesmann の図の横軸は本質的価値をもたないと思う。

3.1.6 ブルーカイトの安定化26)

図7は、 Na_2O が10モル%以下では $Na_2Ti_9O_{19}$ の組成より余分の TiO_2 があり、余分な TiO_2 は、

その溶解度をこしたとき何らかの形体で析出する ことを示す. 本反応系では、アナターゼがブルーカ イトに転移している証拠はないから、ブルーカイ トの生成は溶液からのブルーカイト核の直接的析 出及びその後の成長によってもたらされていると 考えられる. このブルーカイト核の析出には温度 及び溶液中の Na イオンの濃度に依存した Ti イ オンの溶存形体の構造的要素が寄与していると考 える. 図6又は図7において、ブロンズ型 TiO2 → ブルーカイト → アナターゼへの 構造の 遷移 は TiO2 の組成をもつ骨格構造の遷移にほかなら ない. これらの構造をなす TiO6 八面体の結合様 式はルチルと異なり図9(a), (b)に示すようなもの である. (a)はアナターゼとブルーカイトの構造を 作り, (b)はブロンズ型 TiO2 の構造を作る. これ らを単位として三者の構造を調べるとブロンズ型 では(b)の単位が稜共有して層を形成し、この層が 頂点共有でつながる層状構造である. ブルーカイ トも(a)の単位が稜共有で層を形成し、この層が頂 点共有してできる層状構造をもっている.他方ア ナターゼでは基本単位は(a)であるが、この単位が 4本の互に斜交する方向に沿って伸び、三次元的 に組み合ってできた構造をもっていて前二者とは かなり異なる. ルチル中における TiO6 の結合様 式に比べれば(a)と(b)の結合の仕方はエネルギー的 には等価的であるように思える. すなわち(b)図に おいて ② の Ti が回の位置に移るだけである. 回 →⑦の移動は構造中に Na を取り込むための空間 を作るために起きている.

すなわち、ブルーカイト型あるいはブロンズ型 TiO_2 型層状単位の選択が、構造中におけるNaの存在の有無に一義的に関係するならば、ブルーカイトの生成はブロンズ型 TiO_2 を生成できるような溶液の状態そのものに依存すると考えられる.

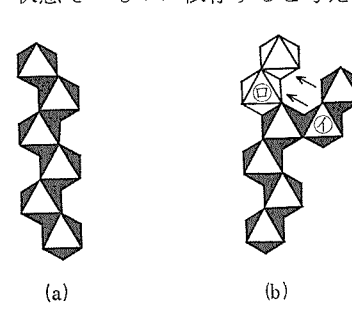


図9 TiO₆ 八面体の結合様式

事実,ブルーカイトはブロンズ型層状単位をもつ $Na_2Ti_9O_{19}$ の領域内で近似的に生成する. またブロンズ型層状構造をもつ物質を形成 できない LiOH, KOH^{6} , CsOH などを用いた系ではブルーカイトは形成されていない.

3.1.7 結論

少なくとも TiO₂-NaOHaq 系の 水熱反応では 反応の再現性は温度, 圧力, 組成以外に "系の大き" あるいは "溶媒と出発物質の量比" などの 見掛けの因子に依存することがわかった. これら の点に注意を払った上でブルーカイトの生成領域 を決定した. この領域内でのブルーカイトの生成 は, 共存あるいは周辺で生成するチタン酸塩との 構造的関連性に基づいた, ルチル, アナターゼに 対するブルーカイトの優先的核生成にあると考え られる.

参考文献

- 1) C. Palache, H. Berman, and C. Frondel: Dana's System of Mineralogy. 1,588(1963)
- 2) H. Knoll: Naturwissenshaften, **50**, 546(1963)
- 3) 諏訪佳子,稲垣道夫,中北文彦,中 重治,発 表:1970年11月第15回人工鉱物討論会
- 4) H. Knoll: Naturwissenschaften, 48, 601(1961)
- 5) O. Glemser and E. Schargrann: Angew. Chem., 68 791 (1956)
- 6) I. Keesmann: Z. Anorg., 346, 30(1966)
- 7) E. Schwarzmann and K. H. Ognibeni: Z. Naturforsch., **B 29**, 435(1974)
- 8) 三橋武文,私信.
- 9) 太田敏孝,山井 巌,斎藤 肇,発表:1977年11月,第22回人工鉱物討論会
- 10) M. Kiyama, T. Akita, Y. Tsutsumi, and T. Takada: Chem. Lett., 21(1972)
- 11) T. Mitsuhashi and M. Watanabe: Mineralogical Jounal, 9-4, 236(1978)
- 12) 三橋武文,私信.
- 13) M. Watanabe, J. Solid State Chem., (投稿中)
- 14) M. Watanabe, Y. Bando, and M. Tsutsumi, J. Solid State Chem., 28, 397(1977)
- 15) N. Yu. Ikornikova: Hydrothermal Systems of Crystals ed. by A. N. Lobachev, A Special Research Report translated from Russian. Consultants Bureau (New York) (1971) 1.
- 16) S. Andersson and A. D. Wadsley: Acta Cry-

stallogr., 15, 201(1962)

- 17) S. Andersson and A. D. Wadsley: Acta Crystallogr., 15, 194(1962)
- 18) S. Andersson and A. D. Wadsley: Acta Crystallogr., **14**, 1245(1961)
- 19) E. Washburn and E. Bunting: J. Res. Nat. Bur. Stand., 12, 239(1934)
- 20) C. Gicquel, M. Mayer, and R. Bouaziz: C. R. Hebd. Seances Acad. Sci., Ser. C, 275, 1427(1972)
- 21) R. Bouaziz and M. Mayer: ibid., 272 1874 (1971)
- 22) E. K. Belyaev, N. Sh. Safiullin, and N. M. Panasenko: Inog. Mat., 10,78(1968)
- M. Dion, Y. Piffard, and M. Tournoux: J. Inorg. Nucl. Chem., 40, 917(1978)
- 24) A. D. Wadsley and W. G. Mumme: Acta Crystallogr., **B 24**, 392(1968)
- 25) 藤木良規,泉 富士夫,大坂俊明,渡辺 遵: 窯業協会誌,**85-10**,476(1977)
- 26) 渡辺 遵,三橋武文,発表:1976年4月,日本 化学会第34回春季年会.

3.2 高純度ブルーカイトの合成

3.2.1 緒言

ブルーカイトの合成に関する歴 史は 古く,既 に, 19紀中頃に, Daubree や Heutefeulle らの先 駆的研究1) が報告されている. しかし, 1940年代 に, Pompfilow & Iwantschewn²⁾ は, それまで の合成方法ではブルーカイトは合成できなかった ことを報告している.したがって、信頼できる報 告としては、1956年の Glemser & Schwartzmann³)の報告が最初のものであろう. それ以来, 数報の合成例が発表されているが、合成方法とし ては3~6,8), チタンアルコキシドの加水分解物(非 晶質ゲル), 又は Ti 金属や TiCl3 の酸性水溶液溶 液⁷⁾ を出発物質にするか, NaOH⁹⁾ や Na₂CO₃¹⁰⁾ を安定化剤として用いていることが注目される. しかしながら, ブルーカイトの合成に関する本格 的研究は少なく、我々の追試実験によれば、今ま での合成方法では、純粋なブルーカイトを調製す ることは困難であった. また, 従来の研究では, 合成相のキャラクタリゼーションもほとんど行わ れていない. 本報では、熱水条件下におけるブル

ーカイトの生成条件,純粋な相の調製方法,及び 合成ブルーカイトのキャラクタリゼーションにつ いて報告する.

3.2.2 実験

17℃の融点をもつプロポキシドチタン(東京化 成工業)を0~30℃の純水に滴下し, 非晶質の TiO₂ • nH_2O ゲルを得た. このゲルを十分に洗浄後, P_2O_5 を用いて、 $0\sim40\,\mathrm{hrs}$ にわたって真空 乾燥 し、出発物質A (ゲルA) とした. TiCl₄ と NH₄ OHとの中和反応で得た非晶質の TiO₂nH₂O を, 十分に洗浄後、P₂O₅ 上で真空乾燥し、出発物質 $B(f \cap B) \geq lt$. TiCl₄ $\geq Li(OH)$, Na(OH), K (OH), Mg₂(OH)₂CO₃, CaCl₂, SrCl₂, BaCl₂ との直接の中和反応又は NH₄OH を用いての中和 反応によって、0~40at% M にわたる組成の各種 の共沈ゲル lTiO2·nMqOp·mH2O (ここで, M= Li, Na, K, Mg, Ca, Sr, Ba) を, 更に, 1Mの NaF 溶液に所定量のプロポキシドチタン を 滴下 し, 共沈ゲル lTiO2·mNaF·nH2O を調製した. 以上の各種の出発物質を用いて,熱水条件下で以 下のような反応を行った.

$$\begin{split} & \ell \mathrm{TiO_2} \boldsymbol{\cdot} \mathrm{nH_2O} + \mathrm{H_2O} \rightarrow \ell \mathrm{TiO_2} \boldsymbol{+} \mathrm{H_2O} \quad \cdots \cdots (1) \\ & \ell \mathrm{TiO_2} \boldsymbol{\cdot} \mathrm{mM_pO_q} \boldsymbol{\cdot} \mathrm{nH_2O} + \mathrm{H_2O} \rightarrow \ell' \mathrm{TiO_2} \boldsymbol{+} \mathrm{C} \\ & \cdots \cdots \cdots (2) \end{split}$$

$$\label{eq:local_transform} \begin{split} \ell \mathrm{TiO_2} \boldsymbol{\cdot} \mathrm{nH_2O} + \mathrm{Na_P} \mathbf{X}(\mathrm{aq.}) &\to \ell' \mathrm{TiO_2} + C \\ & \cdots \\ (3) \end{split}$$

$$\ell \text{TiO}_2 \cdot \text{mNaF} \cdot \text{nH}_2\text{O} + \text{NaF}(\text{aq}) \rightarrow \ell' \text{TiO}_2 + \text{C}$$
.....(4)

ここで、 ℓ , ℓ' , m, m, p, q は整数で、 $X=OH^-$, F^- , CI^- , NO_3^- , $HCOO^-$, CH_3COO^- , $CO_3^{2^-}$, $B_4O_7^{2^-}$, $SO_4^{2^-}$, $PO_4^{3^-}$, $WO_4^{2^-}$, $M_0O_4^{2^-}$ で、C は TiO_2 以外の生成物を示す。また、共沈ゲルの組成は、残液中のイオン濃度、又は、大気中はにおける焼成物中の化合物の存在比から決定された。水熱処理において、通常、約1 cc の体積の反応物は $50\times5mm\phi$ の Ag 管に充塡、封入され、 $80\sim600^\circ$ C、 $0.2\sim2$ Kb、 $0.5\sim22$ C の条件下で熱水処理が行われた。溶液の水素イオン濃度は pH 試験紙で測定された、生成物中の固相は、水洗、乾燥後、粉未X線回折法によって調べられた。ブルーカイトとアナターゼの混合物中の両者の存在比は、回折ピークの強度比 $I_{120}^{12}/(I_{120}^{12}+I_{101}^{1}+I_{111}^{11})$ から求めた。この際、上式の比の値が 0.53 の場

合,ブルーカイト 100% とした。また,アナターゼとルチルの混合物における両者の存在比は Spurr & Myers¹⁴⁾ の方法で決定された。一部の試料は粋砕実験を行い,また,DTA,SEM,分光分析,湿式分折,熱重量分折,粉未X線回折,高温X線回折などの方法によってキャラクタリゼーションが行われた。

3.2.3 TiO₂·nH₂O の結晶化によるブルーカイト の生成

図10に, 室温, P₂O₅ 上で真空乾燥した gel A の DTA 曲線を示す. 80~250℃ で脱水反応によ る吸熱ピークがあり、280~440℃で発熱ピークが 観測された、このような大気圧下での加熱過程で は、アナターゼのみが晶出し、ブルーカイトは全 く生成しなかった. 図11はゲルAの熱水処理(条 件: 1kb, 0.5 hr) によって晶出したアナターゼ の(101) 反射の半価幅の逆数を処理温度に対して プロットしたものである. この結晶化反応の特徴 はアナターゼと小量(≤10%)のブルーカイトが 同時に晶出し、更に、このブルーカイトはアナタ -ゼの粒成長又は格子歪の解放が顕著に起こる温 度(~300℃)で消失する(アナターゼに転移す る)ことである. 一方, ゲルAの低温 熱水 処理 (条件:1kb, 130℃, 130hrs) によって生成した アナターゼ (91%) とブルーカイト (9%) の混 合物の摩砕処理によって、アナターゼはブルーカ イトに転移した(図12), この事実は, 歪の導入に より、アナターゼはブルーカイトに転移すること

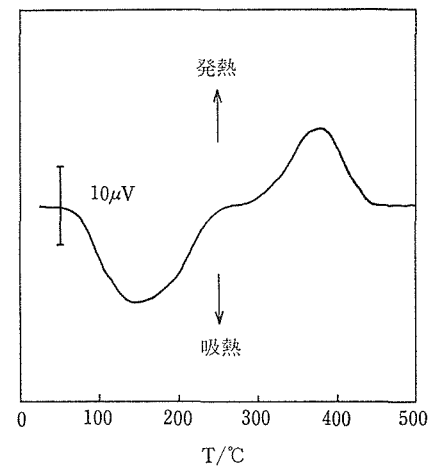


図10 TiO₂•nH₂O の DTA 曲線 昇温速度:20℃/min, 試料:geIA

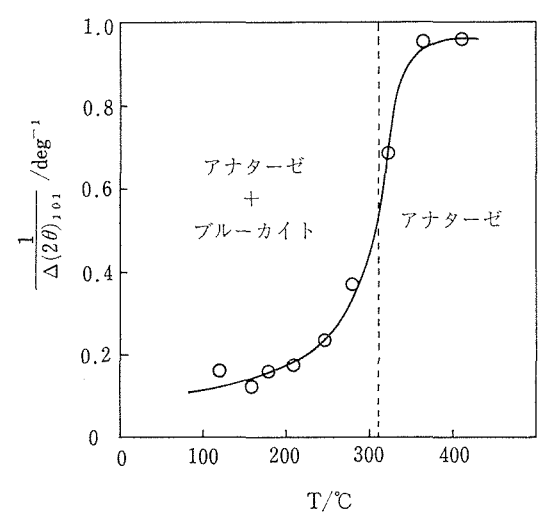


図11 $TiO_2 \cdot nH_2O$ の熱水中結晶化反応 縦軸は $(101)_{7ff-4}$ 反射の半価幅の逆数,310 でブルーカイトは消失した。反応条件:1 kb, 0.5 hr. 出発物質:gel B.

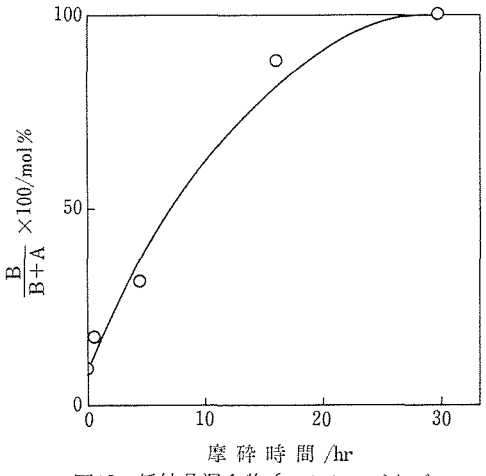


図12 低結晶混合物(アナターゼナブ ルーカイト)の摩砕処理

試料: gel Aの結晶化生成物 (1kb, 130℃, 130 hrs): アナターゼ91%+ブルーカイト9%

を示している. 5章で示されているように, 熱力学的にはアナターゼよりブルーカイトの方が安定であるので, ブルーカイト→アナターゼの反応は特殊な条件下でのみ可能となるはずである. この場合は, 微粒子の溶解反応のためブルーカイトが消失したと考えるのが妥当であるう. (3.2.7参照) 一般に, 比表面積が大きくなると,溶解度は大きくなり,溶解速度は比表面積に比例する111.

温度の上昇と共に溶解速度は大きくなるが、更に 図11でみられる250~350℃間の結晶性の急激な変 化は、低結晶性アナターゼの結晶構造内部に取り 込まれていた H₂O (約3 wt%) の脱水 (図13) と関係があるらしい, 共存しているブルーカイト にも類似の脱水現象があると推定されるので,量 的に小量で、しかも低結晶性ブルーカイトは温度 上昇と脱水現象が重って,溶解速度が急激に増大 し、圧倒的に多量に存在するアナターゼが種結晶 のような作用をするのであろう. Schwarzmann & Ognibeni⁸⁾ は我々が用いたものと同じ出発物 質 TiO2・nH2O を 1500 kb 以上の高圧下で熱水処 理をすることにより、300℃以下で純相のブルー カイトが生成し、それはアナターゼから転移した ものであることを報告している.しかし、我々の 実験によれば、TiO2・nH2O (ゲル A) からのブル ーカイトの生成量は、加水分解の条件(温度を0 ℃~100℃までかえた) や処理圧力(0.2~2.5kb) に依存しなかった. ただし, ブルーカイトの消失 温度は約300℃で我々の結果と一致している。ま た, Knoll⁵⁾ は同様な出発物質を室温で熟成する ことによりアナターゼの生成量が増加すること (大気中で加熱したとき)を報告しているが、我 々の実験ではそのような兆候は観察 されなかっ た. 文献と我々の実験結果との差異は大きく、そ の原因を実験的に明らかにすることはできなかっ た(3.2.9 参照). なお、摩砕処理による相変化に

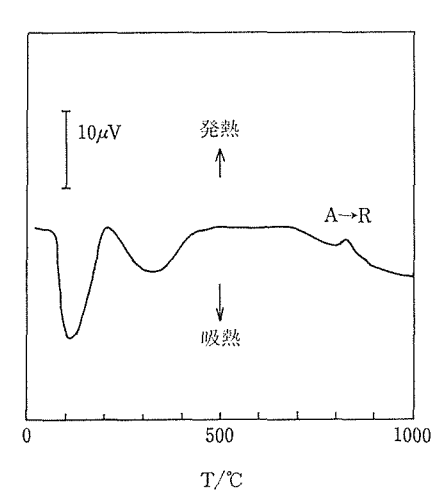


図13 低結晶性混合物 (アナターゼキ ブルーカイト) の DTA 曲線 試料は図12と同じ

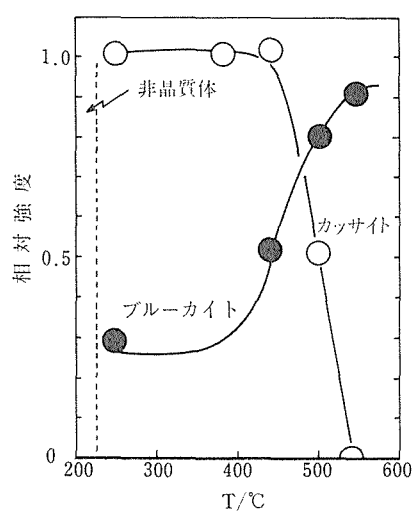


図14 Ti-Ca 共沈ゲルの結晶化反応 出発物質: 20% Ca-共沈ゲル、反応条件: 1 kb, 0.5 hr, 縦軸は $I_{121}^{2,7+4+}/(I_{121}^{2,6-3+4}+I_{101}^{7,7-3-4})$ 又は $I_{121}^{2,7-3+4+}/(I_{121}^{2,7-3+4}+I_{101}^{7,7-3-4})$ を示す

ついては, Knoll⁶ や山口ら¹² によって報告されているが, 彼らの結果は, 定性的には, 我々の結果と良く対応している.

3.2.4 ブルーカイトの生成 に 対する陽イオンの 効果

Keesmann⁹⁾ は、NaOH はブルーカイトの生成に対し安定化剤として作用すること、また、Schwarzmann & Ognibeni⁸⁾ は NaF 水溶液はブルーカイトの結晶成長を促進する鉱化剤として作用することを報告している。我々は、NaOH やNaF 以外の安定化剤又は鉱化剤について検討した、まず、Ti と各種の陽イオン(Li⁺、Na⁺、K⁺、Mg²⁺、Ca²⁺、Sr²⁺、Ba²⁺、Cd²⁺、La³⁺、Ce³⁺)との共沈ゲルの水熱条件(1 kb、250°C、24hrs)下での結晶化反応(反応式(2))を調べた。その結果、Na⁺ 以外に、Ca²⁺ もブルーカイトの安定化剤として作用することが判明した¹⁵⁾。

実験の結果、 $0\sim40$ at % Ca-共沈ゲルの結晶化 反応の中で、20% Ca 組成のものが、ブルーカイトの生成量が最も多いことが分った。図 14 は 20 % Ca 組成のゲルの結晶化の過程を示したものである。反応時間はすべて、0.5 hr であった。200 $\mathbb C$ 以下では、ゲルは非晶質であったが、 $250\mathbb C$ では、アナターゼ、ブルーカイト、カッサイト(Ca $Ti_2O_4(OH)_2$)が同時に晶出した、この反応は次式で表わされた。

$4\text{TiO}_2 \cdot \text{CaO} \cdot \text{nH}_2\text{O} \longrightarrow 2\text{TiO}_2$

+ $CaTiO_4(OH)_2$ + $(n-1)H_2O$ …(5) 図14 に示されているように、400°C 以上ではブルーカイトの生成量が明らかに増加し、それと同時にカッサイトの減少が観察された。この事実は、ブルーカイトはカッサイトの分解生成物の一つとして生成することを示している。

図15 は、0~25 at% Ca-共沈ゲルの220hrs 後の 生成物の関係を示したものである. 反応は 1kbの 圧力下で行った. 図に示されているように,約8% 以下の Ca 組成の共沈ゲルからは、TiO2相として はアナターゼのみが晶出し,ブルーカイトは生成 しなかった. しかし, Ca 濃度が8%を越える場 合, ブルーカイトの生成量はゲル中の Ca 濃度の 増加と共に多くなり、20% Ca 組成のとき最大に なった、この系では、ルチルは550℃の実験のと き初めて生成したが、10% Ca 組成のときのみ、 465℃ でも認められた. 310℃ 以下では, TiO₂ 相 と共存する主な固相はカッサイトで小量ではある が同定不能の化合物も共存した.465℃以上では, ペロブスカイトのみが TiO2 相と共存した. した がって, 高温におけるゲルの結晶化反応は次式で 表わされた.

 $\ell TiO_2 \cdot mCaO \cdot nH_2O \longrightarrow (\ell - m)TiO_2$

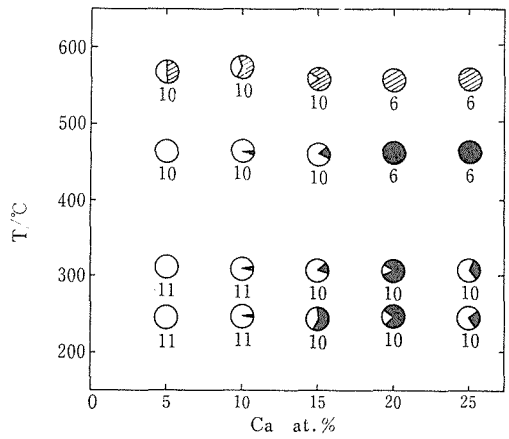


図15 『TiO₂·mCaO·nH₂O-H₂O 系の反応図 反応条件:1 kb, 220 hrs.

丸の中の白、斜線、黒の部分は、アナターゼ、ルチル、ブルーカイトの生成比を示す. 丸の下の数字は生成系中の溶液の pH を示す.

$+ mCaTiO_3 + nH_2O \cdots (6)$

この系では、時間の経過と共にアナターゼはブルーカイトに変化した。また、生成物中の溶液のpH は、ブルーカイトよりアナターゼが多量に生成している場合の方が、より高いことが注目される。Keesmannは、酸性溶液中ではルチル、中性ではアナターゼ、アルカリ性ではブルーカイトが生成しやすいことを報告しているが、この系ではKeesmannの議論は成立していない。なお、Na+と Ca^{2+} については、それぞれのイオンを吸着した $TiO_2 \cdot nH_2O$ と H_2O の反応によっても、ブルーカイトが生成したが、 Ca^{2+} を含む系では、必ず TiO_2 相以外の因相が生成し、高純度なブルーカイトを合成するという立場からは、 Ca^{2+} は良い 安定化剤ではなかった。

3.2.5 ブルーカイトの生成に対する 陰 イオンの 効果

 $TiO_2 \cdot nH_2O(gel\ B)$ と各種のナトリウム水溶液の反応を調べた。 Na^+ はブルーカイトの生成に対して安定化剤として作用するので,反応式(3)によってブルーカイトの生成に対する陰イオンの影響を調べることを試みた。実験は反応系のNa 濃度がTiに対して30at%になるように,また,溶液濃度は完全溶解した場合は1M 濃度になるように調製した。反応は280°C、1kb,240 hrs の条件で行った。表1に,実験結果を示した。この表では生成物は TiO_2 相と溶液の水素イオン濃度のみ

表 1 TiO2・nH2O に対する主な Na 塩の作用

Na 塩		生	成	相
NaF	(8.0)	B+A		(8.8)
NaCl	(6.0)	A		(6.0)
NaOH	(>13)	B+A		(>13)
$NaNO_3$	(5.8)	A		(6.6)
CHOONa	(6.2)	A		(8.6)
CH₃COONa	(6.8)	A		(6.6)
Na ₂ SO ₄	(5.2)	A+R		(6.6)
Na_2CO_3	(12.2)	B+A		(12.2)
$Na_2B_2O_7$	(9.2)	B+R		(10.0)
Na_2WO_4	(10.0)			(8.8)

表 2 ブルーカイトの安定化剤と反応の特徴

安定化剤	反応の特徴
NaF	Bの粒成長迅速 (<10μm), チタン酸塩を生成しない
NaOH	チタン酸塩を生成, Bの粒成長遅い
NaCO ₃	チタン酸塩を生成, Aの粒成長速い
$Na_2B_2O_7$	Rが生成しやすい. チタン酸塩は
	生成しない. Bの粒成長遅い
Ca(OH) ₂	チタン酸塩を生成、Bの粒成長遅い

A:アナターゼ, B:ブルーカイト, R:ルチル

に注目し、他の化合物は除かれている. その 結 果, NaOH と NaF 外にも Na₂CO₃ 及び Na₂B₂O₇ が安定化剤として作用することを見いだした。し かし、これらの安定化剤の作用はお互いにかなり 異っている. 高純度ブルーカイトを合成する立場 から, 関連研究の結果も含めて, これらの反応の 特徴を,表2に要約した. NaOH, Na₂CO₃ 及び Ca(OH)2 を使用した場合は 難溶性のチタン酸塩 が TiO₂ 相と共生しやすく、 また、Na₂B₂O₇ はル チルが生成しやすく,ブルーカイトの粒成長も遅 い, それに対し, NaF は数 μm 程度までは, 比 較的粒成長が速く, 難溶性の化合物を生成しない ので、ブルーカイトの合成には、これらの安定化 剤の中では、最適と判断された.しかし、比較的 低温ではアナターゼと共生しやすく, より高温 ではルチルが生成しやすいため、TiO2・nH2O と NaF 水溶液の反応を詳細に検討した.

3.2.6 ブルーカイトの生成に対する NaF の効果

まず,反応系の Ti と Na の量比と TiO_2 相の生成関係を調べた。 P_2O_5 上で真空乾燥した TiO_2 ・ nH_2O (gel A) 30mg に所定量の NaF と 100mg の H_2O を Ag tube に充塡,封入し,1kb, 216h の条件で反応を行った。 実験結果を 図 16 に示した。 Na が $5\sim10$ at% より高濃度側で,また,450 で以下でブルーカイトが生成した。 しかし,ほとんどの領域で,アナターゼと共生し,純相としてのブルーカイトの生成領域を見いだすことはできなかった。次に,反応時間を変えた実験も行い,ブルーカイトの生成量と量の関係を調べた。その結果を 図 17 に示した。 この図から明らかなように,ブルーカイトの生成量は Na 量が 5 at% 以上 50 at% 程度までは,ブルーカイトの生成量は,

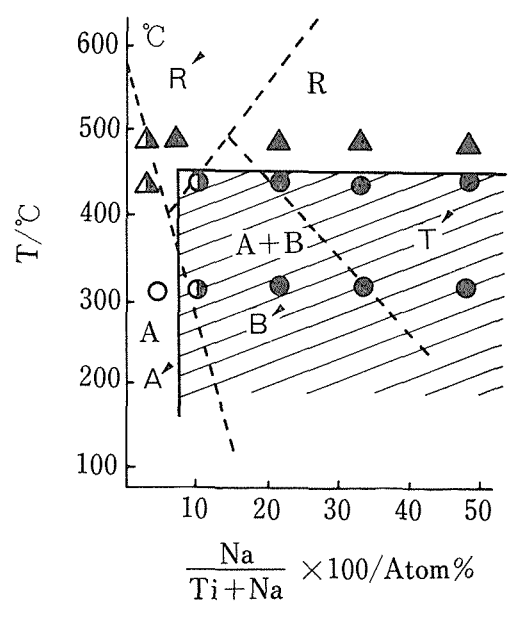


図16 $TiO_2 \cdot nH_2O - NaF(aq)$ 系の反応図 反応条件: 1 kb, 216 h, A: 7 ナターゼ, R: ルチル, B: ブルーカイト, T': チタネイト 斜線部はブルーカイトの生成領域を示し, 点 線は('相) Keesman の結果を示す.

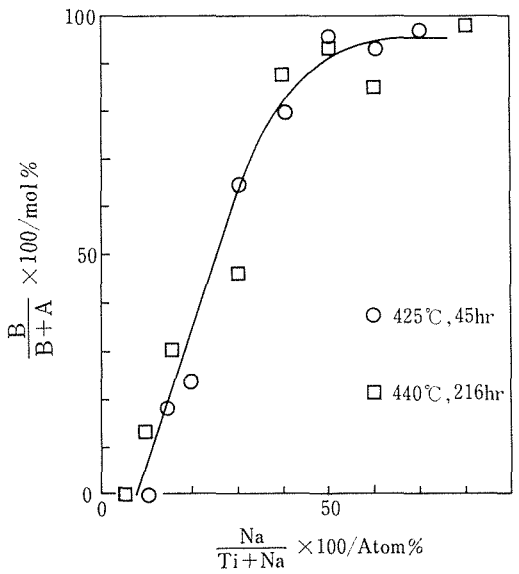


図17 TiO₂nH₂O-NaF (aq) 系における NaF 量とブルーカイト生成量の関係 反応条件:1kb.

反応系の Na 量と共に増加する傾向にあるが, 反応時間が 20hrs を越える場合は, 反応時間にあまり依存しなかった.50 at% Na 以上の領域では, ブルーカイト量はほぼ一定で, 共存するアナター

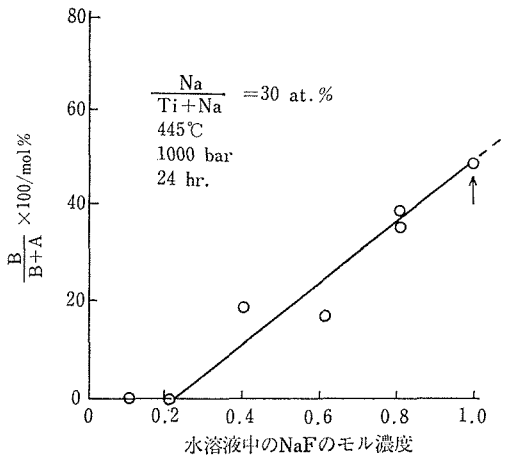


図18 TiO₂・nH₂O-NaF(aq)系における溶 液濃度とブルーカイト生成量の関係

ゼの量はこれ以上には減少しなかった. NaF は H₂O 中ではほぼ完全解離しているので、 図 17 の 結果から、ブルーカイトの生成量は TiO2・nH2O に吸着された Na+ と F- の量によって支配されて いると推定される. 吸着量は溶液中の NaF 濃度 に依存するはずである. 図18によれば, ブルーカ イトは NaF 濃度が、0.2M 以下(30 at%Na)のと き全く生成せず、それ以上では、溶液濃度の増加 と共に比例的に増加する. なお, この実験は反応 系の Na 量は 30 at% とし、445%、1 kb、24 hrs の条件で行われた. 上の結果からは、NaFの吸着 量をできるだけ増加させることにより、純相とし てのブルーカイトの合成が可能になることが期待 される. しかし、NaF の水への溶解度は25℃で 0.95 M で、高温下における溶解度は不明である が、著しくは大きくならない(≤25%/100℃)と 推定されるので、TiO2・nH2O+NaF+H2O の反 応系では吸着量に限界がある.次に、TiO2・nH2O への NaF の吸着量を増加させる方法として共沈 ゲル法を検討した.

3.2.7 共沈ゲル法によるブルーカイトの合成

図19 は共沈ゲル ℓ TiO₂・mNaF・nH₂O の組成とブルーカイトの生成量の関係を示している。ここで、共沈ゲルは次のように調製した。飽和溶液に近い 0.95 M NaF 水溶液に、所定量のプロポキシドチタンを滴下し、加水分解によって生成した沈殿(共沈ゲル)を0.95 M NaF 水溶液で十分に洗浄後出発物質とした。共沈ゲル (ℓ TiO・nNaF・

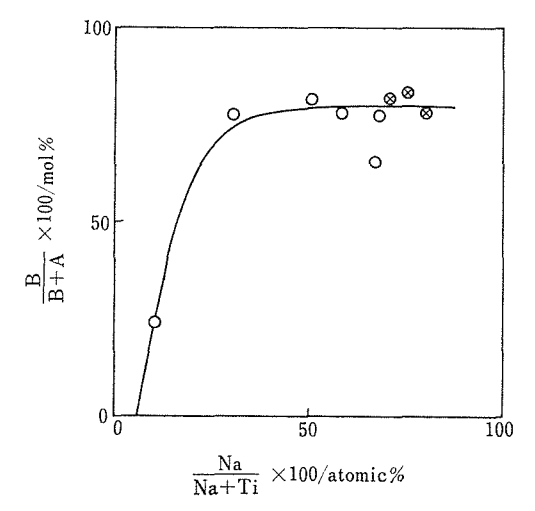


図19 共沈ゲル ℓ TiO₂・mNaF・nrhO の組成とブルーカイト生成量の関係 反応条件: 1kb, 12 hrs. ⊗はルチルが共生したことを示す。

nH₂O) の組成は全口過液の 一部を 蒸発乾固し, 残った NaF 量から計算した. 未乾燥のゲルを Ag 管に充填, 封入し, 水熱処理を行った. TiO2・ nH₂O+NaF (aq) の反応と比較した場合, 共沈 ゲル法では, ブルーカイトの生成速度(アナター ゼの消失速度) がかなり速く, また, 低 Na 領 域でもブルーカイトの生成量が多かった.また, この方法では30at%以上のNa領域においてブル - カイトの生成速度は、ほとんど組成に依存しな かったが、70at% 以上の高 Na 領域では、アナタ -ゼ以外にルチルが生成し, Na 量の増加と共 にルチルの生成量も急激に増加した. したがっ て、ブルーカイトの合成に適した組成範囲は40~ 60 at% Na と結論された, 今まで, ブルーカイ トの生成速度については詳しく検討されてこなか ったが、NaF を用いる場合、いずれの方法でも、 300℃ 以上では 反応時間 が 20~30 hrs を越える と、アナターゼからブルーカイトへの転移速度は 非常に遅い. すなわち, ブルーカイトの生成量は ゲルの結晶化の初期段階で規定されている可能性 が強い.

図20 は 50 at% Na 組成の共沈ゲルの熱水下に おける結晶化の初期反応を示している. このゲル の結晶化温度は, 180~200℃で, アナターゼとブルーカイトが同時に晶出した. 反応初期の段階で

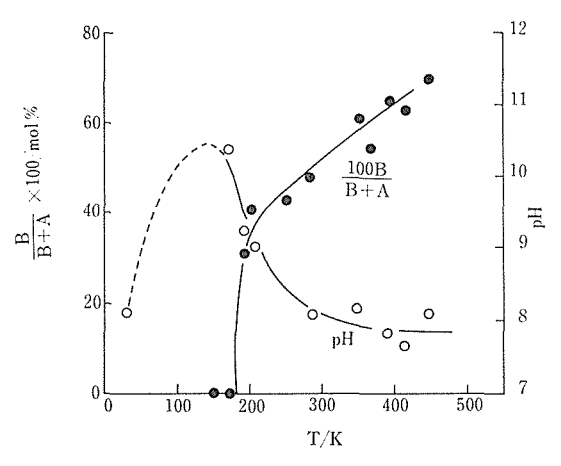


図20 共沈ゲル TiO₂・NaF・nH₂O の結晶化反応 反応条件:1 kb, 0.5 hr, ○:ブル ーカイト, ●生成系の溶液の pH

は、アナターゼ→ブルーカイトの変化は速やかに進行し、同時に、ブルーカイトの結晶粒子も 400 Å から 1000 Å 程度まで急速に成長した. 結晶粒子が 1000 Å に成長すると、アナターゼからブルーカイトへの転移速度もかなり遅くなった. 図21は 1000 Å を越えた粒子の 440 ℃ における転移曲線を示している. 440 ℃ の場合、反応時間が 0.5 hr 以内で 70%のブルーカイトが生成するが、100%のブルーカイトを得るには 20 hr 以上を要した.定性的には、この転移速度は粒子の比表面積が大きいほど速い、溶解速度は比表面積に比例 するので、 TiO_2 -NaF(aq)系におけるアナターゼ→ブルーカイト転移は溶解析出反応によると考えられる.アナターゼの粒子があまり大きくなると、ブ

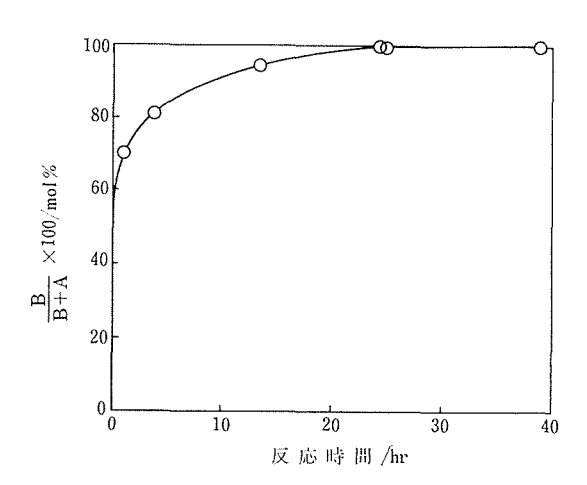


図21 ブルーカイトの生成速度曲線 出発物質:図20と同じ, 反応条件:1kb, 440℃

ルーカイトとアナターゼの自由エネルギー差は小さい(<0.4kcal mol $^{-1}$)ので,両者の溶解度の差も小さく,両相は永続的に共存する可能性がある,したがって,純相として,ブルーカイトを合成するためには,結晶化の段階でアナターゼの生成をできるだけおさえ,アナターゼの粒子をできるだけ細分化することが望ましいと考えられる.共沈ゲル法は $TiO_2 \cdot nH_2O + NaF(aq)$ の反応と比較して,これらの点に優れている.この方法により,多量(>1g)のブルーカイト試料を合成するときは,50 at% 組成の未乾燥共沈ゲルを 30 ccのふた付白金容器に充塡し,0.95M NaF 溶液と共に,80ccの反応容器を用いて,1 \pm 0.2kb,440 \pm 5 $\mathbb C$,48 \pm 2 hrs の条件で水熱処理を行い,純相のブルーカイト試料 (PB) を合成した.

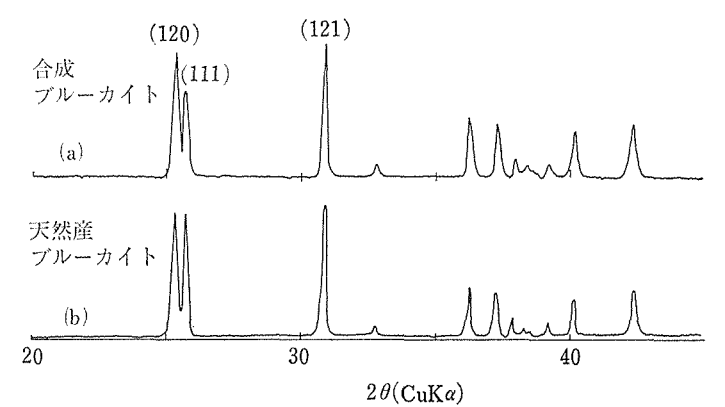


図22 ブルーカイトの粉末 X線回折図形

(a)は合成ブルーカイト (b)は米国アルカンサス産の天然ブルーカイト

3.2.8 合成ブルーカイト の キャラクタリゼーション

(イ) 結晶性と相の純度

合成ブルーカイトの代表的な粉未X線回折パタ ーンを、米国アルカンサス産の天然ブルーカイト のパターンと共に、図22に示した. 合成結晶の結 晶性は十分に良く, 回折ピークのラインブロード ニングは全く認められなかった. 天然結晶との差 異は、回折ピークの強度比に関して認められた. (120) と(111)の強度比は天然結晶の場合、ぼほ 1:1 であったが、合成結晶では 1:0.9~0.7 程 度まで変化した. 相の純度については, 通常, ア ナターゼとブルーカイトの混合物の場合, 量比は $I_{121}^{B}/(I_{101}^{A}+I_{120}^{B}+I_{111}^{B})$ (但し, $d_{101}^{A}=d_{120}^{B}=$ 3. 51Å) が 0. 53 のときブルーカイトが 100 %とし て求めた. しかし、アナターゼのすべての回折ピ ークはブルーカイトのピークと重っていること, 更に、合成結晶では回折強度比が変化することか ら, 混合物の回折図形から多量のブルーカイト中 の小量のアナターゼを識別することは不可能であ った, しかし, NaF 溶液中で合成したアナターゼ 及びブルーカイト試料のルチルへの転移温度(大 気中, 加熱速度: 20℃/min) は, それぞれ, 1030℃ ~1130℃ 及び 930~1020℃ であったので, 1030℃ (20℃/min) まで熱処理をした 試料の回折図形か ら、微量 $(\sim 0.5 \text{mol}\%)$ のアナターゼの定量を行 うことができた. この方法により, 共沈ゲル法で 合成したブルーカイト試料 (PB) は純相であるこ とを確認した.

Si を内部標準として、最小 2 乗法で格子定数を求めた合成結晶の格子定数は $a_0=5$. 4486 ± 0.0003 Å, $b_0=9$. 1726 ± 0.0005 Å, $c_0=5$. 1361 ± 0.0002 Å, v=256. 69 ± 0.02 Å 3 であった. 同時に測定した天然結晶と比較すると、格子定数は $0.1\sim0.14$ %ほど、また、体積については 0.37% ほど小さい値を示した. なお、合成結晶を 900% (20%/min) まで加熱しても、格子定数には変化が認められなかった.

(中) 化学的純度

表 3 に合成結晶の湿式及び分光分折値を示す. 一般に天然ブルーカイトの化学的純度はかなり悪く, 1~5 wt% の金属不純物を含有している¹³⁾. 我々の合成した試料の金属不純物 は 0.03 wt%

表3 合成ブルーカイトの湿式及び分光分析値

不 純 物	重量パーセント
Na	0.02, 0.08*
F	0.03
Fe, F	\sim 0.00 X
Cr, Cu, Zr	\leq 0.001
Mn, Pb, Ag	\sim 0.000 X
F Fe, F Cr, Cu, Zr	0.03 $\sim 0.00 \mathrm{X}$ ≤ 0.001

*:温水のみで洗浄した場合,他の場合は,温(1:1) HNO₃ で洗浄.

で、ほぼ同程度のFを含んでいた。表 3によれば、温水で十分に洗浄した合成結晶のNa含有量は 0.08 wt% であるが、1:1 HNO3 で加熱洗浄した結晶のNa 含有量は 0.02 wt% まで減少した。この事実は、Na は結晶表面に濃集しているが、それは単に吸着しているのではなく、 TiO_2 と結合して特殊な表面層を形成していることを暗示している。熱量重量分析の結果によれば、250 ~1250 $^{\circ}$ で 0.04 $^{\circ}$ 0.07 wt% ほど減量した。これは結晶中の OH^- の脱水によるのか、 $\frac{1}{2}O_2$ と F_2 との交換反応によるのかは明らかにできなかった。以上の結果、合成ブルーカイト (PB) の化学的純度は 99.85% 以上と判断された.

(7) 転移温度

純相のブルーカイト試料 (PB) の DTA 曲線と 高温X線回折計による(120) 反射の温度に対する 強度変化 I_{120}^{B} を 図 23 に示す.これらの図では, 装置による基線の変化は補正してある. 熱処理を しない合成試料の DTA 曲線 (I) において, 750℃ から 1020 にわたって (加熱速度: 20 \mathbb{C} /min), 発熱ピークが観察されたが、熱処理(20℃/min) を行うと、処理温度領域の発熱ピークは観測され なかった. DTAII は 900℃ (20℃/min) まで加 熱処理をした試料の DTA 曲線である. 一方, 熱 処理をしない試料の I₁₂₀ はブルーカイトからル チルへの転移は 940℃ %1020℃ (20℃/min) の間 で起こることを示している. したがって、750℃ 以上で観測される発熱ピークの大部分は結晶中の Fイオンが大気中の O₂ と置換すること (酸化反 応)による発熱の可能性が大きい、このことは、 熱処理によって、合成試料の色が青から帯黄白色 に変化することからも支持される. なお、NaOH を用いて合成した試料(ブルーカイトとアナター

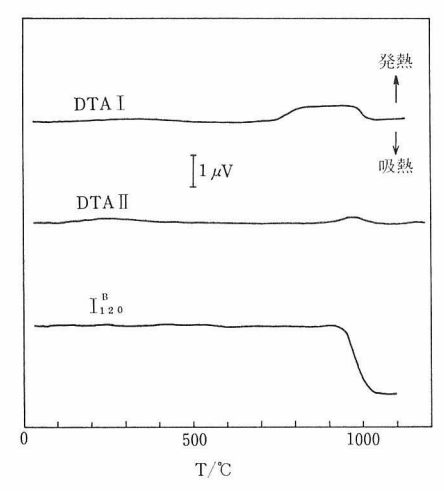


図23 合成ブルーカイトのDTA曲線 及び (120) 反射の強度変化。 DTA I は熱処理をしない試料 (PB), DTA II は 900℃ まで熱処理をした試料の DTA 曲線 を示す。 I ^B₂₀ は高温 X線で測定した.

ゼの混合物)は白色であることから,青色は結晶中の F^- イオンに起因すると考えられた.高温(>900°C)になると,一般に,DTAの基線の変動が大きく,相転移だけによる発熱ピークを観察することはできなかった.ただし,天然結晶の場合,相転移による発熱ピークは明瞭に観察され,転移熱は 0.2 ± 0.1 kcal mol $^{-1}$ と推定された.合成結晶の転移温度(940°C ~1020 °C,20°C/min)は,天然結晶の転移温度(880°C ~960 °C,20°C/min)より高かったが,転移温度直下(930°C,20°C/min)まで熱処理をすることにより, $30\sim40$ °C ほど低下した.この事実は, F^- イオンがブルーカイトを安定化していることを暗示している.

(二) 結晶の形態

合成結晶 (PB) の SEM の写真を図 24 (a)に示した. 粒子の大きさは $3\sim15~\mu m$ の間に分布しており,水熱処理時間を 200 hrs まで延長しても,最大粒径の大きさには変化がなかった。また,個々の粒子は平らな面をもち,単結晶的特徴を有している。このことは,NaF 溶液中では,溶解析出反応によってブルーカイトが成長したことを示している。図24(b)は,輸送法によって合成した比較的大きなブルーカイト単結晶を示している。NaF+HF+Na₂CO₃ を溶媒とし,溶質(試料として PB

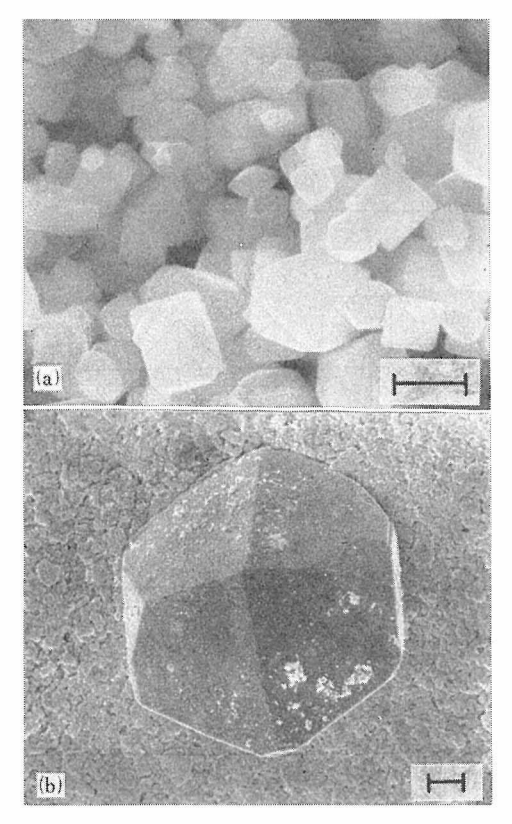


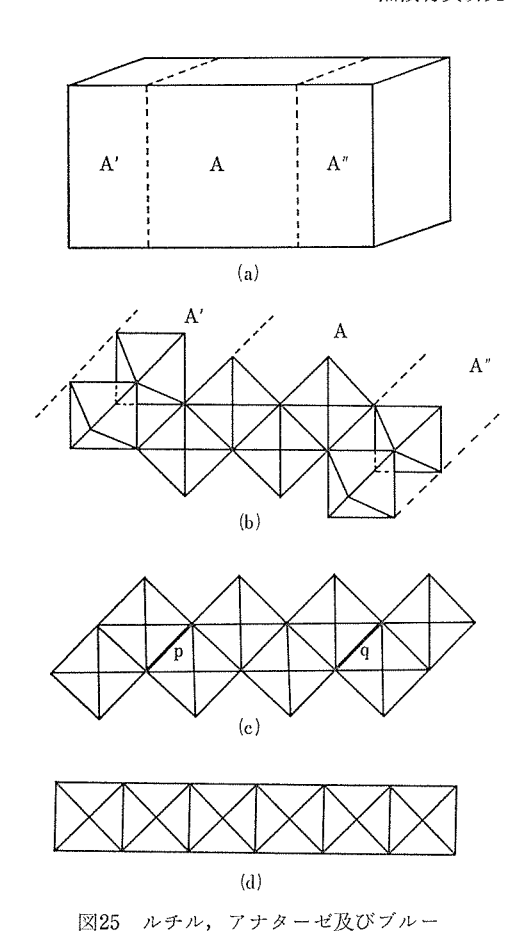
図24 合成ブルーカイの粒径と形態 |----|: 10μm, (A)は試料 PB, (B)は輸送法で 育成した単結晶試料の SEM 写真である.

を用いた)部より、約30℃ほど低温部(高温部は440℃)に析出したものである。約80 μ m まで成長させるのに1ヶ月を要した。この実験から、NaF 溶液中への TiO $_2$ 溶解度(<450℃)は極めて低いと推定された。

3.2.9 ブルーカイトの生成機構

通常の $TiO_2 \cdot nH_2O$ の結晶化反応では、アナターゼはルチルのみならずブルーカイトよりも熱力学的には不安定であるにもかかわらず、アナターゼが生成する。それに対しブルーカイトは、下記のような特殊な $TiO_2 \cdot nH_2O$ を出発物質として用いた反応から生成する。

- (1) エチル及びプロピルチタネイトの加水分解 によって生成した TiO_2 ・ nH_2O の結晶化反応(熱, 摩砕及び水熱処理)
- (2) 安定化剤を含んだ TiO₂•nH₂O の熱水中結晶化反応. 一方, ルチルは TiO₂•nH₂O の結晶化



カイトの特徴的な鎖構造の比較
(a)ブルーカイトの単位格子、A', A、A"の部分は近似的にはアナターゼ構造と同一で、それぞれの接合面は TiO₆ 八面体の頂点共有で接している。(b)ブルーカイト、(c)アナターゼ、(d):ルチル・(c)図で TiO₆ 八面体の稜共有をしている p, q 部で鎖の切断が起こり, 頂点共有をするように TiO₆ 八面体を変形すると(b)に等しくできる。ただし、いずれも模式的関係を示す。

反応からは直接は生成しにくい.

これらの事実は TiO₂ 準安定相の生成条件は, 主に準安定相の核生成条件に支配されていると考 えられる.

一般に、核生成の活性化エネルギーを $4g^*$ とすれば、核生成速度 J は $\exp\left(-4g^*/\mathrm{kt}\right)$ に比例する。したがって、 $\mathrm{TiO_2}$ ・ $\mathrm{nH_2O}$ の結晶化反応においてA(アナターゼ)が選択的に生成するということは、 $4g_A^* \ll 4g_B^*$ 、 $4g_R^*(B: ブルーカイト,R:$

ルチル)であり、一方、ブルーカイトが生成する場合はAが共生しやすいので、 $\Delta_B^* \simeq \Delta_{g_A^*} \ll \Delta_{g_R^*}$ であると解釈できる。古典的な核生成論によれば、核が球形であるとすれば、 $\Delta_{g^*} \sim \sigma^3$ である。ここで σ は母相と核との間の界面エネルギーを示す。母相と核の構造的整合性が良ければ、すなわち、両者の構造が類似していれば、 σ は小さくなるので、準安定相であっても、核生成が起こるであろう。したがって、 TiO_2 多形の成因は母相(TiO_2 ・ nH_2O ゲル)の構造と結びついた核生成に支配されていると考えるのが妥当であろう。

アナターゼ、ブルーカイト及びルチルの結晶構造の中に、図25に示すような酸素八面体が連結した鎖状構造を見いだすことができる。ルチルは直線的鎖構造をもっている。アナターゼはジグザグ鎖構造で、ブルーカイトはアナターゼと同様なジグザグ鎖をもっているが、酸素八面体4個分で切れている。これらの鎖構造からみるかぎり、ルチルと比較した場合アナターゼとブルーカイトは構造的に良く類似しており、両者の中ではブルーカイトの方が、乱れが大きいといえる。

以上の事柄から、通常の非晶質 TiO2・nH2Oは、 短範囲構造として, アナターゼに特徴的な比較的 長いジグザグ鎖 (n≥5, n は酸素八面体の数) を もっていると仮定すれば、この鎖を短かく切断 し、隣接した酸素八面体を頂点共有するような作 用が動けばブルーカイトの核生成の確率が大きく なると推論される, エチル及びプロピルチタネイ トから調製した TiO2・nH2O は、すでに加水分解 の段階で上に述べたような乱れたジグザグ鎖状の ポリマーが生成することが予想される. ポリマー の乱れの程度が加水分解の条件に敏感であるとす ると、実験結果(ブルーカイトの生成量)の再現 性が乏しいことが納得できる.一方,ゲルの摩砕 効果は鎖の乱れを一層促進することに対応し,ブ ルーカイトの生成を促すと考えられるが、過度の 摩砕処理は、特徴的なジグザグ鎖を破壊し、最安 定相であるルチルの核生成を, 相対的に, 容易に するであろう(これの実験的裏付けは諏訪16)らの 報告にある).

次に、安定化剤の効果について考察する。溶液中の金属イオン及び陰イオンは $TiO_2 \cdot nH_2O$ に吸着する。NaF の場合、ジグザグ鎖内の OH^- と F^-

とが交換し (図 10 の pH 変化から推定), TiF₆²-のような錯イオンを形成することにより、鎖を切 断し、Na⁺はブルーカイト構造をもたらすように 酸素八面体を頂点共有するのに役立つような歪を 与えるものと推定される. この点で, 安定化イオ ン Na⁺ と Ca²⁺のイオン半径(0.99 及び 0.98Å) が近いことが注目される. ブルーカイトの生成量 は NaF の量が 0.3~0.5(=Na/(Na+Ti))になる までは NaF の量に比例する (図8, 9, 10). こ のことは, 吸着によって, ゲルの平均的短範囲構 造がアナターゼ的からブルーカイト的に変化す る. すなわち、平均値な意味で $\sigma_A \ll \sigma_B$ から $\sigma_B \lesssim$ σ_A になったと解釈される. しかし, 吸着量が過 度になると(共沈法で Na 量が~70at %以上の場 合),過度に摩砕したと同じ理由でルチルの核生 成の方が容易になると考えられる(図19参照).

3.2.10 結論と今後に残された問題

(1) 結論

TiO2・nH2O ゲルの各種条件下の結晶化反応を 調べ、熱水溶液中では、ブルーカイトの生成に対 して、Ca(OH)2 が新たな安定化剤であることを 見いだした. また, 熱水中における各種塩の効果 を調べた結果, NaF 及び NaOH 以外に, Na₂CO₃ や Na₂B₂O₇ もブルーカイトの生成に有効に作用 したが、高純度ブルーカイトを合成するのには NaF が最適であることを確認した. NaF を用い た結晶化反応を詳細に検討し、プロポキシドチタ ンを NaF 水溶液中で加水分解することにより調 製した共沈ゲルから、高純度ブルーカイトが合成 できた. この合成相は 0.07 wt% ほどの OH- 又 は F- を含んでいたが、純度は 99.85% で、 十分 に結晶性も良く, 粒径は3~15μm ほどであった. TiO6 を単位としたジグザグ鎖の切断, 歪モデル からブルーカイトの成因を考察した.

(2) 今後に残された問題

共沈ゲル法の場合でも、時に、アナターゼが多量に共生することがあった。再現性良くブルーカイトを合成するためには、NaFより安定な安定化剤を探す必要がある。ブルーカイト単結晶の育成は十分には検討できなかった。適当な溶媒や種結晶などの検討が必要である。

ブルーカイトの安定化機構は推論の域をでなかった,他の系の準安定相も含め,より系統的な成

因論の展開が望まれる.

参考文献

- 1) Gmelins Handbuck: Der Anorganischen Chemie, Sys. No. 41, 230 (1951)
- A. W. Pompfilow and J_E. G. Iwantschewn: J. Chem. Gèn. 10, 154(1940)
- O. Glemeer and E. Schwarzmann: Angew. Chem. 68, 791(1956)
- H. Knoll: and U. Kühnhald: Naturwiss.,44, 394(1957)
- 5) H. Knoll: Naturwiss, 48, 601(1961)
- 6) H. Knoll: Naturwiss, 50, 546(1963)
- 7) M. Kiyama, T. Akita, Y. Tsutsumi, and T. Takeda: Chem. Lett., 21(1972)
- 8) E. Schwarzmann and K. H. Ogniheni: Zeits. Naturforsch., B 29, 435(1974)
- 9) I. Keesmann: Zeits. Anorg. Allgem. Chem., **346**, 30(1966)
- 10) H. Bach: Naturwiss., 51, 10(1966)
- 11) 粉体
- 12) 山口 修,大牧七郎,竹岡 清,清水 澄:粉体 および粉体治金, 22, 173(1975)
- 13) C. Palace, H. Berman, and C. Frondel: "The system of Mineralogy of Dana" John wiley and Sons, Vol. 1, 588
- 14) R. A. Spurr and H. Myers: Anal. Chem., 29, 760(1957)
- 15) T. Mitsuhashi and M. Watanabe: Min. J., 9 236(1978)
- 16) 諏訪佳子,稲垣道夫,中北文彦,中 重治:第15 回人工鉱物討論会要旨集, (1970)

3.3 ブルーカイト 関連 相のキャラクタリゼーション

本節では、ブルーカイト安定化機構解析の糸口を与えたブロンズ型二酸化チタンの超構造と化学組成の解析及びブルーカイトの合成で常に関連のあった一連のナトリウムチタン酸塩の構造遷移の問題などに関して記述する.

3.3.1 ブロンズ型 TiO₂ の超構造^{1,2)}

ナトリウムイオンを含む二酸化チタンブロンズは一般式 $Na_xTiO_2(x \le \frac{1}{4})$ で示される。この物質は、Andersson らによって $Na_2Ti_3O_7$ を水素雰囲気中で 950 で で還元することで生成された $^{3)}$. 同時に、結晶構造が解析された。図26はこの構造の

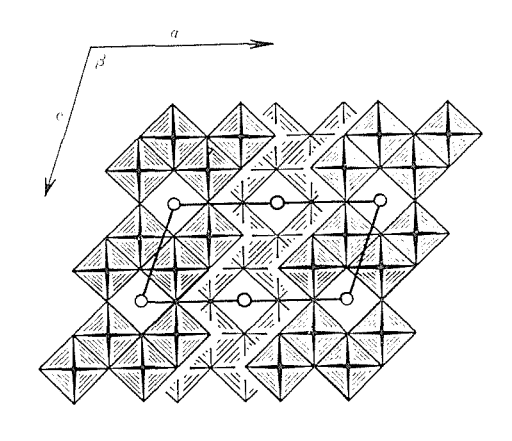


図26 ブロンズ型 TiO₂ の結晶構造 (S. Andersson and A. D. Wadsley¹⁶⁾より)

b 軸投影を示す.この構造は基本的には TiO_6 八面体からなる層状の骨格構造をもち,その組成は TiO_2 である.ナトリウムは層間の近似的に立方 対称をもつ位置を統計的に80%の割合で占める.後にフロイデンバージャイト $[(Na, K)_2(Ti, Nb)_6(Fe^{II}, Si)_2(O, OH)_{18}]^{4,5)}$ という鉱物が同型構造をもつことがわかった $^{6)}$. 一方,二酸化チタンブロンズは $Keesmann^{70}$ によって水熱反応を利用して合成されていて,その時点ではフロイデンバージャイトと同型であると指摘された.彼の用いた反応系は本実験のと同じであるが,結果は,3章1節で先に比較したようにかなり異なっている.

フロイデンバージャイトの組成から明らかなよ らに二酸化チタンブロンズのチタン元素はかなり の割合で他の二~五価の酸化数をもつ金属元素で 置換できる. 実際に、Baver ら⁸⁾ は Al, Cr, Fe, Co, Ni などを含む多数の NaxTi₄O₈型構造をもつ 化合物を合成している. そしてこれらの各物質が おおよそ0.6 < x < 0.9の組成域にわたる不定比性 をもつことが示された.しかし,ブロンズ型 TiO2 については、その構造の単位胞が TiO2 の8モル 当り2グラムイオンまで受け入れられるにもかか わらず、実際には x=0.8 に相当するものしか見 いだされていない. また, タングステンブロン ズ⁹⁾ に見られるような母構造の多様性(例えば、 立方, 正方, 六方対称をもつものなど) あるいは 侵入イオンの配列の多様性(例えば、秩序、無秩 序などのちがい)、に基づいた類縁構造の報告も

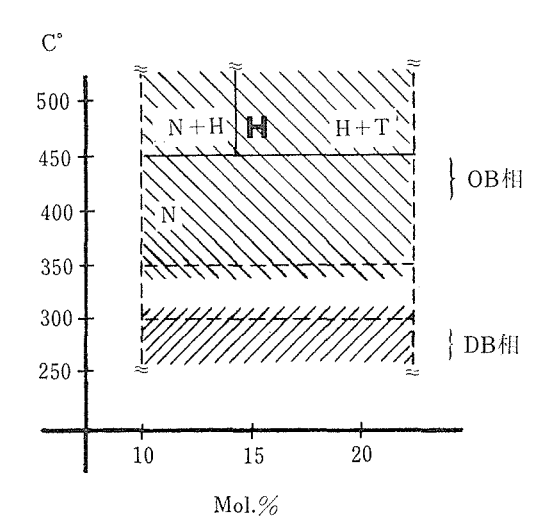


図27 ブロンズ型 TiO₂ の生成条件 N, H, T は Na₂Ti₉O₁₉, Na₂Ti₆O₁₃, Na₂Ti₃O₇ を各々示す。

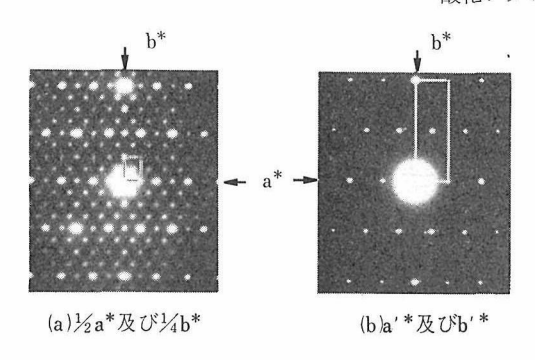
今日までなかった.本節では、二酸化チタンブロンズにも構造的あるいは組成的原因に基づいた多様性が実際に存在することを示す.

(1) 実験

合成は本章第 1 節に含まれている. ブロンズ型 TiO_2 は $\alpha=800$, Sv=0. 06 で $10\sim20$ 日間で生成 すると数 μ m にしかならないため、生成物は X線 粉末回折法と電子線回折法によって同定した. ブロンズ型 TiO_2 には $Na_0.s$ Ti_4O_8 型の単位胞をもつものと、この単位胞に加えて超格子をもつものが見いだされ、後者の超構造の原因を明らかにするために高分解能格子像を取った. なお、ブロンズ型 TiO_2 の結晶の成長を試みたが、溶媒量の増加、温度勾配の導入にもかかわらず水溶液中では輸送されず、育成は困難であった.

(2) 二種類のブロンズ型 TiO₂

図27 に α =800, Sv=0.06 反応時間10日間の場合のブロンズ型 TiO_2 の生成領域を示した. ブロンズは大体において九, 六, 三のチタン酸塩と共に, 白色ないし薄い黄色の粉末で得られる. 図27 に斜線で示すように, 二種類のブロンズは 300~350℃ を境界として別々に生成される. 300℃ 以下で合成されるものを DB 相と呼び, 350℃ 以上で得られるものを OB 相と呼ぶ. X 線粉末回折図は両相が Andersson らによって決定された $Na_{0.8}$ Ti_4O_8 型構造を基本的に維持することを示す. 両



(a)

図28 OB 相(a)と DB 相(b)の (001) 逆格子面 a*, b* は OB 相の基本格子の逆格子定数, a'*, b'* は DB 相の逆格子定数である. 矢印に添えた a*, b* は逆格子の軸方向を示す.

相の顕著な差は図28に示した (001) 逆格子面の比較で明らかである。300°、350° でのブロンズ結晶の大半は図 3 (a) の超格子反射が弱まり、それらの周囲に特定な方位へ広がった散漫散乱を伴った回折図を示す。

(3) OB 相の超構造

図28(a)の超格子反射は $\frac{1}{2}$ a*, $\frac{1}{4}$ b*, c* の周期をもつ c-底心格子を形成する. ここで、a*, b*, c* は OB 相の Na_{0.8} T_{14} O₈ 型逆格子定数である.

粉末回折図から OB 相は基本構造として Na_{0.8} Ti_4O_8 型構造 を 維持 することがわかっているの

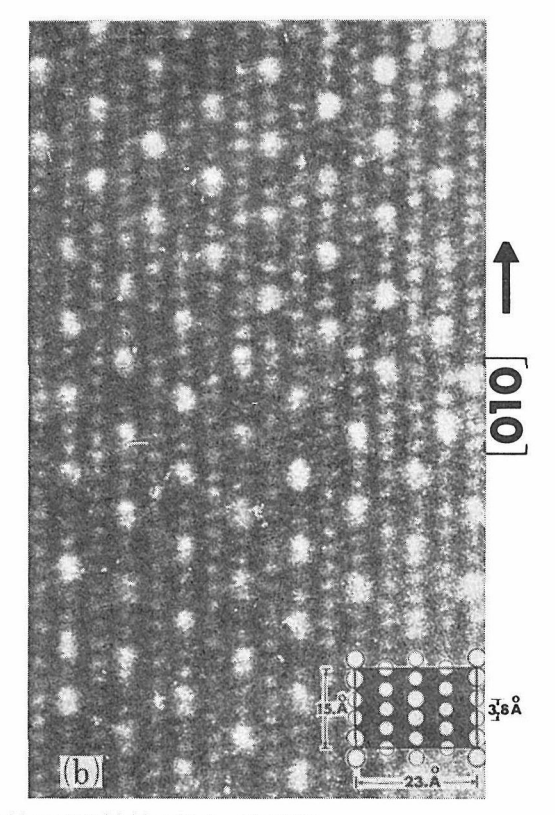


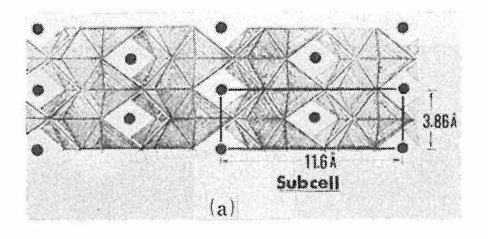
図29 (a) OB 相の電子顕微鏡像,図28(a)に対応(b)(a)の拡大,約10倍.

で、超構造の原因を格子像に基づいて調べるのに適していた。図29(a)は図28(a)に相当する回折図について結像したものである。 球面収差係数 Cs=2.8~mm, $\Delta f=-1250~Å$, 100kV で得た。試料の薄い部分でのコントラストは白くて弱い班点と、強い班点からなっている。図中に数本書き込んだ線は、強い班点の配列に関してそれらの線を境に両側が逆位相の関係にあることを示す。

白い班点のこの投影面での幾何学的関係を図29 (b)で示す. (b)図は(a)図の一部を約10倍に拡大した ものである. 右下に挿入した図がこの投影面での 白い班点の配列周期を示す. 大小の円はそれぞれ 強い班点と弱い班点に相当している. 強い班点は 対をなしていて, 対の配列の周期は超格子反射の 周期に関係している. また弱い班点が形成する周 期は主反射の周期に対応する. この格子像は Na 0.8Ti4Os の結晶構造のデータを用いて次のように 解釈できる. 図30(a)は図26の構造を c 軸に沿って その軸に垂直に投影したものである. ナトリウム 位置の間の相対的関係は弱い班点に関して得られ る周期と良く一致する. 図29(a)の格子像は、図28 (a)の反射点の内(000) 反射を除いた内側の58波 によって得られた. 58波の内最も内側に近い6波 を除く残りの回折線は $\sin \theta/\lambda$ の値にして約 0.07 \sim 0.15 の範囲に入っている.この範囲ではNaの 電子散乱能は Ti のそれに比べて半分以下にな る³³⁾また、図26、図30(a)からわかるように後者の 投影面での Na と Ti の位置のイオンの重なりの 度合は後者の位置を1とすると前者では0.8にな る. それゆえ, Na の位置での c 軸に沿っての電 子に対する全散乱能は Ti の位置に比べて半分以 下となる. したがって, 運動論的説明が成立する ような試料の薄い部分では、Na の位置はその周 囲に比べて明るいコントラストをもつと判断でき る. 以上のことから, 図29(a), (b) の格子像の白い 班点部分はNaの位置を反映するといえる. また, 上記の判断に従えば、強い班点に相当する Na の 位置では Na がほとんどあるいは完全に抜けてい ると期待できる. 図30(b) が格子像を説明する OB 相の構造モデルである. 白い円が Na の抜けてい る位置を示す.

(4) OB 相の熱履歴

OB 相を空気中で 10~20℃/min の昇温速度で



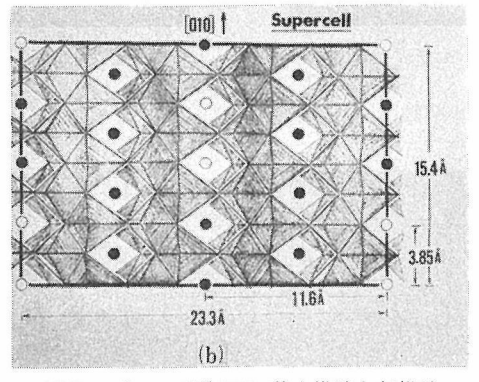


図30 ブロンズ型 TiO2 基本構造と超構造

加熱すると、図31のTG曲線にみられるように, 350~580℃の温度域で約0.8%の重量減少が起き る. この時に得られる白色物質は、粉末回折図か ら Nao.sTi4Os 型の構造をもつことがわかるが、 b軸はOB相よりわずかに短かくなっている.超 格子は図中の電子回折図に示すごとく OB 相と同 様のものをもつので、Na の配列に関して基本的 に OB 相と同じであると考えられる. この相(OB' 相とする)を約740℃で1時間程度以上加熱処理 すると超格子反射は完全に消失する.しかし、こ の白色物質も明瞭な Nao.8Ti4O8 型粉末回折図を もつので、これはNaの配列に関してOB'相の無 秩序化した相(DB'相とする)といえる. DB'相 は約 900℃ で Na₂Ti₆O₁₃ と TiO₂ に分解する. 図 31の TG 曲線からわかるように、全加熱過程を通 じて重量の減少は回復しない. また, 水熱合成で 300℃ 以下で得られる DB 相は重量減少を示さ ず,900℃ 付近で Na₂Ti₆O₁₃ と TiO₂ に分解し た. OB, OB', DB, DB' 各相の格子定数は表1に 示した.

(5) 考察

水熱合成の結果は、Na の秩序相が無秩序相よりも高温域で出現するという熱力学的に奇妙なものである。これはOB 相とOB 相が化学組成の違いのために、多形の関係にないという事実によっ

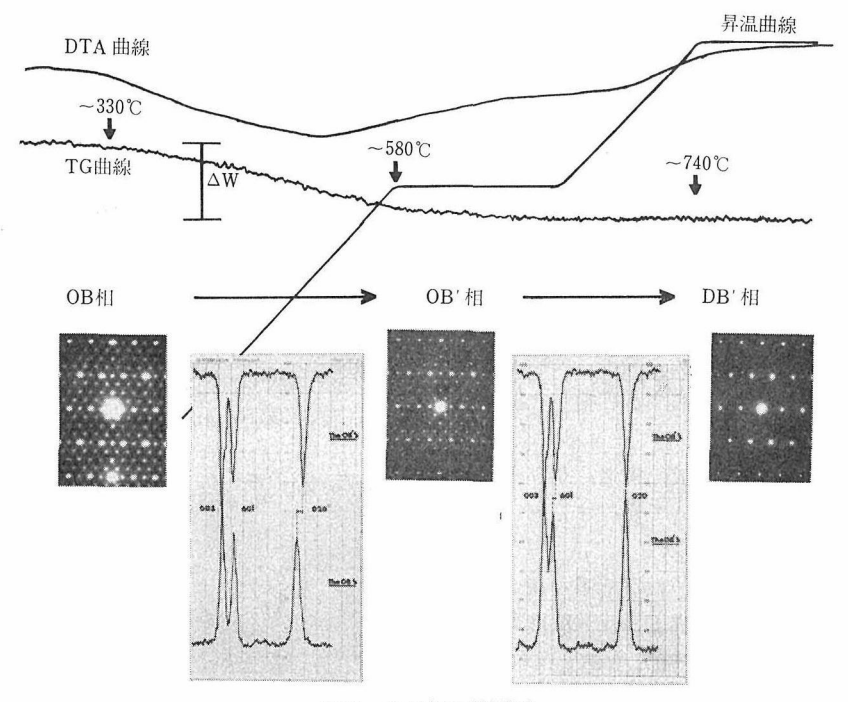


図31 OB相の熱履歴

て理解できる.組成の違いは OB 相の熱履歴の実験及び格子像の解釈からわかる.第一は, OB 相の加熱による重量減少を引き起こす化学種の存在である.

第二は、Na の排除された座席の発生に伴う Na の含有量の差である. 前者では、合成方法の特殊 性を考慮すれば, 水分子が放出されたための減少 であると考えられる. 0.8%の減少は図30(b)の超 構造の単位胞(16式の Nax Ti4Os を含む) 当り約3 個の水分子が放出されることを示す. 水素の取り 込まれる形体は大別して水分子, プロトン及びヒ ドロニウムイオンの三種類が考えられる.もし, 主にプロトンとして取り込まれるなら,水分子の 放出に伴って超構造の単位胞当り3個の酸素欠陥 が生じる. ヒドロニウムであるなら1個の欠陥が 生じる. これらの欠陥は、OB' 相あるいは DB'相 の焼鈍によって補われ結果として, ほぼ重量減少 は回復すると推測される. 更に, このような欠陥 があるなら、他のチタンの酸化物でしばしば観察 されるように、OB'あるいはDB'相は白色以外の 色調を帯びると予測される.以上のことから、水 素は主に H2O の化学種で OB 相に取り込まれる と考えられる. したがって, OB 相は実際には Na

表4 ブロンズ型 TiO2 の基本構造の格子定数

DB	DB'	DB	DB'
12.22 ± 0.01	12. 19	12. 17	12. 17
3.837 ± 0.005	3.829	3.850	3.828
6.448 ± 0.007	6.429	6.432	6.427
107.5 ± 0.1	107. 2	107.1	107.0
	12.22 ± 0.01 3.837 ± 0.005 6.448 ± 0.007	12. 22±0. 01 12. 19 3. 837±0. 005 3. 829 6. 448±0. 007 6. 429	12. 22±0. 01 12. 19 12. 17 3. 837±0. 005 3. 829 3. 850 6. 448±0. 007 6. 429 6. 432

が秩序配列をしたブロンズ型 TiO_2 の水和物であり、OB' 相が真の意味で Na の秩序化したブロンズ型 TiO_2 であると判断できる。表4の格子定数の絶対値の精度の関係上 Andersson らの得た Na $0.8Ti4O_8$ が DB あるいは DB' 相のいずれに近いか現時点では決められない。仮りに、DB 相が近似したとすると、OB 相は $Na_{9.6}Ti_{64}O_{128}$ * $3H_2O$, OB' 及び DB' 相は $Na_{9.6}Ti_{64}O_{128}$ の化学式をもつことになる。また、DB' 相が近似するなら、OB 相は $Na_{12.8}Ti_{64}O_{128}$ * $3H_2O$, OB' 相は $Na_{12.8}Ti_{64}O_{128}$ * $3H_2O$, $3H_2O$,

3.3.2 Na₂O・9TiO₂^{11,12)} とチタン酸塩の構造遷 _致

 Na_2O と TiO_2 を端成分とするチタン酸塩には 一般式 $Na_2O \cdot nTiO_2$ ($n \ge 1$) で表わせるグループ

がある。今日までに $Na_2TiO_3^{13)}(n=1)$, $Na_2Ti_3O_7^{14)}(n=3)$, $Na_2Ti_4O_9^{15)}(n=4)$, $Na_2Ti_6O_{13}^{16)}(n=6)$ 及び n=1 に近いが $Na_2O/TiO_2=4/5$ にずれた組成をもつ $Na_8Ti_5O_{14}^{17)}$ などが組成並びに構造的にはっきりと確認されている。この他に n=7 に相当する $Na_2Ti_7O_{15}^{18)}$ があるが組成に関して多少の疑問がある。 n=2, n=5 などに相当するものも 2, 3 報告 13 , 19) されてはいるが上記の意味で明瞭になってはいない。以上の一連の化合物は,主に Andersson と Wadsley らによって結晶構造と化学組成の関係を明らかにする立場から扱われた

本節では $Na_2Ti_9O_{19}$ の育成, 構造, 及びチタン酸塩系列の構造の遷移について検討する.

(1) Na₂Ti₉O₁₉の育成¹¹⁾

育成は、本章第 1 節で用いた反応系を用い、輸送法によって行った。反応容器には、温度勾配をつけやすくするため、通常 $50^{l}_{\rm mm} \times 5^{g}_{\rm mm}$ の自金管を用いた。用いたゲルの重量は約 $25~{\rm mg}$ 、溶媒量は約 $0.25~{\rm m}l$ である。高温部の温度は $400\sim600~{\rm C}$ 、低温部は、通常約 $50~{\rm C}$ 低く保った。生成物は ${\rm EPMA}$ で分析 20 し、比重測定によって検証した。

 $Na_2Ti_9O_{19}$ の結晶は高温部を $450\sim550$ に維持するとき、Na/(Na+Ti) が $0.20\sim0.40$ の範囲内でよく輸送される。この結晶は、ほとんどの場合、図32の綿状集合体 $^{21)}$ (この系列のチタン酸塩に特徴的にみられる)か、あるいは図33の形体をもつ結晶の放射状集合体として得られる。高温部が550 に近い場合には前者の集合が得られ、500 で程度以下に保つときには後者のものが得られる。後者では各タンザク状結晶の最終端近傍が青色を

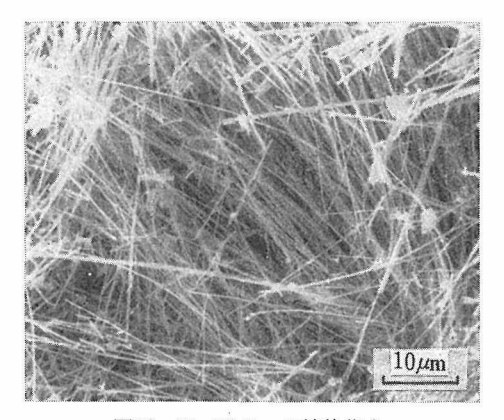


図32 Na₂Ti₉O₁₉ の綿状集合

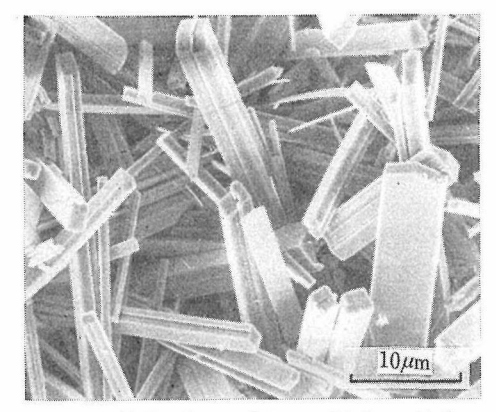


図33 輸送されてできた Na₂Ti₉O₁₉ の結晶

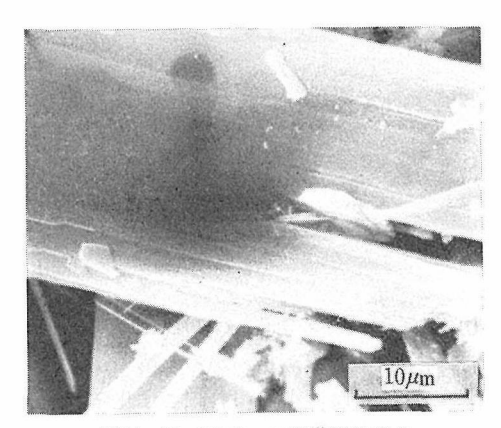


図34 Na₂Ti₉O₁₉ の擬繊維状集合

帯びるのが普通であった. なお, 高温部が 550℃ 近傍に保たれても, 温度差が90℃程度以上つけられると, 長タンザク状晶の東状集合が得られ, 天 然鉱物にしばしばみられる引き裂かれ現象に相当するような現象がみられた.

 $Na_2Ti_9O_{19}$ の結晶は、図33 の一見単結晶にみえるものであっても、更に細くて同じ方向に伸長した(図34)多数の個体の集合になっていることが走査電子顕微鏡像によってわかった。そして各個体は伸長軸(b 軸)を共有して、繊維結晶ほどではないが、b 軸を回転軸として平均5°前後の広がりをもって集合している。

(2) 二種類の Na₂Ti₉O₁₉

 $Na_2Ti_9O_{19}$ の粉末X線回折図は非常に特徴的で 00ℓ の反射以外はほとんど観測できない. このためX線回折では見落されたが,電子線回折によって $Na_2Ti_9O_{19}$ には二種類の構造型があることがわかった 22). X 線的には単斜晶系に属するものが見

つかり、電子線によって斜方晶系に属するものが 発見された。合成方法に従って分類すると、束状 集合を形成する個体は斜方晶に豊み、他の場合に は単斜晶に豊んでいるような結果がでている。し かしながら現在のところまだ十分にそれらの生成 条件の違いを指摘することはできない。

(3) 単斜晶系 Na₂Ti₉O₁₉ の結晶構造^{23,24)}

この結晶は b 軸の周期として 3.78 Å をもつ. この値は,他のチタン酸塩のデータと 比較 すると,ちょうど TiO_6 の八面体の体対角線の長さに匹敵することがわかる.すなわち,b 軸の一周期の間に,その軸に垂直な Ti イオンの層は $1\sim2$ 層しかないことになり,(2)で述べた事情も考慮すると,この物質は格子像によって構造の骨格を知るための最適の試料といえる.図35が格子像を説明した構造モデルである.この構造の骨格は,基本的には TiO_6 八面体の稜共有でできた層 状部分(図中の D の部分)が 隣りの層と頂点共有で結合してつくる D-D 部分を単位にしていると考えられる.この D-D 層は 3.3.1 で示しだブロンズ型 TiO_2 の単位胞と基本的に同じである.

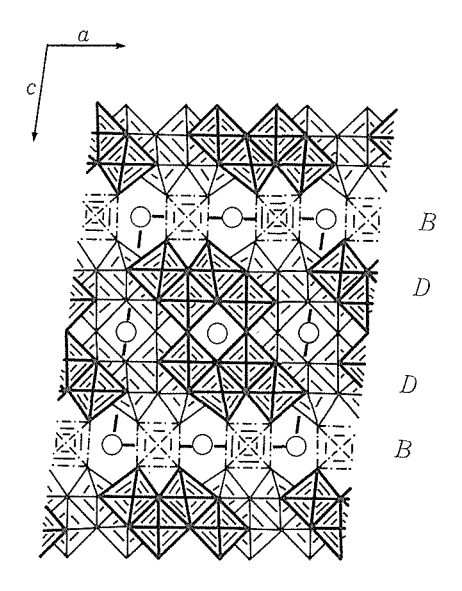


図35 単斜晶 Na₂Ti₉O₁₉ の結晶構造 〇印はナトリウムの位置を示す.

 $Na_2Ti_9O_{19}$ ではこのブロンズ型の層が相互にTi原子によって架橋されている(図中B). 斜方晶系の結晶も基本単位は $B \geq D$ -Dで、それらが1:1

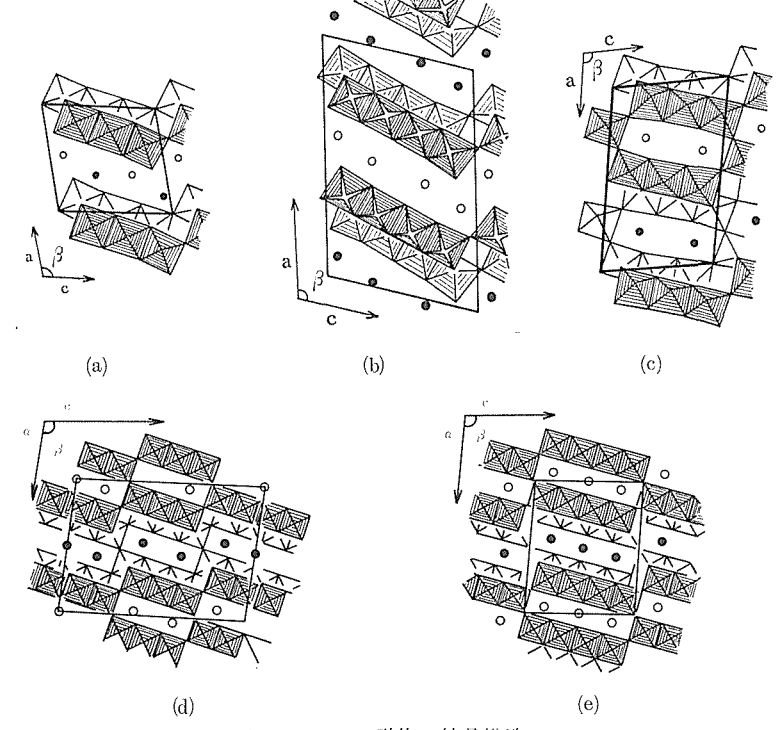


図36 チタン酸塩の結晶構造 (a)Na₂Ti₃O₇⁽¹⁴⁾ (b)Na₂Ti₄O₉¹⁵⁾ (c)Na₂Ti₆O₁₃¹⁶⁾ (d)Na₂Ti₇O₁₅ (e)K₃Ti₆O₁₇²⁷⁾

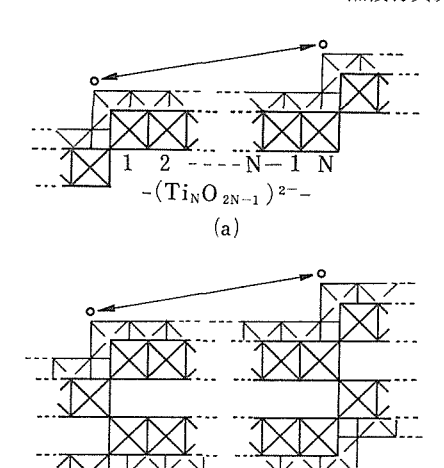


図37 チタン酸塩の層状構造とトンネル 構造の基本単位と組成の関係

(b)

-(Ti 2NO 4N+1)2-

の割合で含まれている22).

(4) 構造の遷移25)

図36(a)~(e)は $n=3, 4^{26}$, 6, 7,8をもつ各チタン 酸塩の単位胞である. 但し, n=8 は K_3 Ti₈O₁₇²⁷⁾で 解析された結果であって、Na では見つかってい ない. この一連の構造は n=3 の層状構造か, n=6のトンネル構造の結合様式を基本にしている. これらの基本単位の構造と組成の関係は 図 37(a), (b)に示した. $3 \le n \le 8$ と n=9 を比べると、Na₂Ti₉ O₁₉ の構造は明らかに八面体の配列様式を異にし ていて、ブロンズ型構造に近いとさえ考えられ る. しかし、チタン酸塩の1化学式当りの実測体 積を各塩の n に対してプロットしたグラフ(図38) は、特に $n \ge 4$ で、きれいな直線関係を示し、 Na_2 Ti₉O₁₉ が依然としてチタン酸塩の系列に留まっ ていることを暗示する. すなわち, n の増加によ る 1 化学式の体積増加は、 $\Delta n=1$ 当り $31\sim34 \text{\AA}^3$ で、この量は丁度 TiO2 の1化学式の実測体積に 相当する(ルチル31Å3,ブルーカイト32Å3,アナ ターゼ 34ų). 一方, ブロンズ型 TiO₂[Na_xTiO₂ $(x \le \frac{1}{4})$]は、x が に近いと、 その 化学組成は Na₂Ti₉O₁₉ に近似するが、その1化学式の体積は 図38の直線関係からかなり下方へずれる。すなわ ちチタン酸塩より高密度である. 実際, ブロンズ 型の密度はアナターゼに匹敵するが、Na₂Ti₉O₁₉

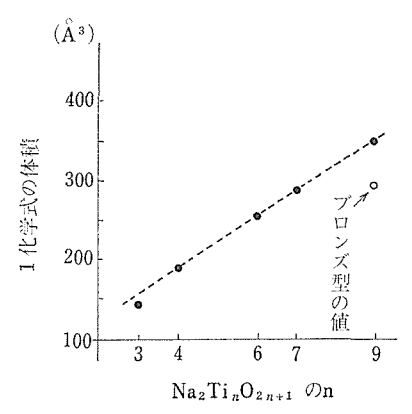


図38 チタン酸塩の1化学式当りの体積

では約5%低くなる.

さて、図36(a)では Na が利用可能な座席を100 %占有しているが,この占有率は,(b)→(c)→(d)→ (e)と移行するにつ れ80%→67%→57%→50% と nの増加と共に減少する. もし, n=9 が図36(a), (b)の基本単位によって、他の塩のように構成され ると仮定すれば、占有率は約45%に減少する.す なわち, 基本単位が図36(a), (b)のごときものであ る限り、nが1増加するたびに占有率は減少し、 それだけ構造内に空き間がふえることになる. 空 き間は、占有された座席と近似的に等価でありな がら, その座席を形成する酸素が電気的に中和さ れにくくなる結果を招く. この点から考えると, 図35の Na₂Ti₉O₁₉ の構造は Na が利用できるすべ ての座席が100%占有され、先の仮想的構造に比 べると、周囲の酸素の中和度は非常に高まりしか も均等化してきているといえる. 逆にいえば、チ タン酸塩系列の構造はあき間の増加をきらって, n=9 において モデルチェンジ をしたと考えられ る.

 $Na_2Ti_nO_{2n+1}$ (= $Na_2O \cdot nTiO_2$) の系においてn が大きくなれば最後の酸素一つ分の寄与は薄れ、この系は近似的に TiO_2 にNa が取り込まれたブロンズ的なものとして考えられるようになる。この意味においてn=9 の構造はチタン酸塩系列とブロンズ型 TiO_2 を結ぶ遷移的色彩の強いものであると結論できる。

3.3.3 結論

 $Na_xTi_8O_{16}(x=1.6)$ の骨格構造の中で Na が秩序配列をもつものを合成し、Na の配列様式を決定した。また、Na の無秩序配列のものも合成し

た. これらは、異なる水熱条件のもので合成できることがわかった. 従来ブロンズ型二酸化チタンでは $Na_{1.6}Ti_8O_{16}$ のみが確認されていたが、本研究によって、ブロンズ型 TiO_2 もタングステンブロンズと同様に構造的、組成的に異なる種々の化合物が存在しうることを明らかにした.

 $Na_2O \cdot nTiO_2$ のチタン酸塩シリーズに含まれる $Na_2Ti_9O_{19}$ (n=9) を合成し、構造を明らかにした。この構造は $3 \le n \le 7$ のものとは大きく異なり、チタン酸塩系列とブロンズ型 TiO_2 との構造 的遷移段階のものであると考えられる.

参考文献

- 1) M. Watanabe and E. Watanabe: J. Solid. State Chem., 31, (1980) 印刷中
- 2) M. Watanabe and E. Watanabe: 発表: 1979年 4月 ACS/CSJ Chem. Cong. '79
- 3) S. Andersson and A. D. Wadsley: Acta. Crystallogr., 15, 201(1962)
- 4) G. Frenzel: Neues Johrb. Min. Mh., 12 (1962)
- 5) D. Makie: Z. Kristallogr., 119, 157(1963)
- 6) A. D. Wadsley: Z. Kristallogr., 120, 120(1964)
- 7) I. Keesmann: Z. Anorg., 346, 30(1966)
- 8) G. Bayer and W. Hoffmann: Z. Kristallogr., 121, 9(1965)
- 9) A. D. Wadsley: "NON-STOICHIOMETRIC COMPOUNDS" ed.by L. Mandelcom., Acad. Press (New York) 99 (1964)
- 10) "International Tables for X-ray Crystallography."
- 11) M. Watanabe, Y. Bando, M. Tsutsumi, : J. Solid

- State Chem., 28, 397(1979)
- 12) 渡辺 遵, 板東義雄, 堤 正幸, 発表: 1978年 10月 日本化学会第38秋季年会
- 13) E. K. Belyaev, N. Sh. Safiullin, and N. M. Panasenko: Inorg. Mat., 10, 78(1968)
- 14) S. Andersson and A. D. Wadsley: Acta Crystallogr., 14, 1245(1961)
- M. Dion, Y. Piffard, and M. Tournoux: J. Inorg. Nucl. Chem., 40, 719(1978)
- S. Andersson and A. D. Wadsley: Acta Crystallogr., 15, 194 (1962)
- 17) H. Takei: J. Mater. Sci, 11, 1465(1976)
- 18) A. D. Wadsley and W. G. Mumme: Acta Crystallogr., B 24, 392(1968)
- "Index to the Powder Diffraction File" (File No. 11-289) (ASTM. Baltimore, 1974)
- A. E. Bence and A. L. Albee: J. Geol., 76, 382 (1968)
- 21) K. L. Berry, V. D. Aftandilian, W. W. Gilbert, E. P. H. Meibohm, and H. S. Young: J. Inorg. Nucl. Chem., 14, 231(1960)
- 22) Y. Bando, M. Watanabe, and Y. Sekikawa: J. Solid State Chem., (投稿中)
- 23) Y. Bando, M. Watanabe, and Y. Sekikawa: Acta Crystallogr., B (1979)
- 24) 板東義雄, 渡辺 遵, 関川喜三, 発表: 1978年 10月日本化学会第38秋季年会.
- 25) M. Watanabe, J. Solid State Chem., (投稿中)
- A. Verbaere and M. Tournoux: Bull. Soc. Chim. France, 4, 1237(1973)
- 27) J. A. Watts: J. Solid State Chem., 1, 319(1970)

4。 チタン(Ⅳ)の水溶液反応に関する研究

4.1 チタン(IV)の加水分解反応

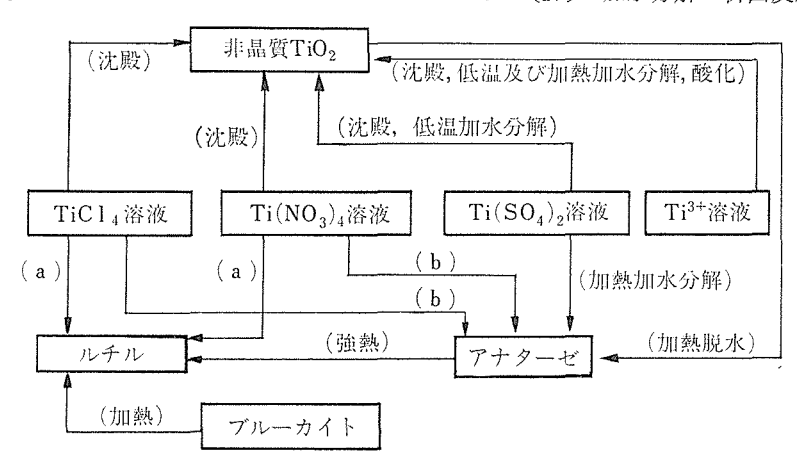
4.1.1 緒言

酸化チタン(IV)の製造にはチタン(IV)の鉱酸塩を加水分解させたのち、生成した水和物ゲルを強熱する方法が用いられているが、図1¹⁾にもすでにまとめられているように、溶液中の共存陰イオンの種類と量により水和物ゲルが加熱の結果どのような結晶変態をとるかが大きく影響を受ける.

ルチル,アナターゼ及びブルーカイトを構成する6配位チタン(IV)正八面体の相互関係に着目した場合,いずれの変態においても配位正八面体の頂点を占める酸素原子は相隣る三つの正八面体の中心のチタン原子と配位関係にあり、イオン結合性物質の構造に関するポーリングの第二則(静電原子価則)を満足するが、相隣る配位正八面体間の稜の共有数はルチルの場合が2、ブルーカイトの場合が3、アナターゼの場合が4であり、正八面体の空間配列が異なっていて、稜の共有と構造の安定性との関係を述べるポーリングの第三則²⁾の例としても取り上げられているような典型的な構造変化を示す.

このような構造上の相異, すなわち配位正八面 体の空間配列の相違は、図1からも推測されるよ うに、すでに酸化チタン(IV)水和物ゲル相の生成 条件によって規定されるようであり、溶液化学の 立場からすれば、水和物ゲル相の溶液中からの析 出時におけるチタン(IV)配位正八面体の第一配位 圏の構造 (configuration) により定まるものと考 えることができる。言い換えれば、溶存チタン (IV)の第一配位圏に弱い配位子場をもたらす配位 子が存在している場合には加熱により容易にこれ らの配位子が脱離し、構造的に密で安定なルチル が生成するのに対し、強い配位子場をもたらす配 位子(キレート効果による安定化をも含む)が存 在している場合には加熱によっても配位子の脱離 が生じ難く,配位正八面体の再配列による安定化 がかなり遅い段階まで妨げられ、その結果安定度 の低いアナターゼなどの他の変態が生成すること が予測される. したがって溶液中からの酸化チタ ン(IV)水和物ゲルの牛成析出条件を規定すること により、各変態を選択的に生成させることができ るであろう.

チタン(IV)の加水分解・析出反応についてはす



- (a) 低温及び加熱加水分解
- (b) SO₄²⁻(5重量%)又はPO₄³⁻共存下での加水分解 過剰量のC1⁻又はNO₃の共存下での加水分解

図1 酸化チタン(IV)各種変態の牛成条件1)

でに多くの研究があるが¹⁾, いずれもこのような点を考慮していない主として合成化学的なものであるため、上に述べたような考察を行うには適当でなく、またこれに適した溶液化学的な立場からの研究はいまだ見当らないようである。本研究はこのような点について、基礎的見地から明らかにすることを目的とし、水溶液中からのチタン(IV)の加水分解・析出過程について検討した結果^{3~5)}を要約して報告する。

4.1.2 実験方法

実験はチタン(IV)の加水分解・析出反応におけ る遊離水素イオン濃度変化のポテンシオメトリー による測定及び溶存チタン (IV) 濃度変化 (TiO (OH)。について飽和領域の場合)の吸光光度定量 に基づき、平衡条件下で行った. 溶液組成はチタ ン(IV)の加水分解傾向をも考慮し、2.0 mol dm⁻³ (Na, H)Cl 水溶液の定イオン濃度溶媒⁶⁾とし、反 応時の溶液温度を 25.0±0.1℃ に保った。共存陰 イオンとしては配位能の非常に弱い塩化物イオン (この場合にはチタン(IV)は アクアイオンの 形で 存在しているものと考えられる)の他、キレート 錯体を形成し得る配位子としてオルトリン酸イオ ンを選んだ、後者の場合には上述の定イオン濃度 溶媒に少量 (チタン(IV)に対してモル比で 2~5 倍量)のリン酸を共存させる方法をとった. 反応 溶液については調製後約7時間を放置し、チタン (IV)の加水分解・析出反応が平衡状態に達してい ること(遊離水素イオン濃度用プローブとしての ガラス電極の起電力の経時変化: <±0.2 mV) をあらかじめ確認した.

なおチタン(IV)の酸性溶液中での溶存状態については Ti^{4+} と TiO^{2+} との両者が考えられるが,これについては別に 酸塩基滴定法 7 により 検 討し, TiO^{2+} の形で存在していることを前もって明らかにした.

4.1.3 チタン (IV) の加水分解・析出平衡

チタン(IV)の加水分解・析出平衡は次のように 表わすことができる.

$$q \operatorname{TiO}^{2+} \xrightarrow{\beta_{q\,p}} [(\operatorname{TiO})_{q}(\operatorname{OH})_{p}]^{(2q-p)+} + pH^{+} \cdots (A)$$

$$[(\operatorname{TiO})_{q}(\operatorname{OH})_{p}^{(2q-p)+} \xrightarrow{\beta_{sq\,p}} q \operatorname{TiO}(\operatorname{OH})_{2,sat}$$

$$\begin{aligned} &\text{TiO}(\text{OH})_{2,sat} \Longrightarrow &\text{TiO}(\text{OH})_{2,ppt} \cdots \cdots \text{(C)} \\ &\beta_{qp} = \left[\left\{ (\text{TiO})_{q}(\text{OH})_{p} \right\}^{(2q-p)+} \right] h^{p} (\text{TiO}^{2+}]^{-q} \\ & \cdots \cdots \text{(1)} \end{aligned} \\ &\beta_{sqp} = \left[\text{TiO}(\text{OH})_{2} \right]_{sat}^{q} h^{(2q-p)+} \\ &\left[\left\{ (\text{TiO})_{q}(\text{OH})_{p} \right\}^{(2q-p)+} \right]^{-1} \cdots \cdots \text{(2)} \end{aligned} \\ &K_{sqp} = \left[\left\{ (\text{TiO})_{q}(\text{OH})_{p} \right\}^{(2q-p)+} \right] \\ &h^{-(2q-p)} K_{w}^{(2q-p)} \cdots \cdots \text{(3)} \end{aligned} \\ &B = \left[\text{TiO}^{2+} \right] \left\{ 1 + \sum_{1}^{p} \prod_{1}^{q} q \beta_{qp} \left[\text{TiO}^{2+} \right]^{q-1} h^{-p} \right\} \end{aligned}$$

 $[Ti(IV)]_{sol} = [TiO^{2+}] + q[\{(TiO)_q$ $(OH)_p\}^{(2q-p)+}] + [TiO(OH)_2]_{sal} \cdots (5)$ ここに β_{qp} 及び β_{sqp} はそれぞれ平衡(A) 及び(B)の 安定度定数, K_{sqp} は $TiO(OH)_2$ の溶解度積,B 及び $[Ti(IV)]_{sol}$ は $TiO(OH)_2$ について不飽和領域及び飽和領域での溶存チタン (IV) 濃度, K_w は水のイオン積を表わす,また $[H^+]$ の代りにh を用いた.

 $TiO(OH)_2$ について不飽和領域 3 では、チタン $(IV)^{*}$ からのプロトン (H^+) の平均放出数 Z は、

$$Z = \frac{\sum_{1}^{p} \sum_{1}^{q} p \beta_{qp} [\text{TiO}^{2+}]^{q-1} h^{-p}}{1 + \sum_{1}^{p} \sum_{1}^{q} q \beta_{qp} [\text{TiO}^{2+}]^{q-1} h^{-p}} \dots (6)$$

で表わされる. いま溶液中では TiO^{2+} の他, 単一化学種 $\{(TiO)_q(OH)_p\}^{(2q-p)+}$ のみが存在しているものと仮定すると,式(1),(4)及び(6)から(7)式が導かれる.

$$\log B + \log Z + \frac{q}{q-1} \log \left(\frac{1}{Z} - \frac{q}{p} \right)$$

$$= \frac{p}{q-1} \log h - \frac{1}{q-1} \log p \beta_{qp} \cdot \dots (7)$$

したがってZが一定の場合には

$$\left(\frac{\partial \log B}{\partial \log h}\right)_z = \frac{p}{q-1} \quad \dots \tag{8}$$

となり、Bが一定の場合には

$$\left(\frac{\partial \{\log h - (q-1)/p \cdot \log Z\}}{\partial (q/p) \log(Z^{-1} - q/p)}\right)_{B} = 1 \cdots (9)$$
となるはずである。

チタン濃度を $0.0193\sim0.0482 \text{ mol dm}^{-3}$ の間で行った実験結果から、式(8)の関係を満たす p/(q)

^{*)} チタン(IV)は $TiO(OH_2)$ $_5$ $^2+$ の形で溶存して いるものと考えられる.

-1)の値として 1.71 ± 0.05 を,更に式(9)を満たすp及びqの値として 12 及び 8 を得た.すなわちポリカチオン $\{(TiO)_8(OH)_{12}\}^{4+}$ が生成していることがわかる.この化学種の安定度定数として得られた $\log \beta_{8,12} = -1.6_8\pm0.1_0$ を用い,種々の $\log B$ の値について計算した $\log Z$ と $\log h$ との間の理論曲線は実験結果ともよく一致しており,したがって pH1 以下の塩酸酸性溶液中では TiO^{2+} の他,ポリカチオンとして $\{(TiO)_8(OH)_{12}\}^{4+}$ が存在しているものと結論される.

 $TiO(OH)_2$ について飽和領域 4 では、 $TiO(OH)_2$ の生成、析出は TiO^2 +と $\{(TiO)_8(OH)_{12}\}^4$ +とのいずれかを経て進行する。ここでは、平衡論的な取り扱いによっているため、比較的解析の容易な TiO^{2+} を中心として考えることとした。

いま見掛けの溶解度積 K_{sap} を次のように定義する.

 K_{sap} \equiv $[Ti(IV)]_{sol} h^{-2}$ (10) 式(2), (5)及び(10)から式(11)を導くことができる.

 $\log K_{sap} = \log K_{s10} \cdot K_w^{-2}$

 $+\log\{1+8\beta_{8,12}K_{s10}{}^7K_w^{-14}h^2+\beta_{s10}h^{-2}\}\cdots\cdots(11)$ 式(11)の β_{s10} 及び K_{s10} の値は規格化曲線

$$Y = \log(1 + aX + X^2)$$

を用いる curve-fitting 法 80 により求めることができる。なお K_w は 2.0 mol dm $^{-3}$ NaCl 水溶液中での値として $10^{-13.85}$ を用いた。得られた結果は log $B_{810} = -4.7_1 \pm 0.1_0$,log $K_{810} = -27.3_0 \pm 0.1_0$ である。これらの値を用いて計算した log K_{8ap} と log h との関係は実験結果ともよく一致しており、したがって配位能の非常に小さな塩酸酸性溶液中からのチタン(IV)の析出時には、溶存化学種としてTiO $^{2+}$,{(TiO) $_8$ (OH) $_{12}$ } $^{4+}$ 及び TiO(OH) $_2$ を、また析出相として TiO(OH) $_2$ をそれぞれ考えればよいことがわかる。なお K_w , $\beta_{8,12}$, β_{810} 及び K_{810} の値から算出した $\beta_{88,12}$ と $K_{88,12}$ の値は それぞれ log $\beta_{88,12} = -36.0_0 \pm 0.8_0$, log $K_{88,12} = -53.8_0 \pm 0.8_0$ であった。

4.1.4 チタン (IV) の錯体生成平衡

次にチタン(IV)との錯体生成能を有するオルトリン酸イオンを共存させた場合について、チタン(IV)に対して $2\sim5$ 倍量(モル比)の存在条件下で検討を行った $^{5)}$. この場合にはチタン(IV)のポリカチオンが生成しないような塩 酸 濃 度 が 1

mol dm⁻³ 程度の高い状態においても沈殿が析出し、析出物についての分析結果から、析出物はリン酸チタン TiO(HPO₄) であることが判明した.この場合には錯体生成平衡は次のように表わすことができる.

$$K_{c_{111}} K_{c_{111}} TiO(HPO_4)_{sat} + 2H^{+} \cdots (D)$$

$$TiO(HPO_4)_{sat} \longrightarrow TiO(HPO_4)_{ppt} \cdots \cdots (E)$$

$$TiO^{2+} + HPO_4^{2-} \longrightarrow TiO(HPO_4)_{sat} \cdots \cdots (F)$$

$$HPO_4^{2-} + H^{+} \longrightarrow H_2PO_4^{-} \cdots (G)$$

$$H_2PO_4^{-} + H^{+} \longrightarrow H_3PO_4 \cdots (H)$$

$$\beta_{c_{111}} = [TiO(HPO_4)]_{sat} (H)$$

$$\beta_{c_{111}} = [TiO(HPO_4)]_{sat} (I2)$$

$$k_{a_2} = [H_2PO_4^{-}]_h^{-1}[HPO_4^{2-}]_{-1}^{-1} \cdots (I3)$$

$$k_{a_3} = [H_3PO_4]_h^{-1}[H_2PO_4^{-}]_{-1}^{-1} \cdots (I4)$$

$$K_{c_{111}} = \beta_{c_{111}}(k_{a_2}k_{a_3})_{-1}^{-1} \cdots (I5)$$

$$[Ti(IV)]_{sot} = [TiO^{2+}]_{+}[TiO(HPO_4)]_{sat} \cdots (I6)$$

$$[P(V)]_{sot} = [H_3PO_4]_{+}[TiO(HPO_4)]_{sat} \cdots (I7)$$

ここに K_{c111} は平衡 (D) における平衡定数を, β_{c111} は平衡(F)の安定度定数を, ka_2 及び ka_3 はそれぞれ平衡(G)及び(H)で表わされるプロトン 付 加 定 数を,また[Ti(IV)]sol 及び [P(V)]sol はそれぞれ溶存チタン(IV)及びオルトリン酸イオンの総濃度を表わす.

いまリン酸錯体の見掛けの溶解度積 Kcap を次のように定義すると、

 K_{cap} \equiv [Ti(IV)] sot [P(V)] sot …………(18) 溶解度積 K_{cps} は

 K_{cps} =[TiO²⁺][HPO₄²⁻](19) であるから、式(12)~(19)から式(20)が導かれる.

$$\log K_{cap} + 2(-\log h) = \log K_{csp} k_{a3} k_{a2} + \log \{1 + K_{c111} \sum \text{TiP} \cdot h^{-2} \} \dots (20)$$

ここに

 Σ TiP \equiv [Ti(IV)] $_{sol}+$ [P(V)] $_{sol}$ (21) である. 式(20)中の K_{c111} (したがって β_{c111}) と K_{csp} の値は規格化曲線

$$\log Y = \log(1 + X^{-2})$$

を用いる curve-fitting 法により求めることができる. $\log k_{a3}=1.72\pm0.03$, $\log k_{a2}=6.20\pm0.05$ の値を用いて $\log K_{csp}=-6.22\pm0.1_0$, $\log \beta_{c111}=4.4_8\pm0.1_0$ が得られた.

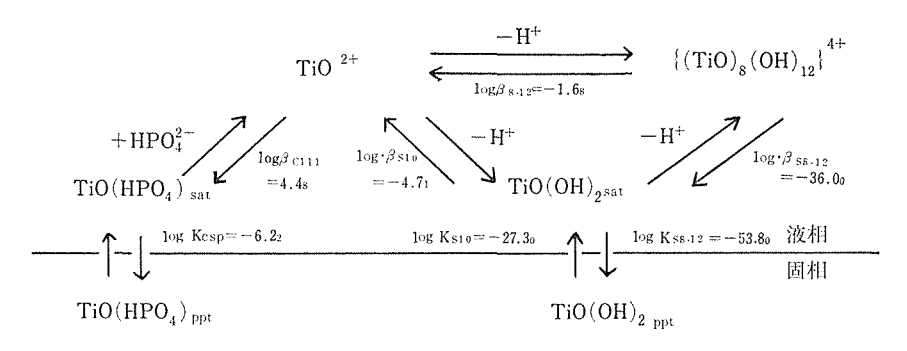


図 2 チタン (IV) の加水分解・析出反応過程 (2.0 mol dm⁻³)(Na, H)Cl 水溶液, 25℃)

したがって錯体生成能を有するオルトリン酸イオンが共存する場合にはヒドロクソ錯体の生成を考える必要はなく、TiO(HPO₄)の生成のみを考えればよい.

以上の結果をまとめると、チタン(IV)の加水分解反応は図2のように表わすことができる.

4.1.5 水溶液中のチタン (IV) からの結晶生成 条件

配位能の非常に弱い塩化物イオンを含む水溶液 中ではチタン(IV)はむしろ前述のようにアクアイ オン TiO(OH₂)₅²⁺ の形で存在していると考える べきであろう. このようなチタニルイオン TiO2+ (配位水分子を省略した形)は遊離水素イオン濃度 の低下とともにポリカチオン {(TiO)₈(OH)₁₂}⁴⁺ に変り、 pH1付近からは逐次 TiO(OH)2 とな り, 飽和溶解度以上に生成した分は沈殿となって 析出する. この析出物は{TiO(OH)₂}∞の形の重合 物を形成しているものと推測される. TiO(OH)2 の生成がモノカチオン TiO²+ を経て進行するの か, またはポリカチオン {(TiO)₈(OH)₁₂}⁴⁺ を経 て進行するのかを明らかにするためには速度論的 な検討が必要になるが、本研究の目的は生成析出 過程が明らかになれば

一応達成されたものと考え られるため、今回は検討を省略した.

次に配位能の大きいオルトリン酸イオンを共存させた場合には、最初の予測、すなわち混合配位子錯体、ヒドロキソリン酸チタン(IV)の生成が認められず、リン酸イオンが当量以上に存在する限りリン酸チタン(IV)錯体 TiO(HPO4)のみを生成し、析出することが明らかになった。したがってリン酸水溶液中からのチタン(IV)の加水分解析出にあたっては、リン酸錯体の生成を優先的に考え

ねばならないことが分かる.この場合,リン酸イオンは2個の酸素原子で配位した四員キレート環を形成し、 $\{TiO(HPO_4)(OH_2)_3\}$ 。の形で析出しているものと推測することができる. オルトリン酸イオンよりもわずかながら配位能の弱い硫酸イオンを共存させた場合については実験を行うことができなかったが、チタン(IV)の加水分解過程で中間化学種として混合配位子錯体 $Ti(OH)_3(OH_2)_2$ (HSO_4)が生成し、最終的に水酸化物 $Ti(OH)_4$ (OH_2)2が生成析出するという報告 9)と $TiOSO_4$, $TiO(SO_4)_2^{2-}$, $Ti(SO_4)_3^{2-}$ の各化学種が溶存するという報告 10 , 11 とがある.

図1からもわかるように、塩酸、硝酸などのような配位能が非常に弱く、アクアイオンの形で存在している条件下で生成析出した水和物ゲルは加熱によりルチルに変るのに対して、硫酸やリン酸のような配位能の大きいイオンを含む水溶液中から生成析出した水和物ゲルは加熱によりアナターゼに変化していることを考えれば、硫酸イオンも一部リン酸イオンと同様にチタン(IV)に配位してキレート環を形成し、比較的安定な構造をとるものと思われる。小松の結果120によれば、硫酸水溶液中から析出させた水和物ゲルは加熱によりアナターゼになることが確認されている。

したがってルチルとアナターゼの選択的生成は 溶液中に高い配位能を有する陰イオンを形成させ、ヒドロキソ錯体の生成を抑制することができるかどうかにかかっており、アナターゼの生成にはリン酸イオンなどの錯体生成能の大きい陰イオン性配位子を共存させた状態で水和物ゲルを形成させる必要があることが分かる。なおリン酸イオンを多量に共存させた場合にはむしろリン酸チタ ン錯体の生成及び熱分解を考える必要があることが分かる. なおブルーカイトについては知見が得られなかった(第3章を参照)が, アナターゼとの構造的な関連性からして, チタン(IV)の第一配位圏を適当に制御することにより, 生成条件を見いだし得るものと考えられる.

4.1.6 結論及び今後に残された問題

(1) 結論

酸化チタン(IV)の各変態の選択的生成条件の解明を目的として、 $2.0 \, \mathrm{mol} \, \mathrm{dm}^{-3}(\mathrm{Na}, \mathrm{H})\mathrm{Cl} \, \mathrm{x}$ 溶液中での平衡論的検討によりチタン(IV)の加水分解・析出過程を明らかにし、ルチル及びアナターゼに変化する前駆体としての水和物ゲルの選択的生成を支配する要因が、水和チタン(IV)イオンの第一配位圏の構造にあることを指摘した.

(2) 今後に残された問題

チタン(IV)の加水分解・析出過程についての主な点を明らかにすることができた。今後はこの結論の妥当性を更に別の例により高めていくことが必要であるが、それはむしろ別の機会に行われるべきであろう。ただ、水和物ゲルからの各変態相の生成に至る熱分解過程については、実際的応用を考える上で、早い時期に明らかにしておく必要がある。

加水分解により得られた酸化チタン(IV)水和物は交換性の水素イオンを含んでいることから,無機イオン交換体としての利用が期待される.この点については交換性プロトン数の決定の段階で検討を中止せざるを得なかったが,リン酸チタンとともに,今後新しい課題としての無機イオン交換体の基礎的研究を取り上げることが望まれる.

参考文献

- 1) Gmelins Handbuch der anorganischen Chemie, 第8版, 41巻, チタン, 228 (1951), (Verlag Chemie, Weinheim)
- 2) L. Pauling: "The Nature of Chemical Bonds". 第 3 版, p. 559(1960), (Cornell Univ. Press, New York)
- 3) H. Einaga: J. Chem. Soc., Dalton Tr. 印刷中.
- 4) 永長久彦,小松 優:第7回中部化学連合秋季大会予稿集(1976).
- 5) 永長久彦, 小松 優:日本化学会第38秋季年会予稿集(1978).

- G. Biedermann, L. G. Sillén: Arkiv Kem., 5
 425 (1953)
- 7) G. Gran: Analyst, 77 661 (1952)
- 8) L. G. Sillén: Acta Chem. Scand., 8 299,318(1954)
- J. F. Duncan, R. G. Richards: New Zealand J.
 Sci., 19 171, 179 (1976)
- B. I. Nabivanetz: Zhur. Neorg. Khim., 7 690 (1962)
- 11) E. A. Mazurenko, B. I. Nabivanetz: 同誌 **14** 2079(1969)
- 12) 小松 優:私信

4.2 チタン(IV)の溶媒抽出反応

4.2.1 緒言

無機化合物の溶媒抽出系は、抽出される化学種という観点から次のように分類することができる¹⁾.

- (1) 単純な分子の抽出
- (2) 擬似分子系の抽出
- (3) 共有結合的に溶媒和していない塩の抽出
- (4) 鉱酸の抽出
- (5) 金属錯体酸の抽出
- (6) 共有結合的に溶媒和している塩の抽出

溶媒抽出法によるキレート化合物の抽出は,元素の分離分析や濃縮に関して,非常に有効な手段の一つである.この中でチタン(IV)錯体の抽出に関しても,既に数多くの研究がなされているが²⁾,上記の分類によれば,(1)に属する金属キレート錯体としての抽出及び(6)に属する中性抽出剤による抽出が,強酸中からの抽出においては主流を占めている.

溶媒抽出法によるチタン(IV)抽出の分配比に影響を及ぼす因子の一つとして、酸濃度を挙げることができる。一般に金属キレート錯体を抽出する場合、水溶液中の酸濃度が低くなるに従って解離したキレートイオン濃度が高くなり、金属イオンと錯体を形成して抽出され、金属の抽出率が増大する。しかし β -ジケトンによるチタン(IV)を抽出する場合、酸濃度が極端に高い領域において、チタン(IV)錯体の抽出率は再び増大する。例えば酸濃度が $10 \mod dm^{-3}$ 以上の塩酸溶液中のチタン(IV)は、2-セノイルトリフルオロアセトン(TTA)により2-ペンタノール及びベンゼンの混合溶媒中

へ定量的に抽出される 3)。また TTA による濃塩酸中からのチタン(IV)抽出の研究も行われており、 1.2-ジクロロエタン中の TBP、TBPO 4)及び TOPO 5)によるチタン(IV)抽出において協同効果が見出された。

本研究 $^{6\sim70}$ においては、 β -ジケトンとしてベン ゾイルアセトン (BA) 及び TTA を用いて、 ρ ロロホルム 中の β -ジケトンとリン酸トリブチル (TBP) により、濃塩酸中のチタン (IV) 錯体抽出 を行なった。この結果、これらの β -ジケトンはチタン(IV)イオンに対して解離した形ではなく、非解離のままで結合し抽出されていることが結論される。

4.2.2 実験

実験はすべて (298 ± 0.5) K の恒温室において行った。液一液分配法において平衡に達するために及ぼす因子として、次の四つを挙げることができる 80 .

- (1) キレート剤のケトーエノール平衡達成速度
- (2) 各相内の拡散
- (3) 界面通過反応
- (4) 化学反応

キレート剤のケトーエノール平衡に関しては、①実験に使用するキレート剤を含むクロロホルム溶液は、キレート剤を溶解した後、(298 \pm 0.5) Kの恒温室中で20時間以上放置したものを用いた.②実験方法としては、チタン(IV)濃度を希薄($[Ti(IV)]<10^{-3} \mod dm^{-3}$) にすることにより、反応したキレート剤のケトーエノール平衡に及ぼす影響を誤差の範囲で抑えた.

各相内の拡散及び界面過反応の影響を取り除くためには、次の実験を行い条件を定めた。すなわち 10^{-3} mol dm⁻³ のチタン (IV) を含む塩酸溶液及びキレート剤を含むクロロホルム溶液を作成し、振とう数を変化させてチタン(IV)の抽出を行った。この結果ストローク幅 4 cm、ストローク数毎分 400 回以上という条件においては、チタン(IV)は常に一定の抽出率を示すため、以後の実験は全てストローク幅 4 cm、ストローク数 600 回という条件で行った。

化学反応における平衡を確認するために,本実験と同様の水相と有機相を遠沈管内に入れ,上記の振とう条件で一定時間振とうし,20分間以上振

とうすることにより反応が平衡に達することを確認した。そこで本実験における抽出においては常に30分間の振とうを行った。また真の平衡に達していることを確認するために,逆抽出法 9 によるチタン(IV)の分配比をも測定し,正抽出で得た値と同一であることを確認した。

このようにチタン(IV)抽出における抽出条件を決定した後、各種濃度のチタン(IV)抽出を行い、チタン(IV)濃度が分配比に影響を及ぼさない 1×10^{-3} mol dm⁻³ において実験を行った.

20cm³ 用共栓付遠沈管に、水相としてチタン (IV)を含む塩酸溶液 5 cm^3 を、有機相として抽出剤を含むクロロホルム溶液 5 cm^3 をとり、上記の条件で平衡に達するまで激しく振とうを行った.つぎに遠心分離した有機相は 1 mol dm^{-3} 塩酸溶液と再び振とうを行い、チタン (IV)を逆抽出した.最初の水相及び逆抽出した水相中の チタン (IV)濃度は、アスコルビン酸を用いたジアンチピリルメタンによる発色により分光光度計を用いて定量を行った 100 .

4.2.3 β-ジケトン 及び リン酸トリブチルによる 濃塩酸中のチタン (IV) の抽出に関する数 式的取り扱い

濃塩酸中に存在するチタン(IV)の化学種は,一般的に $Ti(OH)_cCl_a$ (ただし添字の c 及び d は $0\sim$ 4)と表わすことができる.しかし ながら塩酸濃度が 11.6 mol dm⁻³ という高い領域であるため,有機相中に抽出される化学種の形を定める基礎データはまだ得られていない.そこで有機相中に抽出されるチタン(IV)錯体を一般的な形として Tで表わす.また中性抽出剤 TBP は L で表わし,非解離の β -ジケトン(ケト型,エノール型のうちの一方または両方)を B で表わす.

平衡に達した有機相中において, *L* 及び *B*, 又 はいずれか一方と結合したいくつかのチタン(IV) の化学種は,次のようにまとめることができる.

 $Ti(IV) + aL_{(org)} + b B_{(org)} \rightleftharpoons T \cdot L_a B_{b(org)} \cdots (22)$ $Kex \ a,b = [T \cdot L_a B_b]_{org} [Ti(IV)]_{ag}^{-1}$

 $[L]_{org}^{-a}[B]_{org}^{-b}$ (23)

ここで添字 a, b はそれぞれ, 0, 1 または 2 のいずれかであり, K_{ex} は平衡定数である.

実験的に求められるチタン(IV)の分配比(D)

は、下記のとおりである.

$$D = \{\text{Ti}(\text{IV})\}_{org} \{\text{Ti}(\text{IV})\}_{aq}^{-1} \cdots (24)$$

$$= \sum \sum \{T \cdot L_a B_b\}_{org} \{\text{Ti}(\text{IV})\}_{aq}^{-1}$$

$$= \sum \sum K_{ex,a,b} \{L\}_{org}^a \{B\}_{org}^b \cdots (25)$$

ここで

 $[Ti(IV)]_{aq} = \sum \sum [Ti(OH)_cCl_a]_{aq}$ ………(26) であり、添字 c 及び d はそれぞれ $0 \sim 4$ である. これらの定数は、最小自乗法を用いたカーブフィッティング法により(23)式より求めた.

4.2.4 各種抽出剤によるチタン(IV)の抽出

図3は、水相として種々の濃度の塩酸を、有機相として $0.1 \, \mathrm{mol} \, \mathrm{dm}^{-3}$ の抽出剤を含むクロロホルムを用いた場合のチタン(IV)の分配比と塩酸濃度の関係を示したものである。図 $1 \, \mathrm{mol} \, \mathrm$

次に水相として塩化リチウムを加え、塩化物イオン濃度を $11.6 \, \mathrm{mol} \, \mathrm{dm}^{-3}$ に保った場合の結果を図4に示す。この結果、 TBP を抽出剤として用いた場合のチタン(IV)抽出は、図3 の場合と比べ

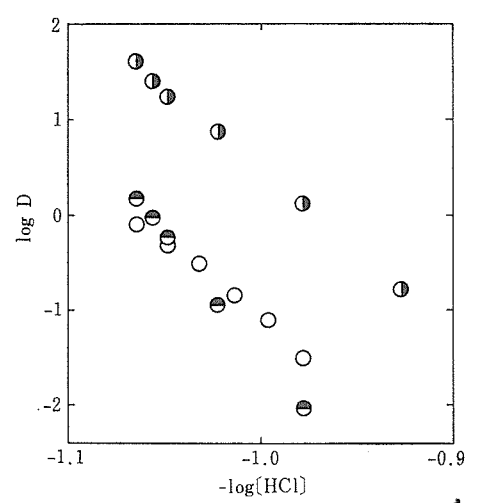


図3 クロロホルムと塩酸の間のチタン(IV) の分配比と塩酸濃度の関係

有機相: 0.1 mol dm⁻³ の抽出剤を含 すeクロロホルム溶液

●:TBP ○:TTA

(**1**): BA

水相:種々の濃度の塩酸溶液

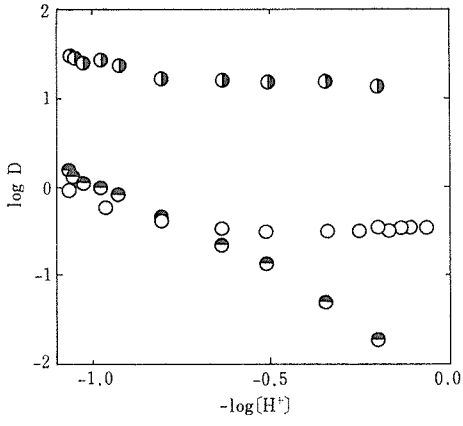


図4 クロロホルムと水相の間のチタン(IV) の分配比と水素イオン濃度の関係 有機相: 0.1 mol dm⁻³ の抽出剤を含 むクロロホルム溶液

●: TBP ○: TTA ●: BA 水相: 11.6 mol dm⁻³の (H, Li) Cl溶液

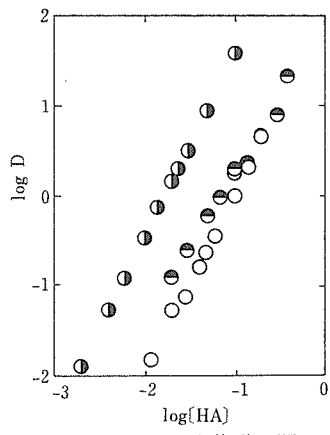


図5 クロロホルムと塩酸の間のチ タン (IV) の分配比と抽出剤 濃度の関係

有機相:種々の濃度の抽出剤を 含むクロロホルム溶液

●TBP ○: TTA

①:BA

水相:11.6 mol dm-3の塩酸溶液

水素イオン濃度の影響が非常に小さくなる。更に β -ジケトンを抽出剤としてチタン (IV) 抽出を行った場合には、 TBP による抽出の場合と同様チタン(IV) 抽出に及ぼす水素イオン濃度の影響が非常に小さくなるが、水素イオン濃度が更に減少するとついには水素イオン濃度を変化させてもチタ

ン(IV)の分配比に影響を及ぼさない領域があらわれる。BA を抽出剤としてチタン(IV)抽出を行う場合,水素イオン濃度の非常に小さい領域においては,再び分配比が大きくなることが既に報告されている¹¹⁾。しかしながら,このようなpHの高い領域におけるチタン(IV)抽出は,他の多くの金属イオンの抽出と同様に解離した抽出剤イオンと金属イオンにより形成された金属錯体であり $^{12\sim13}$,強酸性溶液中からのチタン(IV)はこれらと異なる化学種の抽出であることが推定できる.

有機相中のチタン(IV)の化学種を知をために、水相を $11.6 \, \mathrm{mol} \, \mathrm{dm}^{-3}$ に保ち、クロロホルム中の抽出剤濃度の分配比に及ぼす影響を調べたのが図 $5 \, \mathrm{c}$ である。図に見られるように、分配比の対数は $\mathrm{TTA} \, \mathrm{D}$ び $\mathrm{BA} \, \mathrm{o}$ 濃度の対数に対して $2 \, \mathrm{cm}$ の依存性を示す。これは $2 \, \mathrm{O}$ 子の抽出剤がチタン(IV) $1 \, \mathrm{Im} \, \mathrm{E}$ 原子に結合し抽出されているためである。しかしながら、 $\log D \, \mathrm{vs.} \, \log [\mathrm{TBP}]_{\mathrm{org}} \, \mathrm{org} \, \mathrm{ur}_{\mathrm{up}}$ トは定数を示さない。そこで最小自乗法を用いてカーブーフィッティングを行ったところ、 $\mathrm{TBP} \, \mathrm{im} \, \mathrm{E}$ 的抽出されるチタン(IV)の抽出化学種は、この実験条件下で $1 \, \mathrm{O}$ 子及び $2 \, \mathrm{O}$ 子の $\mathrm{TBP} \, \mathrm{im} \, \mathrm{E}$ がチタン(IV)に結合したものであることが判明した。得られた抽出定数を表 $1 \, \mathrm{cm} \, \mathrm{erg} \, \mathrm$

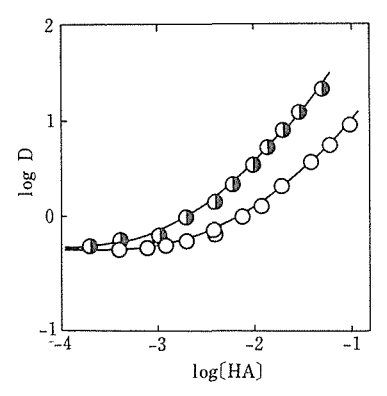


図 6 0.05 mol dm⁻³ の TBP を含むクロロホ ルムと塩酸の間のチタン (IV) の分配比 と抽出剤濃度の関係

有機相: 0.05 mol dm⁻³ の TBP および 種々の濃度の抽 出 剤 をふくむ クロロホルム溶液

○: TTA **③**: BA

水相: 11.6 mol dm^{-3} の塩酸溶液 実線は、 $D=\sum\sum Kex\ a,b[L]_{Grg}^{0}$ [B] $_{Grg}^{0}$ に表 1 の値を代入して求めたものである.

4.2.5 TBP および β-ジケトンによるチタン (IV)混合錯体の抽出

有機相に TBP 及び β -ジケトン(TTA または BA)を共存させ、濃塩酸中のチタン(IV)抽出を

表1 二相間分配におけるチタン(IV)の抽出定数

(a)	TBP 抽出	log Kex a, b
	$Kex_{1,0} = [TL]_{org}/[Ti(IV)][L]_{org}$	0.64
	$Kex_{2,0} = [TL_2]_{org}/[Ti(IV)][L]_{org}^2$	1. 92
(b)	TTA 抽出	$\log Kex \ a, b$
	$Kex_{0,2} = [TB_2]_{org}/[Ti(IV)][B]_{org}^2$	2.03
(c)	BA 抽出	$\log Kex \ a, b$
	$Kex_{0,2} = [TB_2]_{org}/[Ti(IV)][B]_{org}^2$	3. 55
(d)	TTA-TBP 抽出	$\log Kex \ a, b$
	$\mathit{Kex}_{1,1} = [\mathit{TLB}]_{org} / [\mathit{Ti}(IV)][L]_{org}[B]_{org}$	3. 21
	$\mathit{Kex}_{1,2} = [\mathit{TLB}_2]_{org} / [\mathit{Ti}(IV)][L]_{org}[B]_{org}^2$	3. 32
(e)	BA-TBP 抽出	$\log Kex \ a, b$
	$\mathit{Kex}_{1,1} = [\mathit{TLB}]_{org} / [\mathit{Ti}(IV)][L]_{org}[B]_{org}$	3.73
	$Kex_{1,2} = [TLB_2]_{org}/[Ti(IV)][L]_{org}[B]^2_{org}$	4. 24

有機相:TBP とβ-ジケトンまたは一方だけを含むクロロホルム溶液

水 相:11.6 mol dm⁻³ の塩酸溶液

記号は、L: TBP B: TTA or BA T: Ti(OH) $_c$ Cl $_d$ (ただし、c 及び d は $0 \sim 4$ である)で表わす.

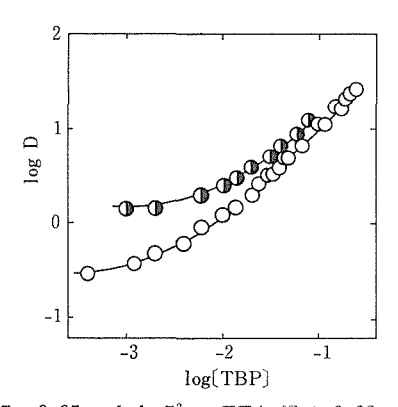


図 7 0.05 mol dm⁻³ の TTA 又は 0.02 mol dm⁻³ の BA を含むクロロホルムと塩酸 の間のチタン (IV) の分配比と TBP 濃 度の関係

有機相: 0.05 mol dm⁻³ TTA 又は 0.02 mol dm⁻³ BA に種々の濃度の TBPを加えたクロロホルム溶液

○: TTA **①**: BA

水相: $11.6 \, \text{mol dm}^{-3}$ の塩酸溶液 実線は, $D=\sum\sum Kex \ a, b[L] \, \mbox{\it log}_{rg}[B] \, \mbox{\it log}_{rg}$ に表1 の値を代入して求めたものである.

行ったところチタン(IV)の抽出率は著しく向上し た. クロロホルム中の β-ジケトン濃度を 一定に 保ち TBP 濃度を変化させ、 濃塩酸中のチタン (IV) 抽出を行った結果の TBP 濃度のチタンの分 配比に及ぼす影響を図6に示す. また図7は, ク ロロホルム中の TBP 濃度を一定に保ちながら β-ジケトン濃度を変化させ、濃塩酸中のチタン(IV) 抽出を行った結果のβ-ジケトン濃度のチタン(IV) の分配比への依存性を示したものである. 最小自 乗法を用いた計算によりクロロホルム中に抽出さ れたいくつかのチタン(IV)の共抽出化学種を仮定 すると、図5に見られる各々の抽出剤により抽出 される $T \cdot L$, $T \cdot L_2$, 及び $T \cdot B_2$ という 3 種類の 抽出化学種に加えて、2種類の抽出剤がチタン (IV)と結合して抽出される $T \cdot LB$ 及び $T \cdot LB_2$ と いう化学種も同時に抽出されていることを示す. 計算された平衡定数の値は表1に示す.

4.2.6 液-液分配法によるチタン(IV)の抽出機構 有機相としてクロロホルムを用いた本研究の結果⁷⁾ を、Roland、Pondant、及び Duyckaerts⁴⁾ が 1,2-ジクロロエタンを用いて行った結果 と 比較する、1,2-ジクロロエタンを用いた場合、チタ

 ν (IV) の分配比は,TTA 及び TBP 濃度に関して 2次の依存性を示し,TTA-TBP 混合抽出系においては 1:1 の混合錯体として抽出 されている.またチタン(IV) と TTA との反応において,TTA は解離した形で反応すると結論づけている.これらの反応を数式で表わすと,TTA のみとの反応は,

 $TiCl_4+2HTTA \Longrightarrow (TTA)_2TiCl_2+2HCl$ (27)

であり、混合錯体が抽出される場合、TTA 分子のプロトンが一つとれ

TBP+HTTA+TiCl₄ ← TTA•TBP•TiCl₃ +HCl······(28)

という形で反応すると結論づけている.

酸性溶液中のチタン(IV)の加水分解に関して は, すでに数編報告されているが^{14~16)}, 強塩酸中 におけるチタン(IV)の化学種はほとんど知られて いない. そこで濃塩酸中におけるチタン(IV)の平 衡時における取り扱いとして, 式(22)~式(26)のよう に示す. そして抽出される化学種の中の β-ジケ トンの形についてのこれ以上の討論は不可能であ る. しかしながら、 β -ジケトンは解離した形でチ タンと(IV)結合しているという結論は図3及び図 4の結果、すなわち酸濃度が高くなれば TTA 及 び β-ジケトンに対するチタン (IV) 抽出が良くな るという結果と矛盾する. これは Starýと Hladký の結果 11)、すなわちチタン(\mathbb{N})はpH2以上の領 域において、ベンゼン中のベンゾイルアセトンに より抽出され分配比は pH の増加に伴って増大す るという結果とも矛盾する. チタン(IV)の加水分 解は, pH が高くなるに伴って増加する. しかし本 研究のようなpHの極端に低い領域においては, チタン(IV)の加水分解は抑えられているであろ う. 更に pH の低い領域における BA によるチタ ン(IV)抽出の分配比がマイナスの依存性を示すこ とは、BA に関するチタン(IV)抽出が、配位子分 子からのプロトンの自由度を伴うと考えらる.

以上の考察により、TBP の場合と同様にTTA 及びBAは共に非解離の状態でチタン(IV)と反応 すると推定される。BA との抽出に関しては、更 に次のように考えることができる。すなわち、 BAは高いpH領域において通常金属イオンと共に TTAよりも良い抽出率を示す。しかしながら、こ の混合抽出系に 見られるトリソルベイト $T \cdot LB_2$ は、表 1 に見られるようにあまり大き な 平 衡 定数の値を示さない。例えば TBP 濃度が 0.05 mol dm^{-3} であり BA 濃度が 0.1 mol dm^{-3} のとき、有機相中に抽出された全チタン(IV)濃度に対して $T \cdot LB_2$ の占める割合は12 パーセントである。また $T \cdot L_2B$ という形の化学種は、本実験における 解析の結果存在しないことが結論された。

混合抽出剤系におけるチタン(IV)抽出の著しい抽出率の増加は、 $T \cdot LB$ による。Sekine と Dyrssen¹⁷⁾ は TTA 及び β -イソプロピルトロポロンと Cu(II) 及び Zn(II) の混合キレート錯体の抽出を行った。この結果、この系においては予測される以上の Cu(II) 及び Zn(II) の抽出が起こることを示した。すなわち、HA 及び HB によりジソルベイトの抽出を行う際の確率から求め得る理論的抽出定数は、次のように表わすこと が できる。

クロロホルム中に TBP と TTA を共存させ濃塩酸中のチタン(IV)抽出を行った場合,実験により得られたチタン(IV)の抽出定数は,式(20)より得られる理論値の 8.5 倍の値を示す.また TBP とBA を含むクロロホルム中へ濃塩酸溶液中のチタン(IV)を抽出する場合においても,実測値は理論値の 4.9 倍の値を示す.そこで実測値より計算された値を用いて TBP-TTA 系に代入すれば,TBP 及び TTA の濃度が共に 0.05 mol dm⁻³ の時,有機相中に抽出されるチタン(IV)の化学種のうち,実に 80 パーセントが T-LB の形で抽出されていることを見いだした.

以上の結果から、濃塩酸中のチタン(IV)を抽出剤を含むクロロホルム中に抽出する場合、中性抽出剤 TBP によるチタン(IV)抽出と同様、TTA及びBA を抽出剤として用いる場合にも非解離のキレート剤がチタン(IV)と結合し抽出されている

ことが結論される。一般に金属イオンのキレート剤による抽出は、pH の高い領域においては金属イオンに解離したキレート剤が順次結合し、中性錯体が抽出されていることは、すでに速度論的な見地からも報告されている $^{18)}$. しかし比較的 pH の低い領域において、速度論的見地からの研究では金属イオンに非解離のキレート剤が反応する例も報告されており $^{19)}$ 、本研究の実験領域のような非常に酸濃度の高い領域におけるチタン(IV)抽出においては、非解離のキレート剤が金属イオンと結合し抽出されるという結果は理論的にも無理がないものと思われる.

4.2.7 結論及び今後に残された問題点

(1) 結論

本研究において得られた結果を以下にまとめる.

- (4) 水相としてチタン(IV)をふくむ塩酸溶液を、有機相として抽出剤をふくむクロロホルム溶液を用いた場合のチタン(IV)の抽出平衡に達する条件を定めた。この結果、両相を $5\,\mathrm{cm}^3$ ずつ取り $20\,\mathrm{cm}^3$ 用遠沈管を用いて抽出を行う場合、ストローク幅 $4\,\mathrm{cm}$ 、ストローク数毎分 $600\,\mathrm{em}$ 30分間振とうを行えばよいという結論を得ることができた。
- (四) 水相としてチタン(IV)を含む種々の濃度の塩酸溶液を、有機相として $0.1\,\mathrm{mol}\ \mathrm{dm}^{-3}$ の抽出剤を含むクロロホルム溶液を用いた場合の塩酸濃度のチタン(IV)の分配比に及ぼす影響を検討した。さらに水相としてチタン(IV)を含む種々の濃度の塩酸溶液に塩化リチウムを加え、塩化物イオン濃度を $11.6\,\mathrm{mol}\ \mathrm{dm}^{-3}$ に保った溶液を、有機相として抽出剤を含むクロロホルム溶液を用いた場合の水素イオン濃度のチタン(IV)の分配比に及ぼす影響をも合わせて検討した。この結果、いずれの場合においても酸濃度の非常に高い領域においては酸濃度が増すと分配比が向上する。つまりpHが3以上の領域における解離した抽出剤イオンと金属イオンより形成される金属錯体とは別の形のものが抽出されることを見出した。
- (/) 有機相中のチタン(IV)の化学種を知るために、水相としてチタン(IV)を含む 11.6 mol dm⁻³の塩酸溶液を、有機相として種々の濃度の抽出剤を含くむクロロホルム溶液を用いて、チタン(IV)

の分配比に及ぼす抽出剤濃度の影響を検討した. この結果、抽出剤として TTA 及び BA を用いた場合には、チタン(IV) 1 原子に対して抽出剤が 2分子結合して抽出されているが、TBP を用いた場合には TBP が 1分子結合したものと 2分子結合したものが共に抽出されることが結論される.

- (汗) 水相としてチタン(IV)を含む 11.6 mol dm^{-3} の塩酸溶液を、有機相として TBP 及び β -ジケトン(TTA または BA)を共存させたクロロホルム溶液を用いて抽出を行った結果、いずれの場合においても著しい抽出率の向上が見られた。数式的解析の結果、この抽出率の向上は、次の二つの原因によるものである。
 - (a) 1種類の抽出剤によるチタン(IV)抽出の場合に抽出される $T \cdot L$, $T \cdot L_2$, 及び $T \cdot B_2$ という化学種に加えて $T \cdot LB$ 及び TLB_2 という形の化学種も同時に抽出される.
 - (b) 通常 2 種類の抽出剤による金属イオンの抽出の場合, $T \cdot L$, $T \cdot L_2$ 及び $T \cdot B_2$ 以外に $T \cdot LB$ が $2\sqrt{Kex} T \cdot L_2 \cdot Kex T \cdot B_2$ という 値だけ 抽出される.しかし本実験においては,理論的に算出される値と比べ TBP-TTA 混合錯体に関しては 8.5 倍の値を示し, TBP-BA 混合 錯体に関しては 4.9 倍の値を示す.すなわちいずれの系においても協同効果を示すことを 見い だした.

(2) 今後に残された問題点

強酸中のチタン(IV)の溶媒抽出に関しては、すでにいくつかの報告がなされており、本研究においても抽出されるチタン(IV)に対する抽出剤に関して検討を行い、種々の結論を得た。しかしながら、最終的に結論しかねる部分としてチタン(IV)の強酸中における溶存状態を挙げることができる。平衡論的に解明しうる部分として、強酸中のチタン(IV)を抽出剤により有機相中へ抽出する場合の水相中の陰イオンをチタン(IV)を錯形成しにくい過塩素酸イオン等を用いて、塩化物イオン、臭化物イオン、よう化物イオン等と置き換え、水溶液中におけるチタン(IV)の錯形成状態を知ることが挙げられる。また速度論的見地から、酸濃度の非常に高い領域におけるチタン(IV)の抽

出と、酸濃度の低い領域における抽出を比較検討 することにより抽出機構を解明し、酸濃度の非常 に高い領域における抽出機構をより明確にできる ことが期待される.

参考文献

- R. M. Diamond and D. G. Tuck: Progr. Inorg. Chem. 2 109 (1960)
- T. Sekine and Y. Hasegawa: Solvent Extraction Chemistry Fundamentals and Application Page 556~559 Marcel Dekker, INC. New York and Basel (1977)
- 3) A. K. De and M. S. Rahaman: Anal. Chim. Acta. 31 81 (1964)
- 4) G. Roland, M. Pondant, and G. Duyckaerts: Anal. Chim. Acta. 85 331 (1976)
- 5) G. Roland, M. C. Blandiaux, and G. Duyc-kaerts: Anal. Chim. Acta. 85 127 (1976)
- 6) 小松 優:日本化学会第38秋季年会予稿集(1978)
- 7) Y. Komatsu: J. Inorg. Nucl. Chem. (in press)
- 8) 関根達也, 小松 優:分析化学 23 222 (1974)
- 9) T. Sekine, Y. Komatsu, and J. Yumikura: J. Inorg. Nucl. Chem. 35 3891 (1973)
- 10) 石井 一:分析化学 16 110 (1967)
- J. Starý and E. Hladký: Anal. Chim. Acta.
 28 227 (1963)
- 12) T. Sekine, Y. Komatsu, and M. Sakairi: Bull. Chem. Soc. Japan. 44 1480 (1971)
- 13) 関根達也, 小松 優:分析化学 24 94 (1975)
- 14) L. G. Sillén and A. E. Martell: Stability Constants of Metal-Ion Complexes, Special Publ.No.
 17. Chem. Soc., London (1964). and Special Publ. No. 25. Chem. Soc. London (1971)
- 15) 永長久彦,小松 優:第7回中部化学関連学協会 大会予稿集(1976)
- 16) 永長久彦,小松 優: 日本化学会第38秋季年会 予稿集(1978)
- 17) T. Sekine and D. Dyrssen: J. Inorg. Nucl. Chem. 26 2013 (1964)
- 18) T. Sekine, Y. Koike, and Y. Komatsu: Bull. Chem. Soc. Japan. 44 2903 (1971)
- Y. Komatsu, H. Honda, and T. Sekine: J. Inorg, Nucl. Chem. 38 1861 (1976)

5. TiO₂多形相の安定性と相転移に関する研究

5.1 多形相の熱力学的安定性

5.1.1 緒言

常圧相のアナターゼ及びブルーカイトは、大気 圧下では不可逆的な発熱反応を伴ってルチルに転 移する, この転移温度は, 試料合成の出発物質や 処理条件によって、400℃~1100℃ 程度まで変化 する^{1,2)}. Roy の研究³⁾によれば、アナターゼ及 びブルーカイトとも、400℃ 以下では熱水中でも ルチルに転移せず、擬平衡的な転移温度が存在す る. 更に, 低温では, ゲルの結晶化を始め, 多く の反応で、アナターゼが選択的に生成しり、 天燃 の成因かからも、 アナターゼは低温相的であるこ とから、ルチルは TiO₂ の高温相、アナターゼは 低温相であると明言している文献4,5,6)も少なくな い. しかし,一方で,ルチルは室温以上の全温度 領域で生成することなどから, ルチルが安定相で 他の二相は準安定相と述べている 文献りもある. ブルーカイトについては、天然には数 mm 径以上 の比較的大きな結晶が得られるにもかかわらず、 従来、高純度の結晶を合成することは極めて難か しいとされてきた. このように, これら多形の生 成条件や転移温度は複雑に変化し、合成実験から

安定関係を決定することは困難で,熱力学的手法 が安定関係を決定するための最も有効な方法と考 えられる.

表1に示すように、ルチルとアナターゼに関していは、今までに多くの熱力学データが発表されている。この表から明らかなように、Navrotsky & kleppa⁸ らは、アナターゼは全温度領域でルチルに対して準安定であることを発表したが、Robie & Waldbaun⁹ によればアナターゼは1000 K以下では低温安定相となっている。このようにデータは非常に分散しており、確度の高い熱力学データの発表が必要とされてきた、一方、ブルーカイトについては、高純度試料に関するデータは今まで発表されていない。

以上の観点から、我々は、溶解熱法により転移のエンタルピー、レーザーフラッシュ法により熱容量の測定を行い、これら多形の熱力学的安定性に関する研究を行った、なお、高圧相については、試料の調整が十分でないことから測定は行わなかった。

5.1.2 転移のエンタルピー

溶解熱法の原理

雑に変化し、合成実験から 溶解反応(1)及び(2)における溶解のエンタルピー表 1 TiO₂多形の熱力学的データ(文献値)

相転移	文献(発表年度)	$\Delta { m H_T^0/kJmol^{-1}}$	$\Delta S_{\mathrm{T}}^{0}/\mathrm{J}\mathrm{mol}^{-1}\mathrm{K}^{-1}$	⊿G _T ⁰ /kJmol ⁻¹	T/K
アナターゼ	10 (1960)	-31.0	0. 33	-31.1	298. 15
	11 (1965)	-11.7 ± 5.9	-		298. 15
	12 (1967)	-11.7	0.12	-11.8	298. 15
	7 (1967)	— 5.19	0.42	-5.31	298. 15
ルチル	8 (1968)	+0.42	0.42	+0.29	298. 15
	13 (1968)	_	_	-1.05 ± 0.84	523
	14 (1975)	-6.03	0.38	-6.14	298. 15
ブルーカイト ↓ ルチル	15 (1961)	-0.42*	***************************************		294
TiO2Ⅱ ↓ ルチル	16 (1967)	-3.2**	American	_	294

^{*} 天然産ブルーカイト,純度悪い ** 試料はルチルとの混合物

 ΔH_A 及び ΔH_B を測定すれば、転移反応((3)式)の転移の 標準エンタルピー ΔH^0 が求められる.

A + Solvent = Solution;	$\Delta_{\mathbf{H}_{\mathbf{A}}}$ ·····(1)
B+Solvent=Solution;	$\Delta H_B \cdot \cdot \cdot \cdot \cdot (2)$
$A \rightarrow B$; $\Delta H^0 = \Delta H_B - \Delta H_A$	••••(3)

溶解熱法による反応熱の多くの測定は、主に、室温近傍で作動する HF 溶液熱量計によって行われてきた. それに対し、kleppa とその共同研究者達は、高温下における酸化物熔融体への溶解反応から多くの固体化合物(主に酸化物)の生成熱や転移熱を精度良く求める方法を発展させてきた.本研究もkleppa との共同研究によって実行された.この方法の特徴として. HF 溶液熱量計を用いる場合と比較して、適当な溶媒を用いることにより、ほとんどの難溶性物質(TiO2も HF 溶液には不溶)に適用できること、また、溶解熱の絶対値が圧倒的に小さいため反応のエンルタピーが精度良く求まること、等が挙げられる. しかし、確度の高いデータを求めるには、以下に記するように種々の検討が必要であった.

実 験

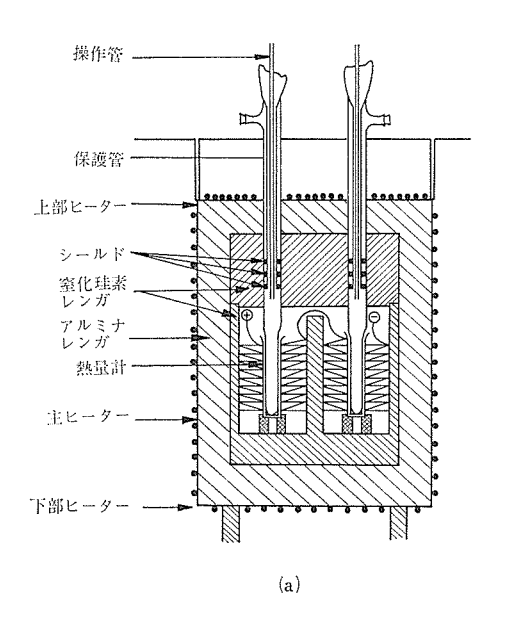
- (1) 試料
- (イ) アナターゼ試料:プロポキシドチタン(東

表2 アナターゼ試料の分光分析値

不純物	重量パーセント	
Na	0.04	
Ag	0.01	
Au, Si	< 0.001	
Mg Ca	< 0.001	
Al, Fe	< 0.001	
Pb, Cr	< 0.001	
H ₂ O (F)	0.07	

京化成製)を室温、純水中で加水分解し、沈殿した非晶質のチタニアゲルを30ccの白金容器に充填し、0.1M NaF 熱水容液中でアナターゼへの結晶化とアナターゼ粒子の成長を行った。処理条件は、処理温度:430°C、処理圧力:1 kb、処理時間:24hrs、であった。アナターゼ 粒子は、熱水処理後温水で十分に洗浄し、971K で 2hrs の熱処理を行い、アナターゼ試料とした。試料の分光分析の結果を表 2に示した。

- (ロ) ブルーカイト試料:この合成法及びキャラクタリゼーションについては(3.2) で述べられている.
- (ハ)ルチル試料:溶解熱 測定用 の ル チル試料



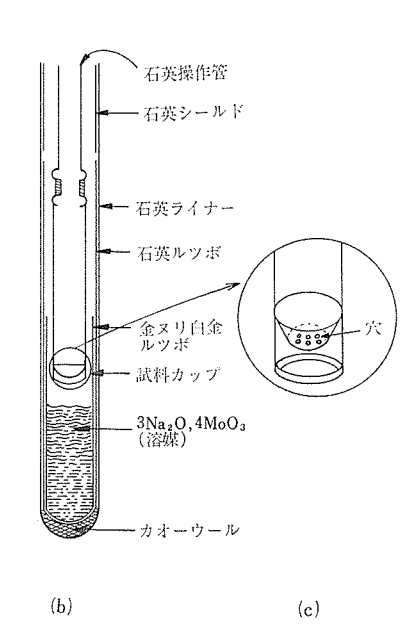


図1 カルベ型双子微小熱量計

は、対応するアナターゼ及びブルーカイト試料から1250℃、4 hrs の熱処理によって転移させられた後、軽く粉砕され、150メッシュ以下のものが用いられた。試料の結晶性は十分に良く、また不純物の含有量は出発物質のアナターゼ及びブルーカイト試料と同程度と考えられる。ただし、蒸発性不純物について、出発物質より、それぞれ、0.07wt%ほど減少した。

(2) 測定方法

溶解熱の測定はシカゴ大学 kleppa 研究室に設 置されているカルベ型の双子型微小熱量計を用い て行われた. 装置と試料セルの概略図が図1に示 されている. 溶質試料は, 当初浅底ルツボ型の試 料カップに充塡されたが、測定終了後しばしば未 溶解部分が観察されたので、図1にに示すような 二重底カップを考察した. 上部底の方には小穴が 開けられており, 下部底は上部底からもれた粉末 試料が散失しない程度に極力浅くした。この試料 カップを用いることにより,小数回の攪拌操作で も溶質は迅速に溶解した.溶媒には3Na₂O・4M₀O₃ を使用し、測定は 971±2k で行われた. 溶質試 料を充填した試料カップは溶媒の液面より5~10 mm上部に設置され、熱平衡に達してから試料カ ップの上下動によって溶解, 攪拌操作が行われ た. その間のダミーと反応との間の温度差は80対 の pt-pt13%Rh サーモパイルで 検出, 増幅後レ コーダーに記録され、プラニメーターでピーク面 積が測定された. 攪拌操作に対する熱量補正は, 1.3J/run (全熱量の20~40%) で, 1回の測定 に要した溶媒と溶積は、それぞれ、約20g及び 30~50mg であった. 溶媒は毎3回の測定後に交 換された. 溶解熱測定に 対する 相補的実験とし て, DSC 及び DTA による転移熱の測定も行わ れた.

実験結果と考察

表 3 に、ルチル、アナーゼ及びブルーカイトの 971 Kにおける $3Na_2O \cdot 4M_0O_3$ への溶解のエンタルピー $\Delta Hsol$ が示されている。() 内は測定回数で、誤差は平均値からの標準偏差として示されている。いずれの $\Delta Hsol$ も吸熱であった。また表には(3)式から求められたアナターゼ→ルチル、ブルーカイト→ルチル転移の、それぞれの転移のエンタルピー ΔH_{A-R} 及び ΔH_{B-R} が示されている。

表3 TiO2多形の溶解及び転移のエンタルピー

試 料	⊿H _{sol} /kJ mol ⁻¹		
アナターゼ	11.5 ± 0.7 (12)		
ブルーカイト	$13.8 \pm 0.2 (7)$		
ルチル*	$14.8 \pm 0.4 (12)$		
ルチル**	$14.5 \pm 0.3 (7)$		
4H ⁰ A→R/kJmol ⁻¹	-3.3 ± 0.8		
$\Delta \mathrm{H^0_{B\to R}/kJmol^{-1}}$	-0.7 ± 0.4		

测定温度:971±2 K, 溶媒:3Na₂O·4M₀O₃

- * アナターゼ試料から調製
- ** ブルーカイト試料から調製

アナターゼ→ルチル転移: この転移のエンタ ルピーは、本実験から $4H_{y_1}^0 = -3.26 \pm 0.84 \text{ kJ}$ mol^{-1} と求められた.この反応に関し、多くの報 告がなされているが,下記のように,データは非 常に広く分散してる, △H⁰₂₉₈=-31kJmol⁻¹ $(JANAF(I), 1960)^{10}, \Delta H_{903}^0 = -0.4 \pm 0.2 (Rao et$ al., $1961)^{8}$, $\Delta H_{298}^{0} = -11.7 \pm 5.9$ (Margrave and Kleppa, 1967)⁷, $\Delta H_{1163}^0 = +11.7$ (Vahldick, $(1966)^{19}$, $\Delta H_{298}^0 = +0.42 (ONR Reports, 1968)^8$. 我々の実測値はこれらのデータの中間値を示して いるが文献値相互間の分散の度合いは明らかに, それぞれが示した測定誤差範囲を越えている. し たがって, 文献値の測定方法と, データの信頼性 を検討した. 燃焼法 (JANAF(I)10), Margraue and Kybett¹¹⁾ による測定では、アナターゼの耐 熱性に問題があるため、燃焼温度は比較的低くお さえなければならない. したがって, 燃焼が完全 に完了しない危険性と, 反応物質及び生成物質の 表面エネルギーや歪コネルギーが無視できない可 能性がある. DTAによる測定 (Rao¹⁹)) では, デ ータは DTA 曲線の基線の変化に著 しく依存す る. Rao は試料としてゲル の 大気 中における結 晶化によって生成したアナターゼ を 用い ている が,一般に,この種の試料は加熱過程において収 縮が起こり、基線の変化が大きい、したがって、 Rao のデータは見掛け上小 さく なったピークを 測定した可能性が強い. Valkdick⁹⁾ や ONR Report⁹, では、データの解析において明らかに 論理的矛盾を犯している. すなわち, 彼等は, ア ナターゼ→ルチル P-T 転移の曲線からクラジウ スークラペイロンの式を用いてを求めているが,

この転移曲線は不可逆的反応によるもので、真の 平衡曲線ではなく, 一種の準安定的な反応曲線を 示しているに過ぎない. Navrotsky and Kleppa⁷ のデータは、我々と同じ溶解熱法によるものであ り, 測定装置, 溶媒その他の測定条件まで, 我々 の方法と極めて良く類似している, それにもかか わらず、データはそれぞれの再現精度以上に互い に分散している. 溶解熱測定において, 系統誤差 をもたらす要因として下記のものが考えられる. (1)ピーク面積を熱量に変換する場合のキャリプレ ーションの不正確さ, (2)溶解反応の未完了, (3)溶 解反応開始前 (熱平衡待期中) 時の溶質と溶媒蒸 気との反応、(4)溶媒の溶解度が小さく、 △Hsol が 溶質量に比例しない、(5)溶質試料の表面エネルギ ーや歪エネルギーが無視できないほど大きい,(6) 溶質試料中の不純物と溶媒とが特殊 な 反 応 をす る,などの要因が挙げられる.これらの要因のう ち、熱量のキャリブレーションは熱容量既知の Au を用いたエンタルピー法によっているが、今 までの測定により、土1%の信頼性が確認されて いる. 要因(3)について, 通常熱平衡に達するのに $1 \sim 2 \text{ hrs}$ を用するが、10 hrs 以上の保持時間に 対しても、通常のrun との差異は観測されなかっ た. 要因(4):20gの溶媒に対し、溶質が200mg以 上に達するまで、溶解量と溶解のエンタルピーと の間には比例関係が成立することを確認した. 要 因(5)用いたアナターゼ 試料の粒径は $2 \sim 3 \mu m$ 以 上であった. また, 粉末X線回折パターンによれ ば、回折ピークのラインブロードニングは観測さ れず,十分結晶性は良いことを確認した.したが って、表面エネルギーや歪エネルギーの影響は無 視できると考えられる. 要因(6):これらの反応の 有無又は可能性を正確に知ることは必ずしも容易 ではないが、我々の用いた試料に関しては、微量 の金属不純物以外に 0.07 wt% 程度の蒸発性不純 物を含んでおり、OH-とするならば、溶解時に 気化する H₂Oの H₂O の気化熱は 1 mol の TiO₂ あたり 130」以下で、この影響は再現精度以下と 推定される. 最後に要因(2)について検討した. Navrotsky らの TiO2 の溶解のエンタルピーの 値は4.2~10.5 KJ mol-1 で我々の値よりかなり 小さい. 使用した溶媒は同じ組成で,しかも,組成 変化に対しては、バッファー作用があるため、多

少組成が異なっても $2H_{sol}$ はほぼ同じ値を示すはずである. したがって、溶解熱は溶解量に比例するので、Navrotsky らの測定では、 TiO_2 の溶解が完全には完了していなかった可能性がある. 事実、我々の測定でも、旧式の試料カップを用いたときには、カップの底に未溶解試料が観察されることがあり、更に反応容器の底部近傍まで十分に攪拌しないときは、Navrosky らのデータと同程度の値を示した. 以上の事柄から、我々のアナターゼルチル転移のエンタルピーのデータは、文献値と比較して信頼性が高いと評価される.

ブルーカイト→ルチル転移:この転移のエンタルピーは本実験からは、 971 ± 2 K において、 -0.71 ± 0.37 kJmol $^{-1}$ と求められた。ブルーカイトに関する熱化学データは、今までほとんど発表されていない。その理由は、天然の結晶は純度が悪く、一方高純度試料の合成が困難であったことによると推定される。ただし、米国 Arkansas産のブルーカイト試料に関する DTA (Rao et al., 1961) 15 及び DSC 20 の測定結果によれば、天然産ブルーカイトの 4 H 0 の推定値は 1 0. $1\sim1.2$ KJ 1 mol $^{-1}$ で、溶解熱法で求められた合成試料に関する値とほぼ一致した。この系の溶解熱測定の際には、アナターゼ→ルチル転移の場合と同様な検討がなされており、データの確度は再現精度と同程度と推定される.

5.1.3 TiO₂ の熱容量

TiO₂ 多形の熱容量測定の概要

ルチル及びアナターゼの熱容量に関しては、かなり多くの研究が発表されており、実測値の多くは、Thermophysical Properties of Matter, vol. 5^{21})に編集されている。一方、JANAF Tables 10,12,14)では、今までに発表された測定値を吟味し、多くの物質については比較的信頼性の高い熱容量のテーブルをのせている。しかしながら、同テーブルではルチルの場合、特に、高温熱容量の文献値間の不一致が著しいため、確度の高い実測値の必要性を指摘している。熱容量の正確な値は化学反応や多形間の熱力学的安定関係を考察するのに重要であるばかりでなく、格子振動に関する情報も与える、熱容量の解析に関しては、

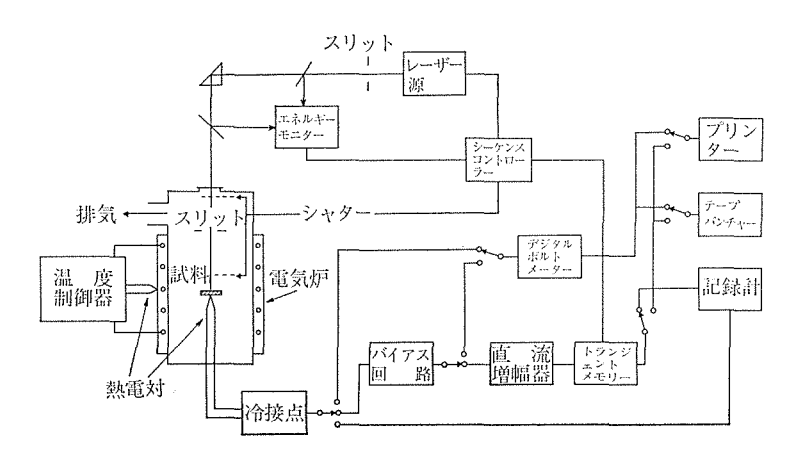


図2 レーザーフラッシュ熱量計のブロック図 直流増幅器及びトランジェントメモリー部は熱拡散率測定用で熱容量測定には必要ない.

ルチルについてのみいくつか報告されているが, いずれも室温以下の低温領域に関するものであ り、しかも,実測値を良く説明するのに成功して いない (6.2 参照). 一方, ブルーカイトについ ては, 文献値は皆無である. これは高純度試料 の調製が困難であったことによるものと思われ る.

以上の観点から、比較的広い温度範囲で精度の良い測定を行い得るレーザーフラッシュ法によって、ルチルとブルーカイトの熱容量を 80 K から1100 K にわたって測定した.

実 験

(1) 試料

(イ) ルチル試料:レーザーフラッシュ法による 熱容量測定では、試料はできるだけ熱拡散率の大 きいものが望まれる.したがって、試料としてベル ヌーイ法で育成した単結晶(中住クリスタル製)を 用いた.この結晶を大気中において1300 K以上で 十分に焼鈍し、成長方向に垂直な方向に薄く切り 出し、測定試料とした.測定試料は厚み:2 mm, 径:9~10mmの小円板で、質量は0.765gであっ た.試料原料と同質の原料粉末中の主な不純物 は、Na:0.005wt%、A1 及び Si<0.003wt%、 試料と同質結晶の純度は99.99%以上と報告され ている²²).

(ロ) ブルーカイト試料:この試料の調製法及び キャラクタリゼーションについては (3.2) で述べられている。この試料は粉末であるため, $10\phi \times 10 \times 0$.15mm の Ag カップに,400mg の 試料

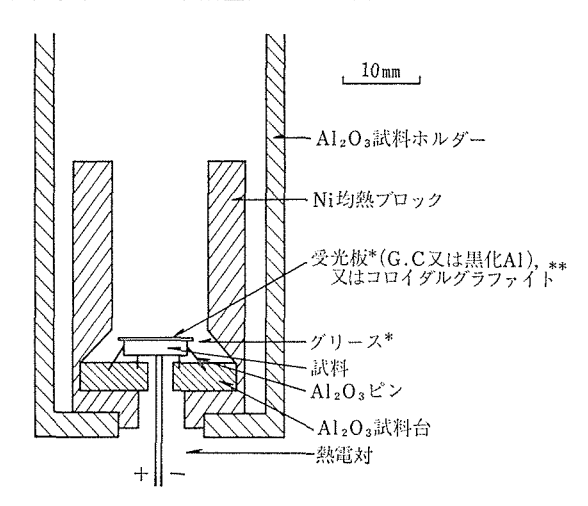


図 3 レーザーフラッシュ熱量計の試料回り
* 熱容量 の絶対値 (室温) 測定用に使用する.
** 熱容量の温度変化測定 には試料に直接
DGF (コロイダルグラファイト) を吹きつける.

と粒径 $10\mu m$ 以下の Ag 微粒子 150mg を混合したものを充塡し、 $5.5 ton/cm^2$ で加圧成形した。

(2) レーザーフラッシュ法の原理と測定方法

1961年 Parker によって,この方法による(熱定数:熱容量,熱拡散率及び熱伝導率)の測定方法が発表されて以来,主に熱拡散率の測定方法として普及してきたが,比較的近年になって,かなり高精度の熱量計として改良されてきた^{23,24)}.この方法の特徴としては,他の測定法(断熱法や投下法など)と比較した場合,試料が小量でよいこ

と,測定時間も短かく,装置も比較的簡便で,適用温度範囲も広い,などの特徴をもっている.当研究所に設置されている装置のブロックダイヤグラムを図 2に示す.測定の原理はレーザー光を円板状試料に照射して熱エネルギーEを与え,それによる試料の温度上昇 ΔT を熱電対により検出して定圧熱容量 C_P を次式から求める.

$$C_P = \frac{1}{m} \left(\frac{E}{\Delta T} - C \right)$$

ここで、Cは試料系の 試料以外の 熱容量の総和で、mは試料の質量である。

上式から明ら、かなように、 C_P を高精度で測定するにはは熱容量既知の物質を使用することが多いので、E及び ΔT をいかに精度良く求めるかにかかっている.

Eの測定:現在のところ試料に照射するレーザ ーパルスエネルギーの絶対値を直接求める方法は ないので, パルス光を一定の割合で分割し, エネ ルギーモニター (Si フォトセル) でエネルギー の相対値を計測し、熱容量既知の標準物質(Al₂O₃ 単結晶)を用いて絶対値に換算している.この際 , 光の吸収を常に一定にするための受光板(図3 参照)は、常に同一のもを使用することが望まし いが、温度が可変の場合、受光板と試料との熱接 触を十分良く保つことが困難で、 DGF などのコ ロイダルグラファイトを塗布する、実際の測定で は、室温における熱容量の絶対値を求める時は、 受光板方式を採用し、熱容量の温度変化を求める 時は塗布剤方式をとっている.しかし、後者の方 法でも, 高温になるとグラファイト被膜が破れる こと(特に,単結晶の場合)が多く,光の吸収率 が温度に対して一定で、安定な受光剤の開発が望 まれている. 当所の装置ではエネルギーモニター の再現精度は 土0.3% であるため、2個のエネル ギーモニターを使用して精度の向上を図かった. 更に, スリットの位置を従来はエネルギーモニタ -の後部に位置していたのを前部にも設置し、余 分な光をモニターしないようにした.

 ΔT の測定: レーザー法の特徴の一つは試料からの熱リークを実験的に直接補正できることである。図 4 に示すように、熱リークが小さいときは $\Delta V (= V - V_0)$ ー t (時間) 直線から、また 熱リークが大きいときは $\ln \Delta V - t$ 直線から t = 0 のと

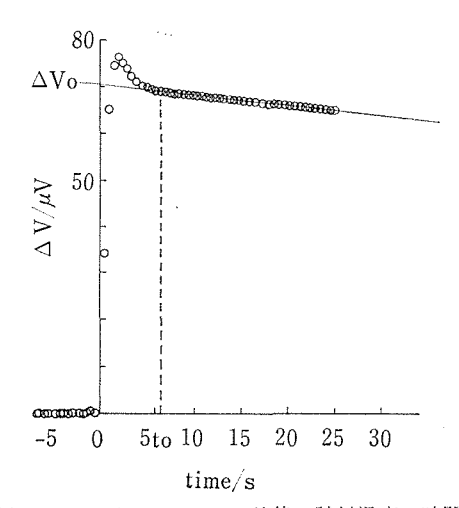


図4 レーザーフラッシュ前後の試料温度の時間変化

試料温度(熱起電力)は0.5秒間隔でブリンターに記録し,グラフから ΔV_0 を求める。高温では,縦軸は対数でブロットする。

きの ΔV をグラフ的に求めた. ここで V_0 はレー ザー光をフラッシュしないときの試料の熱電対の 熱起電力である. しかし、図から明らかなよう に、t=0 から $t=t_0$ まで、すなわち、試料に光 が照射されてから試料が熱的に均一化されるまで の間の熱リークは上の方法では補正できない、経 験的には、 $t_0=5\sim10$ 秒 以内なら、この誤差は重 要でないが、TiO2 の粉体の場合は 圧縮 して も to>30秒となり、 実際上測定が不可能であった. そのため、ブルーカイトの測定の場合には、熱媒 体として Ag 粉体を用い、両者を混合、圧縮す ることにより、3~5秒となり、測定が可能にな った. また, このような熱リークの補正方法は, 試料の周囲の温度変化は十分小さいことが前提に なっている. したがって、図2のような均熱ブロ ックが用いられた. 試料からの熱リーグはできる だけ小さいことが望ましい, AV は熱起電力の測 定の分解能と雑音の面から、1K相当(CRCの 場合 $\sim 80\mu V$) 以上が望ましい、したがって、高 温測定の場合ラディエーションシールドや光の入 射方向にシャター機構などが設置されたが、その 効果についてはなお検討である. 使用熱電対の温 度較正は、自金抵抗測温体を標準温度計として用 いたが、100 Kで1 Kの測温誤差は Cp に対して 数パーセントの誤差となるので、特に、室温以下

で精密に行う必要があった.

実際の測定では、ルチルについては、東大工学部の、また、ブルーカイトについては、当研究所のレーザーフラッシュ熱量計を用いた。熱電対は、ルチルの場合、 $80\sim500~\rm K$ では直径 $0.05~\rm mm$ の CC、 $300-1100~\rm K$ では同径の CRC、ブルーカイトの場合は、全温度領域で CRC を用い、試料には銀ペーストで接着した。

熱容量の測定値の確度は、室温以上では Al_2Oa に関する実測値と NBS の標準デー ρ^{26})との差で表わした。 我々の用いた 装置では、 $100\sim800~{\rm K}$ までは NBS のデータ $\pm0.5\%$ と以内で一致し、 $800-1100~{\rm K}$ では 1%以内で一致した。

測定結果

(1) ルチルの熱容量25)

図5に、室温付近における Cp 印の測定結果を 文献値と共に示す. 図から明らかなように、測定 の再現精度は±0.5%以内であった. 80 Kから100 Kまでの測定結果を文献値と共に図6に示す. な お試料は最初帯黄白色であったのが、1100 Kまで の測定終了後にやや青灰色を帯びるようになっ た. これは酸素空孔が生じ化学量論的組成から多 小ずれたことによると考えられるが、熱容量に関 しては再測定しても同じ結果が得られた. 測定の 再現精度は80 Kから800 Kまで±0.5%以内、800 Kから1100まで1%以内であった. 実測値の平滑 化曲線から求めた各温度でのモル熱容量を表4に 示す.

室温以下の熱容量は Macdonold & Seltz (68 —298 K)²⁷, Shomate (52—298 K)²⁸, Dagdale et al. (12—290 K)²⁹, keesom & Pearlman (1 —20K)³⁰ 及び Sandin & Keesom (0.3—20 K)³¹ らによって測定されている。我々の実測値は、Macdonald & Seltz の値より1~3%ほど小さく、JANAF Tables^{10,12,14}) で基本データとして採用している Shomate 及び Dugdale et al. らの値とは、130—298 K間で+0.7%以内で一致した。しかし、130 K以下では、我々のデータは Shamate らの値より1~2%ほど偏よった。この偏よりに関してはなお実験的検討が必要と思われる

室温以上の高温熱量については, Naylor (298 —1800 K)³²⁾, Arthur (293—1073 K)³³⁾, Lietz

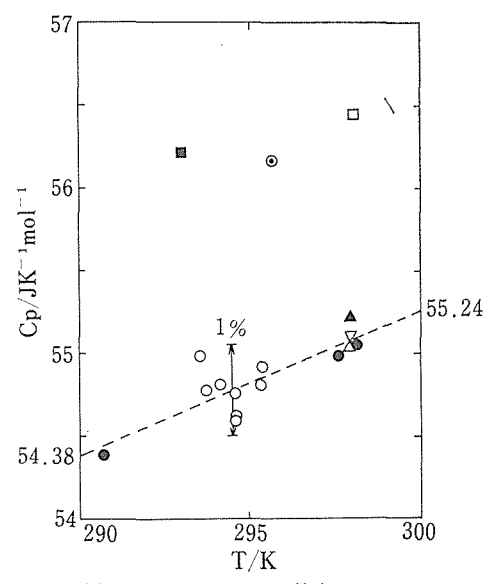


図5 室温におけるルチルの熱容量

○:本測定值, •: Shomate, ■: Lietz,

▲: JANAF Tables 1¹⁰, △: JANAF Tables II ¹²⁾, ▽: JANAF Tables II ¹⁴⁾, 破線は本測定値の温度変化を示す.

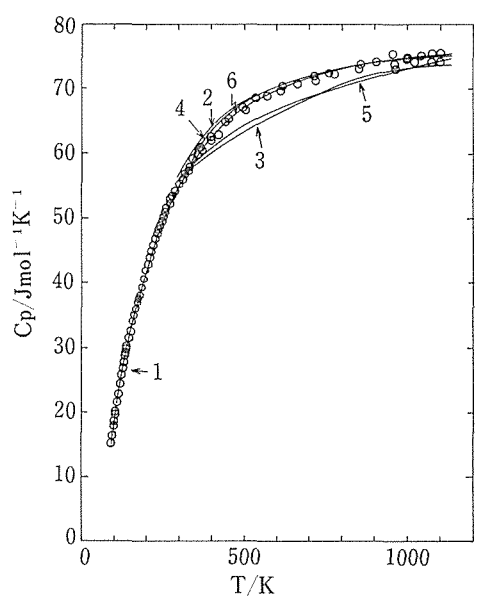


図 6 80 Kから1100 Kまでのルチルの熱容量 ○:本測定値, 1. Shomate, 2. Naylor, 3. Lietz 4. JANAF Tables 1¹⁰, 5. JANAF Tables II ¹², 6. JANAF Tables III ¹⁴)

 $(293-1193K)^{34)$ らによって実測値が発表されている。図 5に示したように、室温近傍において、

表 4 ルチル及びブルーカイトの熱容量

衣4 ル	テル及びノルーガイ	トの熱谷里
T/K	ルチル $C_P/\mathrm{Jmol}^{-1}\mathrm{K}^{-1}$	ブルーカイト $C_P/\mathrm{Jmol}^{-1}\mathrm{K}^{-1}$
80	13. 42	#Titlement d
100	18. 86	18.70
120	24. 29	24. 13
140	29. 44	29.00
160	34. 24	33. 96
180	38. 50	36. 91
200	42. 29	40.31
220	45.64	43. 55
240	48.64	46.50
260	51.07	49. 94
280	53. 23	52. 25
298. 15	55. 08	54.90
300	55. 24	55.07
320	57. 29	57.17
340	59. 13	59.13
360	60. 31	60.72
380	61.33	62.04
400	62.37	62. 85
450	64.82	65. 17
500	66.84	67. 35
550	68. 51	68. 70
600	69.70	69.70
690	70. 55	70.40
700	71.33	71. 13
750	72.02	71. 60
800	72.67	71.90
850	73. 29	No.
900	73. 83	
950	74.22	
1000	74 '55	
1050	74.84	***CONTACT
1100	75. 01	

我々の実測値の平均値は Shomate, Dugdale et al. の実測値や JANAF Tables の値と $\pm 0.2\%$ 以内で一致した,しかし, Macdonald & Seltz Naylor, Lietz らの実測値より $2.5\sim3\%$ ほど小さい,また,図 6 に示したように,文献値相互の不一致は, $400\sim500$ Kで特に著るしく,Lietz のデータは Naylor のものより 7%も小さい,我々の測定結果はこの温度範囲に おいて,Naylorの値より $1.5\sim3\%$ ほど小さく,また,Arthur 及

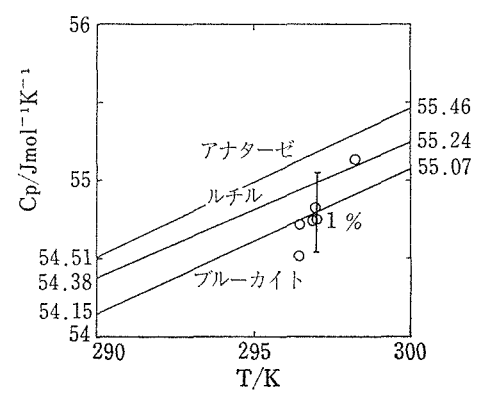


図7 室温におけるブルーカイトの熱容量 〇:本測定値,実線はそれぞれの相の熱容量の温度 変化を示す.ルチルの値は図5と同じ,アナターゼ の値は JANAF Tables $III^{14)}$ から引用した.

び Lietz らのデータより $3\sim5.5\%$ ほど大きくなった.一方,一般に高い信頼性が * お か れ ている JANAF Tables に * ない て も,第一版 10 と第二版 $^{12)}$ では,500において5.2%も異なっている.最近発表された改訂値 $^{14)}$ では,1966年以降に本格的実測データが発表されていないにもかかわらず,第一版に近い値が採用 さ れ て いる.このようにJANAF Tables では実測値の重みの取り方にかなりの任意性があり,ルチルの熱容量に関して確度に疑問が残されていた.しかし,我々の測定結果は,1975年の改訂値と良く一致し,130—350 Kでは土0.7%以内,350—1100 Kでは一0.3~一0.7%以内で一致した.

(2) ブルーカイトの熱容量

図7に、室温におけるブルーカイトの熱容量の測定結果を、ルチル及びアナターゼのデータ¹⁴⁾と共に示す。図から明らかなように、測定値の再現精度は土0.5%で、ルチルの場合と同様であった。ブルーカイトの熱容量の文献値は今まで報告されていないが、ルチルの値よりは、約0.4%、アナターゼよりは約0.8%ほど小さい値を示した。100 Kから850 Kまでの測定結果を、ルチル及びアナターゼのデータ¹⁴⁾と共に、図8に示す、測定値の再現精度は、100 Kから600 Kまでは土0.5%、600 Kから850 Kまでは土1%以内であった。表には、実測値から求めたた平滑値を、ルチルの平滑値と共に示した。ブルーカイトのデータは室温以下では、ルチル及びアナターゼの値より小さく、

特に、180 Kから240 Kでは、ルチルの値より1~3%ほど小さい値を示した。室温以上では、ルチルの値よりやや大きくなり、最大0.7%程度(350~400 K)大きくなった。しかし、600 K以上ではルチルの値とほぼ一致したが、高温になるにつれ、やや小さくなる傾向にあった。

ブルーカイトの実測値の確度は、ルチルの場合と比較してやや低いと推定される、まず、ブルーカイトの場合試料系全体の熱容量の値から、試料容器 (Ag) と熱媒体 (Ag 粉末)の熱容量を補正する必要がある。別個に測定された試料容器と熱媒体の熱容量のデータは再現精度と同程度の確度を有していると考えられる。ブルーカイト試料とAg の量はほぼ等しかったので、ルチルの精度と比較して、1.4 倍程度低下したと考えられる。

5.1.4 TiO₂多形の安定関係

多形間の熱力学的安定関係は転移の自由エネルギー AG° の大きさによって決定される。 相Aから相Bへの 転移反応 $A \rightarrow B$ において, 各相の熱容量 C_p とある温度 T_1 における転移のエンタルピー $AH_{T_1}^0$ が測定されていれば,任意の温度 Tにおける転移の自由エネルギー AG_T^0 は次式で表わされる。

$$\Delta G_{T}^{0} = \Delta H_{T}^{0} - \Delta S_{T}^{0} T \qquad \cdots (5)$$

$$\Delta H_{T}^{0} = \Delta H_{T_{1}}^{0} + \int_{T}^{T_{1}} (C_{p}^{B} - C_{p}^{A}) dT \qquad (T < T_{1}) \cdots (6)$$

$$\Delta S_T^0 = \int_0^T \frac{C_p^{\mathrm{B}} - C_p^{\mathrm{A}}}{T} dT \qquad \cdots (7)$$

表 3 及び表 4のデータからアナターゼ→ルチル及 びブルツカイト→ルチル転移の各熱力学データを 求め,表 5 及び,図 9 に示した.ここで,130 K 以下のルチル,及び全温度領域のアナターゼの熱力学データは JANAF(1975)の値を採用した.ブルーカイトについては,100 K 以下の熱容量の データが不足しているが,ルチルやアナターゼの データを基準にして,100 K以下 のエントロピー S^0 とエンタルピーの変化を推定し, $\Delta S^0_{100}=10.0$ Jmol $^{-1}$, $H^0_0-H^0_{100}=-0.62$ kJmol $^{-1}$ を求めた.また,700 K 以上のブルーカイトの Cp としてルチルの値を代用した.得られた ΔG^0 の確度は ΔG^0_1 , ΔG^0_1 ともに, ± 50 ~ $\pm 100\%$ を越えないと評価される.以上の結果,アナターゼとブルーカイトは大気圧下では全温度領域で,ルチルに対し

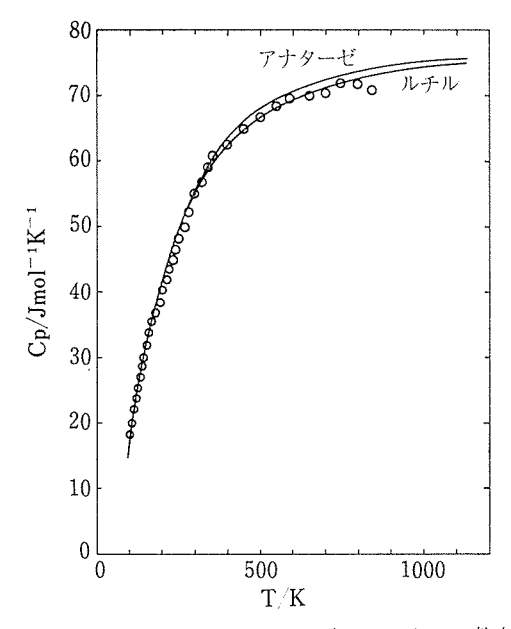


図8 100 Kから 850 Kまでのブルーカイトの 熱容量〇:本測定値,実線はルチルとアナターゼ¹⁴⁾の値を示す.

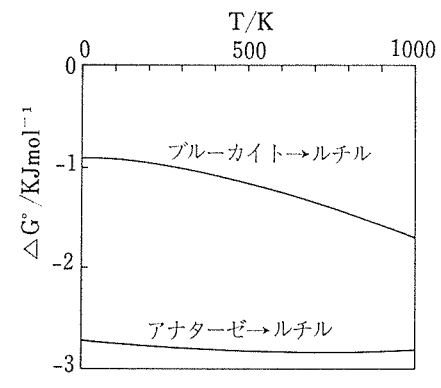


図 9 アナターゼ及びブルーカイトの転移の自由エ ネルギー

て準安定相で、更に、ブルーカイトはアナターゼに対しては熱力学的に安定であることが明らかになった。 AG^0 の文献値は、ブルーカイト→ルチルに対しては発表されていない。一方、アナターゼ→ルチルに対して、JANAF Tables では、 $AG^0_{208}=-31.~1 {\rm kJ}~{\rm mol}^{-1}$ (第 1 版) 10)、 $-11.~8~{\rm kJ}~{\rm mol}^{-1}$ (第 2版) 12)、 $-6.~1 {\rm kJmol}^{-1}$ (補充版) 14 のように、各版ごとに全く異なる値を示している。これは、この Tables で採用した AH^0 の実測値の信頼性が乏しいことによっているが、既に、(3.2.2) で議論したように、我々の求めた AH^0 のデータの信頼性はかなり高く、したがって、

表 5 アナターゼ→ルチル(I)及びブルーカイト→ルチル(II)転移の熱力学データ

T/K	$\Delta H^0/1$	¢Jmol⁻¹	<i>∆S</i> ⁰/Jm	ol ⁻¹ k ⁻¹	<i>∆G</i> ⁰/kJı	mol ⁻¹
	I	Π	I	II	I	Π
0	-2.7	-0.9	0	0	-2.7	-0.9
298	-2.7	-0.7	0.38	1.07	-2.8	-1.0
971	-3.3	-0.7	-0.52	0.99	-2.8	-1.7

表6 TiO2 多形のマーデルングエネルギー

	陽イオン	陰イオン	陰イオン	i	マーデル
	サイトポ	サイトポ	サイトポ	マーデル	
		テンシャ	テンシャ	ング定数	
monora and a children control and a distribution to a sec-	$\phi_{\rm C}/V$	ϕ_{AI}/V	$\phi_{\Lambda\Pi}/V$	М	$U_{\rm M}/K Jmol^{-1}$
ルチル	44730	25880		4. 802	-13630
アナター ゼ	-44356	26475		4. 788	-13670
ブルーカ イト	-44514	25913	26200	4. 804	-13620
TiO ₂ II	-45116	25702		4.814	-13670

4G の信頼性も、従来のデータと比較して、十分高いものと評価される.

 TiO_2 多形の凝集エネルギーU を Born-Harber サイクルにより、熱化学データから求めた.

$$U = 4H_f^0 - L - D + 2A - I_4$$

ここで、 $\Delta H_{\rm f}^0$ は各多形の生成熱で、 $\Delta H_{\rm f,R}^0+\Delta H^0$ ($\Delta H_{\rm f,R}^0$ はルチルの生成熱で $-939.9~{\rm kJ~mol^{-1}})^{14}$ で表わされる。また、Lは ${\rm Ti}$ 金属の蒸発熱で、 $422.6~{\rm kJmol^{-1}}$ 、Dは ${\rm O_2}$ 気体の解離エネルギーで $490.4~{\rm kJmol^{-1}}$ 、Aは酸素原子の電子親和力で $-707.1~{\rm kJ~mol^{-1}}$ 、そして ${\rm I}$ は ${\rm Ti}$ 金属の最初の四つのイオン化ポテシャルの和で $8786.4~{\rm kJmol^{-1}}$ と報告されている。これらの結果は表7に示されている。

一方,Borh-Mayer モデルによるイオン結晶の 凝集エネルギーは,マーデルングエネルギーを $U_M = NMz^2e^2/10^7r_0$,反発エネルギーを $U_R =$ aNe $^{-r/\rho}$ (a、 ρ :定数)で示せば,次式で計算される.

$$U = U_M + U_R$$
=\frac{NMz^2e^2}{10^7r_0} (1 - \rho/r_0) \qquad \dots (9)

ここで、N (アボガドロ数)=9,023× 10^{23} ,z (陽 イオンと陰イオンの電荷の最大公約数)=2,e(電

表7 TiO₂ 多形の凝集エネルギーの実験値と理論 値の比較

	凝集エネギ * 実験値/ kJ mol ⁻¹	ラメータ ー	ルギー** 理論値/	共有結合に 関するパラ メーター ****
ルチル	-12021	0. 2140	-10710	10.9
アナターゼ	-12018	0. 2371	-10430	13. 2
ブルーカイト	-12020	0. 2210	-10610	11.7
${ m TiO_2~II}$	-12018***	0. 2094	-10800	10.1

- * Born-Haberサイクルから求めた実験値,
- ** 単純なBorn-Mayer モデルから計算した理論値
- *** ⊿H°_{Ⅱ→R}の値は文献(6)から引用した.

**** 凝集エネルギーの実験値と理論 値との差を実 験値で割った値を示す.

子の電荷)= $4,803\times10^{-10}$ cm $^{3/2}g^{1/2}S^{-1}$, r_0 は陽イオン間の平衡距離である. TiO_2 の場合, それぞれの Ti とその周囲に配位している 6 個の 0 との平均距離をとった. $r_0=1,959$ Å (ルチル $)^{35}$, 1,946 Å (アナターゼ $)^{36}$, 1,960 Å (ブルーカイト $)^{37}$, 及び. 1,957 Å (Ti O_2 II $)^{38}$). 表 6 に,各多形の各サイトのポテンシャルとマーデルング定数 M 及びマーデルング エネルギーを示した. 次に, ρ/r_0 は次式で示される 39).

$$\rho/r_0 = \frac{Mz^2e^2/r_0}{9V/C + 2Mz^2e^2/r_0} \cdots (10)$$

Vは 1 分子当たりの体積で31. $22\times10^{-24} \mathrm{cm}^3$ (ルチル), $34.07\times10^{-24} \mathrm{cm}^3$ (アナターゼ), $32.17\times10^{-24} \mathrm{cm}^3$ (ブルーカイト) 及び30. $65\times10^{-24} \mathrm{cm}^3$ (TiO₂ II) である. β は圧縮率で,実測値として, $4.647\times10^{-13} \mathrm{cm}^2$ /dyn (ルチル), $6.09\times10^{-13} \mathrm{cm}^2$ /dyn (アナターゼ) が与えられているが,ブルーカイトの実測値は報告されていない. Anderson & Nafe² は β と $2M/P\rho$ (M は分子量,P は 1 分子当りの原子数,d は密度)との間に,次式が成立することを示した.

$$\ln\beta = \ln(2M/Pd) + b$$
 …(1) 酸化物の場合、 $n=3$ 又は 4 であるが、 $n=3$ と仮定すると、ルチルのデータから、 $b=-\ln$ (4. 244 ×10¹⁵) が得られ、アナターゼの圧縮率の計算値は $6.03\times10^{-6} \mathrm{cm}^2/\mathrm{dyn}$ となり、実測値と良く一致する.したがって、これらの値を用いて、上式から β を計算すると、 $5.07\times10^{-13} \mathrm{cm}^2/\mathrm{dyn}$ (ブルーカイト)、 $4.38\times10^{-13} \mathrm{cm}^2/\mathrm{dyn}$ (TiO₂)が求められた.以上の値を用いて計算した ρ/r_0 と U

値のを表7に示した. ルチルの凝集エネルギーの 理論値として, -1016.3 kJ mol⁻¹ (Lennard-Jones $\xi \in \mathcal{T}(n)^{43}$, $-1147.3 \,\mathrm{kJ} \,\mathrm{mol}^{-1}$ (Born-Mayer モデル) 44 , -1233. 9 kJ mol $^{-1}$ (単純 Born-Mayer モデル)39)の値が報告されている. 理論値が一致しないのは、モデルによって斥力の 評価の方法が異なるためであるが、我々の計算値 は Lennard-Jones モデルによる文献値と Born-Mayer モデルによる文献値の中間的値を示した. どのモデルによる理論値が一番信頼性が高いかど うかに関しては簡単には評価できない. しかし, 同一モデルを適用するかぎり, 多形間の相対的変 化については信頼性が高いと考えられる. 結果と して、TiO2 の多形間の安定関係は、マーデルン グエネルギーからはアナターゼ, TiO2Ⅱ>ルチ ル>ブルーカイト, 斥力を考慮した凝集エネルギ ーの理論値からは、 $TiO_2 II >$ ルチル>ブルーカイ ト>アナターゼとなった. 凝集エネルギーの実験 値と理論値との差は, 共有結合に起因していると 考えられている. 単純に、その差を実験値で割った 値が共有性に比例するとするならば表7のような 値が得られる.この結果によれば,共有結合の程度 は、アナターゼ>ブルーカイト>ルチル TiO₂Ⅱ の順になった.一見,結晶構造からは,ブルーカ イトの方がアナターゼより複雑で共有性が高いよ うにみえるが,アナターゼは,四つの多形の中で, セル体積は一番大きいにもかかわらず, Ti の回 りに配位している酸素六面体の Ti-O 距離の平 均値は一番短く, 構造的にも a 軸, b 軸方向に規 則的な鎖構造が存在する. したがっ, アナターゼ の共有性が高いことは構造的にも矛盾していない と思われる. ブルーカイトの Ti-O 距離は 1.8 ~2.04Åで、多形の中で一番短い結合が存在す る. したがって、ローカルな共有性はブルーカイ トが一番大きいと考えられる.

酸素六面体の結合の様式 に おい て, 共有する edge の数は, ルチル及び $TiO_2II:2$, ブルーカイト:3, アナターゼ:4 であるの で, 相の安定 関係は, Pauling 則 45 から, ルチル, $TiO_2II>$ ブルーカイト>アナターゼの順になる.

Hasia⁴⁶⁾は分子軌道論に基ずいて、 $TiOe^{8-}$ 内の π 結合及び σ 結合の重なり度の大きさを計算し、安定関係はルチル>ブルーカイト>アナターゼの

順であることを推定している.

以上述べたように、ルチル、アナターゼ及びブルーカイトの安定関係は、熱力学的実験結果と理 論値結果とは良く一致した.

5.1.5 結論と今後に残された問題

(1) 結論

高純度アナターゼ及びブルーカイト試料の転移のエンタルピーを高温溶解熱法により、 $3Na_2O$ ・ $4M_0O_3$ を溶媒として 971 ± 2 K で測定し、次の結果を得た、ブルーカイト→ルチル転移に対して、 $\Delta H_{gr_1}^0=-0.7\pm0.4$ kJ mol^{-1} . アナターゼ→ルチル転して、 $\Delta H_{gr_1}^0=-3.3\pm0.8$ kJ mol^{-1} ,

高度ルチル単純結晶と高純度ブルーカイト試料の熱容量をレーザーフラッショ熱量計を用いて80 Kから1100 Kまで測定した. データの再現精度は $\pm 0.5 \sim \pm 1\%$ 以内で、ルチルのデータは JANAF Tables (1975) の値と700K 以下で $\pm 0.7\%$,700 \sim 1100 Kでは-0.3-0.7%以内で-致した. ブルーカイトのデータは室温以下ではルチルの値より小さく、特に180 \sim 240 Kの間では $1.5 \sim 3\%$ ほど小さい値を示した.

これらのデータから、転移の自由エネルギーとして、ブルーカイト→ルチル転移 に 対し、 AG°_{298} = -1.0kJ mol^{-1} 、アナターゼ→ルチル転移 に対し、 AG°_{298} = -2.8kJ mol^{-1} が得られ、全温度領域で、ルチルは安定相で、更に、ブルーカイトはアナターゼより熱力学的には安定であることが示された。単純 Born -Mayer モデルにより、各多形の凝集エネルギーが計算された。実験値と理論値は、高圧相を除いて、多形間の安定関係 に ついて、同じ結果を示した。

(2) 今後に残された問題

今後の課題としては、 AG° の決定精度をもっと上げることが望ましい。そのためには $A\Pi_{sol}$ の測定精度の向上と、Cp については、特にブルーカイトに関して極低温領域までの測定が望まれる。理論的には、化学結合力についてもっと深く考察する必要があるが、実験的に求められた多形間のわずかなコネルギー差を定量的に議論することはかなり困難と思われる。

参考文献

- Gmelin's Handbuch: Der Anorgamechen Chememie, System-Number 41, 226 (1951)
- R. D. Shonnon: AEC Accessior No. 35253,
 Rept. No. UCRL-11001, p. 1~97. (1964)
- F. Dachille, P. Y. Simons, and R. Roy: Am. Mineral, 53, 1929 (1968)
- 4) W. A. Deer, R. A. Howie, and J. Zussmon: Rock Formning Minerals" vol. 5, p. 42 (1965)
- 5) 桐山良一;"構造無機化学" 1 巻, p. 135 (1968)
- 6) 森山信男,砂川一郎,都域秋穗:"鉱物学",岩 波,(1975)
- A. Navrotsky and O. J. Kleppa: J. Am. Ceram Soc., 50, 626 (1967)
- R. A. Robie and D. K. Waldbaum: U. S. Geol. Surv Bull. 1529, p. 146 (1968)
- F. D. Rossini, P. A. Cowie, F. O. Ellison, and C. C. Browne: "Properties of Titanium Compounds and Relaled Substances", ONR Report ACR-17, Office of Naval Research Deportment of the Navy, p. 178 (1956)
- 10) D. S. Stull 編 "JANAF Thermochemical Tables" Dow Chemical, p. 351 (1965)
- J. L. Margrave and B. D. Kybett: Tech. Report No. AFMO-TR-65-123, 1965
- 12) D. S. Stull and H. Propht 編, "JANAF Thermochemical Tables", 第2版, NSRDS-NBS 37, p. 1053 (1971)
- 13) R. O. Schailinn ann B. W. Vink: Geoehim Cosmochim Acta, 31, 2399 (1967)
- 14) M. W. Chase, J. L. Curnett, H. Prophet. R. A. Macdonald, and A. N. Syverud: J. Phy. Chem. Ref. Data. 4, 146 (1975)
- C, N. Rao, S. R. Yoganrasimhan, and P. A. Feath: Trans, Farad Soc., 57, 504 (1961)
- A. Navrotsky, J. C. Jamieson and O. J. Kleppa: Science, 158, 388 (1967)
- 17) O. J. Kleppa: "Proceedings of the Nato Advanced Study Institute", John wiley & sons, 1369 (1976)
- 18) C. N. R. Rao: Can J. Chem., 39, 498 (1961)
- F. W. Vahldiek: J. Less.Common Metals, 11, 99 (1966)
- 20) T. Mitsuharshi and O. J. Kleppa: J. Am. Ceram Soc, (印刷中)

- 21) Y. S. Toaloukian and E. H. Buyco 編 "Thermophysicol Properties of Matter, vol. 5" PLENUM, p. 246 (1970)
- 22) 中住譲秀: セラミックス, 3, 731 (1968)
- 24) Y. Tokahashi, H. Yokokawa, H. Kadokura. Y. Sekine, and T. Mukaibo: J. Chem. Thermodynamcs, 印刷中
- 25) 三橋武文,高橋洋一: 窯業協会誌,(投稿中)
- D. A. Ditmars and T. B. Douglas: J. Research NBS, 75A, 401 (1971)
- 27) H, J, Macdonald and H. J. Seltz: J. Am. Chem. Soc, 61, 2405 (1939)
- 28) C. H. Shomate: J. Am. Chem Soc., 66, 218 (1947)
- J. S. Dugdale, J. A. Morrison and D. Patterson: Pro. Roy. Soc., A224, 228 (1954)
- P. H. Keesom and N. Pearlman: Phy. Rev,
 112, 800 (1958)
- 31) T. R. Sandin and P. H. Keesonr: Phy. Rev., 177, 1370 (1969)
- B. F. Naylor: J. Am. Chem. Soc., 68, 1077
 (1946)
- 33) J. S. Arthur: J. Appl. Phy., 21, 732 (1950)
- 34) J. Lietz: Hamburger Beitr, Angew, Mineral. Kristllphysik, 1, 229 (1956)
- 35) W. H. Baur: Acta Cryst., 9, 515 (1956)
- D. T. Cromer and K. Harrington: J. Amer. Chem. Soc., 77, 4708 (1955)
- 37) W. H. Baur: Acta Cryst., 14, 214 (1961)
- 38) P. Y. Simons and F. Dachille: Acta Cryst., **23**, 334 (1967)
- 39) M. F. Ladd: Acta Cryst., A25, 486 (1969)
- 40) F. Birch: J. Geophys Res., 65, 3855 (1960)
- 41) 山岡信男,大坂俊明:私信
- O. L. Anderson and J. E. Nafe: J. Geophys. Res., 70, 3951 (1965)
- 43) W. H. Baur: Acta Crst., 14, 209 (1961)
- 44) P. H. Wackman, W. M. Hirthe, and R. E. Frounfelker: J. Phy. Chem. Solids, 28, 1525 (1967)
- 45) L. Pauling: "The Nature of the chemical Bond", 3rd ed, Cornell University Press, p. 559 (1960)
- 46) Yu-ping Hasia: J. Chinese chem., Soc., 17, (1970)

5.2 アナターゼの相転移と不純物効果

5.2.1 緒 亩

純粋なアナターゼからルチルへの相転移に関す る研究は多くの人達により報告1-6)されている。ま た、この相転移に対する不純物効果の研究7~12)も 多い. 一般に多形相転移は新相の核形成とその成 長の過程で議論されている. アナターゼ相転移の 機構については酸素の格子欠損は転移を促進し格 子間チタンは抑制する重要な因子となっており, 雰囲気効果、不純物効果もこれらの要因に基づい て説明されている. 転移速度は試料の製造履歴の 相違による核形成律凍,成長律凍,界面反応律凍, Avrami モデル等に従うことが報告されている.

これらの速度式と出発試料のキャラクタリゼー ションとの相関性を確立しないと転移機構を論ず ることができない情勢にある.

筆者は不純物効果に興味をもち, 特に転移抑止 剤の反応は結晶表面での錯形成により核形成サイ トの安定化と密接に関係していると思われる. こ の表面錯形成反応は2.4章で述べるルチルの晶相 変化剤の不純物効果である表面反応とも密接な相 関性があるものと推定して研究を進めた.

5.2.2 実験方法

出発試料はチタン(IV)テトライソプロポキシド Ti[OCH(CH₃)₂]₄ を純水で加水分解処理 したも のと、0.1%H₂PO₄ 水溶液で加水分解処理して安 定化したものと2種類を調整した. いずれも生成 物はゲル状チタニヤ(TiO2·nH2O)であり、100℃ で24時間乾燥し、それによりアナターゼに結晶化 させて使用した. この段階で初生的にルチルが生 成することはない. したがって本実験は厳密には 非晶質→アナターゼ→ルチルの3段階の固相転移 であるが、TiO₂ ゲル→アナターゼ の結晶化につ いては本章の問題として取り扱わないことにす る. 以上のような処理過程で得られたアナターゼ は多量の脱水により、結晶化し、その結晶度は良 くないし,一般に微粒子である特徴を有する.

種々酸化物を添加した不純物効果の実験では純 水で加水分解処理して得たアナターゼを用いて. メノー鉢の中で不純物と摩砕混合した.

転移量の測定は粉末X線回折法でアナターゼと ルチルの最強線のピーク強度を測定して Spurr and Myers (1957)¹³⁾ の式から算出した.

5.2.3 純粋なアナターゼの相転移

純水で加水分解して調製したアナターゼを出発 試料に用いたルチルへの転移速度の測定結果を図 10に示す。図10の転移曲線の速度式を検討した結 果, Shannon and Pask (1965)が提唱し解析 した種々の 速度 式 よ り 次 の Avrami (1939, 1940)14) モデル式に最も 良く適合することが判明 した.

$$\alpha = 1 - e^{-bt^n} \qquad \cdots (12)$$

この速度式の解析は Suzuki and Tukuda(1969)6) の方法に従った. α は時間 t, 定数 b, n に対する 転移率である。(12)式を微分すると次のようにな る.

$$\frac{d\alpha}{dt} = nbt^{(n-1)}(1-\alpha) \qquad \cdots (13)$$

(12)式は

$$Ln(1-\alpha) = -bt^n \qquad \cdots (14)$$

$$Ln(1-\alpha) = -bt^n \qquad \cdots (14)$$

$$t = \left\{\frac{-Ln(1-\alpha)}{b}\right\}^{1/n} \qquad \cdots (15)$$

(13)式と(15)式から

この式で $k=nb^{1/n}$ であり、速度定数である. k を求めるために、(14)式を次式に書き直すことが できる.

 $Ln\{-Ln(1-\alpha)\}=Ln\ b+nLn\ t$ この式からbとnは $Ln\{-Ln(1-\alpha)\}$ 対 Lntで プロットした直線から求められる. 図11は測定値

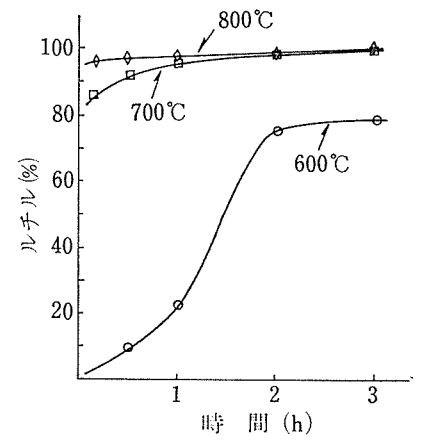


図10 純水なアナターゼの種々温度においてルチ ルへの時間に対する転移量

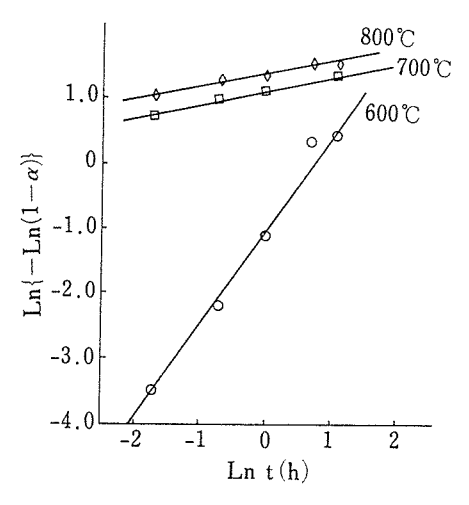


図11 図10の $Ln\{-Ln(1-\alpha)\}$ 対 Lnt の相関性

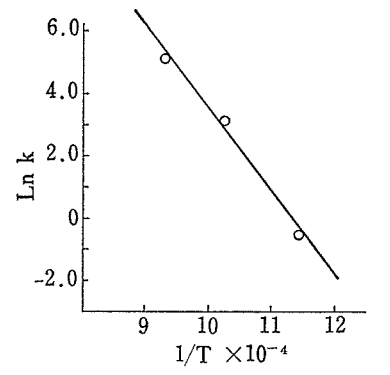


図12 図11のArrhenius プロット

が仰式によく適合することを示している。図11か ら求めた、n, b, k の各定数値を表8に示す. Avrami モデルの中で無拡散転移(実際には拡散 も伴うが)を仮定すればりは温度、粒形、成長速 度, 核形成頻度等に依存し, n は新相の核形成に 対する様式により異なり、5以下の種々な値をと るとされている。表8で示すn値の変動は温度に より非常に大きいが、これは出発試料の結晶度が 悪く、かつ微粒子のために反応活性であることと 関係があり、少なくとも核形成の挙動が温度によ り変っているものと推定される. $b \ge k$ も温度の 上昇で大きく変動し、その値自体が Suzuki and Tukuda⁶⁾ の硫酸チタン及び塩化チタンの加水分 解で調製したアナターゼの結果よりも大きいし, 次に述べる 0.1% H₃PO₄ 水溶液で調製したアナ ターゼと比較すると少なくとも速度定数が著しく 大きい. 速度定数には前述のように $n \ge b$ の両因 子が関与するが、n < 0.5 の場合の解析例がなく

表8 純水なアナターゼールチル転移で求めた諸 定数と活性化エネルギー

試料調製	定数	温	度(*	C)	$\frac{E}{(k \text{ cal}/}$
此个中间发	上奴	600	700	800	mol
Ti[OCH(CH ₃) ₂		1.41	0. 24	0. 20	
を純水で加水解したアナタ	分 b	0.273	3.00	3.90	53.6
ゼ	$k(t^{-1})$	0.56	22. 34	164.8	

その内容が不明のために速度定数解析の詳しい議論はできない。Ln k対1/T の相関性として Arrhenius プロットを図12に示す。この直線の勾配から求めた活性化エネルギーは 53.6 kcal/molで,一般的に知られているアナターゼの値の約1/2である。この原因は,従来測定されたアナターゼ試料と異なり,安定化に関与する不純物を含有せず,純粋なゲルから出発した微粒子でありかつ,多量の脱水過程により調製した製造履歴の特徴と密接な関係がありそうだ。

結局,n,b,kの定数の特異な挙動も出発試料の調製の特徴としてみることもできる。この点は今後の研究に待たねばならない。

5. 2. 4 不純物を添加 した アナターゼの相転移(1) H₃PO₄

 $0.1\%H_3PO_4$ 水溶液で加水分解して調製したアナターゼを出発試料に用いたルチルへの転移速度の測定結果を図13に示す.この速度式も Avrami モデル式に適合するのでそれを図14(a)に示す.図14(a)から求めた温度に 対 す る 諸定数を表 9 に示す.更に Ln_k と 1/T の Arrhenius 相関性を図14(b)に示す.図14(b)に示す.図14(b)の直線性から求めた活性化

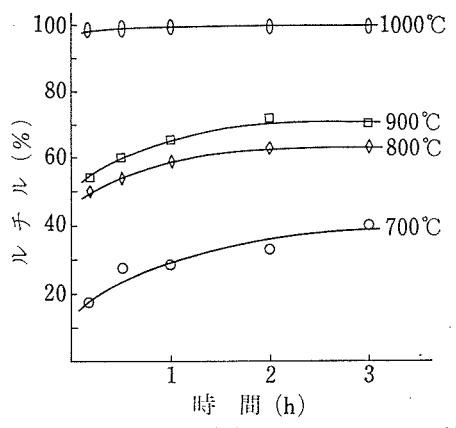
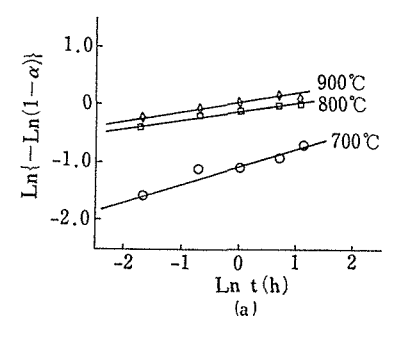


図13 0.1% H_3 PO $_4$ で安定化したアナターゼの種々 温度においてルチルへの時間に対する転移量



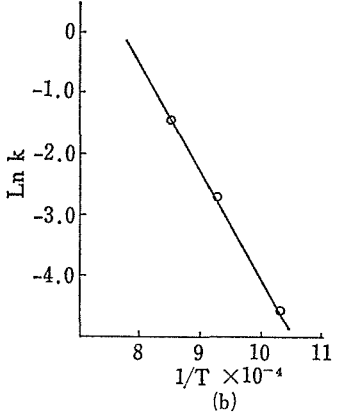


図14 図13の $Ln\{-Ln(1-\alpha)\}$ 対 Lnt の相関性 (a)と Arrheniusプロット(b)

表 9 0.1% H₃PO₄ を添加したアナターゼールチル 転移で求めた諸定性と活性化エネルギー

試 料 調	製	定数	<u>温</u> 700	<u>度</u> 800	900 900	(kcal/mol)
Ti[OCH(CH 0.1%H₃PO₄ で加水分解 l ターゼ	水溶液したア	<i>b</i>	0. 31 0. 340 0. 0096	0.887	1.051	35. 2

エネルギーは $35.2 \, \mathrm{kcal/mol}$ で非常に小さい.表 $2 \, \mathrm{opr}$ で示す諸定数を表 $8 \, \mathrm{om}$ やなアナターゼと比較すると大きな相違がある.安定化されたアナターゼのn は大きな変動を示さない.b も変動が小さくその値もまた小さい.k も絶体値が小さい値を示す.要するにこれらの定数の中でもn 値が極めて小さいのは大きな特徴である.

また、活性エネルギーが小さいことは多分核形成サイトの数が安定化されて著しく少ないためであろう。一方、アナターゼの H_3PO_4 での安定化は粒子表面に PO_4 基が配位するためであることを2章で明らかにしているので、Avrami モデル

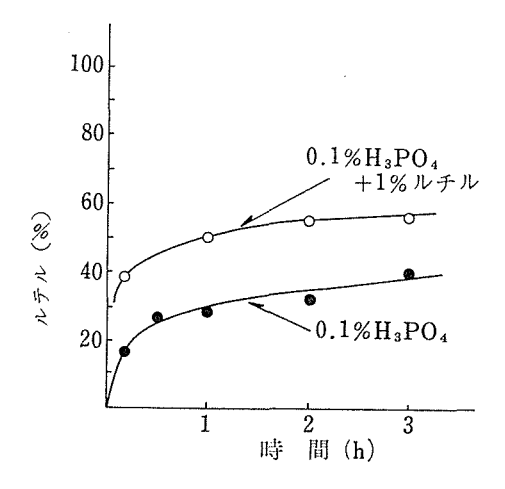


図15 700℃における 0.1 % H₃PO₄ で安定化したアナ ターゼとさらに 1 % ルチルの種子を 添加 した 場合の転移量の比較

で説明できる転移現象も諸定数が表面の安定化で 著しく影響を受けていることになる. これらの結 果,表面状態の重要性を特に強調することができ る.

図15 に700℃において1%のルチルを更に添加して種子効果を検討した結果を示しているが、転移量は約2倍増大した.これも表面にルチル粒子が接合することにより安定化剤の吸着を排除すると共に直接ルチル相の拡散に寄与するためで、表面状態の重要性を示すことになる.

(2) MO₆ 八面体型不純物の添加効果

アナターゼ→ルチル相転移現象に対する不純物効果は転移を促進する効果と抑制する効果が知られている.表10に Mackenzie $(1975)^9$)の硫酸チタンの加水分解により作成したアナターゼに添加した場合の種々不純物の転移に対する影響を示している.この表から MoO_3 を除くと Ti よりも低原子価の金属酸化物であり、純粋なアナターゼと比較して Al_2O_3 を除けば転移を促進している. 転移抑制剤としては陰イオン $(NO_3^-, CI^-, SO_4^-, F^-, PO_4^+)$ と Ti^{4+} よりも高原子価の若干の金属酸化物が知られている 70,113,120 .

表11に6配位八面体構造を示す種々酸化物の転移に対する添加効果を示している.この結果,測定法にも若干問題があり,MoO₃のように低温で観測すれば抑制剤,高温では促進剤としての挙動を示している.図16にこれら酸化物添加に対する

表10 アナターゼ→ルチル転移の不純物効果 (Mackenzie(1975)⁹⁾

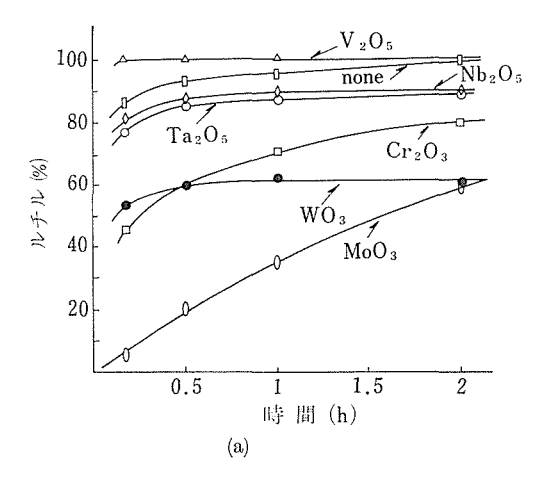
	1000℃, 0.	25 h
不 純 物 (1モル%添加)	アナターゼ%	ルチル%
LiF	0	100
Li_2CO_3	0	100
CuO	0	100
MnO_2	4.6	95.4
CdO	8.5	91.5
$\mathrm{Fe_2O_3}$	9. 2	90.8
CoO	9.8	90. 2
ZnO	11.8	88. 2
NaF	14.4	85.6
PbO	48.6	51.4
$\mathrm{Bi}_2\mathrm{O}_3$	50.5	49.5
MoO_3	69. 4	30.6
Na_2CO_3	74.6	25.4
Cr_2O_3	90. 9	9.1
NiO	91.7	8. 1
$\mathrm{Al_2O_3}$	100	0
none	100	0

表11 アナターゼ→ルチル相転移の不純物効果

不純物	700℃ 3	0分(2時間)	800℃	30分
(添加)	アナター ゼ(%)	ルチル(%)	アナター ゼ(%)	ルチル(%)
MoO ₃	80(41)	20(59)	0	100
WO_3	40(40)	60(60)	40	60
Cr_2O_3	40(21)	60(79)	4	96
Ta_2O_5	16(10)	(4(90)	2	98
$\mathrm{Nb_2O_5}$	14(11)	86(89)	6	94
V_2O_{\S}	0(0)	100(100)	0	100
none	7(0)	93(100)	0	100

表12 MO₆ 八面体型不純物の諸性質

不純物	イオン半径(A)	$Z/(r_c+r_a)^2$	電気陰性度
MoO ₃	0.60	1. 58	1.30
WO_3	0. 58	1.61	1.40
Cr_2O_3	0.62	0.75	1.56
${\rm Ta_2O_5}$	0.64	1. 26	1. 33
$\mathrm{Nb_2O_5}$	0.64	1. 26	1. 23
V_2O_5	0. 54	1.45	1.45
${ m TiO_2}$	0.61	1.04	1.32



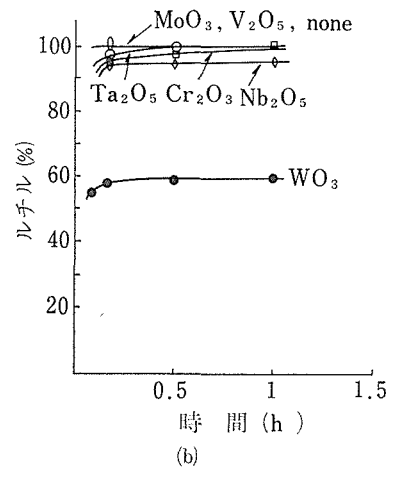


図16 6配位八面体型構造を示す種々酸化物を添加した場合のアナターゼ→ルチル転移量の 比較;(a):700℃,(b):800℃

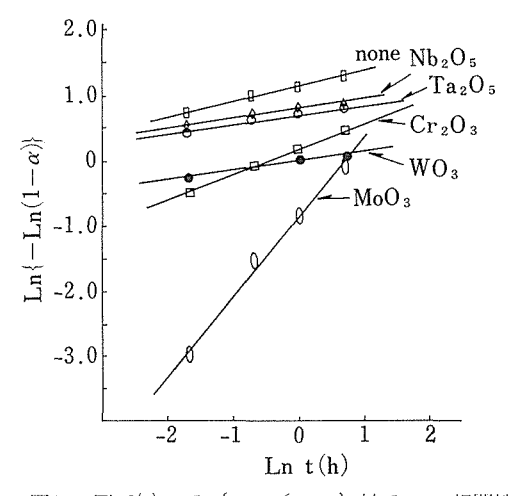


図17 図16(a)の $Ln\{-Ln(1-\alpha\}$ 対 Ln tの相関性

転移速度の測定結果を示している。 MoO_3 は特異的であるが、 800° の結果の図16(a) からみると、 V_2O_5 、 MoO_3 は促進剤、 WO_3 、 Nb_2O_5 、 Cr_2O_3 、 Ta_2O_5 は相対的に抑制剤としての作用効果を示している。特に WO_3 の抑制効果は顕著で 900° でもはとんど変化しない。図16(a)の転移速度曲線の速度式を検討した結果も図17に示すように Avrami モデル式に良く適合することがわかる。これらの直線の勾配の相違は種々なn 値を示すことにな転移への影響の相違を意味する。

これらの6配位八面体構造の共通した金属酸化 物の中で転移に与える影響の相違はどこにあるの だろうか、表12にこれら不純物陽イオンのイオン 半径、イオン陽の強さ、不純物の電気陰性度の値 をTiO₂と比較しているが、ほとんど変化がない のでこれらの因子で説明することはできない. 転 移の促進剤の V₂O₅, MoO₃ と抑制剤の WO₃, Ta₂ O₅, Nb₂O₅ との相違は 2.4章で詳細に考察してい るように八面体の結合様式の大きな相違がある. 結局、ルチルの晶相変化剤と同じ概念で説明でき そうである. 稜共有性の強い母晶の TiO6 八面体 の結合様式と異なり, 頂点共有性の強い八面体化 学種(WO₃, Nb₂O₅, Ta₂O₅ 等)が表面に吸着さ れて TiO₆ と錯体層を形成することが転移の抑制 効果となっている.表面を安定化して核形成サイ トを安定化している. Cr₂O₃ が転移を抑制してい るが、Al2O3 と同様にコランダム構造で共通する ことは注目に値する.

5.2.5 結論及び今後に残された問題

(1) 結論

(1) チタン(iv)テトライソプロポキシドを純水で加水分解して調製したアナターゼ及び 0.1% $H_{3}PO_{4}$ 水溶液で加水分解して得たアナターゼのルチルへの相転移を調べた結果、いずれも 反 応 速度式は Avrami モデル式に最も良く適合する. 純水なアナターゼの転移の活性化エネルギーは 53.6 kcal/mol, $H_{3}PO_{4}$ で安定化した アナターゼの それは 35.2 kcal/mol であった. 両活性化エネルギーは 文献値と比較して小さいが、前者は脱水による結晶化と微粒子に基づく高い反応性と後者は表面安定化による核発性サイトの減少に起因しているものと推定される.

(ロ) 6配位八面体型構造を示す金属酸化物のアナ

ターゼ→ルチル転移に対する不純物効果は V_2O_5 , MoO_3 が促進効果, WO_3 , Nb_2O_5 , Ta_2O_5 , Cr_2O_3 は抑制効果を示し、これらの両効果の相違は化学種の八面体の結合様式の相違がアナターゼ表面で吸着様式の差、換言すれば安定化の差違に基因するものと考察される.

(2) 今後に残された問題

転移の速度式だけから反応律速を決定し難いので核形成と新相の成長に関する要因を別個に検討する必要がある.少なくとも新相ドメインの成長はX線的及び電子顕微鏡観察等種々な方法があり確かな情報が得られるであろう.

不純物効果はアナターゼの表面での吸着機構と 密接に関係しており、確かな表面情報を得ること 更に表面及び内部の格子欠陥、転位、固溶状態 などの情報との関係を明らかにする必要がある.

参考文献

- A. W. Czanderna, C. N. R. RaO and J. M. Hong: J. M. Trans. Farad. Soc., 54 1069 (1958)
- W. F. Sullivan and S. S. Cole: J. Amer. Chem. Soc., 42 127 (1959)
- 3) C. N. R. RaO: Can. J. Chem., 39 498 (1961)
- 4) Yoganarasimhan, S. R. and C. N. R. RaO: Trans. Farad. Soc. 58 1579 (1962)
- R. D. Shannon and J. A. Pask: J. Amer. Ceram. Soc., 48 391 (1965)
- A. Suzuki and R. Tukuda: Bull. Chem. Soc. Japan, 42 1853 (1969)
- Y. Iida and S. Ozaki: J. Amer. Ceram. Soc. 44 120 (1961)
- 8) E. F. Heald and C. W. Weiss: Am. Miner., 57 10 (1972)
- K. J. D. Mackenzie: Trans. J. Brit. Ceram. Soc., 74 29 (1975)
- 10) M. J. D. Mackenzie: ibid, 74 77 (1975)
- 11) 陶山容子・加藤昭夫: 窯協誌, 86 119 (1978)
- 12) 菱田俊一, 高田雅介, 柳田博明: 窯協誌, **86** 631 (1978)
- 13) R. A. Spurr and H. Myers: Anal. Chem., 29 760 (1957)
- 14) M. Avrami: J. Chem. Phys., 7 1103 (1939); ibid 8 212 (1940)

無機材質研究所研究報告書 第19号

- 15) H. Knoll and U. Kuhnhold: Naturwissenschaften, 44 394 (1957)
- C. N. R. RaO, A. Turner and J. M. Honing:
 J. Phys. Chem. Solids, 11 173 (1959)

6. TiO₂ 物性に関する研究

6.1 アナターゼの分光学的性質

6.1.1 緒言

二酸化チタンの三つの多形のうちその物性が最 もよく調べられているのはルチルである. ルチル の物性の中でも特に興味あるのは格子の振動モー ドと圧力相転移、誘電特性との関連である. ルチ ルは26kbar以上で圧力相転移を示すことが高圧 ラマンスペクトルで観測されているが、この転移 に際し、圧力に対してソフト化するラマン活性モ ードが重要な役割を果たしていることが指摘され ている. またルチルは簡単な構造でかつ二原子か らなる強誘電体でない酸化物のなかでは恐らく最 も大きい誘電率をもち、その温度変化も通常の酸 化物に比べ大きい. 室温で軸方向の誘電率は 167 で、4℃では251となり約50%も増大する.この大 きい誘電率・温度変化は赤外活性な A2u モードに 起因しているといわれ、これはチタン酸バリウム のようなペロブスカイト型構造の物質におけるソ フトモードと強誘電性との関連に類似した議論が なされている.

一方他の多形であるアナターゼ,ブルーカイトに関する物性的研究は,測定に要する大きさをもった結晶の合成が困難であるという理由もあってほとんどなされていない.ここでは手始めにアナターゼのラマンスペクトル,その圧力・温度変化,高圧X線回折等を測定することによって,アナターゼの結合力,圧力相転移,ポテシャルの非調和性等に関する研究を行った.以下にその結果を述べる.

6.1.2 アナターゼのラマンスペクトル

(1) スペクトルの説明

アナターゼは図1に示されるように体心の正方 晶で、チタンイオンは各々6個の酸素からなる歪 んだ八面体の中心に位置している。チタンイオン が酸素八面体の中心にあるのは他の二酸化チタン においても同様である。アナターゼの空間群は D% (I41/amd) で、その単位 胞は 6 個の原子 $(2\times TiO_2)$ を含み,因子群解析の結果によれば六つのラマン活性なモード($A_{1g}+2B_{1g}+3E_g$)と三つの 赤 外 活 性 な モード($A_{1u}+2E_u$)が存在する $^{1,2)}$. この六つのラマン活性なモードはそれぞれ次のような分極率テンソル $^{3)}$ をもつ.

$$\alpha(A_{1g}) = \begin{cases} a & 0 & 0 \\ 0 & a & 0 \\ 0 & 0 & b \end{cases} \\
\alpha(B_{1g}) = \begin{cases} c & 0 & 0 \\ 0 & -c & 0 \\ 0 & 0 & 0 \end{cases} \\
\alpha(E_{g}) = \begin{cases} 0 & 0 & d \\ 0 & 0 & d \\ d & d & 0 \end{cases}$$

したがって、今c 軸方向をz 軸にとると A_{1g} モードは α_{ZZ} 、 $\alpha_{XX}+\alpha_{YY}$ 、 B_{1g} モードは $\alpha_{XX}-\alpha_{YY}$ 、 E_{g} モードは α_{YZ} 、 α_{ZX} の偏光条件のもとでラマンスペクトルを観測すればお互いに一義的に同定されるはずである.

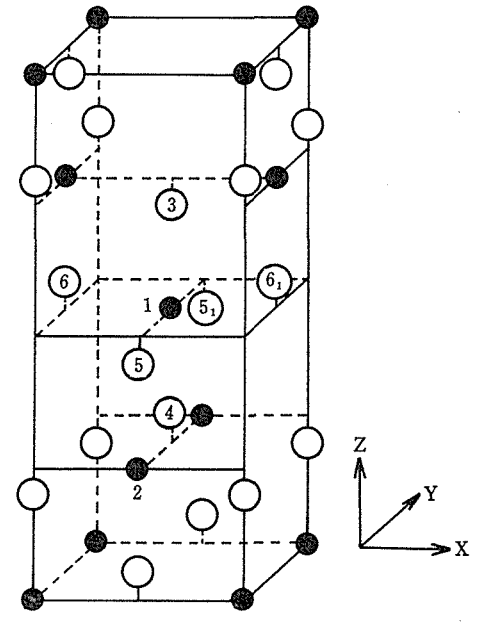


図1 アナターゼの結晶構造. 黒丸はチタン, 白丸は酸素を表わす. 原子につけた番号は本文で使用される.

そのような偏光ラマンスペクトルを図2,3に 示す. 図 2の α_{XZ} スペクトル(a) において 639, 197, 144cm⁻¹ にピークを示す三つのラマン線は 前述したことにより E_q モードに同定される. 図 2, (b)の α_{XX} スペクトルでは一つの A_{1g} と二つ の B_{1g} モードが観測されるはずであるが、この図 では二つのラマン線 516cm⁻¹, 399cm⁻¹ しか観測 されていない. 同図で 144cm-1 のラマン線は上 に述べた E_g モードで本来 α_{XX} スペクトルには 現われないはずのものであるが、 その線が非常に 強いために現われているものであり,また他のい くつかの弱いラマン帯は結合バンドによるもので ある. ところで図3の点線で示されるスペクトル は, 室温で 516cm⁻¹ のラマン線の低温 (73°K) におけるスペクトルであるが、そこに見られるよ うに低温で二つのピークに分裂して観測されてい る. この二つのピークのうち α_{ZZ} スペクトルに おいてもピークを示せばそれが Aig モードと一 義的に同定されるのであるが、残念ながら同図の (c)に示されるようにその条件下でははっきりした ピークを示さない. したがって, A_{1g} 及び B_{1g} モ ードの一つを実験的に同定することができない. 399cm^{-1} のラマン線は B_{1g} モードの 一つに同定 される.

(2) 考察

ラマンや赤外スペクトルはその物質の結合状態 を反映し、イオン間の結合力や結晶のイオン性等 に関する情報を与える.酸化チタンのようなイオ ン結晶ではその格子力学的計算においては通常 2 種類の相互作用すなわち、隣接イオン間の短距離 力と長距離力のクーロン相互作用を考慮してなさ れる. 長距離力のイオン間のクーロン相互作用は 赤外活性なモードにおいては本質的に重要で、モ ードを横光学(TO)モードと縦光学(LO)モー ドとに分裂させる. TO 及び LO モードの振動数 は通常赤外反射スペクトルの解析あるいは中性子 非弾性散乱の実験により決定される. 現在のとこ ろアナターゼの場合, そのいずれの測定もなされ ておらず,従って赤外活性なモードのTO, LOの 振動数は知られていない. 上に得られた六つのラ マン線の振動数のみではイオン間クーロン相互作 用をも考慮した格子力学的計算はできないので, ここでは短距離力のみを考慮した解析を試みる.

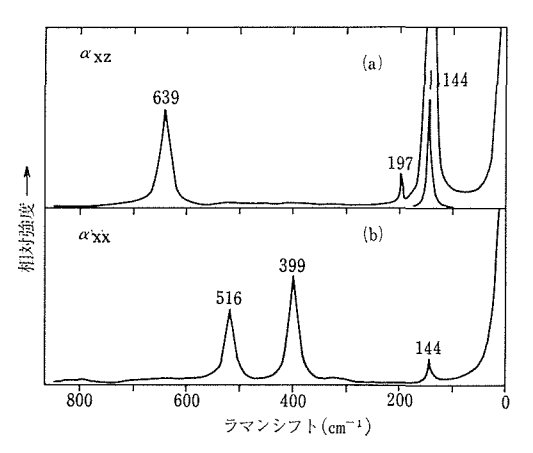


図 2 アナターゼのラマンスベクトル. (a) α_{XZ} スペクトルで,三つの E_g モードが 639,197,144cm $^{-1}$ にみられる. (b) α_{XX} スペクトルで516cm $^{-1}$ のラマン線は A_{1g} モードと二つの B_{1g} モードのうちの一つのモードとからなるダブレット(図 3 参照),399cm $^{-1}$ は他の B_{1g} モードである.

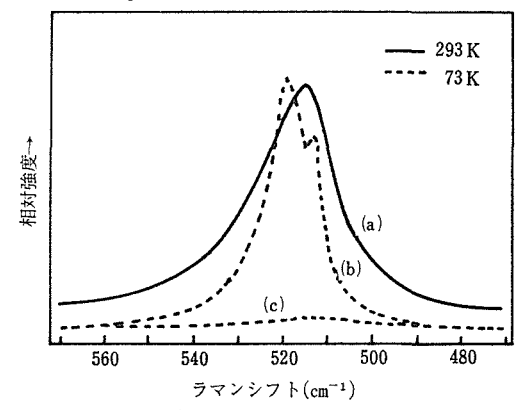


図3 \sim 516cm $^{-1}$ のダブレットの 詳細図. 実線は 室温(a), 点線 は 低温(73°K)でのスペクト ル(b). ダブレットは低温で分離 して 観測さ れている. (c)は α_{ZZ} スペクトルであるが A_{1g} モードに対応するラマン線はみられない.

短距離相互作用として原子価力場型のポテンシャルをとり、これに最近接酸素間に中心力相互作用を考慮し、調和近似で次のようなポテンシャルエネルギーを仮定する。

$$2V = \sum_{i} K_{1} (\Delta l_{i})^{2} + \sum_{i} K_{2} (\Delta r_{i})^{2} + \sum_{i} H_{1} (\Delta \alpha_{i})^{2}$$
 $+ \sum_{i} H_{2} (\Delta \beta_{i})^{2}$ $+ \sum_{i} H_{3} (\Delta \gamma_{i})^{2} + \sum_{i} H_{4} (\Delta \lambda_{i})^{2} + \sum_{i} f(\Delta q_{i})^{2}$ ここで、 K_{1} 、 K_{2} は Ti—O間の伸縮に対する力の

定数で、それぞれ 図 1 を参照しながら例えば Ti (1)—O(6) 及び Ti(1)—O(3) 間のに対応する。 H_1 , H_2 , H_3 , H_4 は変角に対する力の定数で、それぞれ例えばO(3)—Ti(1)—O(6), O(4)—Ti(1)—O(6), O(6)—Ti(1)—O(6), O(6)—Ti(1)— $O(6_1)$ 間のに対応する。またf は最近接酸素間例えば O(3)—O(6) 間相互作用の力の定数である。このポテシャルと表 1 に与えられている直交対称座標を用い、GF-行列法 $^{4-6}$ によってブリルアン帯の中心 (k=0) における振動の永年方程式を導いた。

振動数の計算の際、ラマン線が正しく同定され ている必要があるが, 前述したようにアナターゼ の場合 A_{1g} モードの、したがって B_{1g} モードの同 定が実験的にはっきり決定されていなかった. こ こでは考えられる二つの場合の計算を行い振動数 の計算値と実測値がより良く合う方に同定され、 力の定数も決定された. 最終的な振動数の計算結 果と実測値が表2に、その時の力の定数が表3に 与えられている. 表 2 に見られるように振動数の 計算値と実測値とは非常に良く一致している. 同 表で513cm $^{-1}$ のラマン線を A_{1g} モードに,したが って 519cm $^{-1}$ を B_{1g} モードに同定したのは、こ の逆の場合よりも一致性が良かったからである. 最初ポテシャルでは七つの力の定数がとられたが 結果として K1 と K2 は等しく(表 3 に は K とし て記してある)、またfはゼロとしても十分よい 結果を与えた.

アナターゼのようなイオン結晶に対して仮定されたポテンシャルが必らずしも適切なものではないにもかかわらず、振動数の計算値と実測値とは良い一致を示している. また表 2には計算値として赤外活性なモードの振動数(TOのみ)も与えられているが、もしこれらのモードの振動数が実測されれば計算値とはだいぶ異なる値が得られるであろう. なぜならば前述した赤外活性なモードにおいては長距離力のクーロン相互作用が本質的に重要な働きをし、それを無視することができないからである.

上述したように適切なモデル計算ではないけれども上に得られた力の定数はよくアナターゼの結合特性を反映している。 例えば、Ti-O の伸縮に対する力の定数 K_1 と K_2 が等しいということ

表1 アナターゼの直交対称座標

A_{1g}	$S_1 = [Z_3 - Z_4 + Z_5 - Z_6]/2$
B_{1g}	$S_1 = [Z_1 - Z_2 + Z_3 + Z_4 - Z_5 - Z_6]/\sqrt{6}$
	$S_2 = [2Z_1 - 2Z_2 - Z_3 - Z_4 + Z_5 + Z_6]/2\sqrt{3}$
A_{2u}	$S_1 = [Z_1 + Z_2 + Z_3 + Z_4 + Z_5 + Z_6]/\sqrt{6}$
	$S_2 = [2Z_1 + 2Z_2 - Z_3 - Z_4 - Z_5 - Z_6]/2\sqrt{3}$
B_{2u}	$S_1 = [Z_3 - Z_4 - Z_5 + Z_6]/2$
E_g	$S_1 = [Z_3 - X_4 + X_5 - X_6]/2$
	$S_2 = [X_1 - X_2 + X_3 + X_4 - X_5 - X_6]/\sqrt{6}$
	$S_3 = [2X_1 - 2X_2 - X_3 - X_4 + X_5 + X_6]/2\sqrt{3}$
	$S_1' = [Y_3 - Y_4 + Y_5 - Y_6]/2$
	$S_2' = [Y_1 - Y_2 + Y_3 + Y_4 - Y_5 - Y_6]/\sqrt{6}$
	$S_3' = 2Y_1 - 2Y_2 - Y_3 - Y_4 + Y_5 + Y_6]/2\sqrt{3}$
E_u	$S_1 = [X_1 + X_2 + X_3 + X_4 + X_5 + X_6]/\sqrt{6}$
	$S_2 = [2X_1 + 2X_2 - X_3 - X_4 - X_5 - X_6]/2\sqrt{3}$
	$S_3 = [X_3 - X_4 - X_5 + X_6]/2$
	$S_1' = [Y_1 + Y_2 + Y_3 + Y_4 + Y_5 + Y_6]/\sqrt{6}$
	$S_2' = [2Y_1 + 2Y_2 - Y_3 - Y_4 - Y_5 - Y_6]/2\sqrt{3}$
	$S_3' = [Y_3 - Y_4 - Y_5 - Y_6]/2$
	18 1 3 11 11 11 11 11 11 11 11 11 11 11 11

表 2 アナターゼのラマン線の振動数の実測値 (cm⁻¹), 計算値(cm⁻¹)及びその同定

	実測値 (vobs, cm ⁻¹)(計算値 (vca <i>l</i> , cm ⁻¹)	同 定
ν_1	639	640	E_g
ν_2	519ª	519	B_{1g}
ν_3	513ª	507	A_{1g}
ν_4	399	400	B_{1g}
ν_5	197	197	E_g
ν_6	144	144	E_g
ν,		654	$A_{2u}(\mathrm{TO})$
ν_8		643	$E_u(\mathrm{TO})$
ν_{9}		507	B_{2u}
ν_{10}	_	169	$E_u(\mathrm{TO})$

^a73Kでの値

表 3 アナターゼの力の定数 (mdyneÅ⁻¹). 記号の意味は本文を参照。

K	H_1/lr	H_2/lr	H_3/l^2	H_4/r^2
1.41	0. 151	0.083	0.014	0.109

は、距離 Ti(1)—O(3)(1.964Å) と Ti(1)—O(6)(1.937Å) がほぼ等しいことから自然であり、また H_1 の値が比較的大きいのは O(3)—O(6) 間の相互作用が大きいことを意味しており、これは

O(3) -O(6)間の距離(2.43Å)が酸素イオン半径の 2倍(2.80Å)よりかなり小さいことを反映している。一方 H_3 の小 さい値は最低振動数(144cm $^{-1}$)の ν_6 モードに主として依存していることによるが、これは酸素間距離、例えばO(5) -O(6) が大きく、したがってそれらの間の相互作用が弱いということを反映している。

表 3 に与えられている五つの力の定数を用い、GF一行列法 $^{6)}$ により計算 した 振動の光学的モードの形を図 4 に示す.この図で $\nu_1(E_g)$ 、 $\nu_2(B_{1g})$ 、 $\nu_3(A_{1g})$ 、 $\nu_7(A_{2u})$ 、 $\nu_8(E_u)$ 、 $\nu_9(B_{2g})$ の六つは Ti -O 伸縮 振動型 モードで、 $\nu_4(B_{1g})$ 、 $\nu_5(E_g)$ 、 $\nu_6(E_g)$ 、 $\nu_{10}(E_u)$ の四つは O-Ti-O 変角振動型 モードである.

6.1.3 ラマンスペクトルの圧力変化

一般に圧力相転移を示さない物質に圧力を加えた場合そのラマンスペクトルは次のような効果を受ける.すなわちラマン線の数やその相対強度は定性的には変化しないが、その振動数は圧力の増大と共に増大する.したがってスペクトルの圧力変化を測定することにより、圧力転移やその機構に関する情報が得られ、またイオン間結合力や非調和性等に関する知見を得ることができる.

アナターゼは常温常圧で前節で示したようなラマンスペクトルを与えるが、ここではその圧力変化を室温で $60 \, \mathrm{kbar} \, \mathrm{z}$ で測定し、 $25.6 \, \mathrm{k} \, \mathrm{bar}$ 以上で圧力相転移を示すこと、また $\nu_5 \, (197 \, \mathrm{cm}^{-1})$ モードは常圧で圧力に対してソフト化することなどが見いだされた 70 ので以下に実験方法等は省略し

て結果から述べることにする.

図5にアナターゼのラマンスペクトルの圧力変 化を示す. この図の常圧におけるスペクトルで、 ν は前節と同じ記号である. 図に 見られるよう に, 25.6 kbar のスペクトルでいくつかの新しい ラマン線が現われ、それらの相対強度は圧力と共 に増大している. これら新しいラマン線の出現は 圧力による相転移が生じたことを意味している が、この転移の開始圧力は Nicol と Fong⁸⁾により ルチルで観測された圧力転移の開始圧力 26 kbar とほとんど等しい. ここで測定した圧力範囲(~ 60kbar) ではこの新しい 高圧相 と アナターゼの 相は共存し、転移は完全には行われなかった. ま た一定圧力下で転移が時間と共に進行するかどう かを見るために, 両相のラマン線の相対強度の時 間変化を測定したが、1週間程度の時間経過では 変化は認められず、両相の存在比は変化しないこ とが分った.

図 6 にアナターゼのラマン線の振動数の圧力変化を示す。図にみられるように ν_1 , ν_4 , ν_6 のモードは圧力の増大と共にその振動数はほぼ直線的に増大している。その割合は図の 勾配 から それぞれ 0.40, 0.273, 0.312cm⁻¹/kbar と求められる。これらの通常の振舞いに比べ、 ν_5 モードは圧力の増大と共にわずかではあるがその振動数が減少するという特異な圧力依存性を示し、かつその変化も直線的ではない。更にこのモードで注目すべきことは図 5 にみられるように、その相対強度が圧力と共に著しく減少することであり、48kbar 以

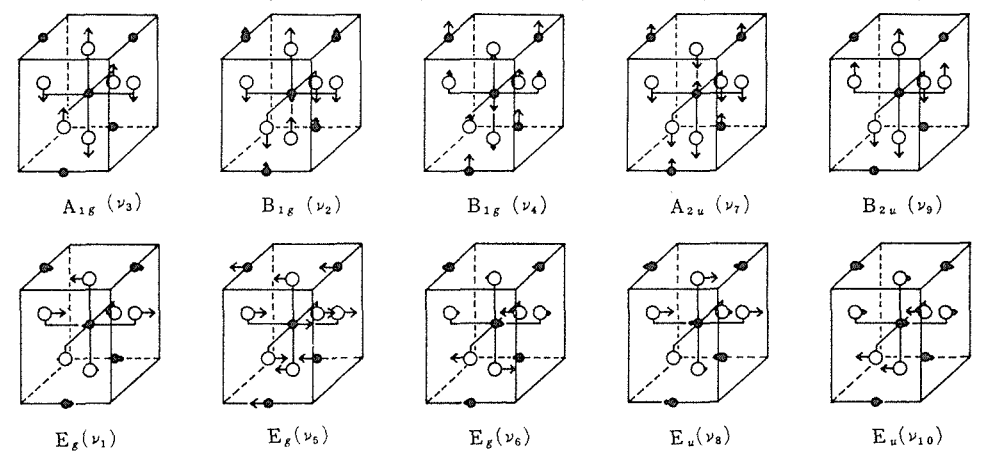


図4 アナターゼの光学的振動モードの各原子の振動変位.黒丸はチタン,白丸は酸素原子を表わす. 矢印の長さは振動変位の大きさに比例している.

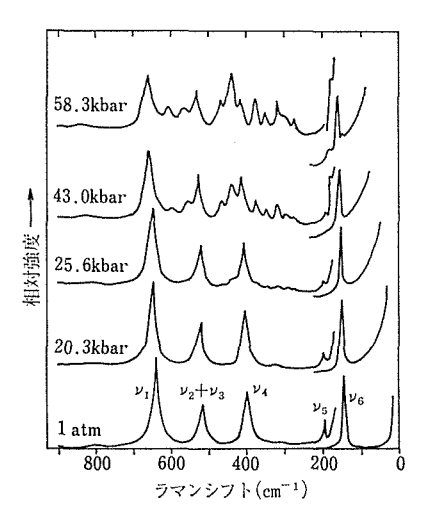


図 5 アナターゼの高圧ラマンスペクトル. 25.6 kbar 以上で TiO_2 の高圧相によるラマン 線が現われている.

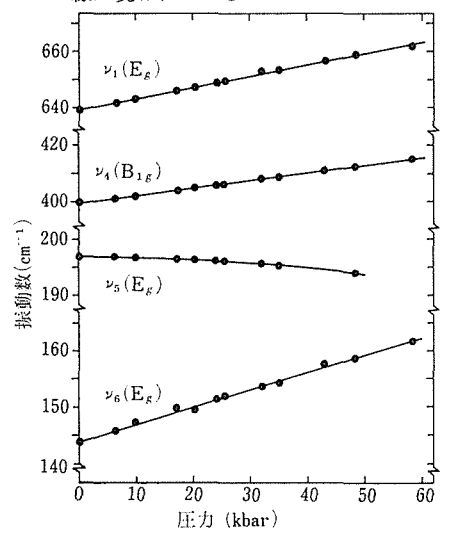


図 6 アナターゼのラマン線の振動数の圧力依存 性.

上では観測できないほど弱くなってしまう、 ν_5 のこのような振舞い、すなわち圧力に対してソフト化すること、その相対強度が著しく減少しやがて消滅してしまうということとここで観測された圧力相転移とは密接な関連があるものと思われる。これは後で述べるようにルチルの圧力転移における B_{1g} モードと同じ役割を演じているものと思われる.

表 4 にアナターゼの 48 kbar のラマンスペクトルで観測された高圧相 に よ る ラマン線の振動数 を, 同様にルチルの 40 kbar での高圧相によるラ

表 4 アナターゼ及びルチルの高圧ラマンスペクトルで観測された高圧相によるラマン線の振動数(cm⁻¹)の比較.

振動数(cm ⁻¹)	振動数(cm ⁻¹)a
(43kbar 下のアナ) ターゼ	(40 kbar 下のル)
(ターゼ)	(チル)
150 ^b	
******	168
180	181
272	275
294	293
318	319
346	
371	371
Amazonii	384
437	438
463	467
555	557
598	589
Valuationis	628
MANAGEMA	723
834	838

a文献8) より引用. b58.3kbar での値.

マン線の振動数とを比較して示す. ただしアナターゼの場合, アナターゼの固有のスペクトルに高 圧相のスペクトルが重なって観測されるので弱い 線などはっきりしないラマン線は与えられていない。表にみられるように両者の振動数は全体的には良く対応している. ただアナターゼの場合には移っているラマン線が現立れているの場合には観測されているシャン線が観測されている。ルチルの場合にこのラマン線が観測されていないのはルチルの高圧ラマンスペクトルの調定には単結晶が用いられており、その際の結晶方位に原因しているものと思われる. この点を除いて両者の高圧ラマンスペクトルがよい対応を示すということは、両者の高圧相が同一であるということを示唆している。

Nicol と $Fong^{8)}$ はルチルの高圧ラマンスベクトルで観測された高圧相は二酸化チタンの高圧相である TiO_2 II 型 $(\alpha-P_bO_2)$ 型構造, D_{2h}^{1})であると述べている。これに 関連して Nagel と O' Keeffe⁹⁾は異議を唱えた,すなわち彼等はルチルと塩化 カルシウム 型構造 (D_{2h}^{10}) を比較し,ルチ

ルの B_{1g} モードの振動型のイオン変位がちょうどルチル型構造から塩化カルシウム型構造への移行に対応しているということから、ルチルの高圧ラマンスペクトルで観測された高圧相は塩化カルシウム型であろうと指摘した.なお塩化カルシウム型構造はルチル型構造をほんのわずかずらすことによって得られる.更に彼らはなぜこの塩化カルシウム型構造が現われたかということに対して、ルチルの高圧ラマンの実験においてある種の応力が存在したために生じたものであろうと述べている.

しかしながらこの点に関してはアナターゼの静水圧下で得られた高圧相のラマンスペクトルとルチルの対応するスペクトルとの類似性から、塩化カルシウム型構造の相が非静水圧のために生じたという考えは必らずしも妥当なものとは思われない。いずれにしてもアナターゼ、ルチルの高圧ラマンスペクトルで観測された高圧相が TiO_2II 型なのか塩化カルシウム型なのかあるいは他の相なのかということは現時点ではまだ明らかではない。この高圧相に関してよりたしかな情報を得るため、現在高圧下のX線回折の実験を進めている。

6.1.4 ラマンスペクトルの温度変化

便宜上,実験結果を述べる前に格子振動の振動数,半値幅の温度変化に関してあらかじめ簡単に 論述しておきたい.

一定圧力下で温度を変えたときに、振動の振動数は二つの原因により変化を受ける。一つは熱膨張による純体積効果で、他の一つはポテンシャルの非調和性による純温度効果である。もっとも熱膨張自体非調和性により生ずるのであるが、ここでは準調和近似で考える。後者は self-energy shift として知られている。振動数 ν を体積V、温度Tの関数と考えると、定圧下での温度変化は

$$\begin{split} \left(\frac{\partial ln^{\nu}}{\partial T}\right)_{P} &= \left(\frac{\partial lnV}{\partial T}\right)_{P} \cdot \left(\frac{\partial ln^{\nu}}{\partial lnV}\right)_{T} + \left(\frac{\partial ln^{\nu}}{\partial T}\right)_{V} \\ &= -\frac{\beta}{\kappa} \left(\frac{\partial ln^{\nu}}{\partial P}\right)_{T} + \left(\frac{\partial ln^{\nu}}{\partial T}\right)_{V} \cdots (1) \end{split}$$

と表わされる $^{10)}$. ここで β \equiv ($\partial lnV/\partial T$) $_P$ は体積 熱膨張係数, κ \equiv $-(\partial lnV/\partial P)_T$ は等温体積圧縮 率である.

上式の右辺第一項は定温下における体積変化に 対する振動数変化、すなわち純体積効果であり、 第二項は定積下における温度変化に対する振動数 変化、すなわち純温度効果である.したがって測 定可能な振動数の定圧下における温度変化、定温 下における圧力変化及び体積膨張係数、等温圧縮 率の値から純温度効果の寄与分を求めることがで きる.

上に述べたような振動数の温度変化に対する現象論的取扱いに対し、Maradudin と Fein¹¹⁾ 及び Cowley¹²⁾はポテシャルの非調和性の格子振動(フォノン)に対する効果を量子 力学的 に考察した。Cowley によれば、波数ベクトル q、分枝 jのフォノンの振動数 $\nu(qj)$ は

 $\nu(qj)^2 = \nu_0(qj)^2 + 2\nu_0(qj) \cdot D(qjj',\Omega)$ …(2) で与えられる。ここで $\nu_0(qj)$ は調和振動の振動数, $D(qjj',\Omega)$ は self-energy への非調和性による寄与である。振動数 Ω は 測 定手段 に依存する。self-energy D (簡単のため添字を省略する)は複素量で次のように表わされる。

$$D = \Delta - i\Gamma$$
 ...(3)

ここで実数部 Δ は 非調和性振動数変化, 虚数部 Γ はフォノンの寿命の逆数, すなわちダンピング 定数でここではラマン線の半値幅に相当する.

Dの実数部は更に次のように表わされる.

ここで Δ^E は熱膨張による振動数変化であり、 Δ_3 、 Δ_4 はそれぞれ 3次、4次の非調和項による振動数変化である。 $\Delta^4 = \Delta_3 + \Delta_4$ は振動数の定圧下における温度変化に対する純温度効果である。 Δ_3 は振動の振動数領域では負で、 Δ_4 は正か負であることが知られている。したがってある場合には非調和性に関してその起因を判別することができる。

ところで Δ を測定されうる量と関係づける必要があるが、前述したように振動数 ν は圧力 Δ と温度 Δ の関数であるから(1)を書き直すと

$$(\Delta \nu_T)_P = -(\Delta \nu_P)_T + (\Delta \nu_T)_V$$
 …(5) と表わされ、ここで $(\Delta \nu_T)_P$ は定圧下において温度 0 °K から T °K まで変えたときの振動数 ν の変化であり、 $-(\Delta \nu_P)_T$ は一定温度において圧力を 0 から P bar まで変えたときの振動数 ν の変

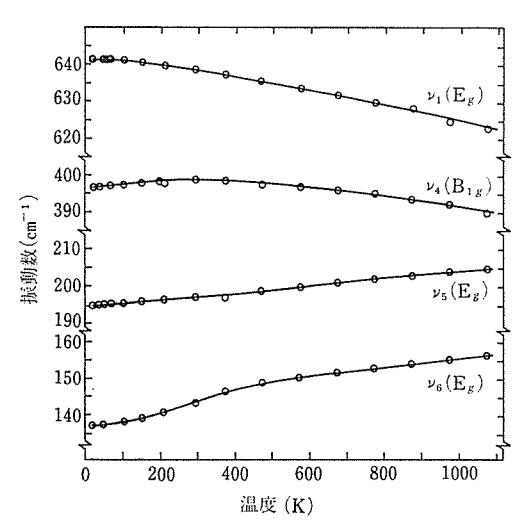


図7 アナターゼのラマン線の振動数の温度依存性.

化で、ここに 圧力 P とは温度 T, 圧力 1 bar のときの体積を 0°K, 1 bar のときの体積にまで減少させるに要する圧力である。また $(\Delta \nu_T)_V$ は定積下において温度を 0 から T°K まで上昇させたときの振動数 ν の変化である。 $(\Delta \nu_T)_P$ は振動数の温度変化の測定から直接求められ, $(\Delta \nu_P)_T$ は振動数の圧力変化の測定と等温圧縮率 κ ,体積熱膨張係数 β の値から次の式により計算される。

$$(\Delta \nu_P)_T = \frac{1}{\kappa} \left(\frac{\partial \nu}{\partial P} \right)_T \cdot \int_0^T \beta dT \qquad \cdots (6)$$

したがって $(\Delta \nu_T)_{\nu}$ は(5)式より求められる.

Lowndes¹³⁾によれば $(\Delta \nu_P)_T$ と $(\Delta \nu_T)_V$ は先に与えられた Δ^E , Δ^A とはそれぞれ次のように関係づけられる.

$$\Delta^E = -(\Delta \nu_P)_T \qquad \cdots (7)$$

$$(\Delta \nu_T)_V = \Delta^A \simeq \Delta_T^A - \Delta_0^A \qquad \cdots (8)$$

(8)式で A_0^4 は零点振動に関係したエネルギーに対する非調和性の寄与で、 A_T^4 は高次 の 非 調 和性 A_3+A_4 の温度に依存する部分の寄与である. A_T^4 は高温近似($T>\theta_D$ 、 θ_D はデバイ温 度)において($A\nu_T$) $_V$ が温度に対して直線的に変化するということから外插によって求めることができる.

最後に(3)式の虚数部、すなわちダンピング定数 あるいは半値幅 Γ は結果を実際的 な 形 で書けば 次のようになる.

$$\Gamma_{qj} = \{ A_{qj}(n_1 + n_2 + 1) \, \delta(\nu_{qj} - \nu_{q_1j_1} - \nu_{q_2j_2}) + B_{qj}(n_1 - n_2) \delta(\nu_{qj} - \nu_{q_1j_1} + \nu_{q_2j_2}) \}$$

$$\delta(q_1 + q_2 + q_3) \qquad \cdots (9)$$

パラメーターA, Bを理論的に計算するにはフォノンの分散関係の知識を必要とし、かつそれは非常に複雑であるため通常実験的に決められる。 $n_i = [\exp(h\nu_i/kT)-1]^{-1}$ はフォノンの占有数である。上式右辺第一項は観測しているフォノンがより小さい二つのフォノンを生じて自らは消滅するという過程を表わし、第二項は熱的に励起されているフォノンが観測されるフォノンによって散乱される過程を表わしている。両過程においてエネルギーと運動量が保存されなければならないということも上式は示している。

(1) 振動数

通常イオン結晶の格子振動においてその振動数の温度変化は次のようになる。室温を基準にとれば、昇温していくにつれ低エネルギー側に変化し、一方温度を下げていくと高エネルギー側に移動し、絶対零度に近づくにつれ一定値に近づくというものである。このような観点から見ると図7に示されるアナターゼのラマン線の振動数は多様

表 5 アナターゼのラマン線の振動数 (cm^{-1}) , その圧力及び温度徴係数, モード グリュナイゼンパラメーター (γ) . 室温における等圧温度徴係数は体積及よび温度効果による寄与とに分離して与えられている.

	cm ⁻¹	$\left(\frac{\partial ln\nu}{\partial P}\right)_T$ $(10^{-3}/k \text{bar})$	γ	$\left(\frac{\partial ln\nu}{\partial T}\right)_{P}$ $(10^{-5}/K)$	$= -\frac{\beta}{\kappa} \left(\frac{\partial ln\nu}{\partial P} \right)_T $ $(10^{-5}/K)$	$+\left(\frac{\partial ln\nu}{\partial T}\right)_{V}$ $(10^{-5}/K)$
$ u_1(E_g)$	639	0.62	1.03	-2.68	-1.53	—1. 15
$ u_4(B_{1g})$	399	0.68	1.12	-0.25	-1.66	1.41
$ u_5(E_g)$	197	0. 12 ^a	-0.20	4.78	0.30	4.48
$ u_6(E_g)$	144	2. 17	3.56	21.96	-5.27	27. 23

^a図6において1barにおける接線として求められた。

な温度変化を示している. すなわち ν_1 モードは 100° K以下では 振動数は ほとんど 一定 で,それ より温度が高くなるにつれ減少するという通常の 振舞いを示し, ν_4 モードは低温では最初温度と共 にその振動数は増大し, 250° K 近傍で極大を示し,以後温度の上昇と共に減少するという特異な温度 変化を示している. 一方, ν_5 , ν_6 モードは温度の 上昇と共にその振動数は増大するという通常とは 逆の温度依存性を示している. ν_5 モードはすでに 述べたようにその圧力依存性においても通常と異 なる振舞いをしている. しかしながらいずれの場合も 400° K 以上では振動数は温度と共に一様に変 化している.

このように多様な温度依存性を示すアナターゼ のラマン線に対し、なぜそのような振舞いを示す のかを明らかにするために上述した考察を以下に 具体的に適用してみる.まず(1)式の左辺は図7の 振動数の温度変化から求められ、右辺第一項は振 動数の圧力変化, 体積熱膨張係数 β, 体積圧縮率 κ の値を用いて計算され、したがって第二項も求め られる. その結果が表5に与えられている. 計算 の際室温における膨張係数として $\beta=14.7\times10^{-6}$ K^{-1} の値が引用された 14). 圧縮率の値は高圧X線 回折の測定 よ り $\kappa=6.09\times10^{-4}{\rm kbar}^{-1}$ と求めら れた15). なおこの実験の詳細は後で別の機会に報 告する予定である. 表 5 に は 振 動数の圧力係数 $(\partial ln \nu/\partial P)_T$ 及びモードグリュナイゼンパラメー $\beta - \gamma \equiv -(\partial \ln \nu/\partial \ln V)_T = 1/\kappa(\partial \ln \nu/\partial P)_T + 5$ えられている.表5から次のことが分る.振動数 の一定圧力(常圧)下の温度変化に対する寄与に おいて、レ1モードでは体積効果(熱膨張)と温度 効果(非調和性)はほぼ同程度で, ν4 モードでは 符号が反対であるがその大きさはやはりほぼ同じ である.このためい。モードでは見掛け上室温付近 で温度変化が小さくなっている.一方, ν₅, ν₆ モ ードでは温度効果の寄与の方が圧倒的に大きく, 特異な温度変化を示す原因となっている.

次に(5)式の諸量を求める。同式において左辺は 図 7 に示されている振動数の温度変化から直接求めることができ、右辺第一項は(6)により計算できる。すなわち、(6)式において圧縮率はすでに求められており、($\partial \nu/\partial P$) は図 6 に与えられる振動数の圧力変化から得られる。圧縮率、振動数の圧力

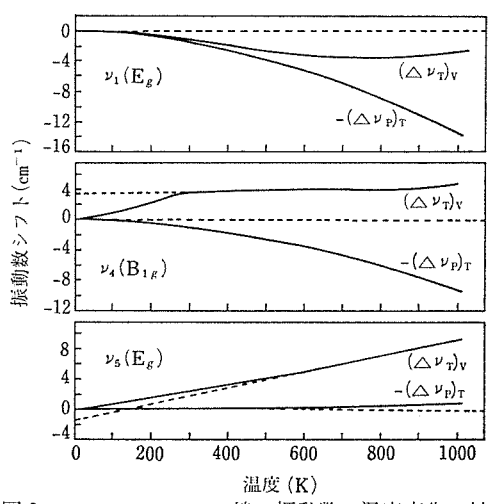


図8 ν_1 , ν_4 , ν_5 ラマン線の振動数の温度変化に対する 純体積効果の寄与 $-(\Delta\nu_P)_T$ および純温度効果の寄与 $(\Delta\nu_T)_V$ の温度依存性.

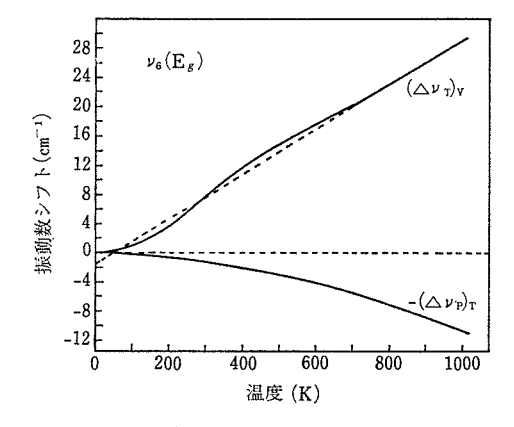


図9 ν_6 ラマン線に対する図8と同様の温度依存性 勾配は全温度に対して室温の値が用いられた. また体積膨張係数 β は室温以上では Rao $\delta^{14)}$ により X 線的に求められているが,それ以下では得られていない.そこでここでは次の関係式 $\beta=\kappa\rho C \gamma$ が成りたつものとして比熱 C より β を求めた. アナターゼの低温 の比熱は Shomate δ^{16} の実測値を用いた.かくして求められた結果が図8,9に与えられている.

上図に見られるように純体積効果すなわち熱膨 張による効果 $-(A\nu_P)_T$ は ν_1 , ν_4 , ν_6 モードの場合はいずれも負で、 ν_5 モードの場合のみ正である。 ν_5 モードが正であるのはそのモードグリュナイゼンパラメーターが負であることによっている。純温度効果、すなわち非調和性による寄与 $(A\nu_T)_Y$ は ν_1 モードの場合が負で、他はいずれ

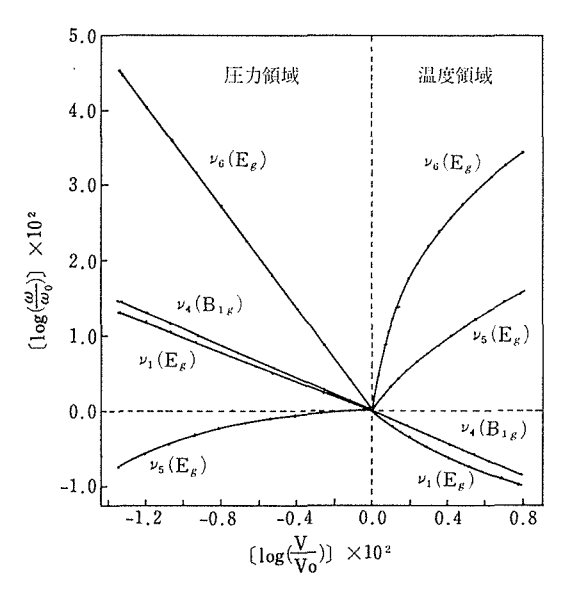


図10 アナターゼのラマン線の体積変化に対する振動数変化. 点線の左の部分は圧力変化, 右側は温度変化による部分である.

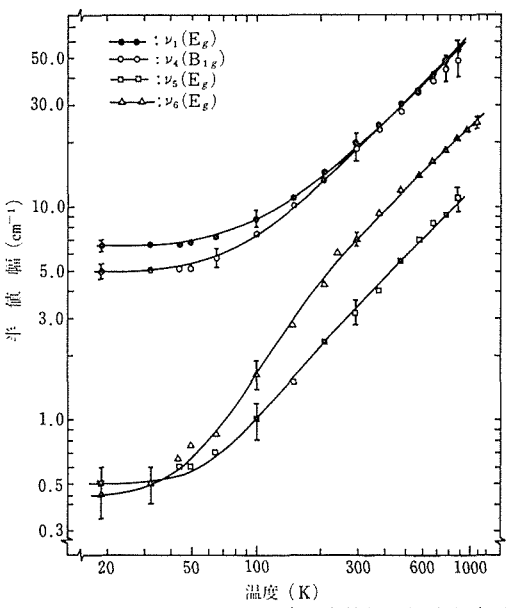


図11 アナターゼのラマン線の半値幅の温度依存性 実線は本文に説明されているように計算曲線 である.

も正である。この量が正であるということは,上述したごとくその起因が 4次の非調和項によるものであることを示している.特に ν_6 モードの場合は温度と共に著しく増大し, 3次に比べ 4次の項が圧倒的に優勢であることを示しており,例えば 1000° K において $(4\nu_T)_V$ の占める割合は全振

動エネルギーの約19%に達する。アナターゼのラマン線の圧力・温度依存性において多様で特異な振舞いを示す原因が 4 次の非調和項にあるということを示唆している。図 8 , 9 の $(A\nu_T)_V$ の高温側の直線部分からの外插によって $-A_0^A$ (零点振動のエネルギーに対する非調和性の寄与)を求めると ν_4 , ν_5 , ν_6 モードに対して それぞれ,3.4 cm⁻¹,-1.5cm⁻¹ という値が得られる。これらの値はいずれも全振動エネルギーの 1 %以下である。

図10は各モードの体積変化に対する振動数変化 を図示したもので、体積、振動数の基準として常 温常圧の値をとってある. 図の左半分は圧縮によ る振動数変化、すなわち圧力領域で、右半分は温 度変化による振動数変化、すなわち温度領域であ る. 圧力領域 では ν₁, ν₄, ν₆ モードは直線的で あるが、 ν5 モードははずれている. 一方温度領域 では レ₄ モードがほぼ直線的に変化している もの の,他の ν1, ν5, ν6 モードはいずれも直線性から はずれている. また準調和近似では各モードに対 し体積一振動数の関係は圧力、温度領域を通じて 直線関係を示すはずである. ところが図に見られ るようにいまードがほぼ直線関係を示すものの、 ν_1 モードはややはずれ、他の ν_5 、 ν_6 モードは大 きくはずれてしまう、特に注目すべきなのはレ6モ - ドの場合で、圧力領域と温度領域での変化方向 が全く逆になっている. これはモードの振動数が その圧力依存性が通常であるのに対し、温度依存 件が通常とは逆の振舞いを示していることに起因 しており、更にこれは図9に見られるように、こ のモードでは4次の非調和項が著しく大きな寄与 をしているということに起因している.

(2) 半値幅

図11は振動数の場合と同じラマン線の半値幅の温度依存性を示している.なお、実線は後に示されるように計算曲線である.図に見られるように、いずれの半値幅も低温では一定の値に近づき高温側では温度と共にほぼ直線的に増大していくという全く一般的な温度変化を示している.半値幅が絶対零度でも有限の値をもつのは零点振動の存在によると考えられている.

このような半値幅の温度依存性を先に示した式で検討するためには、前述したように振動の分散

関係の知識を必要とし、かつ非常に複雑な計算を しなければならない. しかしアナターゼの場合分 散関係も知られていないので、ここでは次のよう なフォノンの消滅及び散乱の過程に関する仮定に 基づいて説明を試みた.

- 1) 観測しているフォノンはその半分の互いに 等しいエネルギーをもつ2個のフォノンを生じ, 自らは消滅する(消滅過程).
- 2) フォノンの散乱過程ではエネルギー保存則 を満足しかつ散乱される熱的フォノンのエネルギー及び(9)式のパラメーター A, B は実測値に合うように決められる.

第1の消滅過程に関する仮定はしばしばなされる¹⁷⁾. 第2の仮定もアナターゼのように多くのフォノンの分散曲線が存在する場合には、熱的フォノンのエネルギーはほとんど連続的であるので不適切なものではないと思われる.

以上の仮定のもとに実測された半値幅に合うように(9)式のパラメーター A, B を決めた. A の値は各モードの低温における半値幅の有限値により決定された.

結果はそれぞれのモードに対して次式のように 与えられた.

これを図示すると図12~15のようになる. いずれの場合も実測値と計算値 は よい 一致を示している.

 u_1 モードの場合、図12に見られるように低温 (\sim 200°K 以下) では半値幅に対して消滅過程による寄与がほとんど大部分で、約400°K になると

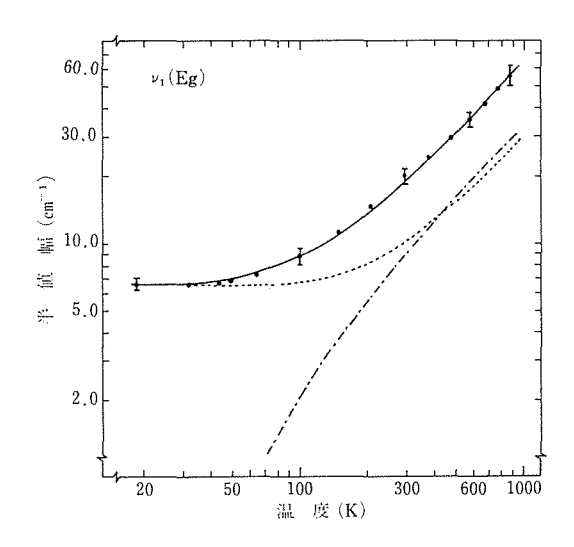


図12 ν₁モードの半値幅の温度依存性. ……:本文 の(10)式の右辺第一項, 一・一・二:同上第二 項, ——:同上第一項と第二項の和.

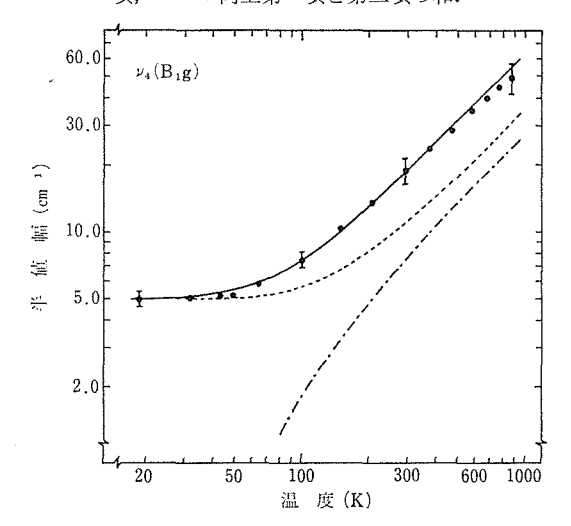


図13 μ₄モードの半値幅の温度依存性.....:本文 (1)式の右辺第一項, 一・一・一:同 上 第二 項, ——:同上第一項と第二項の和.

それと散乱過程による寄与とがほぼ等しくなり、それ以上の温度では散乱による寄与の方がやや優勢となる. 高温で両過程の寄与は温度と共にどちらも直線的に増大する. ν_4 , ν_5 モードの場合は全温度領域にわたって消滅過程による寄与が散乱過程による寄与に優るが、全体の傾向は ν_1 モードと同様である. 以上の三つのモードの場合はいずれも消滅・散乱過程とも一つずつ考慮することによりよく説明されたが、 ν_6 モードの場合(図15)

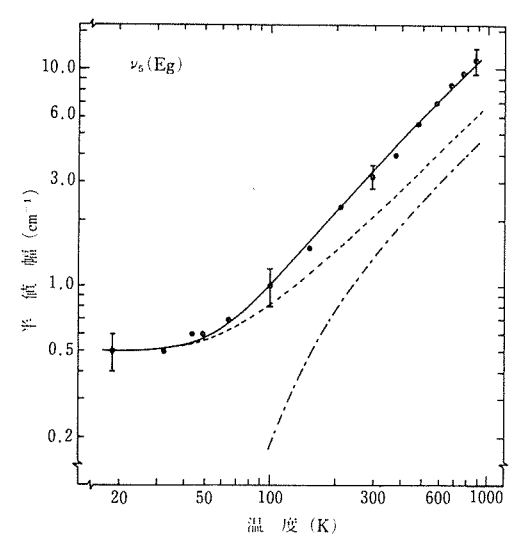


図14 ル5モードの半値幅の温度依存性. ……:本文 (12)式の右辺第一項, 一・一・同上右辺第 二項, 一:同上第一項と第二項の和.

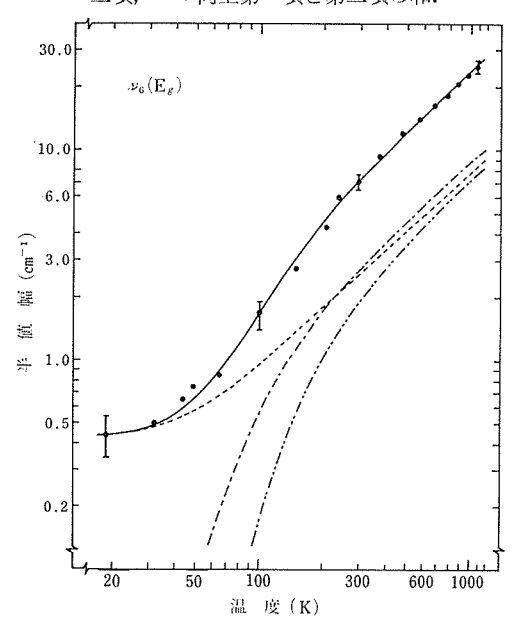


図15 ν_eモードの半値幅の温度依存性. ……:本文 (13式の右辺第一項, 一・一・一:同上第二項 ー・・ー・:同上第三項, ——:同上第一 項,第二項,第三項の和.

は、それでは不十分で更にもう一つの散乱過程による寄与を考慮することにより、測定された全温 度領域の変化を説明することができた.

以上のように、アナターゼのラマン線の半値幅 の温度依存性は消滅及び散乱両過程を考慮する三 音子過程モデルによってよく説明されることが分 った。

6.1.5 結論と今後に残された問題点

(1) 結 論

以上6.1章で述べたことをまとめると次のとおりである.

- (イ) アナターゼのラマンスペクトルを測定し、予想される六つのモードをすべて分離して観測し同定した. 簡単な力の定数モデルで格子振動の計算を行い、振動数の計算値と実測値との良い一致が得られ、結合力に関する知見が得られた.
- (ロ) アナターゼの高 圧 ラマ ンスペクトルを \sim 60 kbar まで測定し、25.6kbar で圧力相転移を示すことを見出した。 ν_5 モード (常圧で197cm $^{-1}$) は 圧力に対してソフト化し、その相対強度も圧力と 共に著しく減少し、やがて消滅するという特異な 振舞いを示し、このモードが圧力相転移において 重要な役割をはたしていることが示唆された。
- (ツ) 高圧X線回折の測定によりアナターゼの圧縮率を求め、それと高圧ラマンスペクトルのデータとからモードグリュナイゼンパラメーター (γ) を求めた.
- (二) $20^{\circ} \sim 1100^{\circ} K$ の温度範囲 でスペクトルを測定し、ラマン線の振動数、半値幅の温度依存性が求められた。その結果、振動数は多様な温度変化を示し、また ν_5 モードは圧力のみならず温度に対しても特異な振舞いを示すことが見いだされた。
- は) ラマン線の振動数の圧力・温度依存性及び圧縮率、熱膨張係数のデータから、振動数の温度変化に対する体積効果(熱膨張)と温度効果(非調和性)による寄与がそれぞれ求められた。特筆すべきは最低波数の ν_6 モードの場合で、非調和性による寄与が温度と共に著しく増大し、かつそれが 4次の項によることが示された。
- (へ) 半値幅の温度依存性は消滅・散乱両過程を考慮する三音子モデルでよく説明されることが示された.

(2) 今後に残された問題点

- (イ) 二酸化チタンの高圧ラマンスペクトルで観測された高圧相の同定および圧力転移機構の解明,
- (ロ) ラマンスペクトルと相補的関係にある赤外スペクトル,特に反射スペクトルの測定,赤外活性モードも含めた格子力学的解析,誘電特性との関

係

(*) 多形間,特にブルーカイトのスペクトルとの 比較検討

等があり、これらは今後ぜひともやらなければならない重要な課題である.

参考文献

- I. R. Beattie and T. R. Gilson: Proc. Soc. A307, 407 (1968).
- 2) T. Ohsaka, F. Izumi and Y. Fujiki: J. Raman Spectrosc. 7, 321 (1978).
- 3) R. Loudon: Adv. Phys. 13, 423 (1964).
- 4) T. Shimanouchi, M. Tsuboi and T. Miyazawa: J. Chem. Phys. 35, 1597 (1961).
- L. Piseri and G. Zerbi: J. Mol. Spectrosc. 26 254 (1968).
- I. Nakagawa: Coordin, Chem. Rev. 4, 423 (1969).
- 7) T. Ohsaka, S. Yamaoka and O. Shimomura Solid State Communi.: 30, 345 (1979).
- M. Nicol and M. Y. Fong: J. Chem. Phys.
 3167 (1971).
- 9) L. Nagel and M. O'Keeffe: Mat. Res. Bull.6, 1317 (1971).
- 10) 例えば, G. A. Samara and P. S. Peercy: Phys. Rev. B7, 1131 (1973).
- A. A. Maradudin and A. E. Fein: Phys. Rev. 128, 2589 (1962).
- 12) R. A. Cowley: Phil. Mag. 11, 673 (1965).
- 13) R. P. Lowndes: J. Phys. C 4, 3083 (1971).
- 14) K. V. K. Rao, S. V. N. Naidu and L. Iyenger:J. Amer. Ceram. Soc. 53, 124 (1970).
- 15) 山岡信夫・大坂俊明・下村理:未発表データ。
- C. H. Shomate: J. Amer. Ceram. Soc. 69, 218 (1947).
- 17) 例えば, T. Sakurai and T. Sato: Phys. Rev. **B4**, 583 (1971).

6.2 ルチルの高温熱容量の解析

6.2.1 緒言

固体の調和格子熱容量 C_h は,格子振動の音響 モードの分 枝 に 関する熱容量を Debye 関数 D (θ_D/T)(θ_θ : Debye 温度) で,また,幅の狭い光 学モードの分枝に関しては Einstein, 関数 $E(\theta_E/T)$

Einstein 温度)で近似することが出来る 20 . 化学量論的ルチルの単位格子は 6 個の原子を含み,この結晶の振動モードは 3 個の音響的分枝と15個の光学的分枝からなっている. Pandey 30 は波数ベクトルにおける光学的分枝の振動数 w_i から $\theta_{E,j}=hw_j/kT$ (\hbar : Planck 定数,k: Boltzmamn定数を求め,次の14式を用いて,40 K-300 K でのルチルの C_h を計算した.

$$C_h = \frac{R}{2} \{ 3D(\theta_b/T) + \sum_{j=1}^{15} E(\theta_{E,j}/T) \} \quad \cdots (14)$$

彼の計算値は室温近傍では -2% 程度の範囲で実 測値と一致している. Sandin and Keesom⁴⁾ は 0-20 K において、このような低温では最低の振 動数をもった光学的分枝の みが 励起されると考 え, Debye 項と一つの Einstein 項から C_h を 計算し、実測値と良く一致することを示した。そ の後、Traylor ら5)は中性子散乱実験からルチル の振動数分布 g(ω) を求め調和格子熱容量の式か ら、 $0-300 \,\mathrm{K}$ での C_h を計算した. 彼らの結果 は特に20K以下で実測値との差が大きく、また、 20 K-300 Kでも4-6%ほど実測値より大きい 値を示した. 以上の解析では、ルチルの C_h を計 算する際、調和格子熱容量のみが考慮されてきて いる. ルチルは絶縁体に近く, また, かなりの高 融点物質であるため 1100 K 以下の温度では 電子 伝導や空孔の生成に起因する熱容量は無視できる であろう. しかし、格子振動の光学的モードに関 する研究506070からは、かなり大きな非調和項の存 在が予想される. 1975 年に, Knapp ら⁸⁾は非調 和項を考慮して、化学式中の原子数が 3 の場合 に、(2)及び(3)式が成立することを示した.

$$\frac{C_v - 9R}{T} = -\frac{9R}{20} \cdot \frac{\theta^2}{T^3} + A \qquad \cdots (15)$$

$$A = -k \sum_{i=1}^{9N} \left(\frac{\partial \omega_i}{\partial T}\right)_{V} \cdot \frac{1}{\omega_i} \qquad \cdots (16)$$

ここで、 C_V は定積熱容量、 θ_∞ は調和項を Debye 関数で表わした時は Debye 温度に相当する.また、A は非調和振動に関係する項で、 ω_i は温度に依存する フォノン振 動 数(擬基準モード振動数)である.ここでは低式を用いて、我々の測定したルチルの高温熱 容量 の データの解析を行った.

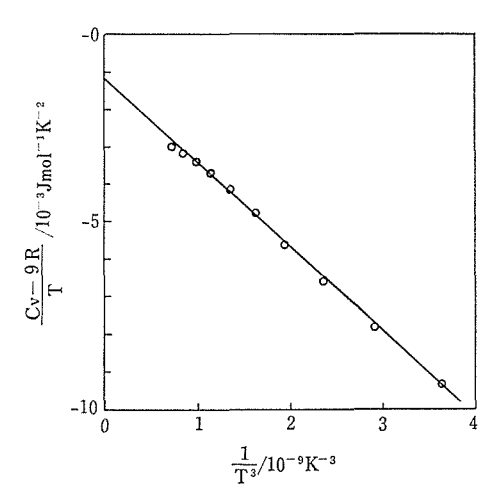


図16 $(C_V-9R)/T$ 対 T^{-3} 直線の傾きから $\theta \infty = 783$ Kが得られる. 切片から非 調和項の温度係数として $A=-1.2\times10^{-3}$ Jmol $^{-1}$ K $^{-2}$ が得られる.

6.2.2 膨張項の補正

定圧熱容量 C_P と 定積熱容量 C_V の 間には, (17)式が成り立つ.

 $C_P - C_V = (\beta^2 V/k)T$...(17) ここで β は体膨張係数、V はモル体積、V は 断熱圧縮率である. ルチルの場合, β は高温まで 実測されており9)、V も高温まで求めることがで きる. しかし、k については、今までのところ、 550 K 以下でしか求められていない10). そのよう な場合、膨張項の補正にはしばしば Nernst-Lindemann の関係(個式), 又は Grüneisen の式 (19式)が用いられる.

$$(\beta^2 V/k) T = aC_P^2 T \tag{18}$$

 $= \gamma \beta C_P T$ (19)

ここに a, γ は定数で, γ は Grüneisen 定数と呼ば れる. 多くの物質に関しては、a及び γ は、温度に 依存しない定数として扱われるが、ルチルの場合 400 K 以下で著しい温度依存性をもっている¹⁰⁾. 本論文では550 K での β (=25.8×10⁻⁶K⁻¹)⁹⁾, V $(=18.93 \text{ cm}^3 \text{ mol}^{-1})^{10}$, $k(=4.96 \times 10^{-13} \text{ cm}^2 \cdot$ dvn^{-1})10)、及び我々の求めた C_P (=68.51 Imol⁻¹ K^{-1}) を利用して、 $a = 5.41 \times 10^{-7} \text{ J}^{-1} \text{ mol}$ 、 $\gamma =$ 1.43 を求めた. 一方, Kirby¹⁰⁾ によれば, 550 K以上でのの温度依存性は3%以下であり, 更 に、膨張項の大きさは C_P に対して最大 5%程度 (1100K 以下において)である.以上のことから,

表 6

T/K	C_{V}	C_h^{ac}	C_h^{Op}	C_{\hbar}
400	61.48	10.39	51.67	62.06
450	63.77	10.79	53.72	64.51
500	65, 61	11.08	53. 25	66.33
550	67.11	11.31	56.42	67.73
600	68. 12	11.48	57.32	68.80
650	68.79	11.63	58.03	69.66
700	69.38	11.73	58.61	70.34
750	69.89	11.83	59.09	70. 92
800	70.34	11.91	59.47	71.38
850	70.78	11.97	59.79	71.76
900	71.11	12.02	60.06	72.08
950	71.31	12.06	60.30	72.36
1000	71.44	12.10	60.50	72.60
1050	71.53	12. 14	60.67	72.81
1100	71.53	12.17	60.82	72. 99

単位はいずれも Jmol⁻¹K⁻¹, C_V は本文の(4)式又は (7)から求めた、 $C_h^{ac} = 3RD(\theta_c/T)/2$, $C_h^{op} = 15RE$ $(\theta_E/T)/2$, $Ch = C_h^{ac} + C_h^{op}$

表 7

θ∞/K	$ heta_E/{ m K}$	$\theta_D/{ m K}$	$ heta^{el}_D/{ m K}$
783	607	778	775

θ∞:高温熱容量のデータから求めたデバイ温度(本 文参照)

 θ_E :アインシュタイン温度(本文参照)

 θ_D :低温熱容量のデータから求めたデバイ温度 40

 θ_{n}^{el} : 弾性定数から求めたデバイ温度¹¹⁾

550 K 以下では(17) 式により, それ以上では(19)式に よって膨張項の補正を行い、 C_V を求めた. その 結果は表1に示されている. なお, (18)及び(19)式に よる計算値は良く一致し、表6に示されている C_V の不確実さは±1%(700 K以下)から±2%(700 -1100 K) 以内と考えられる.

6.2.3 調和項

図16から明らかなように、 $(C_{\nu}-9R)/T$ 対 T^{-3} のプロットは650-1100 Kの間で直線関係が成り 立つので、(5)式を用いて、 $\theta_{\infty}=783$ Kが得られた。

この θ∞ の値は低温熱容量測定や超音波を用い た弾性定11)数測定から計算された Debye 温度と

良く一致している. しかし, Pandey³⁾ や Sandin and Keeson⁴⁾ らの結果によれば、室温以下のル チルの熱容量は Debye 関数だけで近似するより も Debve 関数と Einstein 関数の和によって近 似するほうが、よりよく測定値を説明することが できる. したがって、高温領域でも、 C_V の調和 項は単に Debye 関数で表わすより、(4)式を適用 する方が良いと考えられる. ただし, 実測された 光学モードの分散関数はかなり複雑で、式は必ず しも良い近似式とは考えられない. したがって, 光学モードiに関しては個々の振動モードに関す る熱容量を $kE(\theta_i/T)$ で表わせば、より正確な 表現として次の(20)式から得られる. また(20)式の高 温近似式は式(21)のようになり、更に、(21)式は(22)式 の高温近似式でもある. したがって, 高温下では (20)式の $E(\theta_i/T)$ の和は(22) 式の ように一つの E (θ_E/T) で表わすことができる.

$$C_{h} = \frac{1}{2} \{3RD(\theta_{b}/T) + k \sum_{i=1}^{15N/2} E(\theta_{i}/T)\} \cdots (20)$$

$$= \frac{1}{2} \left[3R \left\{1 - \frac{1}{20} \left(\frac{\theta_{D}}{T}\right)^{2}\right\} + 15R$$

$$\left\{1 - \frac{1}{12} \left(\frac{\theta_{E}}{T}\right)^{2}\right\}\right] \cdots (21)$$

$$= \frac{1}{2} \{3RD(\theta_{D}/T) + 15RE(\theta_{E}/T)\} \cdots (22)$$

ここで、 $\theta_E = \{2\sum_{i=1}^{15N/2} \theta_i^2/15N\}^{1/2}$ とおいた.

A=0 とするとき、(5式は(22式と同型になるので θ_{∞} は θ_{D} , θ_{E} の関数として(23式 のように表わすことができる.

$$\theta_{\infty} = \left(\frac{1}{6}\theta_D^2 + \frac{25}{18}\theta_E^2\right)^{1/2}$$
 ...(25)

 θ_{∞} =783K, θ_{D} =778K であるから, (23式より θ_{E} =667K が得られた. これらの値を用いて (22)式から調和項の理論値 C_{h} を計算した.

 C_h の計算において、表 2に示した θ_0 と θ_D^s が良く一致していることはルチルの熱容量の音響的成分に関しては Debye モデルが適用されることを支持している。一方、 $Traylorら^{5)}$ が求めた振動数分布(図17)において $16\times12^{12}H_z$ 以上の高い振動数は光学モードによるもので、その最大振動数は約1140 $K(\theta^{max})$ に相当する。したがって約680 $K(=0.6\theta^{max})$ 以上では、明らかに図式は

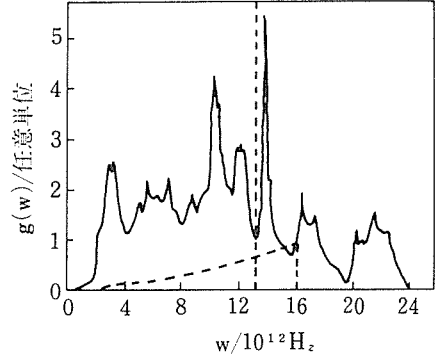


図17 ルチルの格子振動数分布 点線は本文で用いられたアインシュタイン及びデバイ振動数に対応している. 実線は文献(5)から引用した.

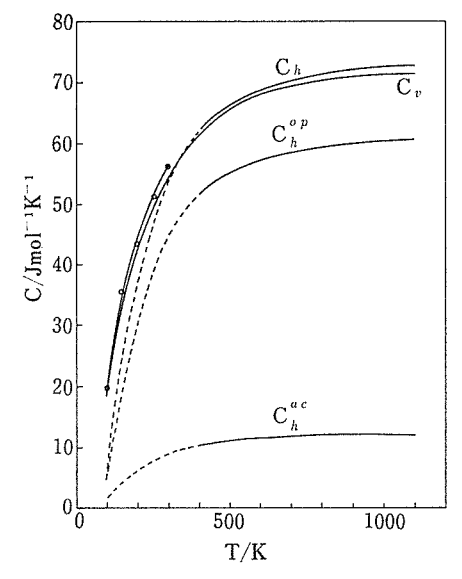


図18 ルチルの熱容量の解析 C_V 、 C_h^{ac} , C_h^{cp} , 及び C_h は表 6 で定義されている。 "O" は文献から引用した。

(20式の良い近似式であり,更に,振動数分布を考慮に入れた場合,かなり低温まで比較的良い精度で $\sum_{i=1}^{15N/2}$ で $\sum_{i=1}^{15N/2} E(\theta_i/T)$ を $15NE(\theta_E/T)/2$ で近似きると推定される.表16及び図18には C_V , C_h , C_h の音響的成分 C_h^{ac} と光学的成分 C_h^{cp} がそれぞれ示されている.400 K以上では, C_h は C_V より値を示し,非調和項が負の値となることが注目される.

6.2.4 非調和項

図16から $A=-1.2\times10^{-3}$ Jmol $^{-1}$ K $^{-2}$ が得られた. 図上のデータから得られたAの誤差は約±20

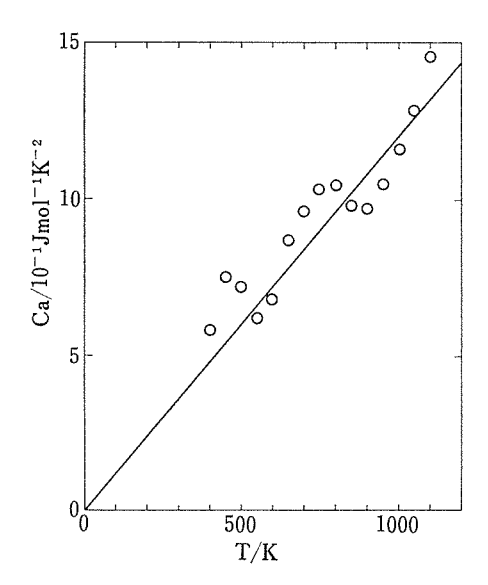


図19 ルチルの非調和格子熱容量 実線は AT ($A=-1.2\times10^{-1}\mathrm{K}^{-2}$) を示す。 "O" は (C_V-C_b) を示す。

%である。図19に非調和熱容量 C_a 対 T の関係 が示されている. 図中の。印は $(C_h - C_V)$ をプ ロットしたものである. 図から明らかなように, 400 K (÷0.65θ_E) 以上では、ルチルの 非調和熱 容量は T の一次式で表わすことができた. しか し低温になるほど $\sum E(heta_i/T)$ に対する $15E(heta_E$ (T)/2 の近似精度が悪くなるため, 低温領域の C_a については、信頼できる情報を得ることができな かったが、 Traylor らの結果 (図18参照) は 300 K以下でも大きな負の非調和項の存在が推測され る. ただし、彼らは実際の振動数分布から調和項 を計算しているものの、その精度については明ら かにしていない. (16)式によれば、 Aが負であるこ とは温度の低下と共に振動数も低下 (ソフト化) することを意味している.分,振動の分枝jに属す る i モードの定積温度変化率 α_v^{ij} $(=\partial \omega_{ij}/\partial T)_v$ /wii) は各分枝に関しては一定とすれば、ルチル は18個の振動数の分枝をもっているので、(15)式は (24)式に変形される.

$$A_L = -\frac{R}{2} \sum_{i=1}^{18} \alpha_V^i \qquad \cdots 2$$

ここで、 $lpha_V^{Ij} = \cdots lpha_V^i$ また、(i)式と区別するために A の代りに A_L とおいた. Samara and Peercy たよれば、 B_{ig} 、 A_{ig} 及び A_{2u} の 3 個

の光学モードがソフト化しそれらの 296K におけ る α_V^i の値はそれぞれ、11.22、4.32及び67.47× 10^{-5} K⁻¹ であり、通常の光学モード E_a について は、 $-0.6 \times 10^{-5} \text{K}^{-1}$ である. このように非調和 項に最っとも大きく寄与をするのは、C軸方向に O^{-2} と T_{i}^{4+} が逆位相的に振動する A_{2n} モードの ソフト化であると考えられる. 一方, Manghanani ら¹²⁾によれば、主な弾性率(C₁₁, C₃₃, C₄₄, C₆₆, C₁₂, C₁₃ 及び (C₁₁-C₁₂)/2 の平均的な定積温度 変化率は 298 K で -10.4×10⁻⁵K⁻¹ である. こ の値は音響的モードの α_r^j の平均値の 2 倍に近い と推定される. これらの値を用いて(10)式を計算す ると $A_L = -\frac{R}{2}$ (82. 9-0. 6×12-1/2×10. 4×3) $\times 10^{-5} = -2.5 \times 10^{-3} \text{J mol}^{-1} \text{K}^{-2}$ が得られた. こ の値 A_L は高温熱容量の解析から得られたAの値 $(-1.2 \times 10^{-3} \text{Jmol}^{-1} \text{K}^{-2})$ より負の方向に大きい が、 A_L の計算に用いた $\alpha_V^{A_{2u}}$ の値は高温では室 温の値より小さくなると推定されること, また, 文献に報告されていない α th については推定的平 均値を用いたことから考えて, 両者は良く一致し ていると言えよう. A_L に圧倒的に寄与する A_{2u} モードの温度変化率は、低温で著しく大きくな p^{7} , このことから低温では非調和項は温度の一 次関数では表現できないことが推論される.

6.2.5 結論

ルチルの 高温熱容量 ($\gtrsim 400~\rm K$) は一つはつの Debye 及び Einstien 項更に温度の一次式からなる負の非調和項の和として表現できた. Debye 温度に文献値(778 K)を用いることにより Einstein 温度として $607~\rm K$ が求められ、また、非調和項の温度係数として $-1.2\times10^{-3}\rm Jmol^{-1}K^{-2}$ が得られた.

非調和項は、格子振動について今まで得られた情報をもとに各モード振動の温度変化率と半定量的に結びつけられた。その結果、熱容量の非調和項もっとも大きく寄与をするのは A_{2u} モードで非調和項が負であるのは主にモードがソフト化することに支配された結果であると考えられる。これらの考慮と関連して、 $400\sim500$ K以下では非調和項は温度の一次関数では表現できないことが推論されたが、低温領域における非調和項の解析は今後に残された。

参考文献

- 1) 三橋武文,高橋洋一:窯業協会誌(投稿中)
- 2) C. Kittel (字野良清, 津屋昇, 森田章及び山下 次郎訳) "固体物理学入門(上)" 丸 善(1963), p. 153-199
- 3) H. N. Pandey: Phy. Stat. Sol., 11, 743(1965)
- T. R. Sandin and P. H. Keeson: Phy, Rev. 177, 1370 (1969)
- J. G. Traylor, H. G. Smith, R. M. Nicklow and M. K. Wilkinson: Phy, Rev. B. 3. 3457 (1971)
- A. S. Barker, Jr. and M. Tinkham: J. Chem Phy., 38, 2257 (1962)
- 7) G. A. Samara and P. S. Peercy: Phy. Rev.

B7, 1131 (1973)

- G. S. Knapp, S. D. Bader, H. V. Culbert, F.
 Y. Fradin, and T. E. Klippert: Phy. Rev. B, 11 4331 (1975)
- 9) Y. S. Touloukian, R. K. Kirby and R. E. Traylor 編 "Thermodynomical Properties of Matter, 13" PLENUM, p. 392 (1977)
- 10) R. K. Kirby: J. Resarch. NBS, 71A, 363(1967
- R. A. Robie and J. L. Edwards: J. Appl. Phy., 37, 2659 (1966)
- 12) M. H. Manganani, E. S. Fisher, and W. S. Brower, Jr : J. Phy. Chem. Solids, 33, 2149 (1972)

7. 関連物質に関する応用研究

7.1 チタン酸カリウム繊維の製造法

7.1.1 緒 言

チタン酸カリウムは一般式 $K_2O \cdot n \text{TiO}_2$ (n=1 \sim 6) で示されるが, $K_2\text{Ti}_6O_{13}$ と $K_2\text{Ti}_4O_9$ 組成の化合物が最も一般的 である. $K_2\text{Ti}_6O_{13}$ 相はトンネル構造が特有で,トンネル中のイオンは移動性を示さず,高融点(1370℃)をもち赤外線反射率が高く,優れた断熱特性を示す. $K_2\text{Ti}_4O_9$ 相は層状構造が特有で,層間の K^+ イオンは交換性に富むことからイオン交換材としての用途が期待される.

合成法には焼成法 $^{1)2)3}$, 溶融法 $^{4)5)}$, フラックス法 $^{4)6)7)$, 水熱法 $^{4)8)~11)$ があるが、繊維状にするにはフラックス法か水熱法が適している. 従来、フラックス法では KCl-KF 系及び K $_2$ O-Na $_2$ O-B $_2$ O $_3$ 系が使用されていたが、前者は高い揮発性、後者は難溶性で工業的製造の立場から問題があった。

本報ではフラックス法に注目し、ハロゲン化物よりも低蒸気圧、ホウ酸塩よりも低粘性、易溶性であり、無公害で、高収率、長繊維化が可能なフラックスを探索した結果、アルカリ金属のモリブデン酸塩、タングステン酸塩がこの目的に非常に有効であることを見いだしたのでその合成条件と反応機構について述べると共に合成繊維の化学的性質、熱分析、IR スペクトルの測定について報告する.

7.1.2 実験方法

原料は市販特級の結晶質二酸化チタン (ルチルとアナターゼ), 炭酸カリウム, 無水モリブデン酸カリウム, 無水タングステン酸カリウムである.

出発原料の繊維組成を表示 する の に 1 モルの TiO_2 に対して加えた K_2O のモル数を x として 便宜的に $(K_2O)_x$ ・ TiO_2 式を用いることにする. 通常, 100 ml の白金るつぼ を 用いて炭化珪素発 熱体電気炉で合成した. 育成方法は一定温度保持法と徐冷法で検討し、徐冷速度は 4 $^{\circ}$ C/h であっ

た. 育成後はるつぼを取り出し大 気 中 で 放冷した. 繊維は冷水でフラックスを溶解徐去し, 水洗後120℃で乾燥させた.

繊維の同定は銅対陰極を用いた粉末×線回折で行い, $K_2Ti_4O_9$ と $K_2Ti_6O_{18}$ 相の混合比は同一晶系,同軸方向へ伸長し,同じ晶癖のために最強線の相対強度比より求めた.粉末法高温X線回折は日本電子製を用いて $2\theta=7.5\sim12.5^\circ$ 間を往復させ,ゴニオメーター走査速度 2° /min,昇温速度 12° C/min,記録紙移動速度 $2\mathrm{cm}$ /minで行った.DTA 及び TGは理学電機製高温型を用い,DTA 感度 $\pm50\mu$ V,TG 感度 10 mg,昇温速度 20° C/min,記録紙移動速度 $5\mathrm{mm}$ /min であった.IR スペクトルは日立製 $5\mathrm{mm}$ /min であった.IR スペクトルは日本

7.1.3 四チタン酸カリウム繊維の育成

(1) 出発組成及び反応温度依存性

 $K_2M_0O_4$ フラックスを用いて、 $(K_2O)_x \cdot TiO_2$: $K_2MoO_4=30:70$ のモル百分率に固定した上で, 種々出発組成に対し、種々徐冷開始温度でいずれ も4時間保持後徐冷して合成した結果を図1に示 す. 図1から明らかなように単独相としては. $K_2Ti_6O_{13}$ と $K_2Ti_4O_9$ が得られる. 前者の相は x=1/6 と1/7 だけでなく x=0 でもよいが、後者 の相はx=1/4 で 1150℃ 以下と x=1/3 の限ら れた組成条件をもつ. ただし、K2Ti4O9 相の場合 は1114 ℃ が溶融温度のため、この温度以上では 存在せず、 $K_2Ti_6O_{13}$ 相だけが生成しているが、 徐冷反応によりこれ以下の温度になる とすべて $K_2Ti_4O_9$ 相へ移行した結果 である. x=1/4 で 1200 ℃から徐冷すると多少の K₂Ti₆O₁₃ 相が混在 するが、この場合は後で考察するように徐冷過程 で100 %K₂Ti₄O₉ 相へ移行できない要因がある.

x=1/5 では $K_2Ti_4O_9$ の混合相, x=1/2 では $K_2Ti_4O_9$ 相と未知相(図 2)が混在する. x=1 では図 2 中の未知相と偏光顕微鏡下

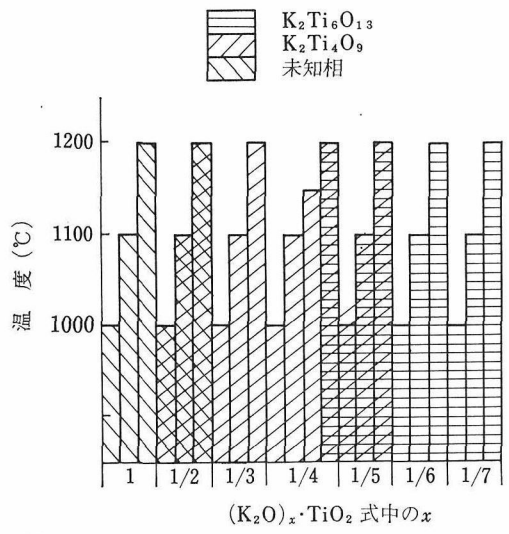


図1 K₂MoO₄フラックスを用いて種々な出発組成と温度から徐冷法により合成した生成相の相関係図

((K₂O)_x·TiO₂: K₂MoO₃=30:70のモル百 分率, 徐冷速度 4℃/h)



図 2 (K₂O)1/2·TiO₂ の出発組成で合成された K₂Ti₄O₉ 相の微繊維とフレイク状の未知相

で類似し、干渉色を呈して結晶質であるが、 X線 的にはほとんど回折ピークを示さない.

図 1 と対応させて生成物が繊維形を示す必要領域の繊維の平均的長さを測定した結果が図 3 である。この結果の重要なことは徐冷法では $K_2Ti_4O_9$ 相繊維は成長するが, $K_2Ti_6O_{13}$ 相繊維は成長しないことである。特に前者は x=1/4 の $K_2Ti_4O_9$ 単独相生成領域で1150℃,次いで1100℃から徐冷した場合が長繊維化しており,1000℃から徐冷した場合が長繊維化しており,1000℃から徐冷した場合と比較して成長に著しい差が認められる(図 4). 一方,x=1/3 では同じ $K_2Ti_4O_9$ 単独相であっても成長し難い。これは生成相の安定性が図 1 で示すように 反応温度 と 出発組成の TiO_2/K_2O モル比と密接に関係 した 溶融液の塩基性度

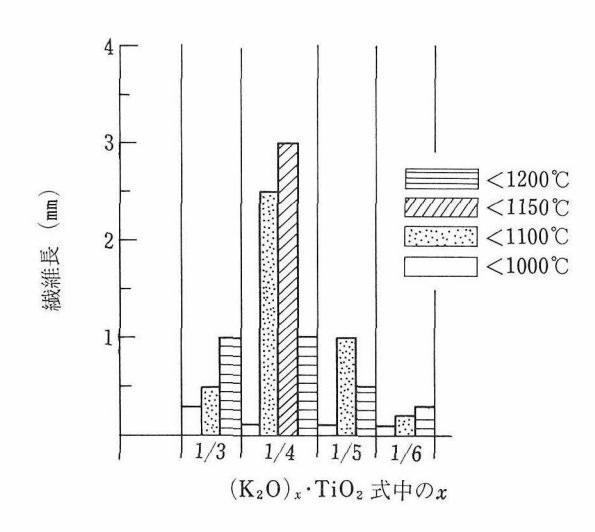


図3 図1の中の種々出発組成から得られた生成 相の平均繊維長

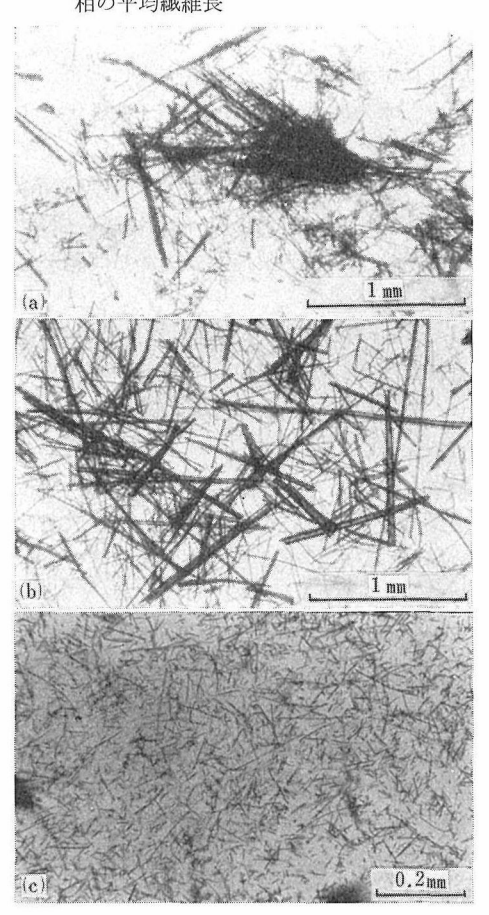


図4 K₂MoO₄フラックスと(K₂O)1/2·TiO₂出発組 成を用いて種々温度から4℃/h の速度で 850 でまで徐冷して育成した K₂Ti₄O₉ 相繊維: (a)1200℃より,(b)1100℃より,(c)1000℃より

表1 K₂MoO₄フラックスを用いた定温度保持法の合成条件と結果

出発繊維組成 (mo <i>l%</i>)	Ž	フラックス (mo <i>l%</i>)	温度 (℃)	期間(時間)	生成物*	平均繊維長** (mm)
${ m TiO_2}$	40	K ₂ O • M ₀ O ₃ 60	1180	28	H+R	0.002×0.15 (0.01×0.25)
TiO_2	30	K ₂ O • MoO ₃ 70	1180	28	H	$0.002 \times 0.15 \ (0.01 \times 0.25)$
$(K_2O)_{1/7} \boldsymbol{\cdot} TiO_2$	30	K ₂ O • MoO ₃ 70	1180	40	H	0.003×0.35 (0.02×1.0)
$(K_2O)_{1/6} \cdot TiO_2$	30	K ₂ O • MoO ₃ 70	1180	56	Н	$0.01 \times 0.5 (0.02 \times 1.0)$
$(K_2O)_{1/6} \cdot TiO_2$	40	$K_2O \cdot MoO_3$ 60	1220	45	H	0.025×0.6 (0.1 ×4.0)
$(K_2O)_{1/6} \boldsymbol{\cdot} TiO_2$	30	K ₂ O • 1.1MoO ₃ 70	1180	41	H+R	$0.02 \times 0.35 (0.02 \times 1.0)$
$(K_2O)_{1/5} \cdot TiO_2$	30	K ₂ O • MoO ₃ 70	1180	50	H+T	$0.003 \times 0.2 (0.02 \times 1.0)$
$(K_2O)_{1/4} \cdot TiO_2$	30	K ₂ O · M ₀ O ₃ 70	1180	46	H+T	0.02 ×0.35 (0.05×1.0)
$(K_2O)_{1/3} \boldsymbol{\cdot} TiO_2$	30	K ₂ O • MoO ₃ 70	1180	65	H+T	$0.2 \times 5.0 (0.3 \times 10.0)$

^{*} H: K₂Ti₆O₁₃, R: ルチル, T: K₂Ti₄O₉ で放冷中に生成した.

表 2 K₂WO₄フラックスを用いた定温度保持法の合成条件と結果

出発繊維組成	フラックス	温度	期間	生成物*	平均纖維長**
(mol%)	(mol%)	(\mathcal{C})	(時間)		(mm)
TiO_2 20	K₂O • WO₃ 80	1180	65	Н	0.02 ×0.5 (0.02×1.0)
TiO_2 30	$K_2O \cdot WO_3$ 70	1180	45	H+R	$0.01 \times 0.25 (0.02 \times 0.5)$
$(K_2O)_{1/7} \cdot TiO_2$ 30	$K_2O \cdot WO_3$ 70	1180	40	H	$0,005\times0.35\ (0.01\times0.6)$
$(K_2O)_{1/6} \cdot TiO_2$ 20	K ₂ O • WO ₃ 80	1180	48	H+T	$0.01 \times 0.35 (0.1 \times 10.0)$
$(K_2O)_{1/6} \cdot TiO_2$ 30	$K_2O \cdot WO_3$ 70	1180	42	H+T	$0.01 \times 0.35 (0.02 \times 0.5)$
$(K_2O)_{1/6} \cdot TiO_2$ 30	K ₂ O • 1.05WO ₃ 70	1180	46	H+T	$0.01 \times 0.35 (0.02 \times 0.5)$
$(K_2O)_{1/6} \cdot TiO_2$ 30	K ₂ O • 1.1 WO ₃ 70	1180	49	H+R	$0.01 \times 0.35 (0.02 \times 1.5)$
$(K_2O)_{1/5} \cdot TiO_2$ 30	$K_2O \cdot WO_3$ 70	1180	65	H+T	$0.02 \times 0.35 (0.02 \times 0.5)$
$(K_2O)_{1/4} \cdot TiO_2$ 30	$K_2O \cdot WO_3$ 70	1180	58	H+T	$0.2 \times 5.0 (0.3 \times 10.0)$

^{*} $H: K_2Ti_6O_{13}$, $T: K_2Ti_4O_9$, $R: \mathcal{N} \neq \mathcal{N}$

の二つの要因に支配されているが、 $K_2Ti_4O_9$ 相の長繊維化の特定条件も同じ要因の依存性が非常に大きい.

(2) 溶融液の塩基性度

 K_2MoO_4 フラックスを用いた一定温度下で出発組成の変化に対する生成相、繊維長の関係を表 1 に示す。ただし、 $K_2Ti_4O_9$ 相は放冷過程で生成したものである。重要な結果は生成相が出発原料の K_2O , MoO_3 , TiO_2 成分の混合比により制御できることである。推言すれば溶融液の塩基性度が生成相を決定している。その塩基性度はフラックスの組成と混合量を固定すれば 出発 繊維原料の TiO_2/K_2O のモル比により、また出発繊維組成と混合量を固定すればフラックス原料の MoO_3/K_2O のモル比により敏感に影響を受ける。 TiO_2 と MoO_3 は酸性成分, K_2O は塩基性成分として作用

している。表 1 で示すように溶融液の塩基性度が低い条件から高い条件に向って生成相は K_2 Tio O_{13} +ルチル→ K_2 Tio O_{13} → K_2 Tio O_{13} + K_2 Tio O_{13} + K_2 Tio O_{13} + K_2 Tio O_{13} + K_2 Tio O_{13} となる。一般に,出発繊維組成がx=1/6以下で K_2 Tio O_{13} 単独相は生成しやすく,x=1/5以上ではxの値が大きくなるほど K_2 Tio O_{14} 相は増大する傾向を示す。

なお、フラックスの蒸発量はるつぼの蓋をしないで、1180℃ 28~65 時間保持しても普通1 wt% 前後、最大5 wt% 程度であった。 もちろん、フラックスの蒸発は成分が逃散し易いので塩基性度は低下する方向へ変化する.

 K_2WO_4 フラックスを用いた場合の出発組成の変化に対する生成相, 繊維長の関係 を表 2 に示す。 TiO_2/K_2O 及び WO_3/K_2O のモル比により溶融液の塩基性度が変化し、生成相を決定する傾

^{**} 繊維長は直径×長さで示し、HとTの混合相では東状繊維の直径を用いた.カッコ内は最大値である.

^{**} 繊維長は直径×長さで示し、HとTの混合相では東状繊維の直径を用いた、カッコ内は最大値である.

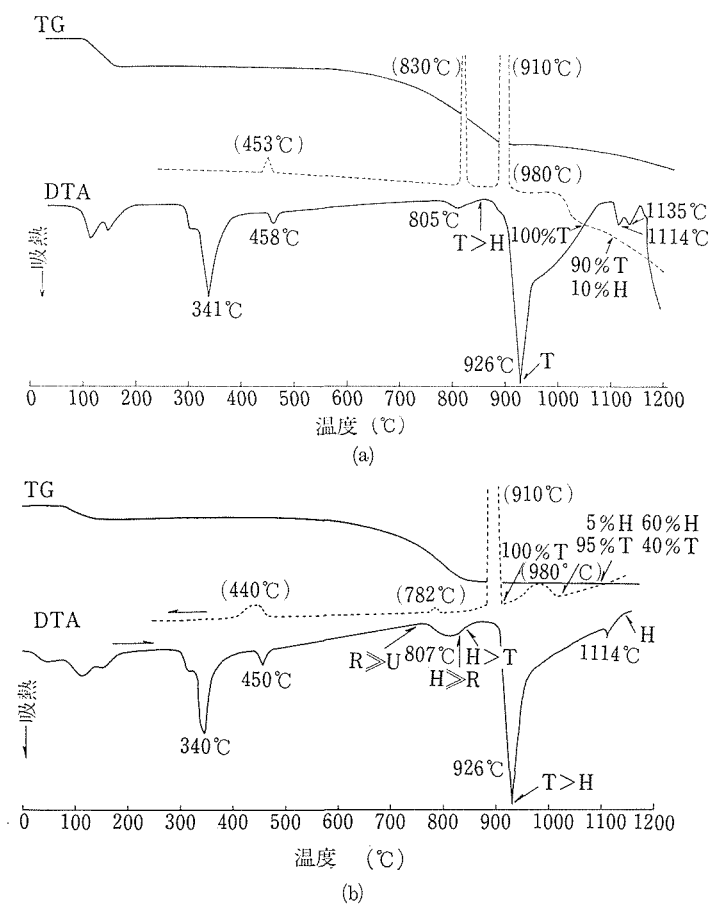


図 5 $(K_2O)_x \cdot TiO_2 : K_2MO_4 = 30 : 70$ のモル百分率に配合した出発組成を用いて行ったフラックス反応の DTA 及び TG: (a) x = 1/4, (b) x = 1/3 (R:ルチル, U:未知相, H: $K_2Ti_6O_{13}$, T: $K_2Ti_4O_9$)

向は K_2MoO_4 と同様である. しかし、出発組成と生成相の相関係は異なる. 本フラックスの場合、x=1/7 以下でないと K_2TieO_{13} 単独相は得られない. K_2WO_4 相の生成条件を塩基性度の尺度とすれば、 K_2WO_4 フラックスの方が K_2MoO_4 よりも定性的に高い塩基性度を示すことになる. これは酸化物として本質的に MoO_3 よりも WO_3 の方が塩基性度が高い 12 ことで説明できる.

(3) フラックス反応の DTA, TG

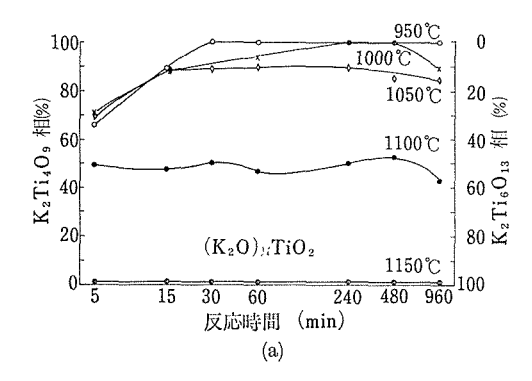
溶融液中の反応解析のために DTA及び TG で検討した. $(K_2O)x \cdot TiO_2 : K_2MoO_4 = 30 : 70$ のモル百分率の原料条件で x = 1/4 の結果を図 5 (a) に示す. 昇温過程で 500 以下と 926 で の大きい吸熱反応はフラックスに関係 した ものである. 926 でフラックスは溶融する. 807 でのブロードな吸熱反応は TiO_2 と K_2CO_3 の固相反応で脱炭

酸ガスを伴う.別に $7 \, \text{m} l$ の白金るつぼに $500 \, \text{mg}$ の試料を用いて各反応ピークの前後の温度で30分間加熱,急冷処理して調べた結果,図 $5 \, (a)$ の曲線上に示すように,x=1/4 でもフラックス 溶融前に TiO_2 と K_2O の固相反応は次のようである.

 $6 TiO_2 + K_2O \rightarrow K_2 Ti_6O_{13}$ …(1) TiO_2 が反応完了すると、 $K_2 Ti_6O_{13}$ の一部は更に K_2O 成分と反応する.

 $2K_2Ti_6O_{13}+K_2O\to 3K_2Ti_4O_9$ …(2) フラックス溶融後は2式が急激に進行する. しかし, 更に昇温すると生成相の安定性の温度依存性から $K_2Ti_6O_{13}$ の生成量が再び多くなる. 要するに(2)式の逆反応が生じている.

 $3K_2Ti_4O_9 \rightarrow 2K_2Ti_6O_{13}+K_2O$ …(3) 一方,溶融液を徐冷すれば(3)式の逆反応が生じ(2)式に従うことが観測される.



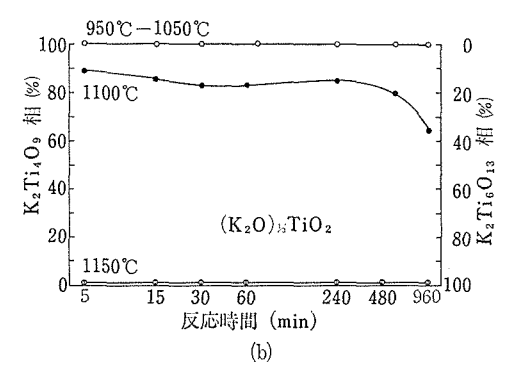


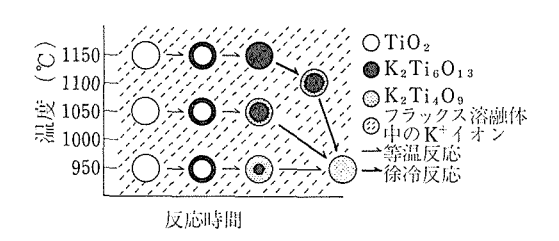
図 6 $(K_2O)x \cdot TiO_2 : K_2MoO_4 = 30 : 70$ の モル 百分率に配合した出発組成 を用いて行った フラックス反応の温度 と 時間依存性; (a) x = 1/4, (b) x = 1/3

x=1/3 の DTA は図5(b)に示す。反応の傾向は x=1/4 と類似するが,内容は若干異なり,昇 温過程の1135 $^{\circ}$ の吸熱,降温過程の830 $^{\circ}$ 〇付近の発熱反応については不明である。 x=1/4 と比較すれば K_2 Ti $_4$ O $_9$ 相が優勢に生成するが,これは溶融液の高塩基性のためである。

(4) フラックス反応解析

 $(K_2O)x \cdot TiO_2 : K_2MoO_4=30:70$ のモル百分率に配合した 試料と7ml 白金ルツボを用いて950°C、1000°C、1050°C、1150°C の各温度下における生成相の経時変化に対する定量的挙動を調べた. 試料は1g を使用し、急冷処理 を施している. 結果を図6に示す. もちろん、フラックス溶融液中での生成相は $K_2Ti_6O_{13}$ と $K_2Ti_4O_9$ の2 相だけである.

x=1/4 で明瞭なように $K_2Ti_6O_{13}$ と $K_2Ti_4O_{9}$ 両相の生成比は著しく温度に依存し、高温領域では前者、低温領域では後者の相が優勢である。反応式で示すと次のようになる。



7 解離―会合反応に基づく K₂Ti₄O₃ 繊維のフラックス成長反応の模式図

これは解離一会合反応である. 要するに高温では解離反応, 低温では会合反応が優勢である.

x=1/3 では 1/4 と比較して同温度ではは明らに $K_2Ti_4O_9$ 相の生成量が多い. これは溶融液の塩基性度の高揚に起因している.

以上の反応機構に基づいて図3に示す長繊維化 条件を検討すると次のことが結論される. まず徐 冷開始温度を比較的高くして解離反応により K₂Ti₆O₁₃ 相の生成量(1150℃ では 100%)を多く し、次に徐冷により会合反応を促進して KoTiaOo 相へ移行せしめる. その移行量が多いほど繊維が 成長している.要するに、徐冷開始温度で会合反 応に寄与する K₂Ti₆O₁₃ 相の多いこと及び会合反 応速度を制御することが重要である. 会合反応速 度は徐冷速度のみならず塩基性度にも大きく影響 される. x=1/3 で 1150℃ から徐冷しても成長 しないのは高塩基性度のために反応速度が早や過 ぎ, x=1/4 で 1200℃ から徐冷した場合に反応 が完結しないのは高温で多少の K₂O 成分が蒸発 し、塩基性度が低下して反応が進行しないためで あろう.

(5) K₂Ti₄O₉ 繊維の成長反応¹³⁾

 K_2MoO_4 及び K_2WO_4 溶融液中での K_2TieO_{13} 相の生成反応は(4)項で詳述しているように 固一液界面反応であるが, $K_2Ti_4O_9$ 相繊維についても全く同様である.例えば図6(a)の実験結果の中で,950°C 5 分間のフラックス反応でも95%以上の収率を示した.これは従来のフラックス反応である溶解一析出反応では説明できない.明らかに固一液界面反応であり,その内容は段階的に2種類にわかれる.最初, TiO_2 粒子中へ溶融液中の

 K_2O 成分が拡散する成層反応で K_2TiO_{13} 及び $K_2Ti_4O_9$ 相を生成する、次にこの両固相と K_2O 液相とは(4)式の解離一会合反応に従う.

この解離一会合反応は既に述べたように反応温度と溶融液の塩基性度に著しく影響される. 高温から徐冷により $K_2Ti_4O_9$ 相が生成するとき繊維は最も成長する. 要するにこの場合の解離一会合反応が成長反応であり、従来報告のない新しい成長反応である. 解離一会合反応と溶解一析出反応は成長現象の中で次のように対比することができる.

溶解—析出反応:過飽和度 →析出速度→成長 解離—会合反応:K₂Ti₆O₁₃/K₂Ti₄O₉ 生成比

→会合谏度→成長

図7は x=1/4 について観測された解離一会合 反応を模式的に示したものである。初期生成相の 温度依存性と徐冷効果による会合反応の重要性を 示している。

本成長反応の特徴について考察する. (4)式に従えば、原料に $K_2Ti_4O_9$ 相短繊維を用いて徐冷による会合反応 だけでも $K_2Ti_4O_9$ 相へ移行し繊維は成長するはずであるが、実際に 1100° から 950 $^{\circ}$ まで徐冷した結果、平均 $0.3\,\mathrm{mm}$ の $K_2Ti_4O_9$ 相繊維が平均 $3\,\mathrm{mm}$,最大 $10\,\mathrm{mm}$ の $K_2Ti_4O_9$ 相繊維が平均 $3\,\mathrm{mm}$,最大 $10\,\mathrm{mm}$ の $K_2Ti_4O_9$ 相繊維の成長した。次に、固一液界面反応の成立最低条件は固相の周辺部が液相であればよい。換言すればフラックス量は極端に少なくてもよさそうである。実際に $(K_2O)_{1/4} \cdot TiO_2 : K_2MoO_4 = 95:50$ である。実際に $(K_2O)_{1/4} \cdot TiO_2 : K_2MoO_4 = 95:50$ モル百分率の配合比でも解離一会合反応は成立し、 $K_2Ti_4O_9$ 相繊維は成長する。この種のフラックスは成長反応を促進する触媒作用と言える。

最近 $Dion^{14}$)らにより $K_2Ti_4O_9$ の構造は $Tl_2Ti_4O_9$ と等構造であることが報告された。そこで本成長反応を構造的にみれば $K_2Ti_6O_{18}$ 相は TiO_6 八面体 3 個が積共有し、繊維軸 b と平行するトンネル構造 5)を示すが、会合反応により $K_2Ti_4O_9$ 相へ組成変換すると TiO_6 八面体 4 個が稜共有し繊維軸 b と平行する層面を有する層状構造へ変換することになるその関係を模式的に図 8 に示す。

(6) K₂Ti₄O₉ 繊維の成長過程¹⁶⁾

K₂Ti₄O₉ 相繊維の成長について実際のフラック ス反応の徐冷過程の中で起こっている会合反応の

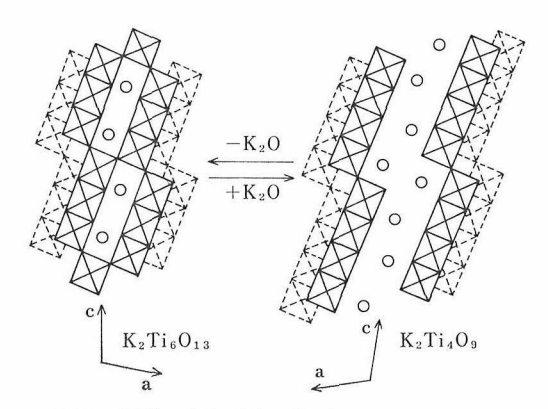


図8 解離一会合反応に基づく構造変換の模式図

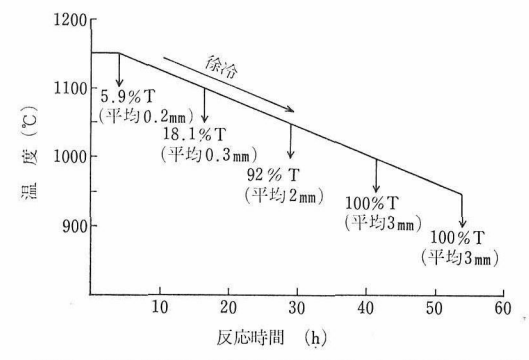


図 9 徐冷過程における $K_2Ti_4O_9$ と $K_2Ti_6O_{13}$ 両相の生成比と平均繊維長の相関性 $((K_2O)_{1/4}$ ・ $TiO_2: K_2MoO_4=30:70$ モル百分率,徐冷速度 4C/h)

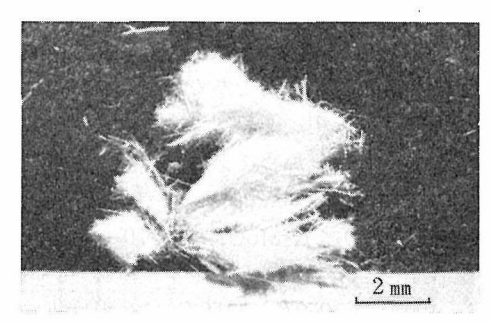


図10 図9の徐冷過程に従い960℃で急冷して得た K₂Ti₄O₉ 相繊維.

定量的観測と繊維長との相関性について調べた結果を 図9 に示す. 図 中の $K_2Ti_4O_9$ 相生成率は $K_2Ti_6O_{13}$ 相に対するものである. 結果として, 会合反応と成長の相関性は明瞭である. 徐冷法で 得られた $K_2Ti_4O_9$ 相繊維を図10に示す.

7.1.4 六チタン酸カリウム繊維の育成

K₂Ti₆O₁₃ 単独相繊維は,(1)項で述べた図1と

表 3	K2Ti6O13	の格子定数の比較
-----	----------	----------

合成方法	a (A)	b(A) c(A)		β	$V(A^3)$	$ ho({\rm g/cm^3})$	
K ₂ MoO ₄ フラックス	15. 623 ± 0.006	3.800 ± 0.001	9.159 ± 0.004	99. 14±0. 01	536. 7	3. 548	
K ₂ WO ₄ フラックス	15. 634 ± 00005	3.799 ± 0.001	9.148 ± 0.004	99. 14 ± 0.01	536. 4	3.551	
メルト育成5)	15. 582 ± 0.006	3.82 ± 0.01	9.112 ± 0.001	99. 76		3. 581	
メルト育成4)	15. 60	3.80	9. 13	99. 6		3.58	

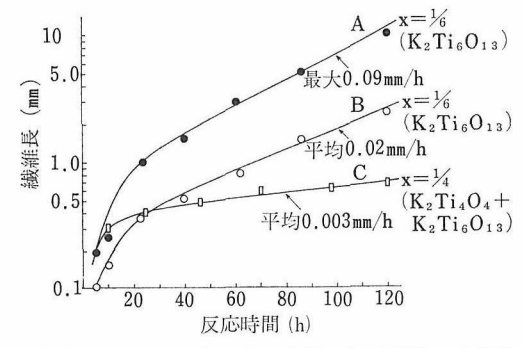


図11 K₂MoO₄フラックスを用いた1180℃一定条件 下における K₂Ti₆O₁₃ 繊維及び K₂Ti₄O₉ 繊維 との混合相の成長挙動の比較

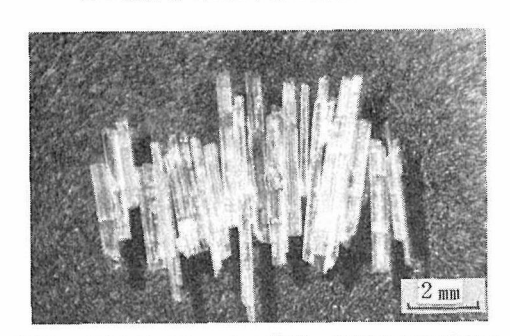


図12 K₂MoO₄フラックス使用, 1180℃ 120 時間で 育成した K₂Ti₆O₁₃ 単結晶

図3の結果及び(2)項で示した表1と表2の結果から結論されるように $K_2Ti_4O_9$ 相繊維と比較して成長しない。特に,徐冷効果は非常に小さいことがわかる。この成長しない原因については $K_2Ti_4O_9$ 相のように解離一会合反応の機構とは異なることが推定される。図11は1180 $\mathbb C$ 一定温度下の条件すなわち蒸発法で経時変化に対する繊維長の変化を調べた結果を示している。 $K_2Ti_4O_9$ 相を生成する溶融液の塩基性度の比較的高い組成条件ではほとんど成長しないが, $K_2Ti_6O_{13}$ 単独相を生成する塩基性度の低い条件では比較的よく成長することが明白である。

K₂Ti₆O₁₃ 相のフラックス 初期反応は K₂Ti₄O₉

相と同様に固一液界面反応である。その理由として、(1) 反応5時間でも収率は100%で繊維長がそろっている、(2) 原料はほとんど溶解しない。(3) 反応に核形成過程がないため種子効果がない。(4) 反応初期では少なくとも繊維径が原料 TiO2 の粒子径と比例関係を有する。これはTiO2 粒子中へK2O 成分の拡散が反応律速であることから TiO2 の反応活性は粒子の比表面積に依存することに基づくものである。要するに初期反応は固一液界面反応であるが、これが経時変化で漸次サイズ効果が作用し、溶解一析出反応に移行して成長することが考察される。実際に、図11の過程の中で120時間後の成長状態は約10%程度の結晶は0.5×9mm以上の大きな針状結晶として得られる(図12)、これは溶解一析出反応の特徴である。

 K_2MoO_4 及び K_2WO_4 フラックスから 得られた $K_2Ti_6O_{13}$ 針状単結晶は b 軸方向に伸長し、良く発達した六角柱面は $\{100\}$, $\{401\}$, $\{403\}$ などである。粉末 X 線回折 から 単斜晶系 C_2/m 空間群を用いて計算した格子定数、単位容積、計算密度を表 3 に示す。

7.1.5 四チタン酸カリウム繊維からカリウム溶 出によるアナターゼ繊維への組成変換

チタン酸カリウムの化学的性質,とくに安定性については若干のことが知られている。Belyaevら $^{1)}$ の各種チタン酸カリウムの加水分解率,Berryら $^{4)}$ の K_2TieO_{13} 相に 対する分解試験をはじめ,武藤 $^{16)17}$)の K_2TieO_{13} と K_2TieO_{5} について各種酸によるK及び Ti の溶出性及び K_2TieO_{13} の各種酸化物及び炭酸塩との反応性について報告がある。最近,清水らはチタン酸カリウム繊維を硫酸水溶液で水熱処理することによりKイオンを溶出し,繊維状アナターゼの合成を報告した。

本報ではフラックス法 で育成した K₂Ti₄O₉ 相 長繊維(平均 2.5 mm)を用いて室温,常圧下で 種々酸性水溶液によるK溶出性と,より K₂O 成

表 4 K₂Ti₄O₉繊維0.105gを用いて種々酸水溶液中で24時間K*イオンを溶出後,900℃で加熱 処理して得られた生成物

	HCI	HNO₃	H ₂ SO ₄	(COOH) ₂	нсоон	СН₃СООН
0.01N— 50 m <i>l</i>	A	A	A	A > H	A > H	A > H
0.005 N —100 m l	A	A	A > H	$A \approx H$	$A \approx H$	$A \approx H$
$0.0025 \mathrm{N} - 200 \mathrm{m} l$	A	A > H	A < H	A < H	A < H	A < H

 $A = T + \beta - t$, $H = K_2 Ti_6 O_{13}$

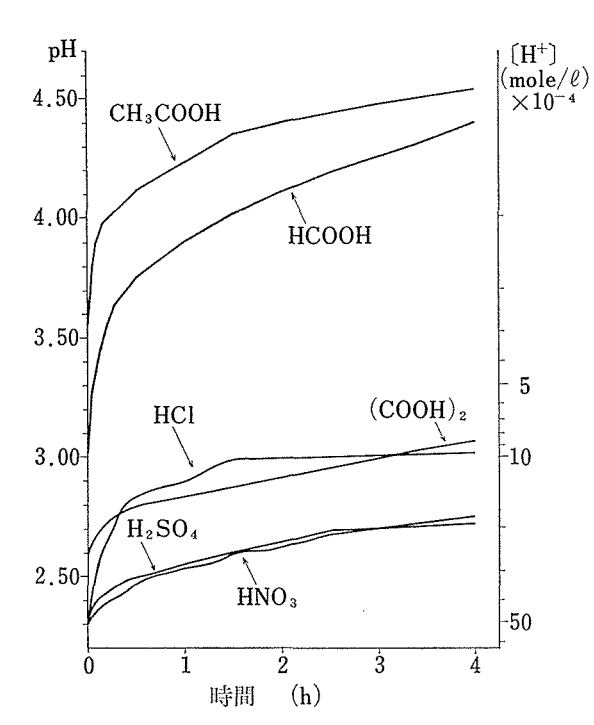


図13 種々酸水溶液中で K₂Ti₄O₉繊維から K⁻イオ ン溶出に伴う pH 変化曲線(試料 0.105g, 0.005N100 m*l* 使用)

分の少ない相への相成変換及びその過程について 検討した.

K₂Ti₄O₉ 繊維から カリウムイオン の 溶出 件.

供試 K₂Ti₄O₉ 繊維 0.105g を 0.005N 100 mt の各酸水溶液を用いて K⁺ イオンの溶出性を調べた結果が図13である. 酢酸, 蟻酸, 蓚酸は他の酸と出発時の pH 値が異なっているので注意を要する. K⁺ イオンの溶出力の強い順序は塩酸>硝酸~硫酸>蓚酸>蟻酸>酢酸の関係が明白である。この結果, 繊維中の全K成分溶出には塩酸, 一部K成分溶出には酢酸水溶液が最適である. 長時間にわたるK成分の溶出状態とそれに伴う相変化を調べるために各酸水溶液中に 24 時間浸渍後, 900

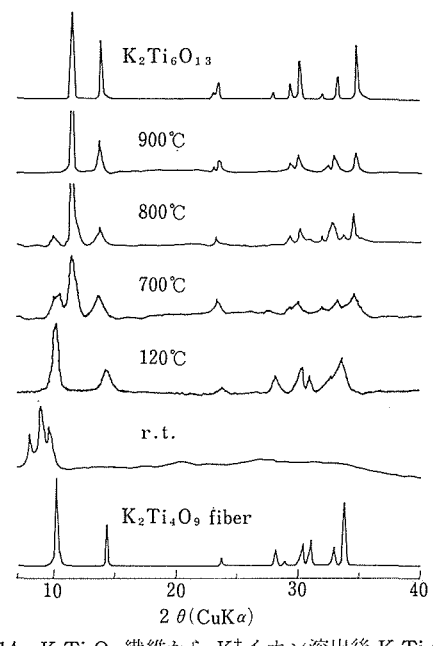


図14 $K_2Ti_4O_6$ 繊維から K^+ イオン溶出後 $K_2Ti_6O_{13}$ 繊維への加熱による構造変換過程 を示 して いる粉末×線回折像.

 \mathbb{C} で数分間加熱処理した結果を表3に示す。この結果も塩酸が最も K^+ イオンを溶出しやすく,酢酸が比較的溶出し難いことが結論される,また本繊維から全K成分を抽出すると酸の種類に関係なくアナターゼ相へ移行する。

(2) K₂T!6O₁₃ 繊維への変換及びその過程

 $K_2Ti_4O_9$ 相繊維から $K_2Ti_6O_{13}$ 相繊維への変換について酢酸水溶液(0.0025 N, 200 ml/0.105 g 試料)を用いた場合の溶出時間を検討した。 もちろん,溶出処理後 900° C で数分間 加 熱 し て調べる。 30 分間 では $K_2Ti_4O_9$ と $K_2Ti_6O_{13}$ の混合相, 1 時間で目的の $K_2Ti_6O_{13}$ 単独相, 4 時間では $K_2Ti_6O_{13}$ とアナターゼの混合相であった。 この結果,酸濃度が決定すれば溶出時間だけで溶出量を制御することができる。 1 時間溶出試料の加熱過程における相変化を図14に示す。なお, K溶

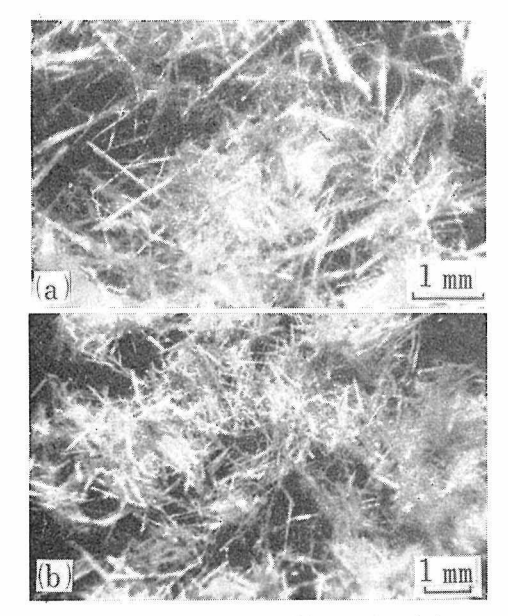


図15 もとの K₂Ti₄O₉ 繊維(a)と酢酸水溶液を用いて変換処理して得られた K₂Ti₆O₁₃ 繊維(b)の 実体顕微鏡写真.

(3) アナターゼ繊維への変換とその過程

 $K_2Ti_4O_9$ 相繊維から全K成分を溶出してアナターゼ繊維への変換について検討した。塩酸水溶液 $(0.1\ N,\ 200 ml/1g\$ 試料)を用いて 3 時間溶出したものは $900\$ C 加熱処理すると100%アナターゼ相へ移行する(図17)。アナターゼ相ではもとの繊維状態を保持しているが、 $1000\$ C に加熱してルチルへ転移すると繊維状態は崩壊した。

全K+イオンを溶出すると組成的にTiO2・nH2O

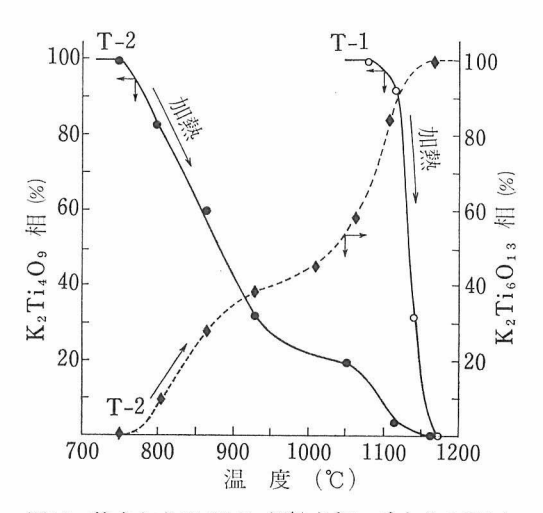


図16 乾式合成 $K_2Ti_6O_9$ 相粉末(T-1)とその K^-T オン溶出試料 (T-2) の振動法高温 X線回折 の相対強度変化より求めた相変換挙動・

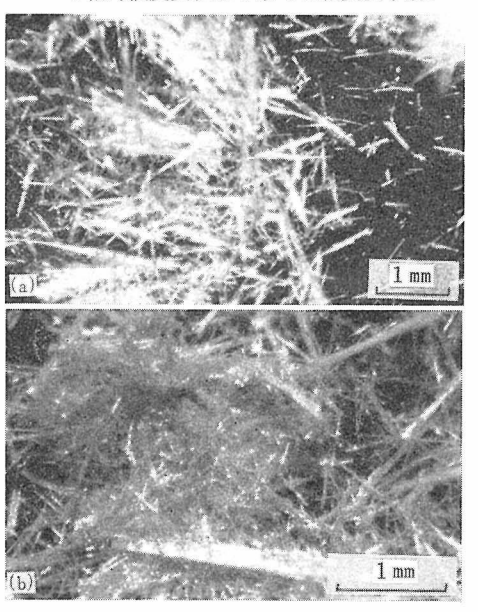


図17 $K_2\text{Ti}_4\text{O}_9$ 繊維の塩酸処理 に より得られたチ タニア水和物繊維(a)を用いて 900 $^{\circ}$ 加熱によ り変換したアナターゼ繊維(b).

となり、チタニア水和物となる。風乾状態のn値は0.6付近である。次にチタニア水和物からアナターゼへの変換過程について調べた。熱分析の結果を図18に示す。図18(a)はK溶出前の $K_2Ti_4O_9$ 繊維試料であるが、減量は水だけであり、400Cまでに3段階の脱水反応がある。水の占有状態については100 C付近で脱水する水は層間水、それ以上では K^+ イオンの溶出と関係した結合水であ

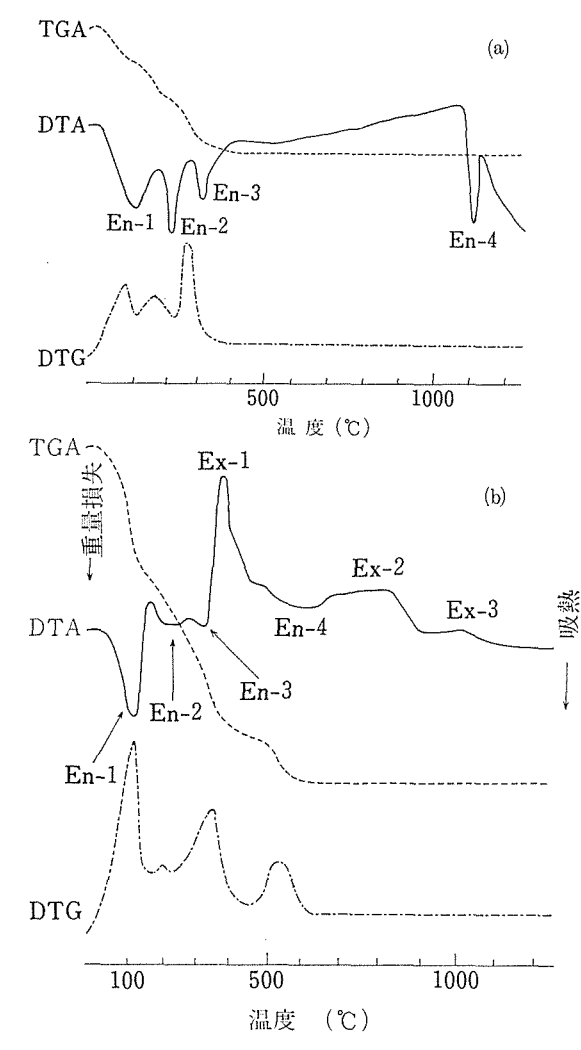


図18 出発試料 K₂Ti₄O₉・nH₂O 繊維(a)とチタニヤ 水和物(TiO₂・nH₂O)繊維(b)のDTA, TG 及 び DTG 曲線

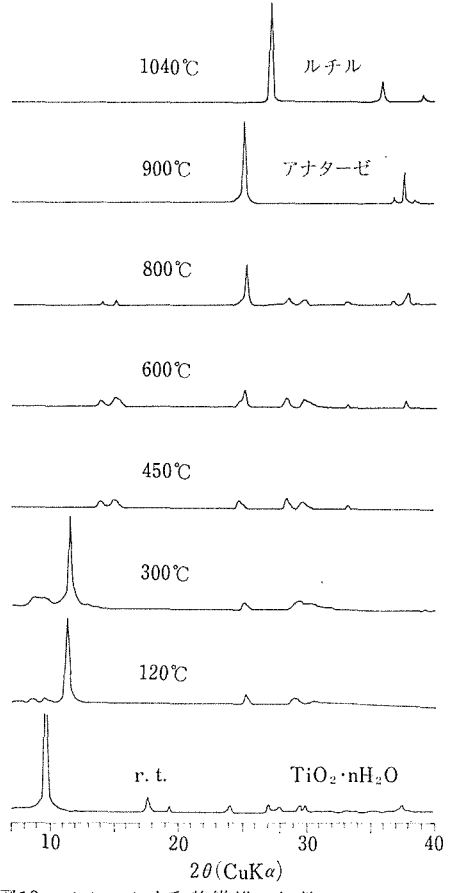


図19 チタニヤ水和物繊維の加熱によるアナターゼ及びルチルへの構造変換過程を示している粉末X線回折像.

ナターゼ相からルチル相への転移に関係したもの と解せられる.

本変換過程の粉末 X線回折の 結果を 図 19 に示す。全 K成分を溶出して得た $TiO_2 \cdot nH_2O$ 相は $2\theta = 9.8$ に最強線をもつ結晶相である。この回折線は脱水に伴い高角度側へ移動する。300 C \sim 450 C 間でこの回折線は消失し,中間相へ移行する。この中間相は鋭い回折線が現れないことから含水相の構造が崩壊して生成した規則性の悪い相と推定される。600 C ではアナターゼの 結晶化が始っているが,これは DTA の 4 段階目の脱水終了と関係がある。

要するにチタニア水和物は加熱過程で次の相変 化順序に従ってルチル相まで移行する.

一部脱水 脱水 含水相─→中間相─→アナターゼ相 (チタニア水和物)400℃ 700℃

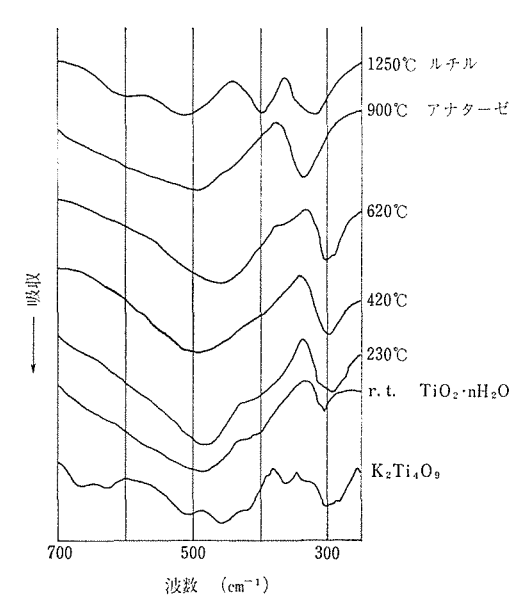


図20 チタニヤ水和物繊維の加熱によるアナター ゼ及び ルチルへの 構造変換過程を示す IR スペクトル像

—→ルチル相 1000℃

次に、この相変化過程の IR スペクトル観測結 果を図20に示す, 出発試料の K2Ti4O9 相につ いては既に報告18)があり510 cm-1 と460 cm-1 の 吸収帯は Ti-O 結合の伸縮振動, 300 cm⁻¹ のそ れは変角振動とされている。 チタニア 水和物は 490 cm⁻¹ と 300 cm⁻¹ に特徴的な吸収帯があり, K2Ti4O9 のスペクトル像と酷似することから前者 は伸縮振動,後者は変角振動と解釈される.加熱 に伴い 490 cm-1 の吸収帯は低波数側へ移行する 傾向を示すが、300 cm⁻¹ のそれは変動しない. 900 ℃ で中間相 から結晶化したアナターゼ 相は 490 cm⁻¹ と 335 cm⁻¹ に特徴的 な 吸収帯を示す が、これらの波数値は従来報告19)20)のものより低 い値である. 比較のため市販試薬では540 cm⁻¹ と 355 cm⁻¹ に吸収帯を示した. 本アナターゼを 更に加熱してルチルへ相転移させた試料の吸収帯 もまた文献値¹⁸⁾より低波値を示す. これら IR の スペクトル像の相違は製造履歴に関係している.

次に、チタニア水和物の脱水過程をO-H 伸縮振動に帰属する吸収帯を $3000\sim4000 \mathrm{cm}^{-1}$ の範囲で観測した。620% までに脱水は完了しているが上記で示したような4 段階を区別することは困難

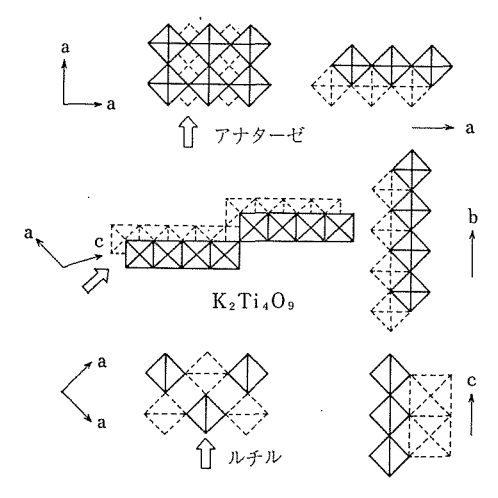


図21 K₂Ti₄O₉, アナターゼ及びルチル各相間の TiO₆ 八面体連結様式の類似性と相変換の 相関性

であった.

最後に構造的観点から $K_2Ti_4O_9$ 相と変換した TiO_2 相の相関性を検討すると 図21 のようになる. 図の右側は左側の TiO_6 八面体の連結様式を 矢印方向からみた場合で,横の連結は横方向に,縦の連結は上下方向にみた場合である. この結果 から $K_2Ti_4O_9$ 相の全K成分を 溶出するとルチルよりもまずアナターゼに移行するが, TiO_6 八面体の連結様式の類似性から説明できそうである. 実際に $K_2Ti_4O_9$ 相の繊維軸は b 軸であるが, アナターゼ相に移行すると a 軸と平行する.

7.1.6 水分吸着性18)21)

チタン酸カリウムの水分吸着性は化学的安定性の尺度としてみることができる.

図22はフラックスを使用しない 乾式法で800℃ 48時間焼成により合成した $K_2Ti_4O_9$ 粉末(T-1A)とそれを蒸留水に室温で48時間浸漬後120℃で乾燥した試料(T-2A)及び蒸留水の代りに 1 N酢酸水溶液に室温で49時間浸漬後120℃で乾燥した試料(T-3A)について大気中での吸湿量を測定した結果である. 化学量論的組成の $K_2Ti_4O_9$ 粉末は20時間で3.5%($K_2Ti_4O_9$ ・0.8 H_2O)増量して一次飽和し100時間後でも変化しなかったが、700時間経過後では9.0%($K_2Ti_4O_9$ ・2 H_2O)に達した. これを120℃で脱水処理した後では1時間で3.5%、20時間で8%、70時間で9.2%に復水した. T-2A 及び T-3A 試料の風乾

無機材質研究所研究報告書 第19号

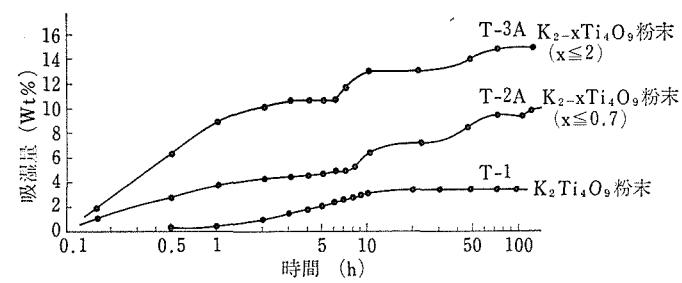


図22 乾式法で合成したK₂Ti₄O₀相 (T-1), それを蒸留水で室温において48時間浸漬後120℃で乾燥した試料(T-2A)及び1N酢酸水溶液で室温において48時間浸漬後120℃で乾燥した試料(T-3A)の吸湿曲線

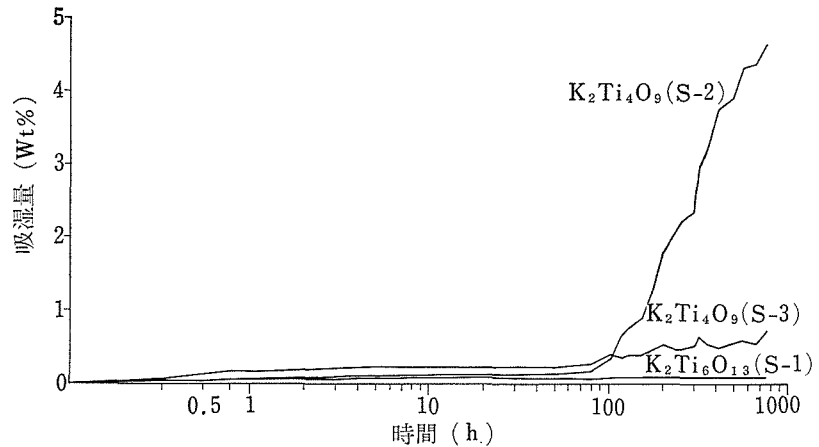


図23 フラックス法で合成したK₂Ti₆O₁₃ 繊維と K₂Ti₄O₉ 相繊維の吸湿曲線. (S —1は1200℃より900℃, S—2は1100℃より900℃, S—3は1000℃より900 ℃まで4℃/hの速度で徐冷した.

表 5 吸水試験に用いた繊維

	徐冷温度* (℃)	合成繊維の 化学組成	平均繊維長 (mm)
S-1	1200→900	(K ₂ O) _{0.94} • 6TiO ₂	0.3
S-2	1100→900	$(K_2O)_{0\cdot 97}\cdot 4\mathrm{TiO}_2$	2. 5
S —3	1000→900	$(K_2O)_{0\cdot 99} \cdot 4TiO_2$	0.1

^{*} 徐冷速度は 4℃/h

体を 120°C で脱水 す るとそれぞれ 12.1% (K_{2-x} $Ti_4O_9 \cdot 2.8 H_2O$;x<0.7) 及び16.4%($K_{2-x}Ti_4O_9$ $\cdot 3.8 H_2O$;x<2) の減量を示した。その復水曲線が図22中に示されている。要するに、大気中での水分吸着量は水及び酸処理によりK成分を溶出すると、それに比例して増大する傾向を示す。120°C での熱処理の場合は脱水一復水反応はいずれも可逆的であるが、500°C以上ではT—1を徐いて復水現象が構造変化を伴い消滅した。

フラックス法により合成した K₂Ti₆O₁₃ 繊維と

K₂Ti₄O₉ 繊維について大気中に放置して吸湿性を 測定し、粉体試料と比較した. 用いた試料の製造 履歴、組成、繊維長を表5に示す、吸湿による重 量増加の挙動を図23に示す. K₂Ti₆O₁₃ 相は全く 吸湿性を示さない. K₂Ti₄O₉ 相繊維は製造履歴に より異なる挙動を示すことが判明した. 特に100 時間経過後1100℃より徐冷して作成した繊維は急 激に吸湿性が増大するが、1000℃より徐冷して作 成した繊維は著しく吸湿性が劣る. K₂Ti₄O₉ 相繊 維の吸湿性の相違が製造履歴に起因 すると すれ ば、吸湿性大の試料は徐冷効果により K₂Ti₆O₁₃ と K₂O 成分の会合反応で生成し成長したもので あるが, 吸湿性の著しく小さい試料は徐冷効果の 小さい状態で生成したものであり、初生的な K₂Ti₄O₉ 相繊維でほとんど成長していない. 焼成 法合成粉体試料よりは明らかに繊維試料の方が吸 湿性が小さく化学的に安定である.

7.1.7 結論

- (4) フラックス法によるチタン酸カリウムの合成相は出発組成、換言すれば溶融液の塩基性度及び反応温度依存性を示し、 $K_2Ti_4O_3$ と $K_2Ti_4O_9$ は単独相の生成領域を有する.
- (P) K₂Ti₄O₉ 相繊維は特定の出発組成、温度に対して成長領域を有する.(K₂O)_{1/4}・TiO₂ 組成で1150℃より徐冷した場合が最も長繊維化する.
- (Y) K_2MoO_4 及び K_2WO_4 フラックスの溶融液の塩基性度は MoO_3/K_2O 又は WO_3/K_2O のモル比及び TiO_2/K_2O のモル比により制御でき合成相を選択することができる.
- (i) チタン酸カリウムのフラックス反応は固相の TiO_2 粒子へ液相の K_2O 成分が拡散し、成層反応 する固一液界面反応である。固一液界面反応の内 容は出発組成として $(K_2O)_{1/4} \cdot TiO_2$ を用いれば $2K_2Ti_6O_{13(s)} + K_2O_{(t)} \longrightarrow 3K_2Ti_4O_{9(s)}$ 式に従う解 離一会合反応である。低温では会合反応が優勢で $K_2Ti_4O_9$ 相を生成し、高温では解難反応が優勢で $K_2Ti_4O_{13}$ 相を安定に生成する。
- は) $K_2Ti_4O_9$ 相繊維は(P)の結論から $2K_2Ti_6O_{13}+K_2O\rightarrow 3K_2Ti_4O_9$ 式に従う 会合成応が徐冷効果により促進するとき 最 も 長 繊 維 化 す る. 一方, $K_2Ti_6O_{13}$ 相繊維の成長 は 解離一会合反応に従わない.
- (^) K₂Ti₆O₁₃ 相の 成長は 固一液界面反応により 生成後サイズ効果により溶解一析出反応に移行し て成長する.
- (ト) K₂Ti₄O₂ 相繊維中のK成分の一部を酸類で溶出するとき溶出力の強い順序は塩酸>硝酸≪硫酸> 蓚酸> 蟻酸> 酢酸である.
- (チ) K₂Ti₄O₂ 相繊維中のK成分の一部を酢酸水溶液で溶出し、700℃以上で加熱処理すれば繊維状態を保持したま Δ 構造変換し、K₂Ti₅O₁₃ 相繊維を生成することができる。
- (リ) $K_2Ti_4O_9$ 相繊維中の全K成分を塩酸水溶液で溶出すれば結晶質チタニヤ水和物($TiO_2 \cdot nH_2O$)が繊維状態を保持した ままで生成する. これを700 $^{\circ}$ $^{\circ}$ $^{\circ}$ 00 $^{\circ}$ $^{\circ}$ で焼成すればアナターゼ繊維が得られる.
- (ス) $K_2Ti_6O_{18}$ 相は吸湿性がないが, $K_2Ti_4O_{9}$ 相は吸湿性を示し,その吸湿量,吸湿 挙動は,粉体,繊維,製造履歴などにより相違する.

参考文献

- E. K. Belyaev, et el.: Inorg. Mater., 10, 395 (1974)
- A. J. Easteal and D. J. Udy: High Temp. Sci., 4, 487 (1972)
- 3) 清水紀夫・柳田博明・橋本甲四郎: 窯協誌, 86-8 339 (1978)
- 4) K. L. Berry, et al.: J. Inorg. Nucl. Chem., 14, 231 (1960)
- 5) H. Cid-Dresdner and M. J. Buerger: Z. Kristallogr., 117, 411 (1992)
- 6) 斎藤肇, 田草川信雄: 工化, 67, 297 (1964)
- A. J. Easteal and D. J. Udy: J. Mater. Sci.,
 8, 1171 (1973)
- 8) 武藤文夫, 国富稔:工化, 65, 1775 (1962)
- 9) 滝貞男, 田中桂子: 工化, 66, 417 (1963)
- 10) 清水紀夫, 橋本甲四郎, 柳田博明: 窯協誌, **83**, 305 (1975)
- 11) 清水紀夫, 橋本甲四郎, 柳田博明: 窯協誌, **84**, 36 (1976)
- A. M. Shams El Din and A. A. El Hossary:
 J. Electroanal. Chem., 9 349 (1965)
- 13) 藤木良規,太田進啓:窯協誌, 87-3 168 (1979)
- 14) M. Dion, Y. Piffard and M. Tournoux: J Inorg. Nucl Chem., 40 917 (1978)
- 15) A. Verbaere and M. Tournoux: Bull. Soc Chim. France, [4] 1237 (1973)
- 16) 藤木良規,太田進啓:窯協誌,(投稿中)
- 17) 武藤文夫:山梨大学(工)研究報告, 25 95 (1974)
- 18) 武藤文夫,中込恒雄, 滝 貞男:窯協誌, **86** 443 (1978)
- 19) 藤木良規,泉 富士夫,大坂俊明,渡辺 遵:窯 協誌,**85**-10 475 (1977)
- 20) N. T. McDevitt and W. L. Baun : Spect. Acta, 20 799 (1964)
- 21) W. B. White and R. Roy : Am. Miner., 49 1970 (1964)
- 22) 太田進啓, 藤木良規:窯協誌, (投稿中)

7.2 FeTiO₃ 及び MnTiO₃ 単結晶のフラックス育成

7.2.1 緒 言

多原子価元素を含む化合物単結晶の育成には雰囲気制御により原子価を制御することが必要である。 本実験では $\mathbf{Fe^{II}}$ と $\mathbf{Mn^{II}}$ に注目し、イルメナ

イト ($FeTiO_3$) 及びパイロフアナイト ($MnTiO_3$) の単結晶を育成すること,それに伴って原子価制 御技術を確立することが目的である.

最近、FeTiO₃ 単結晶は太陽光利用開発の一環として水の光分解用電池の電極材料の研究からGinley and Baughman¹⁾ による育成の報告があり、MnTiO₃ 単結晶は磁性研究の興味からStickler and Heller (1962)²⁾、Barsukova ら(1973)³⁾、Wanklyn ら(1976)⁴⁾ により育成されている.

得られた単結晶については原子価制御がどの程度行われたか評価する必要があり、EPMAの特性 X線を用いて化学シフトからその検討を試みた.

7.2.2 実験方法

フラックス法の酸素分圧(Po_2)制御技術は、酸化チタンのマグネリ相(Ti_nO_{2n-1})単結晶合成に成功した Berkes ら(1965)⁵),Bartholomew and White (1970)⁶),Roy and White (1972)⁷)などの方法が有役である.それは $Na_2B_4O_7$ - B_2O_3 系フラックスを用いて一定の温度及び Po_2 下でフラックスを蒸発させて過飽和状態に至らしめ,結晶を育成する方法である. Po_2 はガス混合器の中で CO_2 と H_2 ガスの混合比(実際は流量比)を変えることにより制御することができる 8).それは次の平衡が成り立つことから,

$$CO_2+H_2 \longrightarrow CO+H_2O$$
(5)
 $2CO_2 \longrightarrow 2CO+O_7$ (6)

(5)及び(6)式の平衡定数をそれぞれ K_1 , K_2 , 初期のガス混合比 $R=P_{CO_2}/P_{H_2}$ とすれば次式が導入される.

$$Po_2 = K_2 \frac{1}{4} \left[R - 1 + \sqrt{(1-R)^2 + \frac{4R}{K_1}} \right]^2 \cdots (7)$$

結局,平衡定数さえ既知であればは Po₂ は R だけの関数となる.実験に使用したガス混合機を図24に示す.

6kWの炭化珪素発熱体電気炉と30ml 白金つるぼを使用し、育成後のフラックスは硝酸水溶液で溶解して結晶を分離した.

7.2.3 徐冷法による単結晶育成9)

フラックス法の中で最も一般的で効果的な結晶 育成は徐冷法であるが、一定の CO_2/H_2 混合比では温度により Po_2 が変化するため、それにより原子価状態が影響を受ける場合は適用できない。しかし、本実験で問題としている $Fe^{II}O$ 及び

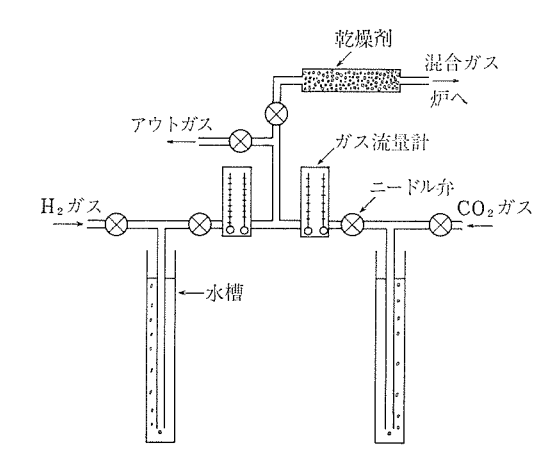


図24 酸素分圧制御用ガス混合機

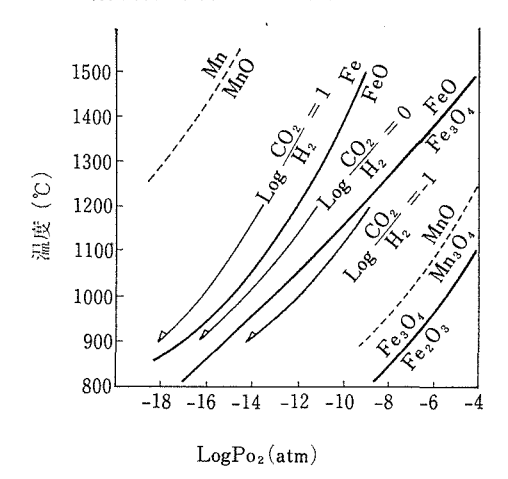


図25 Fe-O 系及び Mn-O 系の T-PO₂ 相図と CO₂/H₂ の定混合比曲線に沿うフラックス 法徐冷過程の位置づけ

 $Mn^{II}O$ の安定領域を形成する相境界,換言すれば Fe/FeO 及び FeO/Fe_3O_4 の平衡曲線,Mn/MnO 及び MnO/Mn_3O_4 の平衡曲線が温度対, Po_2 に対して CO_2/H_2 の定比混合曲線とほぼ平行するため,徐冷法を適応することができる。 もちろん,徐冷により Po_2 は変化するが Fe^{II} 及び Mn^{II} の原子価状態には影響しない。その関係を図25に示す。次に Fe^{II} と Mn^{II} の原子価状態は制御できるとしても Ti^{IV} , の原子価状態に対しても同様な問題がある。 当然 Ti^{IV} は Po_2 の影響を受はけるが,最少限度,ルチル構造の $T-Po_2$ 安定領域内で合成することである。 ルチル相とマグネリ相の境界は既に報告506)されている。 その関係を示すと図26のようになる。この場合にマグネリ相の境界線と

表 6 Log $CO_2/H_2=0$ のガス混合比におけるイルメナイトの徐冷合成条件と結果

FeO・TiO ₂ (モル%)	(Fe ₃ O ₄) _{1/3} ・TiO ₂ (モル%)	(Fe ₂ O ₃) _{1/2} ・TiO ₂ (モル%)	Na ₂ B ₄ O ₇ (モル%)	温 度 (℃)	産 物*
45		Withhird	55	1200→840	$I\ell_{(t)} \rangle\rangle\langle I\ell_{(0)}\rangle R_{(n)}$
47		MANAGEMA	53	1200→900	$I\ell_{(t)} \rangle\rangle\rangle I\ell_{(0)} > R_{(n)}$
	45		55	1200→960	$I\ell_{(t)} \gg I\ell_{(0)} > R_{(n)}$
	50	_	50	$1200 \rightarrow 950$	$I\ell_{(t)} \gg I\ell_{(0)} > R_{(n)}$
Property Control of the Control of t	and the same of th	40	60	1200→900	$I\ell_{(t)} \gg I\ell_{(0)} > R_{(n)}$
_	Walnus	47	53	1100→840	$I\ell_{(t)} \gg I\ell_{(0)} > R_{(n)}$

 $I\ell_{(t)}$: 板状イルメナイト, $I\ell_{(o)}$: 八面体形イルメナイト, $R_{(n)}$: 針状ルチル

表7 Log $CO_2/H_2=1$, 0, -1 の種々ガス混合比におけるパイロファン石の徐冷合成条件と結果

		······································	****		
$MnO_2 \cdot TiO_2$	$Na_2B_4O_7$	$LogCO_2/H_2$	温 度	$Log PO_2$	結 晶
(モル%)	(モル%)		(℃)		(mm)
50	50	1	1200→950	— 9. 0→ — 13. 2	15×10 赤かっ色
50	50	0	1100→920	- 12. 8→16. 0	5× 5 "
50	50	0	$1100 \rightarrow 940$	$-12.8 \rightarrow 15.4$	10× 5 "
50	50	-0.7	1100→920	11. 2→14. 5	3× 3 "
50	50	-1	1100→950	$-15.0 \rightarrow 17.2$	5× 5 赤かっ色及び緑色
50	50	-1	1100→950	$-15.0 \rightarrow 17.2$	5× 5 赤かっ色及び緑色

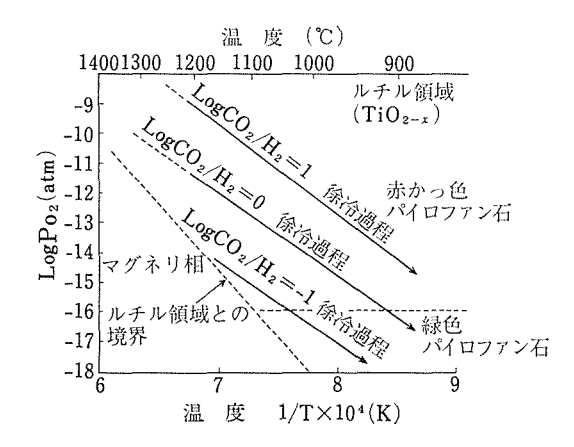


図26 ルチル構造安定領域内の CO₂/H₂ 定混合比 曲線に沿う パイロファナイト 単結晶 育成の フラックス法徐冷過程の位置づけ

 CO_2/H_2 の定比曲線は完全 な 平行を示さない. イルメナイト単結晶は図25の FeO 安定領域内の $Log\ CO_2/H_2=0$ の一定混合比で 1200 $\mathbb C$ から 900 $\mathbb C$ 付近まで 4 $\mathbb C$ /h の速度 で 徐 冷 し て育成した. Po_2 は $10^{-11.5}\sim 10^{-16.3}$ 付近まで変化することになる. 結果を表 6 に 示 す. 鉄 成 分 と し て FeO, Fe_3O_4 , Fe_2O_3 を区別して使用したが,合成相の種類に変化はなく,黒色板状イルメナイト 黒色八面体状イルメナイト及び帯淡青色針状のルチルがいずれも生成した. しかし, FeO を使用すると比較的多量の板状イルメナイトが生成した. 板状イルメナイトが最も大きな結晶で得られその最大は $4\times4\times0.5\,\mathrm{mm^3}$ であった(図27)板状イルメナイトの代表的晶相は $\{0001\}$, $\{0112\}$ $\{1011\}$ 面からなり,八面体状の良く発達した面は $\{0001\}$, $\{0112\}$ 面であった. 針状ルチルは鉄成分の種類よりも徐冷の終点温度に影響された生成量を示し,低温,すなわち Po_2 の低い状態ほど量が多かった. 針状ルチルの晶相は $\{110\}$ と $\{111\}$ 面からなる. 代表的板状イルメナイトの格子定数はa=5.085Å, c=14.083Å であった.

板状イルメナイト単結晶の表面は微分干渉顕微鏡で観察すると比較的平坦である. 典型的な渦巻成長層は観察されないが, 渦巻成長丘は普遍的に観察される. いずれにしても成長晩期にはラセン転位を媒介とした Frank 機構が成長の主役であったことを物語っている.

無機材質研究所研究報告書 第19号

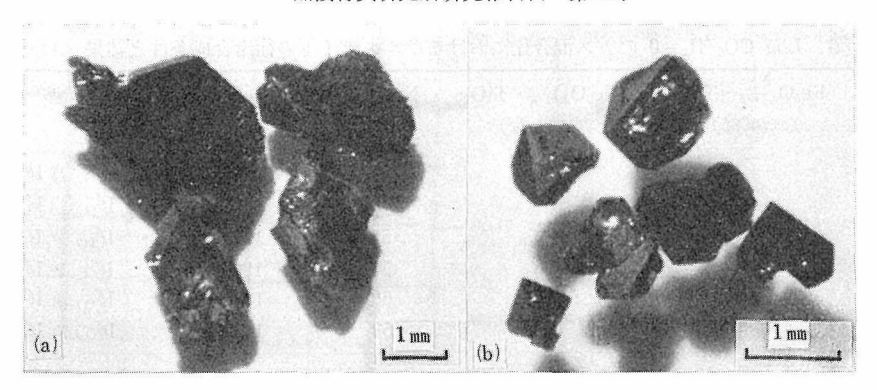


図27 FeO安定領域内(Log CO₂/H₂=0 において) でフラックス法で 1200℃より880℃まで徐 冷して育成したイルメナイト単結晶:(a) 板状 (b) 八面体状

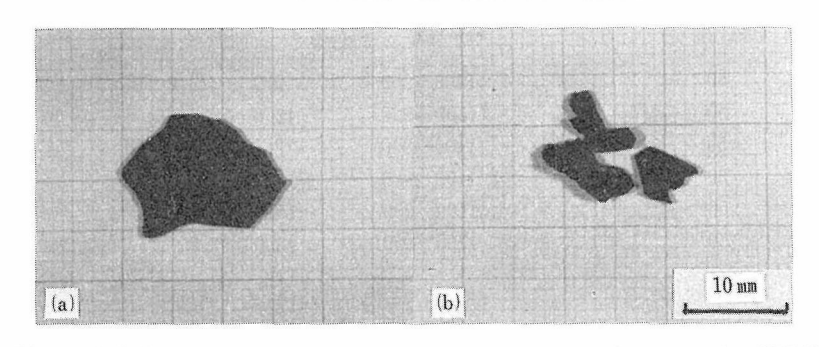


図28 MnO 安定領域内でフラックス徐冷法により育成したパイロファナイト単結晶: (a)Log $CO_2/H_2=1$ において1200%より950%まで徐冷して得た赤かっ色結晶 (b)Log $CO_2/H_2=1$ において1100%より950%まで徐冷して得た緑色結晶

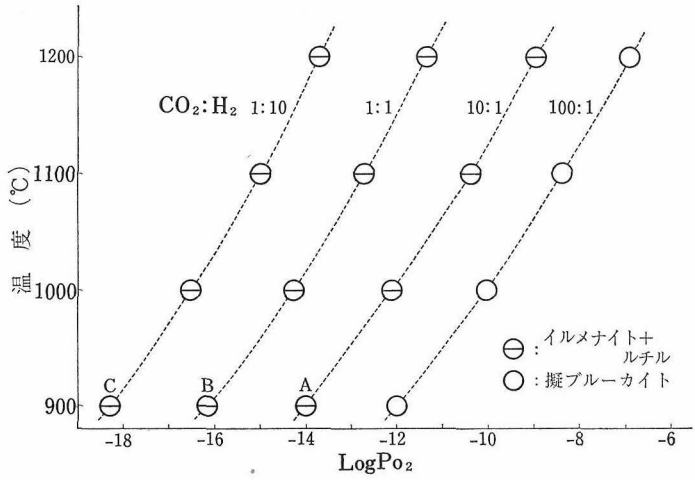
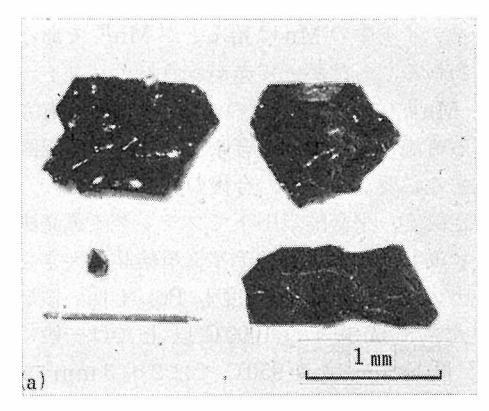


図29 温度-Po₂とイルメナイトの生成領域

広いために ガス 混合比を $CO_2/H_2=1/10\sim 10/1$ の範囲内で使用する ことが できる. Po_2 が大体 $10^{-16}(atm)$ より高い領域で 得られた 結晶は赤かっ色薄板状であるが、 Po_2 が $10^{-16}(atm)$ よりも低下すると緑色板状の結晶が 生成する(図28).

時には1個の結晶の中で両色の帯状分布が観測され、中心部が赤かっ色で周辺部が緑色である.パイロファナイトの晶相はイルメナイトと同じで、{0001}面が最も発達するが、少量の厚板状も出現し{0001}面の他に{1011}や{0112}面も発達する.



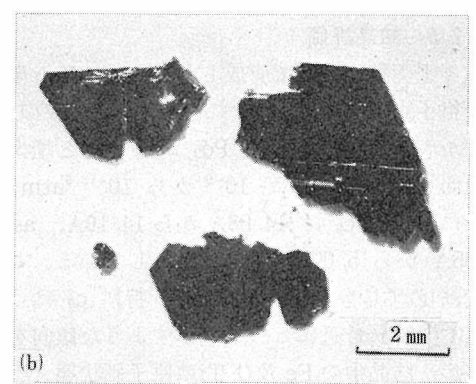


図30 一定温度の平衡酸素圧下で育成したイルメナイト及びバイロファナイト単結晶:
(a) 900℃, 10^{-16.4}(atm), 340 時間で育成したイルメナイト単結晶, (b) 950℃, 10^{-16.8} (atm), 340 時間で育成したパイロファナイト単結晶

微量の淡色針状ルチルが共生することもある. 代表的パイロファナイトの格子定数はa=5.137Å, c=14.287Å であった.

7.2.4 平衡酸素圧下での単結晶育成

原子価状態を正しく制御した結晶合成では平衡酸素圧下で行う必要がある.一定温度,平衡酸素圧下のフラックス蒸発法でイルメナイト及びパイロファナイト単結晶を育成しながら T-Po₂ 相図を作成した. 反応時間は240時間~340時間であった.

イルメナイトに対する相図を図29に示す. FeTiO₃ 中の Fe 及び Ti の混合原子価の問題を別にして鉱物学的な相の安定関係は温度と Po_2 の両因子に支配されている. Po_2 の低い領域ではイルメナイトとルチルが共生し、 PO_2 の高い領域では擬ブルーカイト単独相が生成するが両生成領域の境界は $T-Po_2$ に対するガスの混合比曲線と

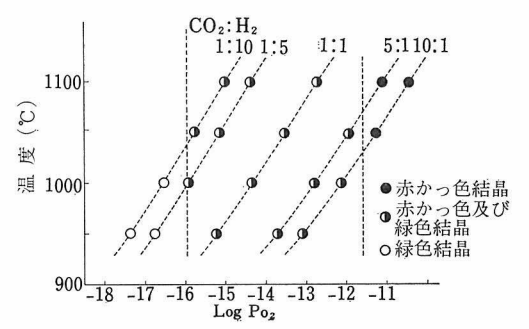
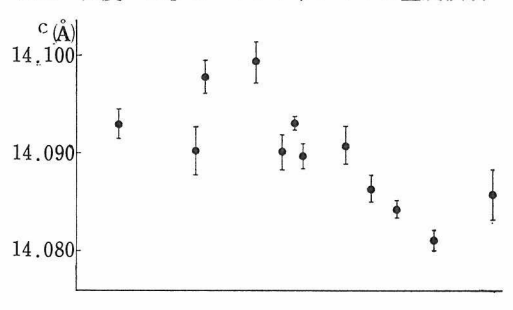


図31 温度-Po₂ とパイロファナイトの生成領域



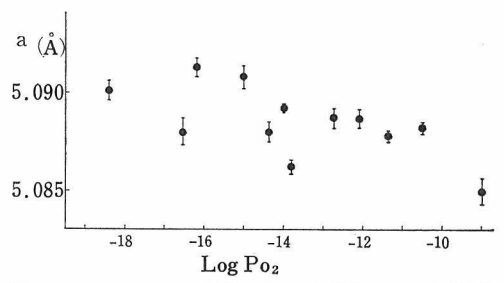


図32 イルメナイト結晶の格子定数と Po2の相関性

平行している.図25の中で示せば FeO/Fe_3O_4 平衡曲線とほぼ平行することから FeI の原子価状態が有効に制御されているものと解せられる.ルチルがイルメナイト 領域で生共する問題は TiO_2 との反応で, TiO_2 成分が FeO 成分に対して過剰になるためである.その原因に Po_2 の関与を考慮するとルチルの析出に見合う量だけ Fe が安定に析出している可能性がある.徐冷法の中でもすでに述べたように 低温で Po_2 の低い領域ほどルチルの生成量が多い傾向はそれで説明できる.武井 100 はイルメナイトのメルト成長の際に $CO_2/H_2<10$ の場合に Fe の析出を認めている.

一定温度の平衡酸素圧下でフラックス蒸発法により育成したイルメナイト単結晶の大きさは低温領域で PO_2 の低い方が大きく成長し、図29の中で1000 $\mathbb C$ 以上では一般に $1mm^2$ 以下であったが、

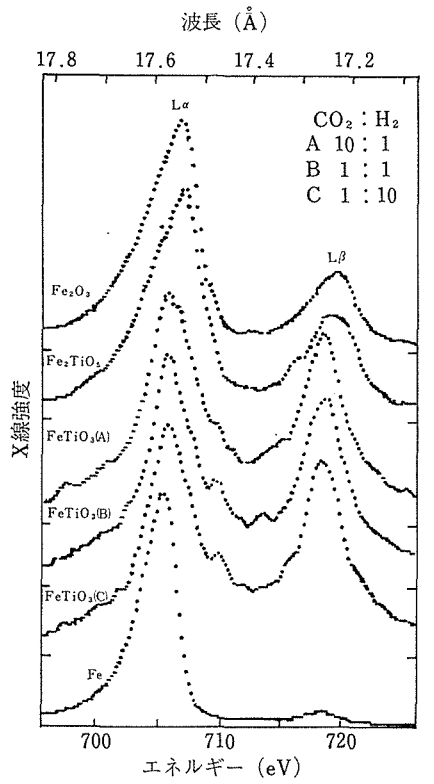


図33 EPMA による $Fe-L\alpha$ 及び $L\beta$ 特性 X線の波長 表およびプロファイルと Ee 価数との相関性

900℃では $1\sim 2$ mm² 程度まで成長した(図30). パイロフアナイトに対する相図を図31に示す. 非常に大きな特徴は結晶が色により区別されることであり、赤かっ 色結晶 と 緑色結晶の 2 種類があり、色は明らかに Po_2 だけに依存している. 結晶の色で生成領域を示すと Po_2 が $10^{-11.5}$ atm 以上の高い側で赤かっ色結晶、 $10^{-11.5}\sim 10^{-16.0}$ atm 範囲では両色結晶が共存し、 $10^{-16.0}$ atm 以下では緑色結晶となる. 色の異なる原因は Mnの原子価が Po_2 により変化している ためと思われる. MnO は緑色であることから少なくとも緑色パイ

ロファナイト中のMnは殆んどが Mn^{II} であろうと思われる。したがって赤かっ色パイロファナイトは Mn^{II} よりも酸化数の高いMnが含有されている可能性があり,混合原子価の割合で相図を作成する必要があるが,今後の課題である。

一定温度、平衡酸素圧下でフラックス蒸発法により育成したパイロファナイト単結晶の大きさはイルナメイトと同様に温度も Po_2 も低い領域の方が大きく成長し、1000 以上では一般に1 mm 2 以下であったが950 では $2\sim3$ mm 2 まで成長した(図30).

7.2.5 結晶評価

種々平衡酸素圧下で育成したイルメナイト単結晶の格子定数を図32 に示す。 a_0 よりも c_0 の方が変動が大きく,いずれも Po_2 が低いほど増大する傾向を示す。 Po_2 が $10^{-18.5}$ atm の変動に対して c_0 は 14.08Å から 14.10Å, a_0 は 5.085Å から 5.092Å まで増大している。この増大は必ずしも直線的でなく,特に c_0 は Po_2 が 10^{-15} atm 付近にピークを示すような傾向を有するが,結晶中の Fe 及び Tiの原子価状態との関係は不明である。全体として格子定数が Po_2 と比例することから単位容積も Po_2 の 低下に伴い増大するが,結晶密度は減少する.

次に種々平衡酸素圧下で育成したイルメナイトであるために Fe 成分について巌密に評価できれば、 Fe^{II} と Fe^{III} の混合状態と Po_2 との相関性を検討する必要がある。本実験ではFisher (1965) 11)、Albee and Chodos(1970) 12)、O'Nions and Smith (1971) 13)らの方法に基づいて EPMA を使用し、Fe の $L\alpha$ 及び $L\beta$ 線の波長シフトとその強度比から検討 14)した。表8と図33に測定結果を示す。

表中の ABC 3種のイルメナイトは図29中にABCとして示している合成条件, すなわち900 $^{\circ}$ で

	$L\alpha$		${\rm L}\beta$		強度比
	エネルギー(eV)	波長A	エネルギー(eV)	波長A	$L\beta/L\alpha$
Fe ₂ O ₃	706. 4	17. 553	719. 2	17. 241	0. 32
Fe_2TiO_5	706. 6	17.549	719. 1	17. 244	0.42
FeTiO₃(A)	705.5	17.576	718. 2	17. 265	0.78
FeTiO ₃ (B)	705. 5	<i>"</i>	718. 3	17. 263	0.78
FeTiO ₃ (C)	705. 5	//	718. 2	17. 265	0.81
Fe	705. 2	17.584	718. 3	17. 263	0.05

表8 Fe-L α 及び L β 線の波長と L β /L α 強度比

表 9 イルメナイトの化学分析

			理	論	値		,,	f 值		
]	Log Po ₂		Ti	О	FeⅢ		Ti	0*	実験式
		(atm)		(wt%)			(wt%	-		
A		-14.4				3. 6	34. 3		31. 1	Fe _{1.05} TiO _{3.00}
В	"	-16.4	″	″	"	0.5	35. 9	32.0	31.7	$\mathrm{Fe_{0.98}TiO_{2.98}}$
С	"	-18.4	"	"	"	0.1	36. 3	32. 5	31.1	$\mathrm{Fe_{0.96}TiO_{2.86}}$

分析者:無機材質研究所技術課 小林美智子

^{*}酸素は100%から Fe と Ti を差し引いた残りとして計上した.

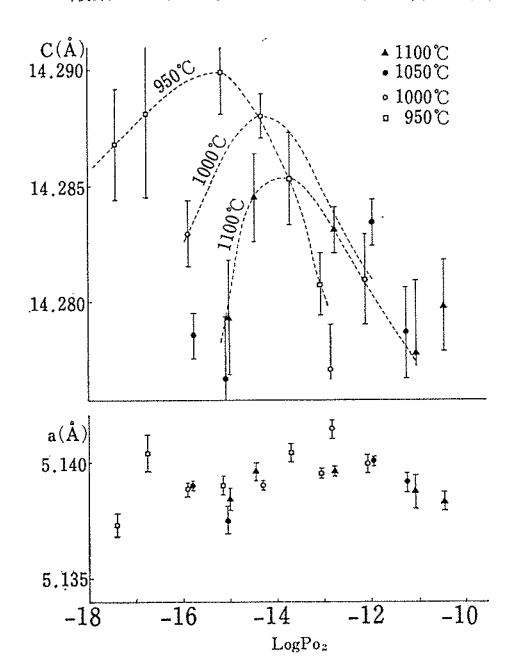


図34 パイロファナイト結晶の格子定数と Po₂及び 合成温度との相関性

平衡 Po_2 は $A=10^{-14.4}$ atm, $B=10^{-16.4}$ atm, $C=10^{-18.4}$ atm, から得られたものである。この合成条件を図25の Fe-O 系の中で検討するとBだけは Fe^{II} として安定な条件にあるが,特に A については Fe^{II} の混在が可能である。表 8 で示す重要なことは Fe^{III} に対して Fe_2O_3 と $FeTiO_5$ を比較すると波長シフト及び $L\beta/L\alpha$ 強度比の差が明瞭に現れることである。これは構成元素の影響を強く受けるためである。したがって,イルメナイト中の Fe と比較する場合には Fe_2O_3 よりも $FeTiO_3$ 中の Fe の方が有効である。結果として A, B, C 3 種のイルメナイトについては $Fe-L\alpha$ 線の波長シフト、 $L\beta/L\alpha$ 強度比とも変化が認められなかった。そこで,同じ試料を湿式分析で Fe^{II} と Fe^{III}

表10 パイロファナイト単結晶の焼戻しによる色の 変化

番号	温度 (℃)	PO ₂ (atm)	期間 (時間)	焼戻し前→焼戻し後
]	1000℃	10-12.0	160	緑色→赤かっ色
1	1050℃	$10^{-15.2}$	160	赤かっ色→赤かっ色
1	1000℃	$10^{-16.5}$	160	赤かっ色→赤かっ色
1	1050℃	H_2 ガス	45	赤かっ色→緑かっ色

の含有状態を定量的に調べた結果を表9に示す.表9では Po_2 と Fe^{II} 及ま Fe^{II} の相関性が明瞭である.A試料には Fe^{III} が3.6 wt%,B試料では0.5 wt% 含有しているがこの程度の差では現在のEPMA で化学シフトから定性的にも求めることは不可能である.なお,表9から Fe^{III} を含むイルメナイトは他の試料と比較してTiが少なく,Feが多いが,たぶん Fe^{III} はTiの席の一部を占有している可能性がある.

 $Fe-L\alpha$ 線のプロフアイルに ついて非対称指数 を求めて検討したが、十分な結論を得るに至らなかった.

特にパイロファナイト 結晶 の 色と Po_2 の相関性について は 述 べたが、Mn の価数と色と Po_2

の相関性を示す必要がある.最も簡単な単結晶の 焼戻し実験で, Po_2 と 色 の 変化を調べた結果を 表10に示す.緑色結晶 は よ り高い Po_2 領域で焼 戻すと簡単に赤か っ 色 に 変 る.これは $Mn^{II} \rightarrow Mn^{II}$ の価数変化に関係があると思われる.一方, 赤かっ色単結晶は緑色結晶生成領域の Po_2 で焼戻 しても緑色に変化し難い,そこで赤かっ色結晶を 1050 \mathbb{C} , 45 時間水素還元した結果,完全な緑色では ないが帯緑かっ色に変化した.Mn の価数と色と Po_2 の相関性を確立することが今後重要である.

7.2.6 結論及び今後に残された問題

(1) 結論

- (イ) CO₂/H₂ 混合ガス を 用 いた Po₂ 制御を, フラックス法に適応 し, FeO, MnO, ルチル構造安定領域内で徐冷法によりイルメナイト及びパイロファナイト単結晶を育成した.
- (ロ) イルメナイトには板状結晶と少量の八面体状結晶があり、前者は {0001}, {0112}, {1011} 面,後者は{0001}, {0112}面が良く発達する.
- (v) パイロファナイトは{0001}面の発達した薄板 状結晶である.赤かっ色結晶と緑色結晶の2種 類がある.
- (二) 温度一定、平衡酸素圧下でフラックス蒸発法 によりイルメナイト及びパイロファナイト単結 晶を育成しながら相図を作成した.
- (お) Po_2 の低い領域では イルメナイトとルチルが 共生し、高い領域では擬ブルーカイト単独相が 生成する. その領域 の 境界は 温度と Po_2 に依 存し、 CO_2/H_2 混合比曲線に平行 してその混合 比は 10/1 と 100/1 の中間に位置する.
- (へ) パイロファナイト 結 晶 の色は Po_2 だけに依存し, $10^{-11.5}$ atm 以上では赤かっ色, $10^{-11.5}$ ~ $10^{-16.0}$ atm 範囲では赤かっ色と緑色 の 混 合, $10^{-16.0}$ 以下では緑色の領域を形成する.
- (h) イルメナイト結晶の 格子定数は Po_2 変化に対してa よりもc の変動 が 大きく, Po_2 の低下に伴い増大するが, 直線的ではなく, Po_2 = 10^{-15} atm 付近にピークを示すような 傾向を示す.
- (チ) イルメナイト中の Fe は Fe-O 系の中で示す FeO 安定領域では比較的 Fe^{II} の状態を保持している。Fe₃O₄ 安定領域内では Fe^{II}/Fe^{III} の比が大きくなる

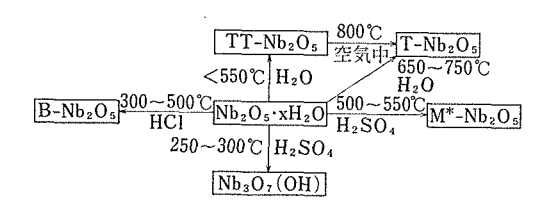
- (II) パイロファナイト結晶の格子定数はaに比較してcが特に大きな変動を示し、合成温度と Po₂に影響されて特異的傾向を示す.
 - (2) 今後に残された問題

イルメナイト及びパイロファナイト中の Fe 及 Mn の原子価を制御して単結晶をフラックス法で育成することは技術的に問題はないが、それは Ti を含む三元系であるため単なる Fe-O 系や Mn-O 系の相図の中の FeO や MnO 安定領域ではなくて Fe^{II} 及び Mn^{II} の原子価を考慮すれば更に限定された狭い領域になる。イルメナイトについては T と PO2 に対して Fe^{II}/Fe^{III} 比及び Fe^{II}/Ti^{IV} 比で相図を作成しておく必要があり、パイロファナイトについても着色と原子価状態は密接な相関性があり、T と PO2 に対して、Mn^{II}/Mn^{III} 比及び Mn^{III}/Ti^{IV} 比で相図を確立することが重要である。そのためには原子価状態の簡便な分析方法を確立しなければならないが、時間的制約もあり結果を得るに至らなかった。

参考文献

- D. S. Ginley and R. J.Baughman: Mat. Res. Bull. 11 1539 (1976)
- J. J. Stickler and G. S. Heller: J. Appl. Phys. 33 1302 (1962)
- M. L. Barsukova and V. A. Kuznetsov. and
 E. K. Malinovskaya: Soviet Phys. -Crystallogr.
 18 1113 (1973)
- B. M. Wanklyn, F. R. Wonder and W. Davison: J. Mat. Sci., 11 1607 (1976)
- J. S. Berkes, W. B. White and R. Roy: J Appl. Phys., 36 3276 (1965)
- 6) R. F. Bartholomew and W. B. White: J Cryst. Growth, 6 249 (1970)
- R. Roy and W. B. White: J. Cryst. Growth, 13/14 78 (1972)
- L. S. Darken and R. W. Gurry: J. Am. Chem Soc., 67 1398 (1945)
- 9) Y. Fujiki and Y. Ohtsuka: Jour. Japan. Assoc. Min. Pet. Econ. Geol., 72 394 (1977)
- 10) 武井文彦:第22回人工 鉱 物 討 論 会要旨集,63 (1977)
- 11) D. W. Fisher: J. Appl. Phys., **36** 2048 (1965)
- A. A. Albee and A. Chodos: Am. Miner., 55.
 491 (1970)

- 13) R. K. O'Nions and D. G. W. Smith: Am Miner., 56 1452 (1971)
- 14) 大塚芳郎,西田憲正,奥寺 智,藤木良規:X線 分析の進歩第11集,(印刷中)



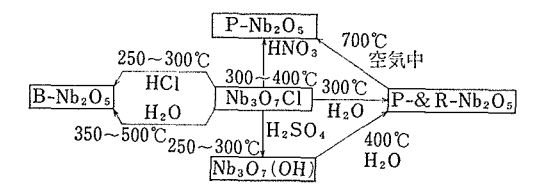
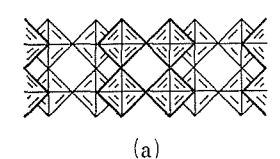
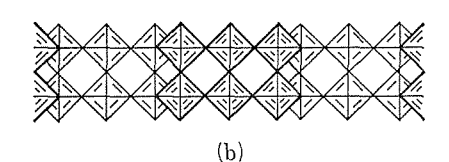


図35 純水と鉱酸によるニオブ酸, Nb_3O_7Clo 水熱 処理. $P=15\sim100~MPa$, H_2SO_4 , $3.0~mol~dm^{-3}$;HCl, $1.2~mol~dm^{-3}$; HNO_3 , $1.4~mol~dm^{-3}$. M^* – NbO_5 は結晶性の悪いM– Nb_2O_5 を示す.





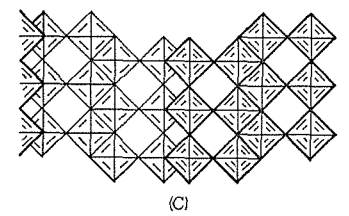


図36 (a) R-Nb₂O₅, (b) Nb₃O₇(OH) および (c) P-Nb₂O₅ の結晶構造.

7.3 ニオブ(V)とタンタル(V)の水熱化学

7.3.1 水熱条件下における酸化ニオブ (V) の 多形と Nb₂O₇(OH) の結晶化^{1,2)}

 Nb_2O_5 は少なくとも8種の多形をもつと言われているが、 Nb_2O_5 の水熱合成の報告例はほとんど

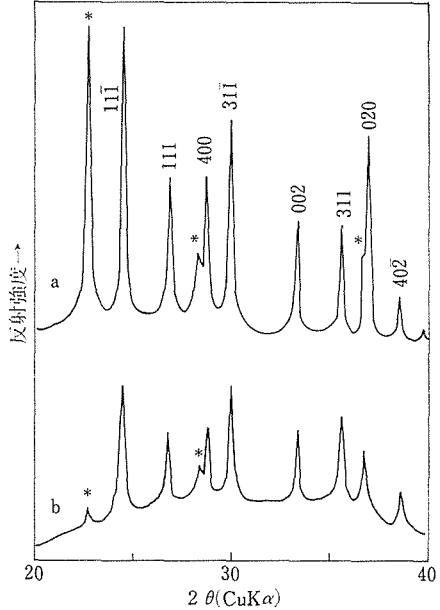


図37 1.2 $mol\ dm^{-3}$ の塩酸中で 得られた生成物の X線回折図形($CuK\alpha$). *印でマーク した 反射は δ 相に帰属される. (a) $T=620\ K$, $t=117\ h$. (b) $T=573\ K$, $t=161\ h$.

皆無に等しく,600°C 以下の温度領域における Nb_2O_5 多形相の相対的安定度は全く解明されていない.また,常圧下における Nb^5+ の結晶性水酸化酸化物単離の試みはすべて失敗に終っている.筆者らは近年水熱法を研究手段に用いてこれらの課題に取り組み,一応の成果をおさめることができた.

出発物質として用い た ニオブ酸、 Nb_3O_7C1 及ま Nb_2O_5 の種々の多形の合成方法については、参考文献 1)と 2)を参照していただきたい. 水 熱反応の実験法は 2 章で詳述した等温処理法とほとんど同一なので、省略する.

無定形ニオブ酸と Nb_8O_7C1 を出発物質とする水熱反応の概略を図35にまとめた。反応物、鉱化剤溶液及び反応温度を変えることにより、TT-, T-, B-, P-, R-, M^* - Nb_2O_5 及び $Nb_8O_7(OH)$ を再現性良く作りわけられる。なお、ニオブ酸を硝酸で処理すると、反応温度が300 $\mathbb C$ から500 $\mathbb C$ へ上昇するにつれ、晶出相は $P \rightarrow B \rightarrow M^* \rightarrow TT$ というように複雑に移り変わっていくので、図35から省いた。

 $R-Nb_2O_5$ は $Gruehn^3$)によって初めて合成されて以来報告のとだえていた、きわめて特殊な条件

下でのみ合成可能な多形である。 $R-Nb_2O_5$ は常に $P-Nb_2O_5$ とともに結晶化した。これは明らかに、P相とR相の結晶構造が互いに類縁関係にあることを忠実に反映している 40 (図36).

純水中ではニオブ酸は溶液を経由せずに結晶化して、いわゆる $TT-Nb_2O_5$ となる。こうして得られた TT 相は少量の OH^- を含んでおり、巌密に言えば純粋な Nb_2O_5 とみなすべきでない。空気中、800℃でこの TT 相を加熱すると、 H_2O を放出して $T-Nb_2O_5$ へ変化する。650℃以上の温度における水熱反応の場合 $T-Nb_2O_5$ が生成するのは、このような高温では OH^- を結晶格子中に保持しきれなくなるためであろう。

HCl の存在が溶解・析出機構による $B-Nb_2O_5$ の晶出を著しく促進するのは、2種の出発原料に共通の現象である。 Nb_8O_7CI を純水で処理すると($\theta>350$ ℃) $B-Nb_2O_5$ が結晶化 するのも、明らかに Nb_8O_7CI の加水分解の結果生じた HCl の働きによるものである。

Nb₃O₇(OH) は Nb₃O₇F(低圧形)⁵⁾ と同形の水酸化酸化物であって,針方晶系に属する.その格子定数は,a=2070 pm,b=382.3 pm,c=393.6 pmであった.図36に示したように,Nb₃O₇(OH) は($3\times\infty$)の ReO₃ 型ブロックからなるせん断構造をもつ.Nb₃O₇(OH) を $400\sim500$ °C において純水中で脱水させると,P-及び R-Nb₂O₅が生成する.これら 3 者は結晶構造上,互いにきわめて密接な関係にある(図36).おそらく Nb₃O₇(OH) の($3\times\infty$)ブロックは,トポタクティック機構によって P-及び R-Nb₂O₅ の($2\times\infty$)ブロックへ化学変化するのであろう.

種々の Nb_2O_5 の多形相あるいは $Nb_8O_7(OH)$ と $B-Nb_2O_5$ とを十分混合した後, $1.2 \, mol \, dm^{-3}$ の塩酸で等温処理すると, $250{\sim}400{\,}^{\circ}$ の温度領域において $B-Nb_2O_5$ がゆっくりと成長していき,最終的に固相は完全に $B-Nb_2O_5$ へ転化してしまう.すなわち,図35に記した $B-Nb_2O_5$ 以外の結晶相は,すべて準安定な条件下で生成したものとみなされる. Nb_2O_5 の多形の消費速度を比較することによって見積った 相対安定度の順序は P,R < TT,H,N < T < B であった.

7.3.2 酸化タンタル(V)の新多形, ε - Ta_2O_5 69 Ta_2O_5 60 には α 及び β の二形が知られており,

 β - $\mathrm{Ta}_2\mathrm{O}_5$ は 1633 K で α - $\mathrm{Ta}_2\mathrm{O}_5$ に転移する 70 . 両者とも八面体と五角両錐の配位多面体が構造の基本単位となっている. 金属の周囲に O^{2-} が 6 個配位した八面体のみで組み立てられている構造を持つ $\mathrm{Nb}_2\mathrm{O}_5$ の多形が数種類知られているのに対し 40 , $\mathrm{Ta}_2\mathrm{O}_5$ の場合このような多形相はまだ発見されていない.

無定形タンタル酸を $570\sim620$ K において 1.2 mol dm $^{-3}$ の塩酸で処理することによって,筆者らは Ta_2O_5 の新多形 ε - Ta_2O_5 の合成に成功した。 ε - Ta_2O_5 は B- Nb_2O_5 80 と同形で,単斜晶系に属する(α =1279 pm, β =104.390)。 ε - Ta_2O_5 構造中のすべての Ta^{5+} は 6 配位であって, その単位格子は,稜共有で結びついた 4 対の $[TaO_{3/2}O_{3/3}]$ 八面体を含す。

 ε -Ta₂O₅ と B-Nb₂O₅(前節参照)の析出過程において、母液中に溶存している Cl^- が決定的な役割を演じているのは確実である。 ε -Ta₂O₅ の析出に付随して、いわゆる δ 相 9 の生成が必ず起こってしまう(図37)。 δ 相は TT-Nb₂O₅ に相当する Ta の化合物で、 OH^- を少量含んでおり、TT-Nb₂O₅ 同様固体状態を保ったまま生成した(凝縮系での結晶化)と考えられる。

 ε - Ta_2O_5 は空気中, 1160 K 以上で加熱すると, 非可逆 的 か つ 徐 々に β - Ta_2O_5 へと転移する. Ta_2O_5 の相図上に ε - Ta_2O_5 の安定領域が存在するか否かに関しては, 残念ながら現時点では解明されていない.

参考文献

- F. Izumi and H. Kodama: Z. Anorg. Allg. Chem., 440 155 (1978).
- F. Izumi and H. Kodama: Z. Anorg. Allg. Chem., 441 196 (1978).
- 3) R. Gruehn: J. Less-Common Met., 11 119 (1966).
- A. D. Wadsley and S. Andersson: Perspectives in Structural Chemistry, Vol. 3, Eds. J. D. Dunitz and J. A. Ibers (John Wiley, 1970) p. 1.
- 5) S. Andersson: Acta Chem. Scand., **18** 2339 (1964).
- 6) F. Izumi and H. Kodama: J. Less-Common

Met., 63 305 (1979).

- 7) A. F. Wells: Structural Inorganic Chemistry (Oxford Univ. Press, 1975) p. 454.
- 8) F. Laves, W. Petter and H. Wulf: Naturwissenschaften, **51** 633 (1964).
- Gmelins Handbuch der anorganischen Chemie, Tantal, B 1 (Verlag Chemie, 1970)
 p. 30.

7.4 化学輸送法による **ZrS**₂ 及び **NbS**₂ 単結晶の育成¹⁾

 ZrS_2 は CdI_2 型, NbS_2 は $CdCI_2$ 型の層状構造化合物である。前者は半導体,後者は金属的電気特性を示すが,最近は層間化合物としての特性改善, ZrS_2 の光電気化学的特性などの興味から多くの人達により研究 $^{27-71}$ されている。 しか し 単結晶合成に関する十分な報告がないためにそれを補う本研究の目的がある。

実験に使用した Zr は99.99%で直径 $3 \, \text{mm}$ の金属棒, Nb は99.9% で直径 $1 \, \text{mm}$ の金属線であり、硫黄は粉末、ョウ素はフレイク状でいずれも99.99%であった。

ZrS₂ 及び NbS₂ 単結晶は封入管方式を用いて 構成元素とヨウ素輸送剤の化学輸送反応により育 成した. 合成条件と育成の様子を図38に示す.

7.4.1 ZrS₂ 単結晶の育成と表面観察

ZrS₂ 単結晶の産状には2種類が存在する. 封入管中で一つは低温側,他は高温側で成長する. 前者は高温側に向い [100] 晶帯に沿って成長するため葉片状外形を呈す特徴を示す.900℃ 帯から800℃ 帯への輸送,384時間,ョウ素濃度8mg/cm³の条件下で育成された最大結晶は10×5×1 mm³であった(図39(a)).後者の高温帯で成長する産状の結晶は一般に低温帯で育成する場合よりも大きい.800℃帯から900℃帯へ輸送,840時間,ョウ素濃度6mg/cm³の条件下で育成された最大結晶は10×10×2 mm³であった(図39(b)).

ある温度差における反応化学種の輸送の方向は反応エンタルピーのサインにより決定される . $T^2 > T_1$ の温度条件下で反応 が 発熱 であれば $T_1 \rightarrow T_2$ へ輸送され,それが吸熱反応 ならば 逆に輸送される.本実験では 次 の 反 応 が 知 ら れている 899).

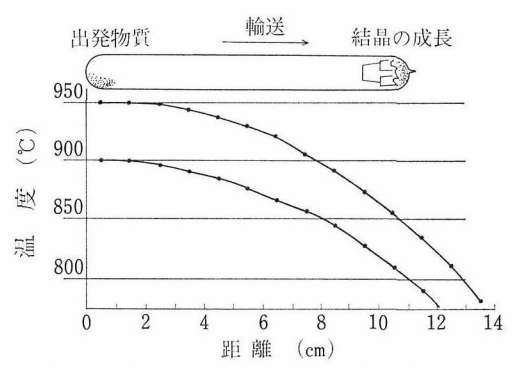
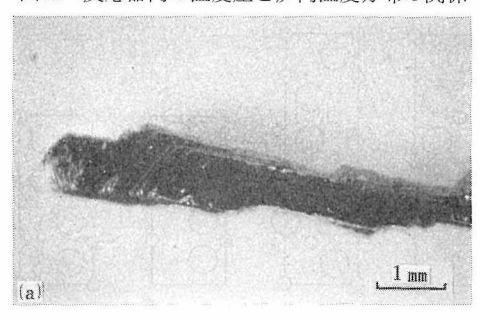


図38 反応器内の温度差と炉内温度分布の関係



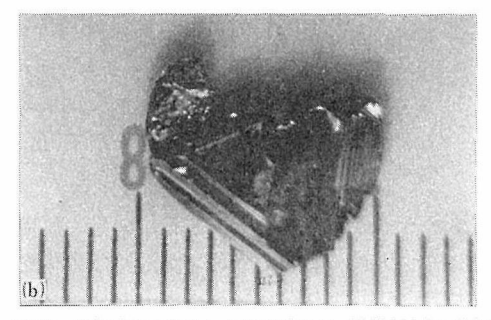


図39 低温側で成長した2H型 ZrS₂ 単結晶(a)と高温 側で成長した2H型ZrS₂単結晶(b)・

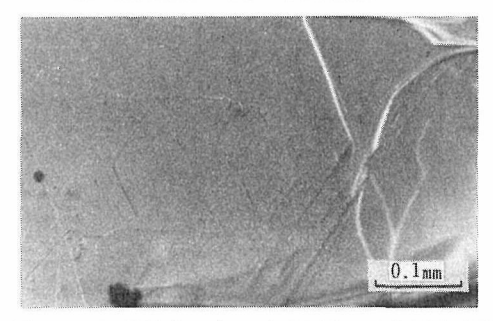


図40 ZrS₂ 単結晶の {0001} 表面上の六角形状成長 累積層と成長丘

 Zr+2I2=ZrI4 (発熱反応)
 …(8)

 ZrS2+2I4=ZrI4+S2 (吸熱反応)
 …(9)

 輸送反応では一般に発熱反応と吸熱反応が同時

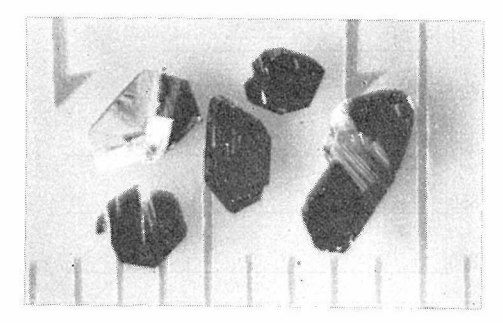


図41 950℃ 帯より 850℃ 帯へ輸送されて成長した 3R型NbS₂単結晶

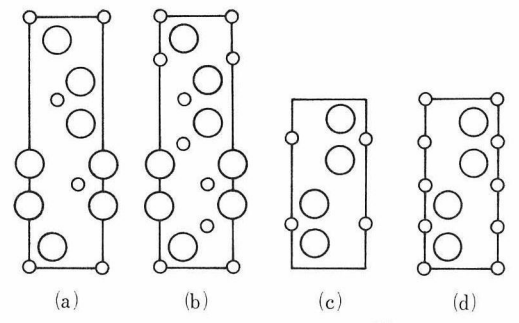


図42 NbS₂ と Nb_{1+a}S₂ 両多型の(1120)面上の原子配列: (a) と (b) はそれぞれ NbS₂ の菱面体晶系と六方晶系; (b)と (d) は Nb_{1+a}S₂ のそれぞれ菱面体晶系と六方晶系. 小円は Nb 原子,大円は S原子を示す.

に関与するので非常に複雑である. 結局,反応系の中の総エンタルピーのサインが重要な意味をもつ. 本実験の場合の総エンタルピーのサインはヨウ素の濃度で変化した. 換言すれば P_{12} 及び $P_{Zr_{14}}$ の分圧が重要である.

得られた結晶の軸に沿う振動写真は2H-型, 六 方対称だけを示した.

ZrS₂の {0001} 表面を微分 干渉顕微鏡で 観察した. 産状の相違に関係なく平滑な表面を示すのが特徴である. まれに図40に示すような六角形状の累積成長層または成長丘が観察される.

7.4.2 NbS₂単結晶の育成と表面観察

NbS₂ 単結晶はヨウ素濃度に無関係にいつでも低温側へ輸送されて成長する. 結晶は不規則集合体半自形で成長する. 最大結晶は950℃帯から850℃帯へ輸送, 240時間, ヨウ素濃度 7.5mg/cm^3 の条件下で育成された. その大きさは最大で $3 \times 0.5 \text{mm}^3$ あった(図41).

種々組成の Nb 硫化物 結晶は同じ方法で,

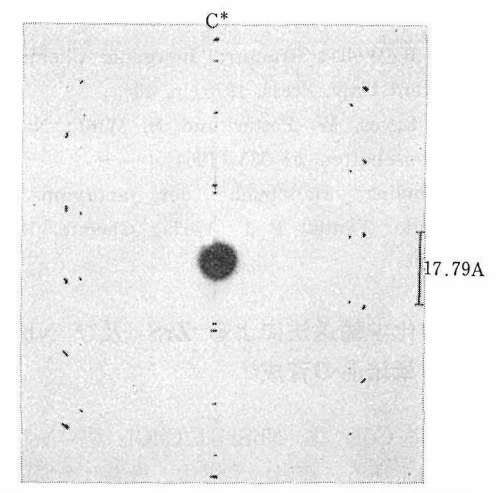


図43 1000℃ において 成長 した NbS₂ 単結晶の (h01) 面のプリセッション法に よる回折像 (CuKα線).

Schäfer and Fuhr (1965)¹⁰⁾, Schäfer (1971)⁹⁾ により報告されている. それによると Nb₃S₄及 び Nb_{1+x}S₂ のような Nb 対 S の原子比が 1:2 の関係よりS不足の化合物は低温側から高温側へ 輸送されるが、NbS2 及び NbS3 のようなSに富 む化合物は逆に高温側から低温側へ輸送されるこ とを明らかにした. この輸送方向は総エンタルピ -のサインで熱力学的にも説明される. この実例 に基づいて本実験の結果を考察すると, 低温側で 成長するため、吸熱反応が優勢であること」、結 晶の組成は NbS2 の化学量論比に近いことが考え られる. NbS2 には図42で示すように菱面体晶系 と六方晶系の多型が知られてるのでプリセッショ ン法で構造を調べた結果, 3R型菱面体晶系(六 方対称表示で a=3.33A, c=17.79A) であること が同定された.

一方、950℃→850℃帯への輸送で育成した結晶の{0001}表面は後で詳述するように転位の集中配列を示す特異な微斜面を有する.この転位と微斜面に関係した構造歪を除去するために一層高温条件下:1100℃帯→1000℃帯への輸送、336時間、ヨウ素濃度 5 mg/cm³:で育成した.この結果は非常に平滑な表面を示す結晶が育成された.これは前述の温度条件の場合と比較して低い過飽和度、速い化学反応速度に対して低い輸送速度が良質結晶を得た要因と思われる.さて、1000℃低温帯で成長した結晶の構造を解析した結果、R3 m空間

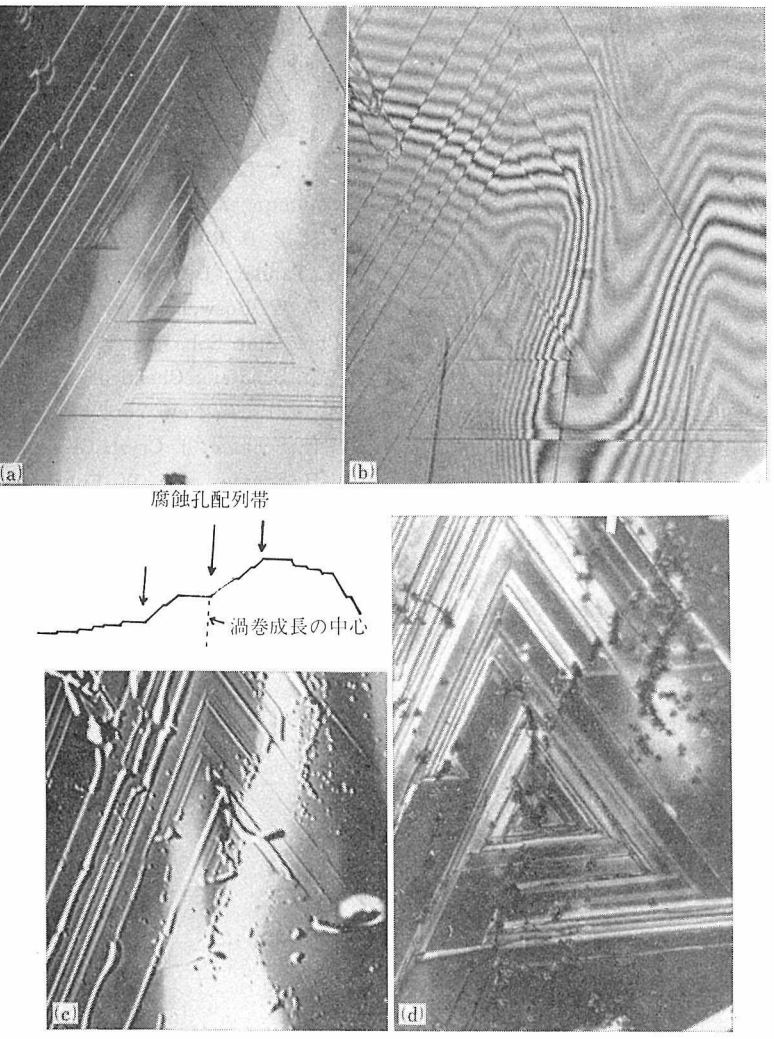


図44 950℃帯より850℃帯へ輸送されて成長した3R型 NbS₂単結晶の{0001} 表面:(a) 渦巻成長層と微斜面を示す微分干渉顕微鏡写真,(b) 44(a)の渦巻成長層の高さ及び微斜面の凹凸状態を示す二光束干渉計の干渉縞,(c) 44(a)の渦巻成長層,微斜面,腐食孔の配列状態を示すEPMA反射電子線像,(d) 44(a)腐食試験後の微分干渉顕微鏡写真.

群をもつ 3 R型対称性と 850 で得られた結晶と同じ X 線回折強度分布を示した。この強度分布は NbS_2 組成の計算強度と良く一致し,1000 でも安定な $Nb_{1+a}S_2$ 組成のものとは不一致であった。結局,1000 において育成した結晶の構造は菱面体晶系 NbS_2 として同定した。図 43 は六方対称で示す (h01) 面のプリセッション写真である。

この結果、従来 Jellinek ら 2)により 菱面体晶系 NbS $_2$ の安定温度領域の上限は850℃とされていたが、少なくとも1000℃以上であることが明らかになった。また、多型構造と組成の相関係が輸

送方向の熱力学的概念と良く一致した.

NbS₂ 単結晶の {0001} 表面にはラセン転位から発生した三角形の渦巻成長層が普遍的に観察される(図44(a)). その表面はさらに微斜面で特徴づけられ、渦巻成長層の活性中心はその微斜面の稜に沿って集中配列しているラセン転位である(図44(a)). この微斜面の特徴は二光束干渉計の干渉縞の挙動及び EPMA の反射電子線像により良く観察される(図44(b), 44(c)). 図44(a)で示す同じ表面を30 wt% HNO₃ 水溶液で腐食した結果,三角形状の腐食孔は明白に微斜面の稜に沿って配列

している (図44(c), 44(d)). 図44(b) から観測された渦巻成長層の高さは1000Å \sim 2000Å であり、まれには 300Å 以下のものも認められた.

結論として 950° C $\rightarrow 850^{\circ}$ C \sim の輸送反応で成長した NbS_2 結晶は高い転位密度と構造的歪を有するが、 1100° C \rightarrow 1000 $^{\circ}$ C \sim の輸送反応で育成した結晶は同じ菱面体晶系の結晶で、かつ、平滑表面をもち歪の少ない良質である.

参考文献

- Y. Fujiki, Y. Ishizawa and Z. Inoue: Mineral. Journ., 9 21 (1979)
- F. Jellinek, G. Brauer, H. Muller: Nature, 185 367 (1960)

- D. L. Greenaway and R. Nitsche: J. Phy. Chem. Solids, 26 1445 (1965)
- 4) E. C. Lawrence and C. P. Kyu: Inorg. Chem., 7 459 (1968)
- 5) P. A. Lee, G. Said and R. Davis: Solid State Commun., 7, 1359 (1969)
- H. P. B. Rimmington, A. A. Balchin and B. K. Tanner: J. Cryst. Growth, 15 51 (1972)
- 7) F. W. Boswell, A. Prodan and J. M. Corbett: Phys. Stat. Sol., (A), 35 561 (1967)
- H. Schäfer: Chemical Transport Reactions, Acad. Press, New York and London (1964)
- 9) H. Schäfer: J. Cryst. Growtts, 1 17 (1971)
- H. Schäfer and W. Fuhr: J. Less-Common Metals, 8 375 (1965)

8. 将 来 の 展 望

酸化チタン研究グループは5年間にわたりTiO2を中心に研究を行ったが、装置、人員、研究者の専門などから実際の研究は特定分野に限定された。主として単結晶合成、水溶液反応、高温熱測定、分光物性測定などの専門を中心にして準安定相の安定化機構、相転移機構の解明に努力し、一応の成果を得た。しかし、各分野で実験方法の難さと時間的な制約などによりまだ未解決な問題や結論として推論の域を脱していないものも多い。各分野での今後に残された問題についてはそれぞれの章で述べている。

TiO₂ 多形相間の安定性 の尺度としてギブスの自由エネルギー差に基づいて熱力学的にルチル>ブルーカイト>TiO₂—II> アナターゼの 順序 を確立した意義は学問的のみならが技術的にも大きい.一方,合成分野から準安定相をみるとアナターゼに比較してブルーカイトの合成は非常に困難であり,結晶を成長させることは更に難しい.しかし,純粋なブルーカイト相の合成を通じて初生アナターゼ相からブルーカイト相が生成する過程を観測したことは熱力学的安定性の実証として有意義である.

天然では米国アーカンサス州マグネットコーブ 産で代表されるようにアナターゼ結晶に比較する とブルーカイト単結晶の方が非常に大きく成長し ているので、結晶成長の問題は安定化の知見に基 づいて今後発展させられるであろう.

準安定相の安定化と不純物効果の機構については現象論と推論の域を脱皮することは容易でないが、アナターゼとブルーカイトでは有効な不純物の化学種が異なることは重要なことである.これは化学的、物理的特性が異なることを暗示するもので、結晶構造、結合状態の相違の中でその要因を明らかにすることは今後工業材料素材として開発されていくうえにも大事な課題となろう.アナターゼは確かに雰囲気制御によりある程度の構造歪を伴い格子定数などに変動を示すが、ルチルと比較して色調変化が著しく乏しい.これはの価数

変動及ま組成変動に対する高い安定性と関係があるように思われる.

アナターゼからルチルへの相転移の中で不純物 効果と転移機構は密接に関連しており,一層問題 を複雑化している. 不純物の中で Al₂O₃ は転移を 抑制し、MoO3 は促進するという例だけでも単な る陰イオン格子欠損説や粒界表面説では転移機構 を説明できない. これは不純物イオンの電荷やイ オン半径などの要因では不十分であり, 不純物化 学種の立体構造と結晶の表面構造との相関性, 更 に表面錯体形成機構なども考慮する必要がある. その意味で準安定相の安定化機構はもとより転移 抑制効果、更にルチル単結晶の晶相変化に対する 不純物効果は密接な関係があり、将来発展してい けば準安定相の結晶成長の問題としても意義があ る. ブルーカイトからルチルへの相転移の研究は 時間的な制約で供試料が解決したにもかかわらず 今後に残されたのは残念である.

物性研究ではアナターゼの分光特性として興味 ある新しい情報を提供したが高圧相の特性が多形 相の種類の影響を受けることを見いだし、圧力相 転移の機構解明への突破口として期待される.

TiO2 の 合成研究から出発したチタン酸カリウ ム繊維の工業材料としての製造法は企業化の水準 まで発展した. 本繊維は K₂O(TiO₂)n (n=1-8) の組成を示すが,nの相違により構造も変化し,特 性が多様化し種々な用途開発が期待される. 特に nが6以上では断熱性, nが4以下では陽イオン 交換性が抜群に優れている. 更に陽イオン交換性 に注目して本繊維中のKイオンを全部溶出してア ナターゼ繊維の合成に成功したが, このような別 化合物から組成変換, 又は構造変換により特殊性 を追求した合成法は将来いろいろな材料に対して も発展していくであろう. 例えば本研究の中でも Na₂Ti₉O₁₉ 相及び Na-チタンブロンズ (Na_xTi₈ O16)などからブルーカイトを合成することも構造 の関連性から考察して可能と思われるがその実証 は将来に期待される.

無機質研究所研究報告書 第19号

また、高性能イオン交換材料の開発は公害・環 へ利用が望まれており、本研究の中で行った水溶

液中のチタンの溶存状態とその抽出に関する基礎 境整備問題をはじめ海水中の希少資源の回収など 研究の成果を踏まえて、再編成グループの課題と して継承されてよい類のものである.

9. 研 究 成 果

9.1 発表論文

- H. Akaiwa, H. Kawamoto and F. Izumi "Infrared Studies of the Synergistic Adducts of Bis(2-thenoyltrifluoroacetonato) metal(II)" J. Inorg. Nucl. Chem., 37-1 65 (1975).
- H. Akaiwa, H. Kawamoto and F. Izumi "Extraction and Spectrophotometric Determination of Copper(II) with 1, 1, 1-Trifluoro-3-(2-thenoyl) acetone" Talanta, 23-5 403 (1976).
- Y. Bando, M. Watanabe and Y. Sekikawa, "Structure Analysis of Na₂Ti₉O₁₉ by 1 MV High Resolution Electron Microscopy" Acta Crystallogr., B (1979)印刷中.
- Y. Bando, M. Watanabe and Y. Sekikawa "Structure of Orthorhombic Na₂Ti₉O₁₉, a Unit Cell Twinning of MonoclinicNa₂Ti₉O₁₉, Determined by 1 MV High Resolution Microscopy" J. Solid State Chem., 投稿中.

H. Einaga

"Hydrolysis of Titanium (IV) in 2.0 mol dm⁻³ aqueous (Na, H) Cl Solution" J. Chem Soc., Dalton Tr., 印刷中.

- Y. Fujiki and Y. Hasegawa "Spherulitic Growth of Orpiment (As₂S₃) under Hydrothermal' Conditions" Mineral. Jour., 7 542 (1975).
- 藤木良規・堤 正幸・北村健治 "EPMA 分析とカーボン 蒸着 膜 の厚さの影響"日鉱誌,**92** 1060 (1976).

藤木良規・泉 富士夫

"フラックス法によるチタン 酸 カリウム繊維の合成"窯協誌,**85** 155 (1977).

- 藤木良規・泉 富士夫・大坂俊明・渡辺 遵 "四チタン酸カリウムの吸水性と熱的挙動" 窯協誌, **85** 475 (1977).
- Y. Fujiki and Y. Ohtsuka

"Flux Growth of Ilmenite and Pyrophanite under Controlled Oxygen Fugacity" Jour. Japan. Assoc. Min. Pet. Econ. Geol., 72 394 (1977).

- Y. Fujiki, F. Izumi and Y. Ohtsuka "The Growth and Habit Modification of Rutile Crystals using Li₂WO₄-WO₃ Flux" Mineral. Jour. **9** 64 (1978).
- Y. Fujiki and N. Ohta "Flux Growth Reactions of Potassium Tetratitanate Fibers" Yogyo-Kyokai-Shi, 87 168 (1979).
- Y. Fujiki, Y. Ishizawa and Z, Inoue "Growth of ZrS₂ and NbS₂ Single Crystals by Chemical Transport Reactions" Mineral Jour. 9-6 21 (1979).
- 藤木良規・千々和史郎・坂根講二 "工業材料としてのチタン酸カリウム" 工業 材料, **27**-4 51 (1979).
- F. Izumi and Y. Fujiki
 "Hydrothermal Growth of Anatase(TiO₂)
 Crystals" Chem. Lett., 1975-1 (1975).
- F. Izumi, R. Kurosawa, H. Kawamoto and

H. Akaiwa

"Infrared and Mass Spectral Studies of Complexes of Bis(hexafluoroacetylacetonato)metal(II) with 1, 10-Phenanthroline" Chem. Lett., 1975-4 379.

F. Izumi, R. Kurosawa, H. Kawamoto and H. Akaiwa

'Adduucts of Bis (hexafluoroacetylacetonato)metal(II) with Uni and Bidentate Nitrogenous Bases' Bull. Chem. Soc. Jpn., 48-11 3188 (1975)

F. Izumi and Y. Fujiki

"The Polymorphic Crystallization of Titanium(IV) Oxide under Hydrothermal Conditions. I. The Effect of Phosphate Ions on the Selective Crystallization of Anatase" Bull. Chem. Soc. Jpn., 49–3 709 (1976).

F. Izumi, H. Kodama and Y. Fujiki "Hydrothermal Crystallization of Titanium(IV) Oxide and Oxofluorides of Niobium(V) from Hydrofluoric Acid" Inorg. Nucl. Chem. Lett., 13 157 (1977).

F. Izumi

"The Polymorphic Crystallization of Titanium(IV) Oxide under Hydrothermal Conditions. II. The Roles of Inorganic Anions in the Nucleation of Rutile and Anatase from Acid Solutions" Bull. Chem. Soc. Jpn., 51-6 1771 (1978).

F. Izumi and H. Kodama

"Crystallization and Relative Stabilities of Polymorphs of Niobium(V) Oxide under Hydrothermal Conditions" Z. Anorg. Allg. Chem., 440 155 (1978).

F. Izumi and H. Kodama

"Hydrothermal Synthesis and Character-

ization of Triniobium Hydroxide Heptaoxide" Z. Anorg. Allg. Chem., **441** 196 (1978).

泉富士夫

"水溶液中の多形生成の謎" 現代化学, No. 93 22 (1978).

F. Izumi and H. Kodma

"A New Modification of Tantalum(V) Oxide" J. Less-Common Met., **63**-2 305 (1979).

F. Izumi, H. Kodama and A. Ono "Growth of Anatase (TiO₂) Crystals by Chemical Transport Reactions with HBr and HCl" J. Cryst. Growth, **47** 139 (1979).

泉 富士夫・小野 晃 "水熱反応覚え書き"現代化学,(印刷中).

Y. Komatsu H. Honda, and T. Sekine "Kinetic Studies of the Solvent Extraction of Metal Complexes V." J. Inorg. Nucl. Chem. 38, 1861 (1976).

Y. Komatsu

"The Extraction Behavior of Titanium (IV) in Concentrated Hydrochloric Acid with Tri-n-butyl Phosphate and β -Diketones" J. Inorg. Nucl. Chem. (印刷中).

- T. Mitsuhashi and M. Watanabe
 "Brookite Formation from Precipitates
 Containing Calcium Ions"
 Mineral. Jour., 9, 236 (1978).
- T. Mitsuhashi and O. J. Kleppa "Transformation Enthalpies of the TiO₂ Polymorphs" J. Am. Ceram. Soc.,

三橋武文 · 高橋洋一

"ルチルの高温熱容量の測定 と 解析" 窯業協

会誌(投稿中).

T. Ohsaka

"Infrared Studies of Se-Based Polynary Chalcogenide Glasses (I) $Y_xS_xSe_{100-2x}$ (Y = Ge, As, Te)" J. Non-Crystalline Solids 21 23 (1976).

T. Ohsaka

"Infrared Studies of Se-Based Polynary Chalcogenide Glasses(II) $Y_xZ_xSe_{100-2x}$ (Y = Ge, As; Z=As, Te)"

J. Non-Crystalline Solids 22 89 (1976).

T. Ohsaka

"Infrared Studies of Se-Based Polynary Chalcogenide Glasses (III) $Y_xZ_xS_xSe_{100-3x}$ (Y=Ge, As; Z=As, Te)" J. Non-Crystalline Solids **22** 359 (1976).

T. Ohsaka and A. Watanabe

"Infrared Absorption of Glassy Se Containing Small Amounts of Ge, As and Te" J. Non-Crystalline Solids **27** 157 (1978)

- T. Ohsaka, F. Izumi and Y. Fujiki "Raman Spectrum of Anatase, TiO₂" J. Raman Spectrosc. **7** 321 (1978).
- T. Ohsaka, S. Yamaoka and O. Shimomura "Effect of Hydrostatic Pressure on the Raman Spectrum of Anatase (TiO₂)" Solid State Communi. **30** 345 (1979).

T. Ohsaka

"Temperature Dependence of the Raman Spectrum of Anatase TiO₂" J. Phys. Soc. Japan (投稿中).

太田進啓·藤木良規

"四チタン酸カリウム繊維 から 六チタン酸カリウム繊維およびアナターゼ繊維への変換過程" 窯協誌 (印刷中).

T. Sekine and Y. Komatsu

"Kinetic Studies of the Solvent Extraction of Metal Complexes IV" J. Inorg. Nucl. Chem. **37**, 185 (1975).

関根達也・小松優

"テトラフェニルホウ 酸 イオンとストロンチウム(Ⅱ) のイオン対抽出" 分析化学 **24**, 94 (1975).

正路徹也・藤木良規・嶋崎吉彦

"EPMA 分析における蒸 着 膜 の影響"鉱物 学雑誌, 12, 8 (1976).

由井俊三•藤木良規

"EPMA の検出限界"鉱物学雑誌, 12 35 (1976).

- M. Watanabe, M. Tokonami and N. Morimoto "The Transition Mechanism between the CsCl-Type and NaCl-type Structures in CsCl" Acta Crystallogr., **A33** (1977) 294.
- M. Watanabe, Y. Bando and M. Tsutsumi "A New Member of Sodium Titanates, Na₂Ti₉O₁₉" J. Solid State Chem., 28 397 (1979).

M. Watanabe and E. Watanabe

"New Titanium Dioxide Bronze with Partially Ordered Arrangement of Sodium Ions" J. Solid State Chem., 31 (1980).

M. Watanabe, M. Tokonami and N. Morimoto "Twin Formation by a Compressive Stress on the Transition of CsCl" J. Solid State Chem., 30 3 (1979) (印刷中).

M. Watanabe

"The Hydrothermal Reactions of TiO_2 with NaOH; The Phase Relations in the System of TiO-Na $_2O$ " J. Solid State Chem., (投稿中).

無機質研究所研究報告書 第19号

9.2 試料提供

提供年月	提供者名	試 料 提 供 先	試	料	名
49. 4	藤木良規	ニュージランド,オタゴ大学	二酸化ジ	ルコニウム単	結晶
40.10	藤木良規	東京大学工学部	二酸化ジ	ルコニウム単	結晶
			二酸化ス	ズ単結晶	
49. 12	藤木良規	山口大学文理学部	二酸化ジ	ルコニウム単	結晶
50. 1	泉富士夫	岡山理科大学	アナター	ゼ単結晶	
50. 3	藤木良規	東北大学科学計測研究所	二酸化ジ	ルコニウム単	結晶
50. 6	藤木良規	東京工業大学工業材料研究所	二酸化ジ	ルコニウム単	結晶
50. 8	藤木良規	三菱油化㈱樹脂研究所	チタン酸	カリウム繊維	É
51. 3	藤木良規	東京教育大学理学部	二酸化ジ	ルコニウム単	結晶
52. 2	藤木良規	ソニー㈱中央研究所	チタン酸	カリウム繊維	É
54. 1	藤木良規	出光興産中央研究所	チタン酸	カリウム繊維	É

9.3 特許出願(国有特許)

9.3.1 国 内

出願年月日	出願番号	発 明 の 名 称	発	明 者
50. 3. 20	50-34027	繊維状チタン酸アルカリの製造法	藤木	良規・泉 富士夫
53. 2. 6	53-12120	チタン酸アルカリ金属繊維の製造法	藤木	良規
53. 6.23	53-07855	六チタン酸アルカリ金属繊維の製造法	藤木	良規・太田 進啓
53. 6.23	53-07685	チタニア水和物繊維及びチタニアガラス繊維なら	藤木	良規・太田 進啓
		びにチタニア繊維の製造法		
53. 6.23	53-07657	チタニア水和物ならびに非晶質チタニアの製造法	藤木	良規・太田 進啓

9. 3. 2 国 外

出願国	許可年月日	特許番号	発	明	の	名	称	発	明	者
米 国	52. 8. 9	4041143	Process for Alkali Met		-	Fibro	us	藤木 良ま泉 富士ま	ŧ	

無機材質研究所研究報告書第19号

酸化チタンに関する研究

編集·発行 科学技術庁 無機材質研究所

〒 305 茨城県新治郡桜村並木1丁目1番

筑波研究学園都市

電話 0298-51-3351